

ANEXO 8: Curvas Características de los perfiles de la serie SZ – 2000.

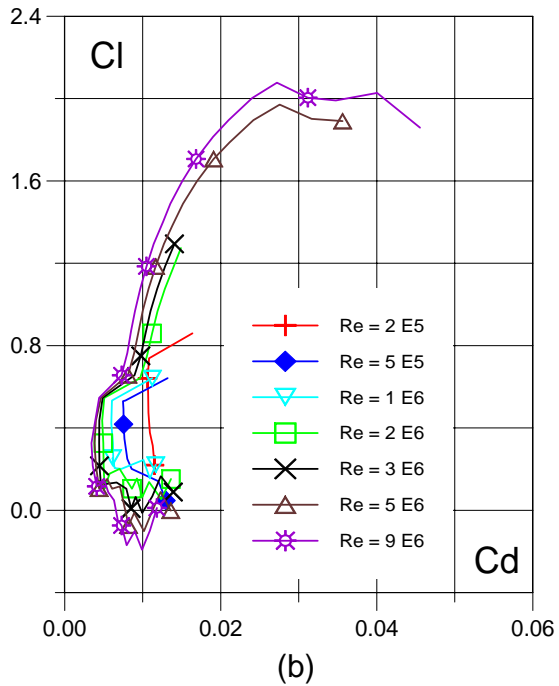
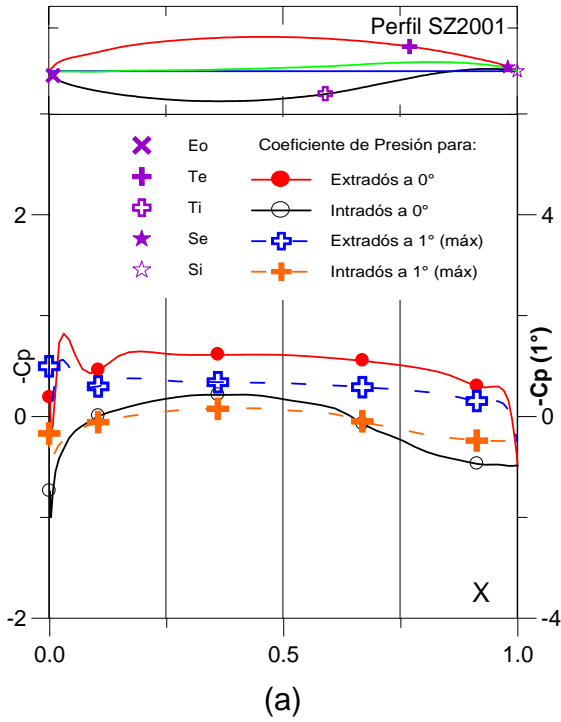


Fig. 5.1.3. (a) C_p (0° , Máx) vs. X para $Re = 1 E 6$ (leer $C_{p\text{máx}}$ a la derecha) y (b) Curvas Polares del Perfil SZ - 2001.

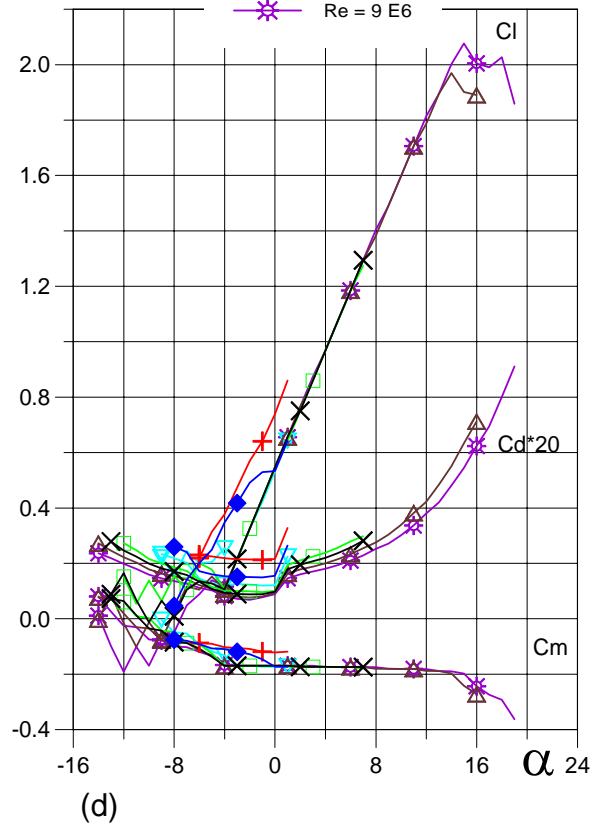
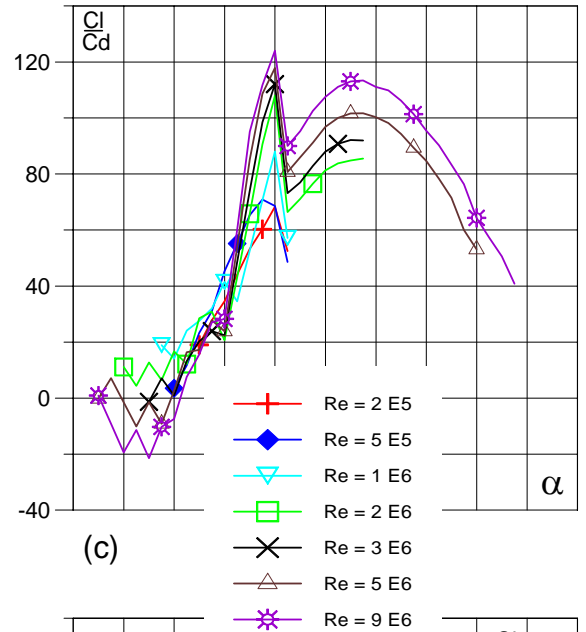


Fig. 5.1.4. (c) Curvas de Cl/Cd y (d) Cl , Cd , C_m vs. Ángulo de ataque del Perfil SZ - 2001.

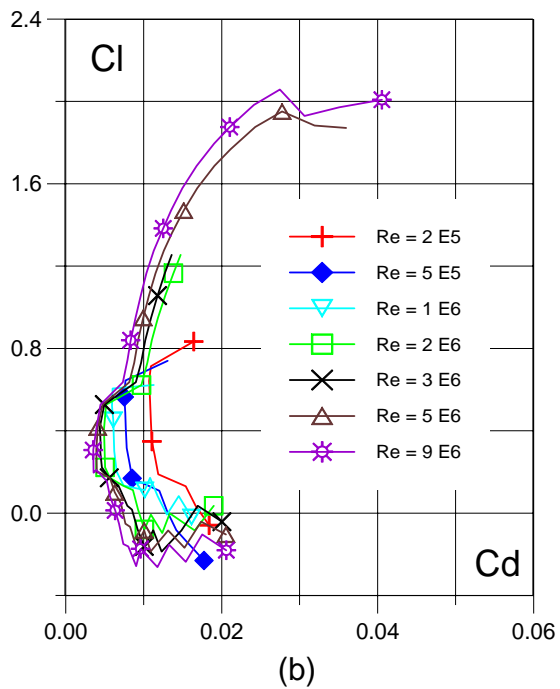
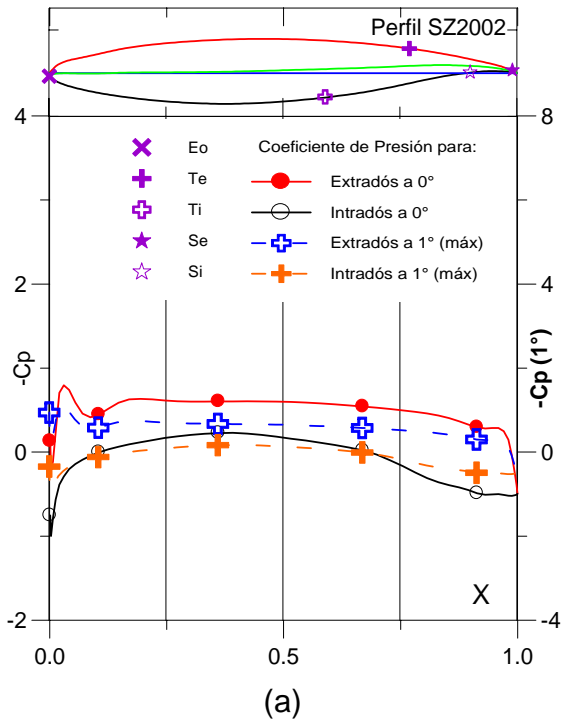


Fig. 5.1.5. (a) C_p (0° , Máx) vs. X para $Re = 1 E 6$ (leer $C_{p\text{máx}}$ a la derecha) y (b) Curvas Polares del Perfil SZ - 2002.

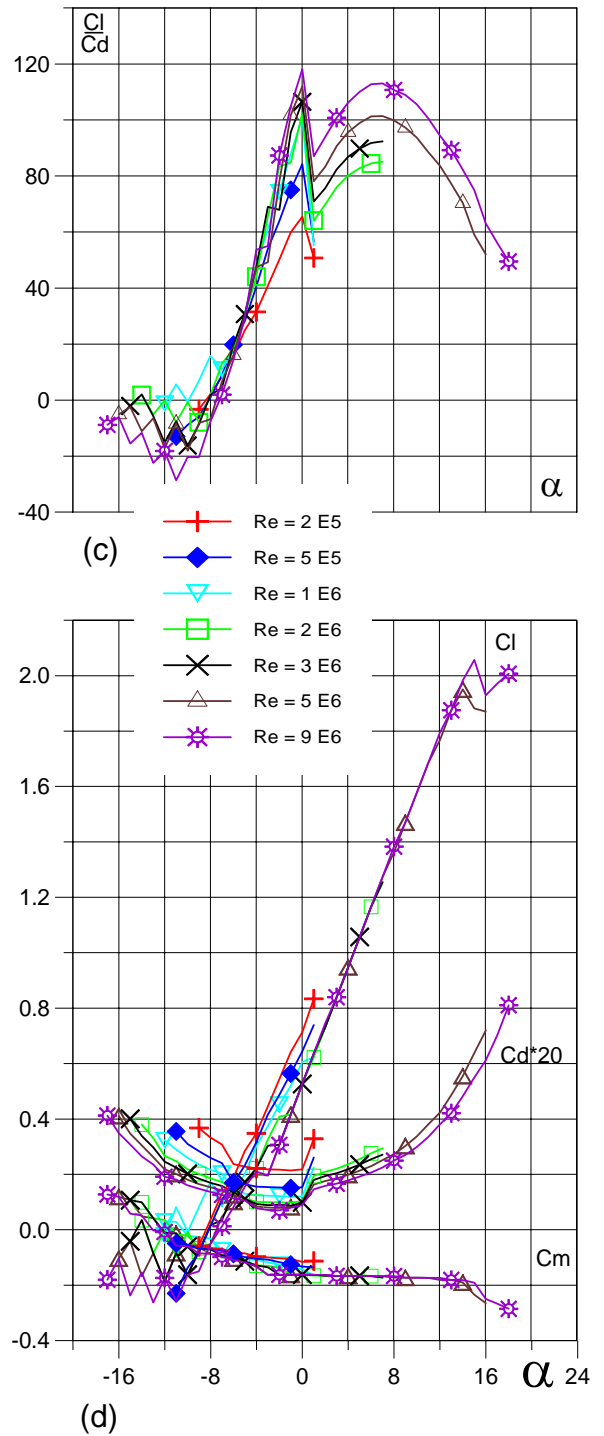


Fig. 5.1.6. (c) Curvas de Cl/Cd y (d) Cl , Cd , C_m vs. Ángulo de ataque del Perfil SZ - 2002.

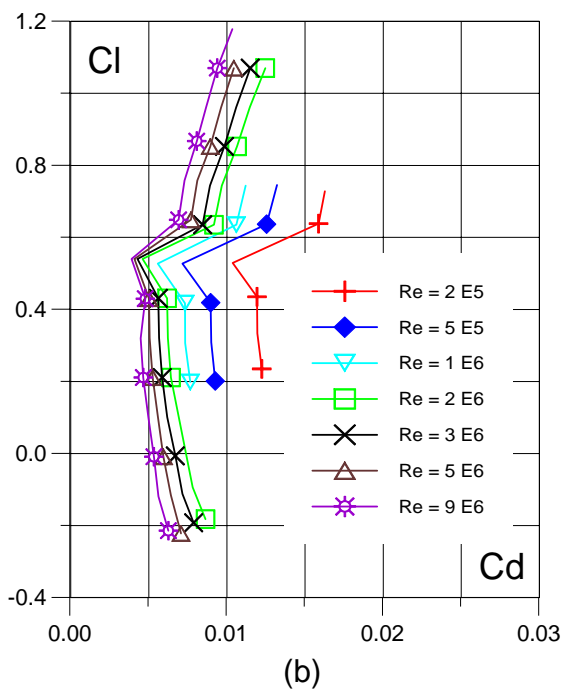
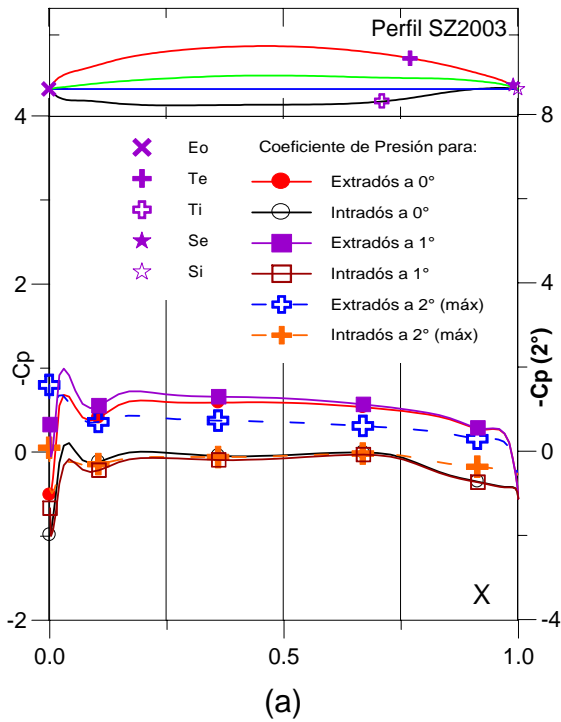


Fig. 5.1.7. (a) C_p (0° , 2° y Máx) vs. X para $Re = 1 E 6$ (leer $C_{p\text{máx}}$ a la derecha) y (b) Curvas Polares del Perfil SZ - 2003.

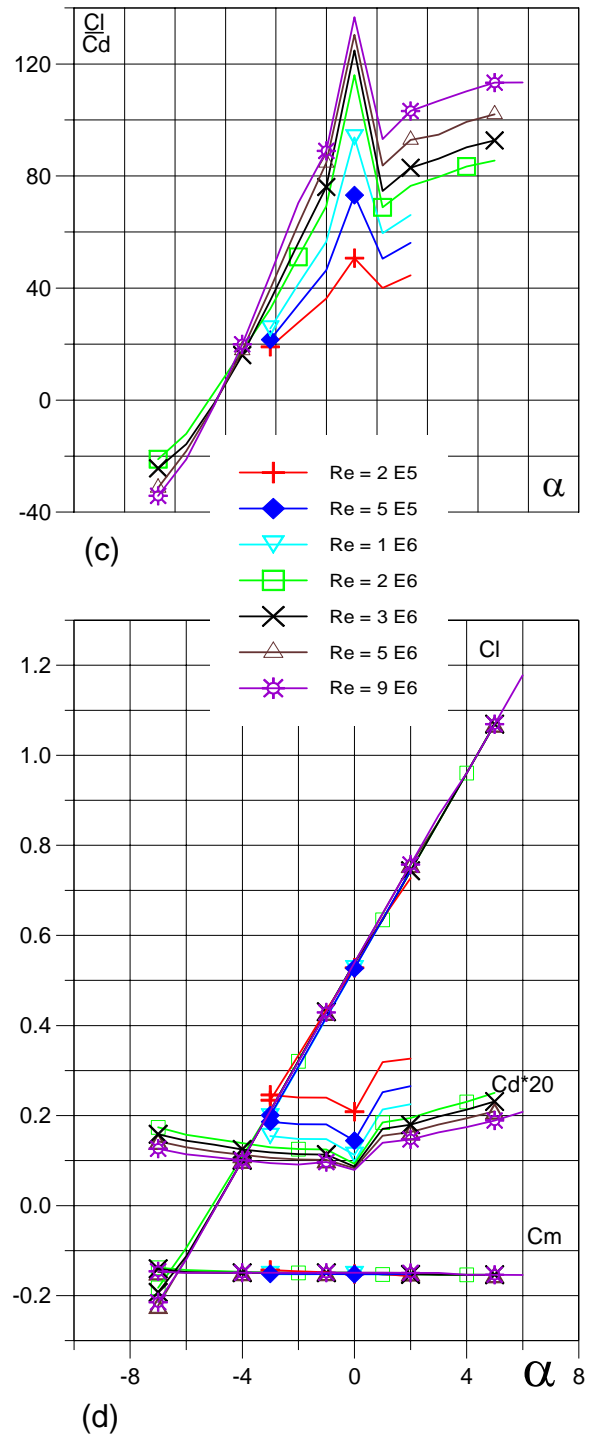


Fig. 5.1.8. (c) Curvas de Cl/Cd y (d) Cl , Cd , C_m vs. Ángulo de ataque del Perfil SZ - 2003.

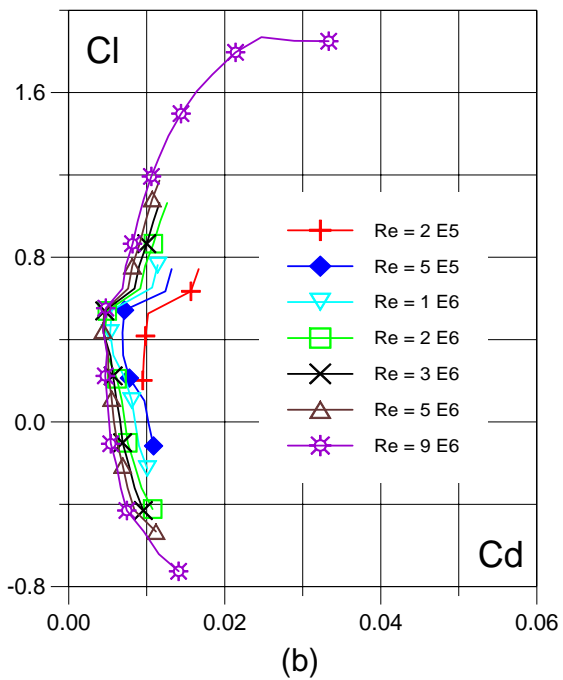
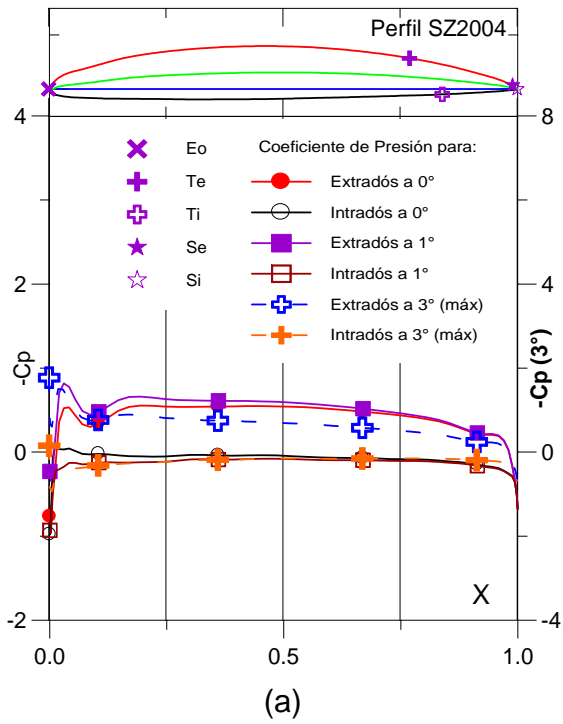


Fig. 5.1.9. (a) C_p (0° , 1° y Máx) vs. X para $Re = 1 E 6$ (leer $C_{p\text{máx}}$ a la derecha) y (b) Curvas Polares del Perfil SZ - 2004.

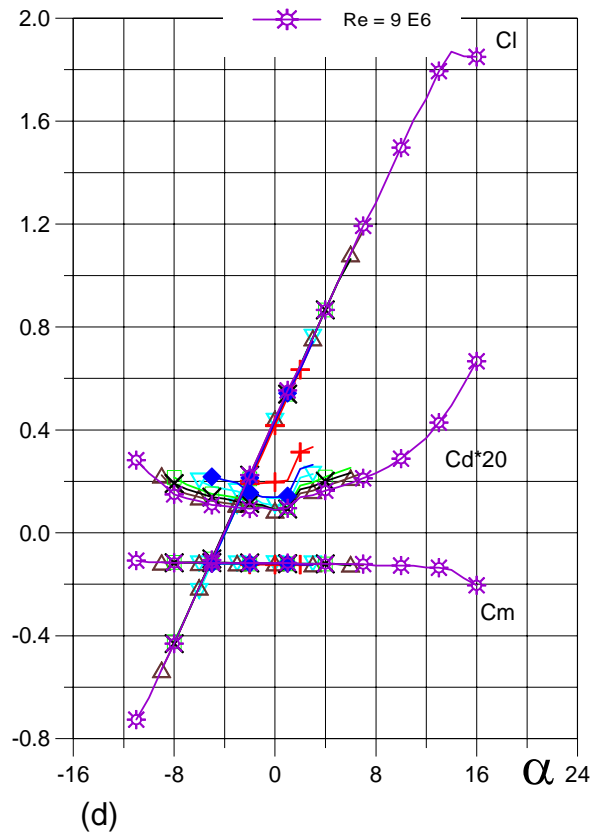
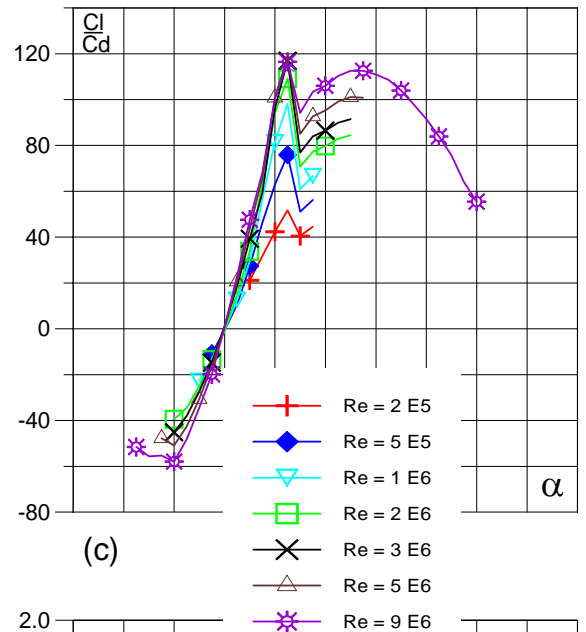


Fig. 5.1.10. (c) Curvas de Cl/Cd y (d) Cl , Cd , C_m vs. Ángulo de ataque del Perfil SZ - 2004.

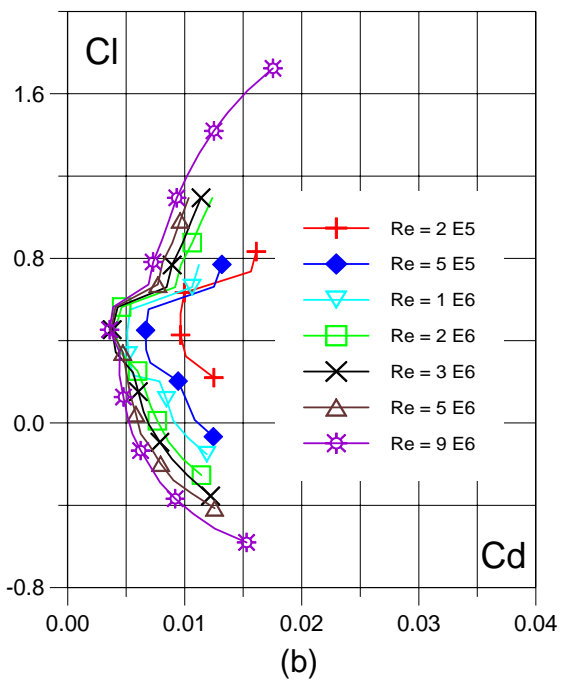
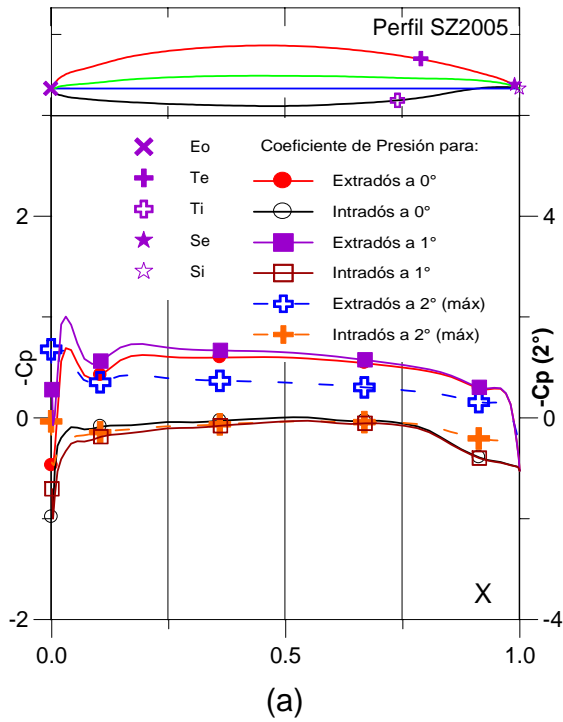


Fig. 5.1.11. (a) C_p (0° , 1° y Max) vs. X para $Re = 1 E 6$ (leer $C_{p\text{max}}$ a la derecha) y (b) Curvas Polares del Perfil SZ - 2005.

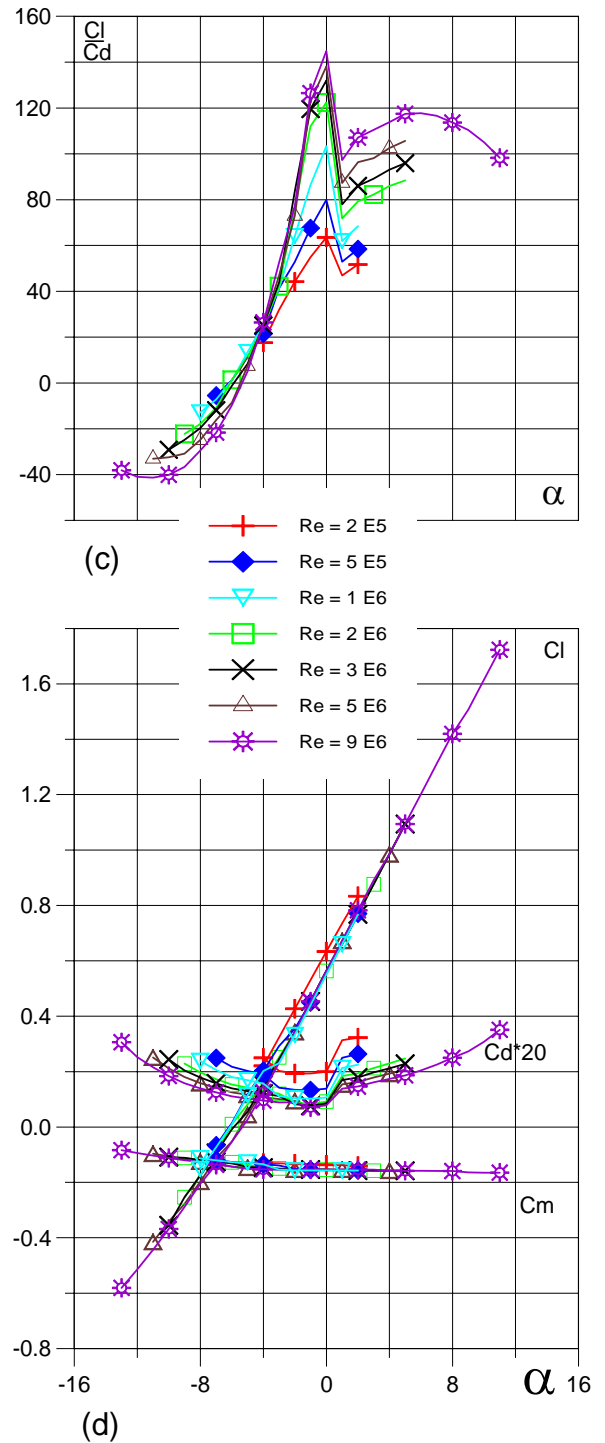


Fig. 5.1.12. (c) Curvas de C_l/C_d y (d) C_l , C_d , C_m vs. ngulo de ataque del Perfil SZ - 2005.

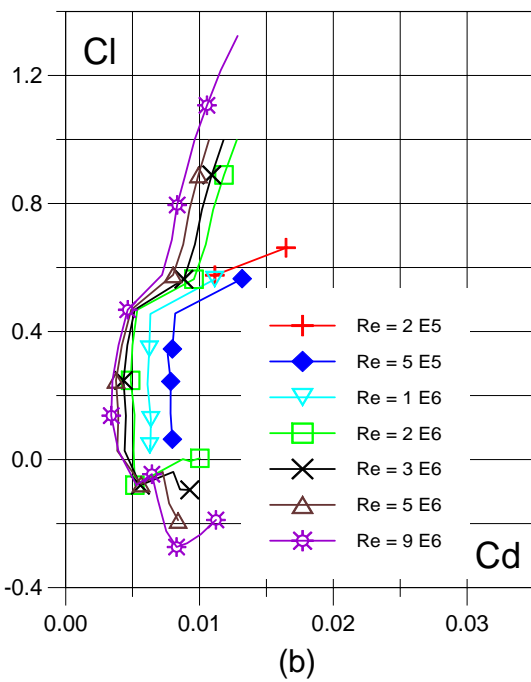
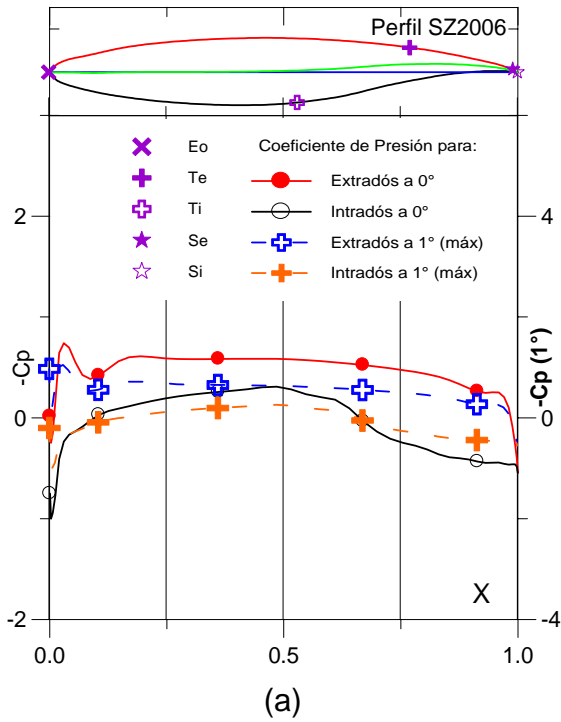


Fig. 5.1.13. (a) C_p (0° y Máx) vs. X para $Re = 1 E 6$ (leer $C_{p\text{máx}}$ a la derecha) y (b) Curvas Polares del Perfil SZ - 2006.

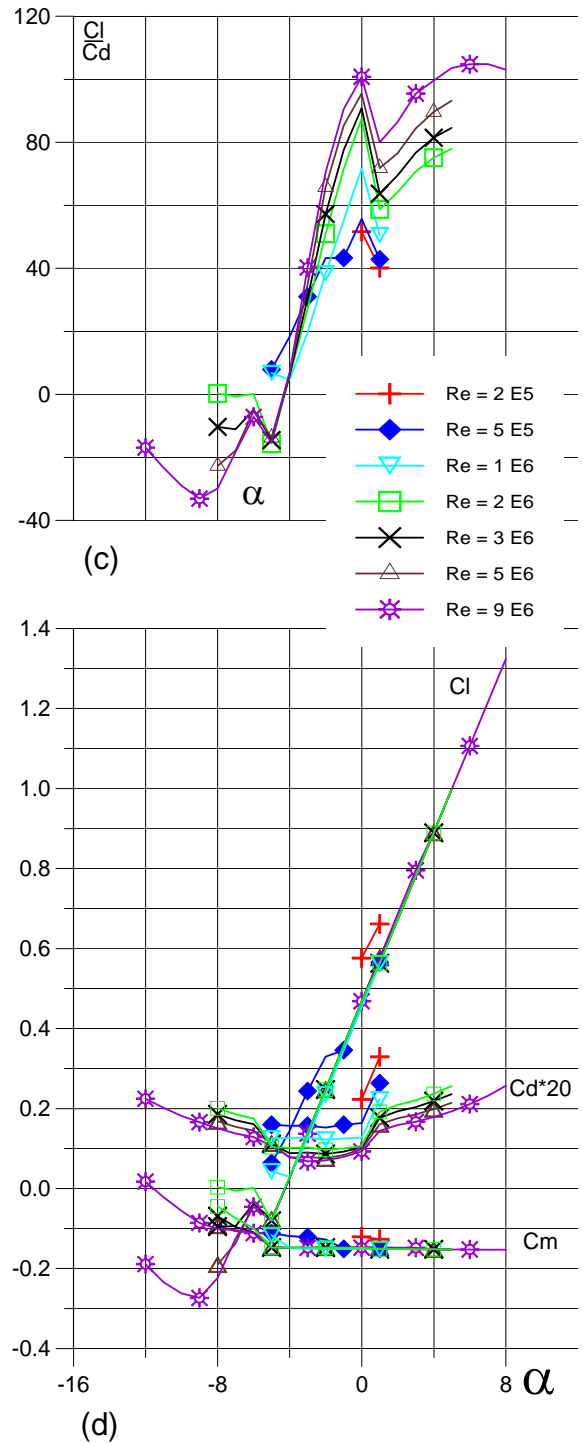


Fig. 5.1.14. (c) Curvas de Cl/C_d y (d) Cl , C_d , C_m vs. Ángulo de ataque del Perfil SZ - 2006.

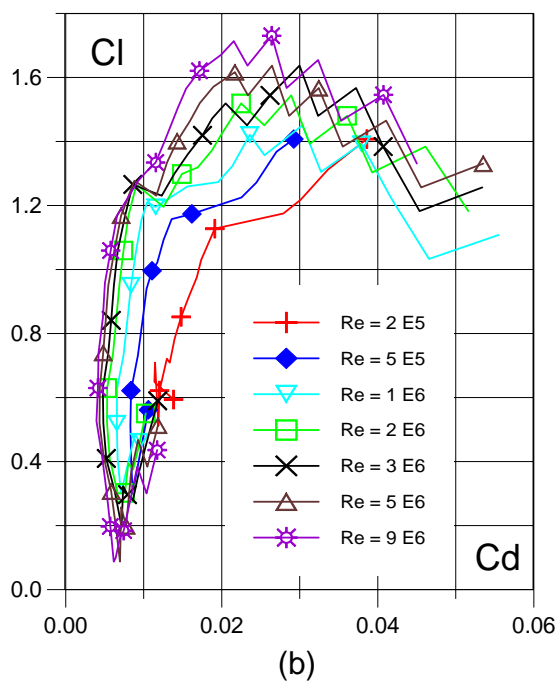
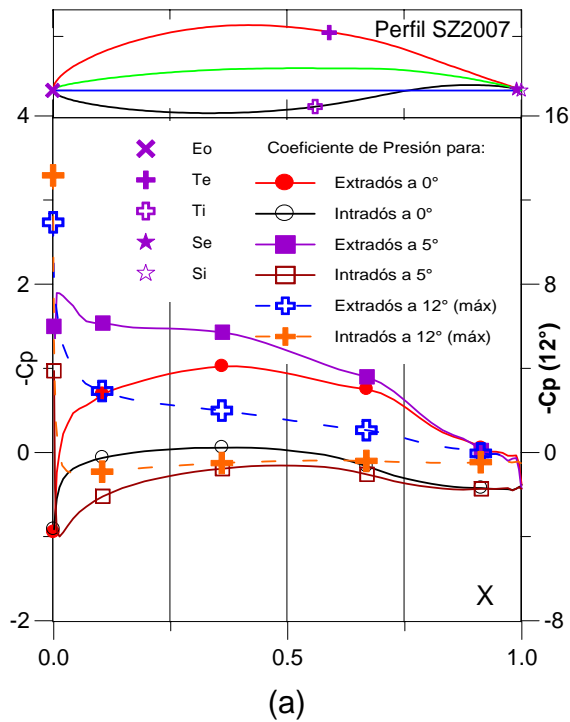


Fig. 5.1.15. (a) C_p (0°, 5° y Máx) vs. X para $Re = 1 E 6$ (leer $C_{p\text{máx}}$ a la derecha) y (b) Curvas Polares del Perfil SZ - 2007.

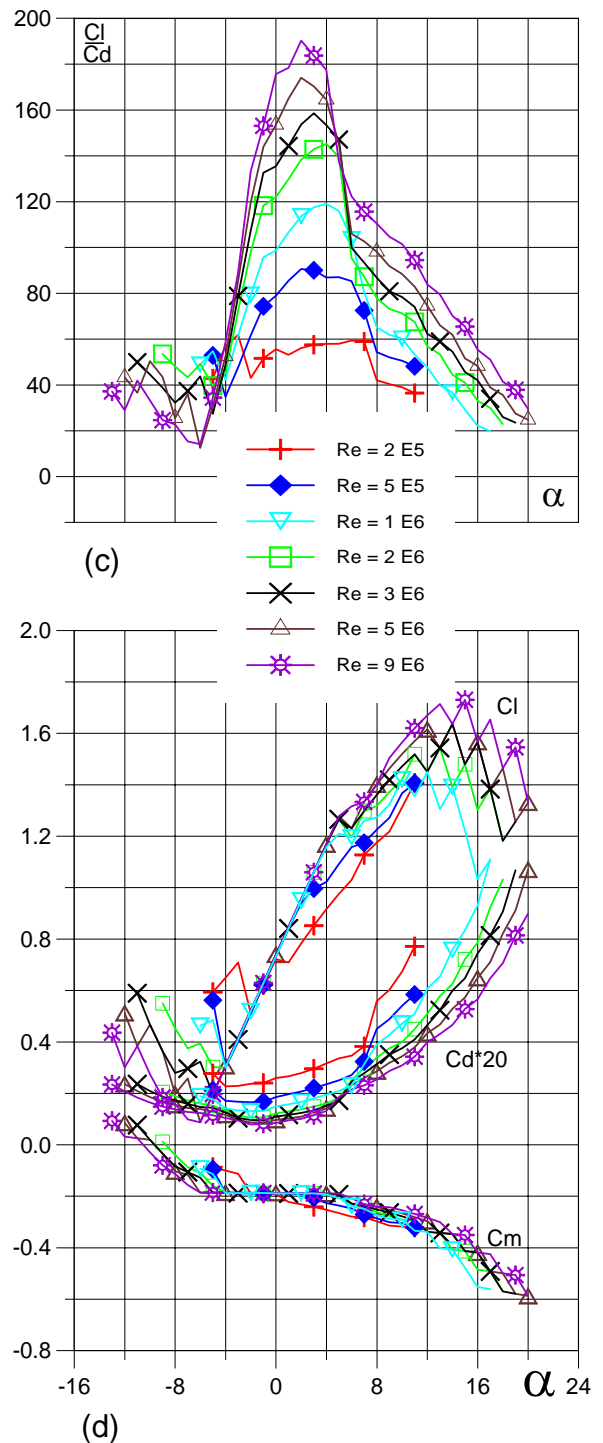


Fig. 5.1.16. (c) Curvas de Cl/Cd y (d) Cl , Cd , C_m vs. Ángulo de ataque del Perfil SZ - 2007.

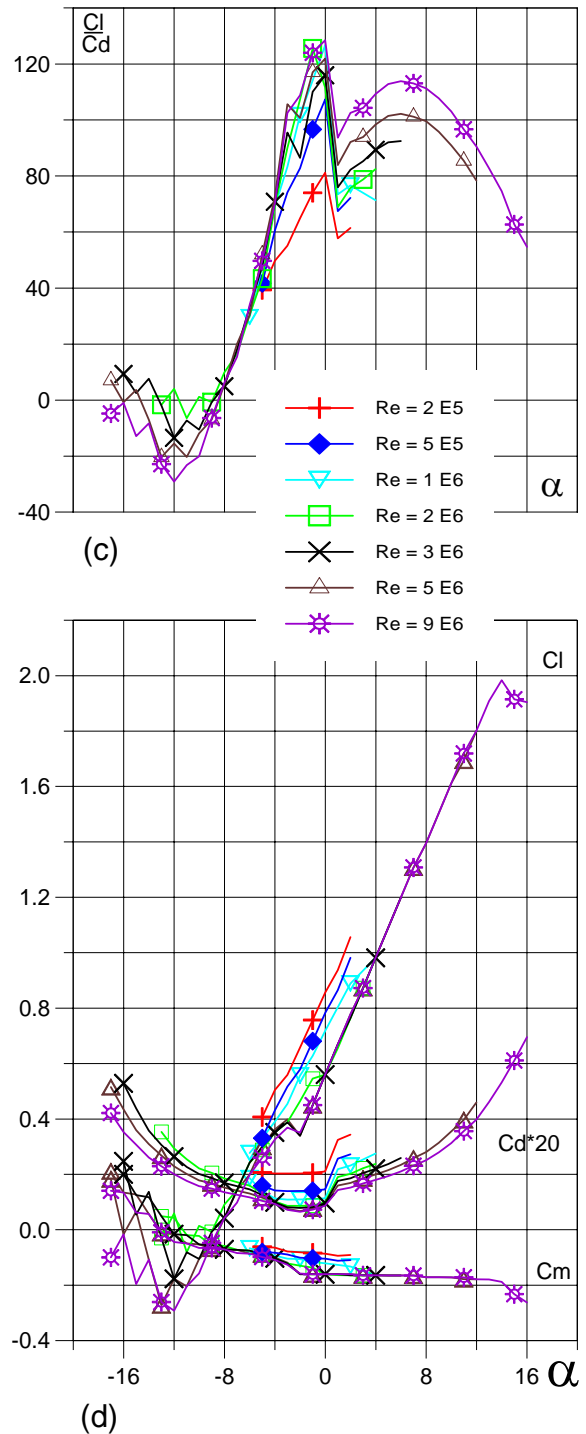
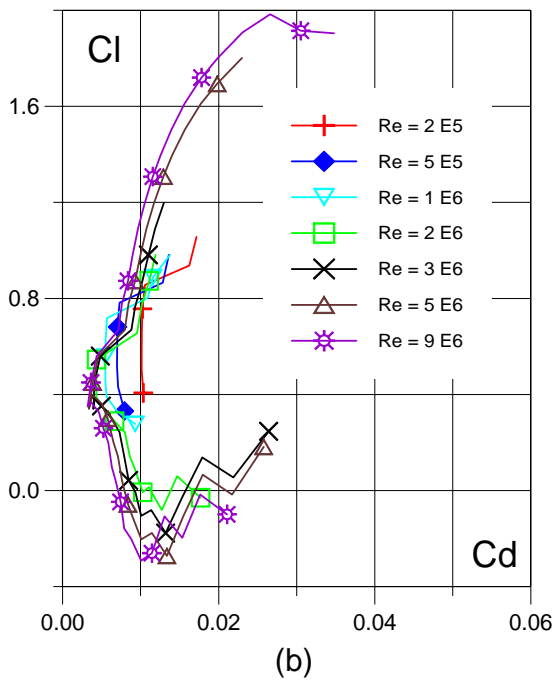
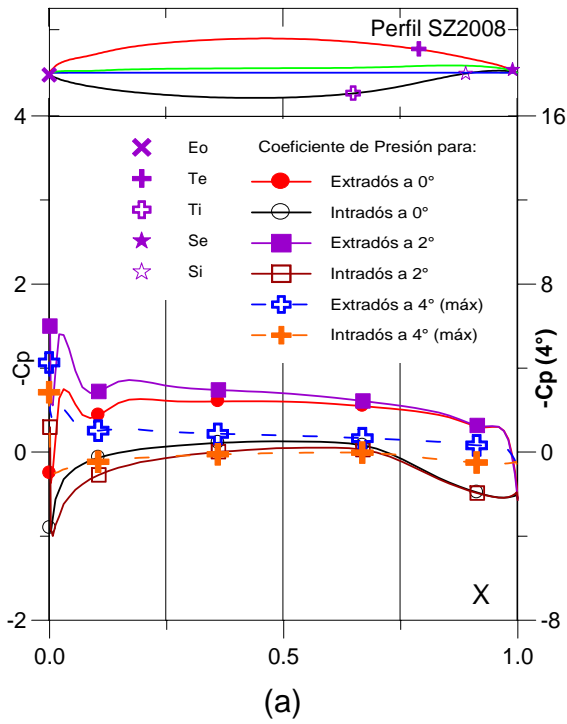


Fig. 5.1.17. (a) C_p (0° , 2° y Máx) vs. X para $Re = 1 E 6$ (leer $C_{p\text{máx}}$ a la derecha) y (b) Curvas Polares del Perfil SZ - 2008.

Fig. 5.1.18. (c) Curvas de Cl/C_d y (d) Cl , C_d , C_m vs. Ángulo de ataque del Perfil SZ - 2008.

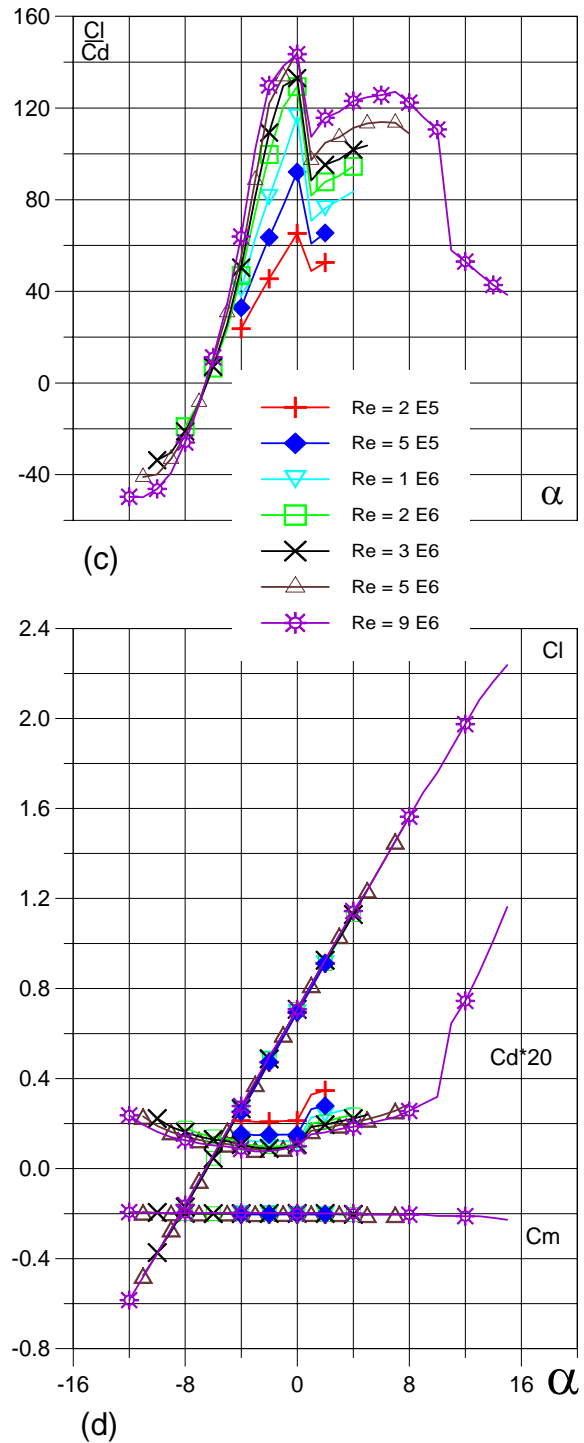
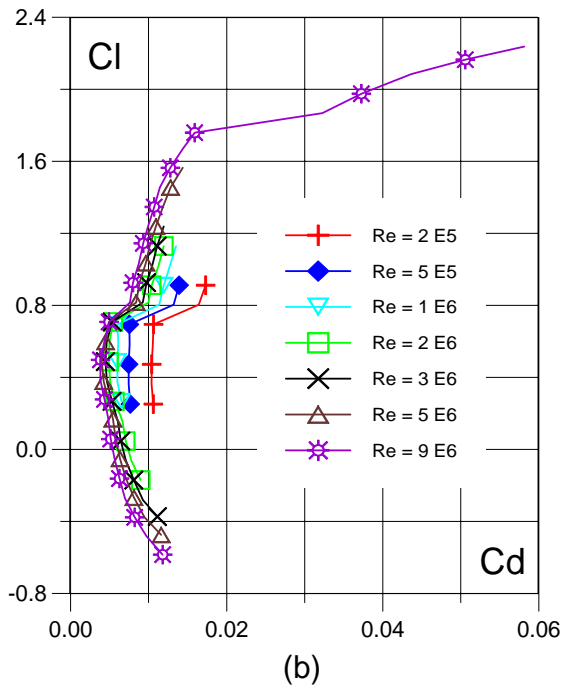
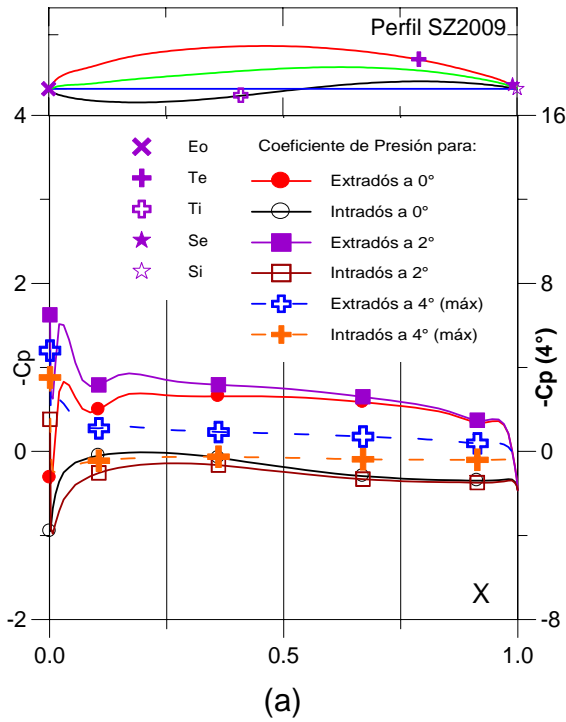


Fig. 5.1.19. (a) C_p (0° , 2° y Máx) vs. X para $Re = 1 E 6$ (leer $C_{p\text{máx}}$ a la derecha) y (b) Curvas Polares del Perfil SZ - 2009.

Fig. 5.1.20. (c) Curvas de Cl/Cd y (d) Cl , Cd , C_m vs. Ángulo de ataque del Perfil SZ - 2009.

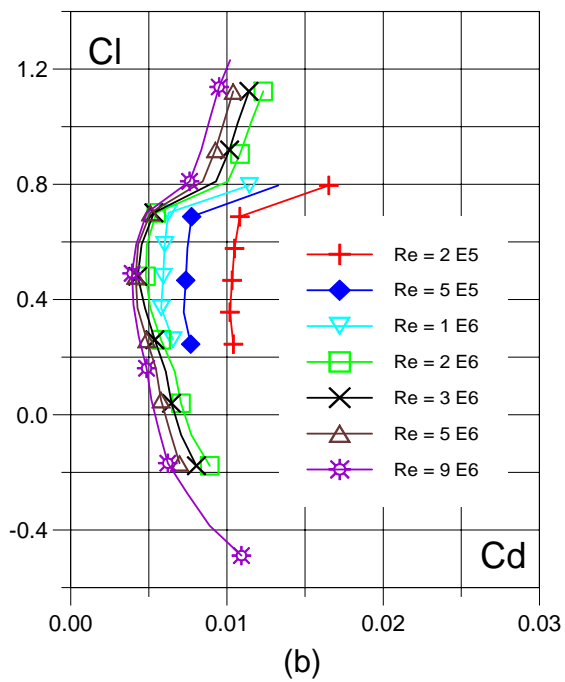
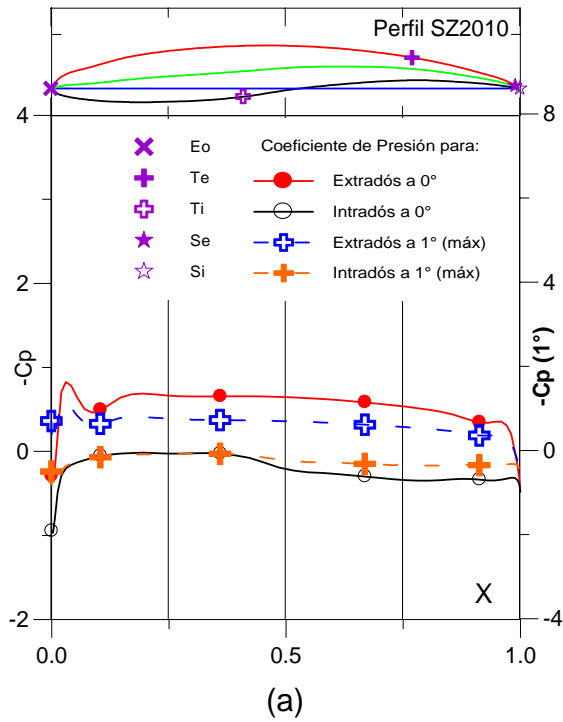


Fig. 5.1.21. (a) C_p (0° y Máx) vs. X para $Re = 1 E 6$ (leer $C_{p\text{máx}}$ a la derecha) y (b) Curvas Polares del Perfil SZ - 2010.

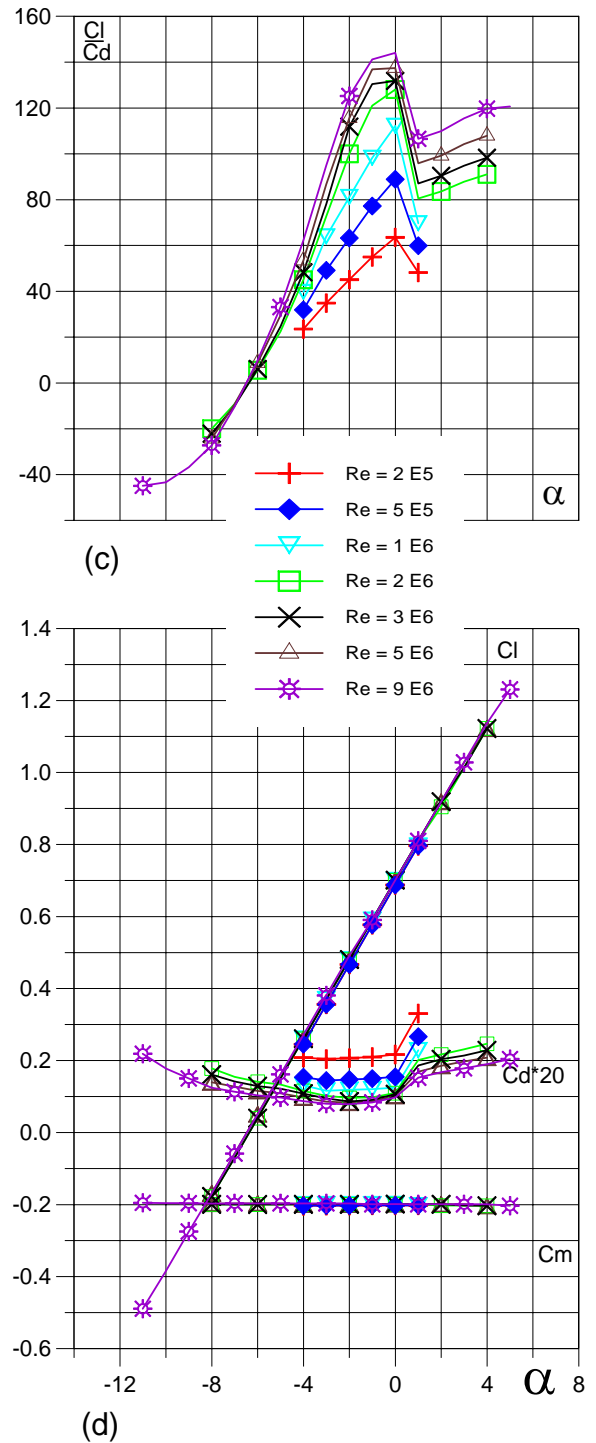


Fig. 5.1.22. (c) Curvas de Cl/Cd y (d) Cl , Cd , C_m vs. Ángulo de ataque del Perfil SZ - 2010.

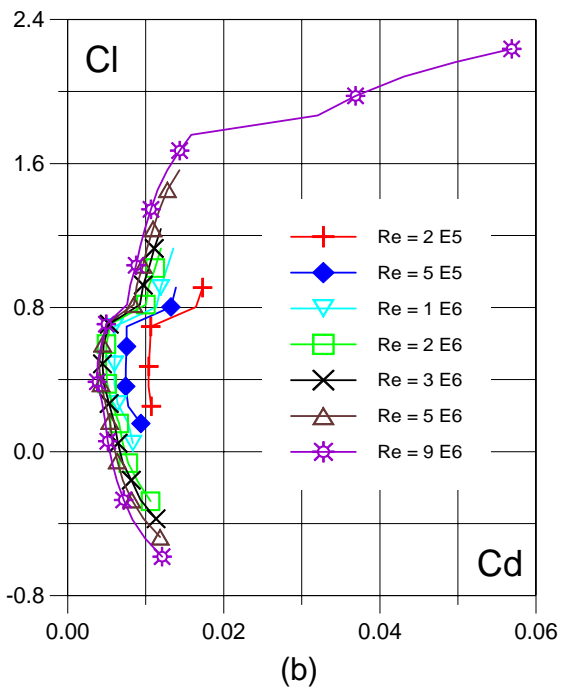
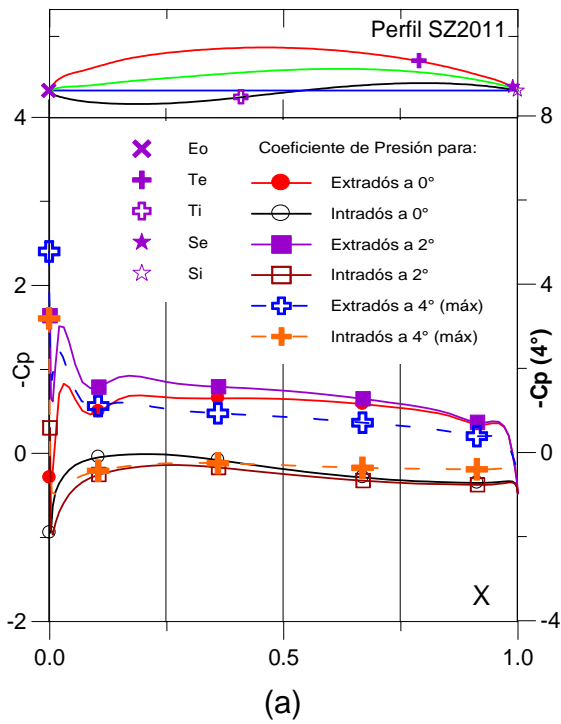


Fig. 5.1.23. (a) C_p (0° , 2° y Máx) vs. X para $Re = 1 E 6$ (leer $C_{p\text{máx}}$ a la derecha) y (b) Curvas Polares del Perfil SZ - 2011.

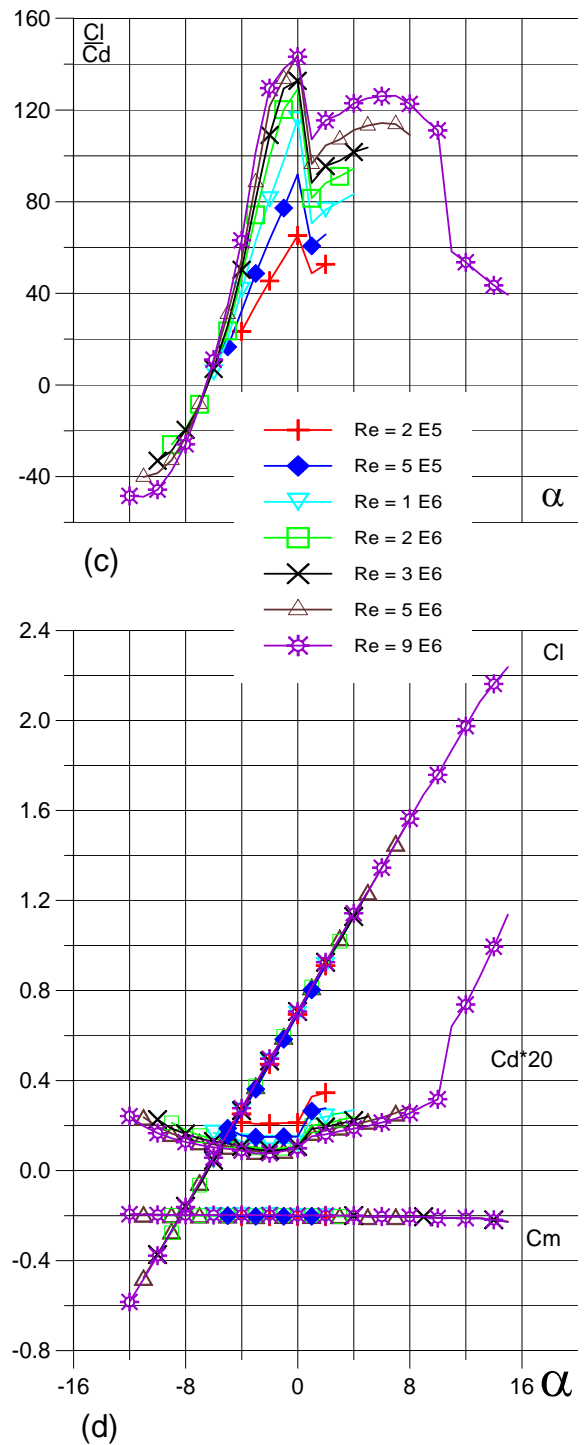


Fig. 5.1.24. (c) Curvas de C_l/C_d y (d) C_l , C_d , C_m vs. Ángulo de ataque del Perfil SZ - 2011.

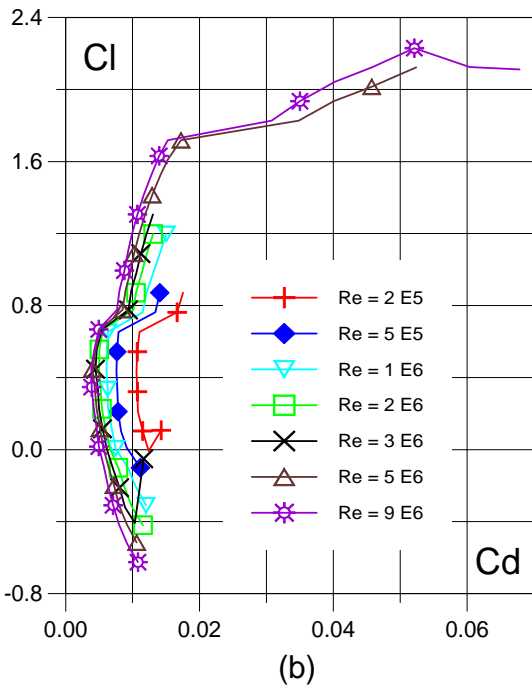
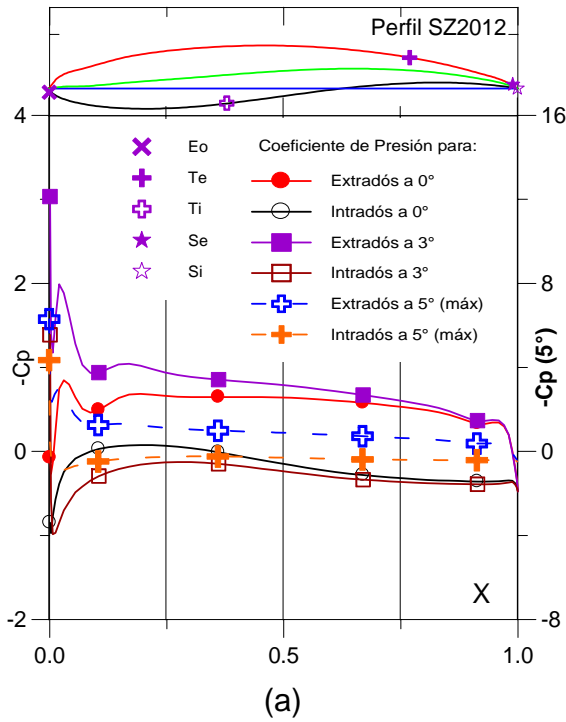


Fig. 5.1.25. (a) C_p (0° , 3° y Máx) vs. X para $Re = 1 E 6$ (leer $C_{p\text{máx}}$ a la derecha) y (b) Curvas Polares del Perfil SZ - 2012.

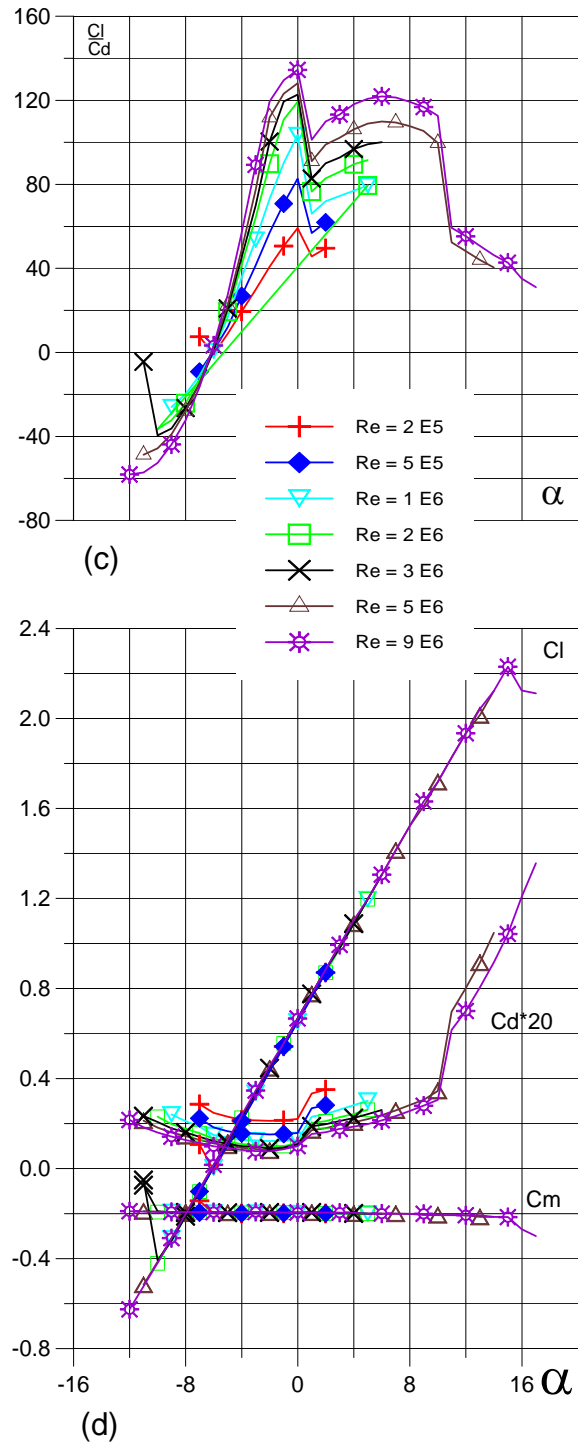


Fig. 5.1.26. (c) Curvas de Cl/Cd y (d) Cl , Cd , Cm vs. Ángulo de ataque del Perfil SZ - 2012.

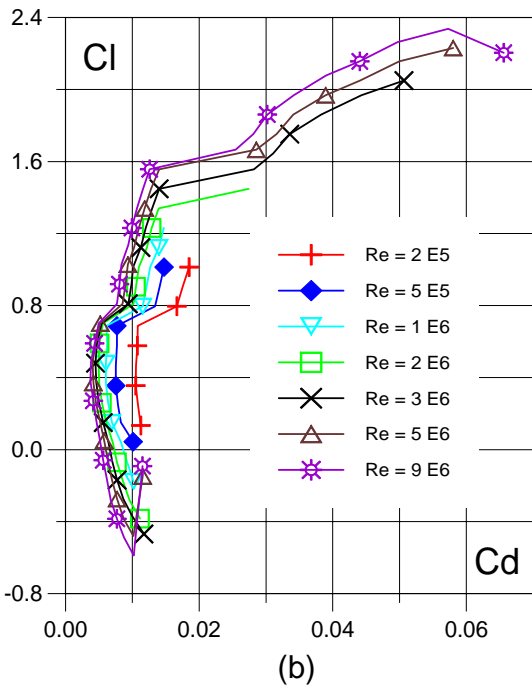
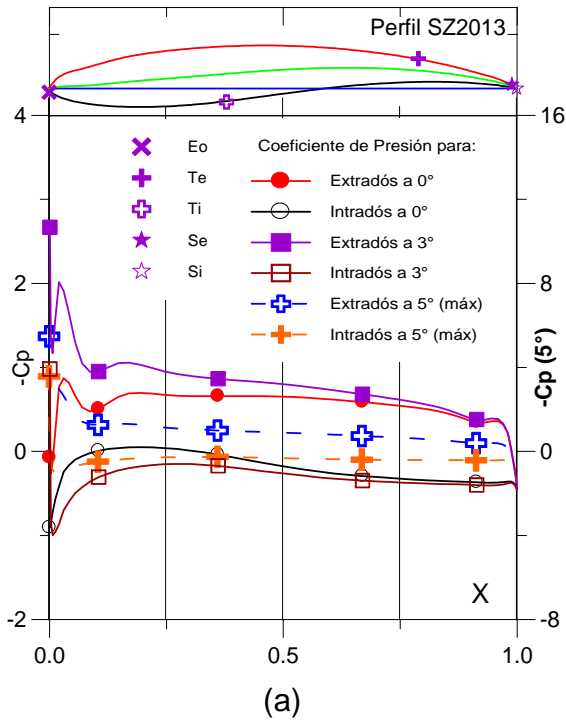


Fig. 5.1.27. (a) C_p (0° , 3° y Máx) vs. X para $Re = 1 E 6$ (leer $C_{p\text{máx}}$ a la derecha) y (b) Curvas Polares del Perfil SZ - 2013.

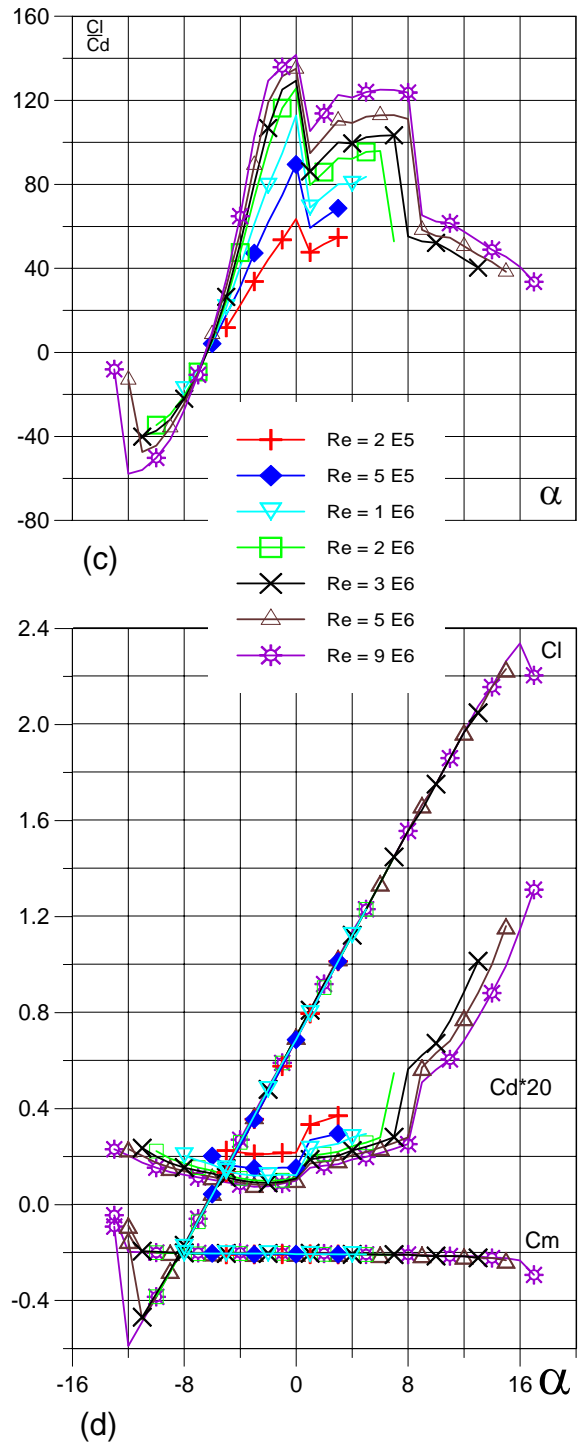


Fig. 5.1.28. (c) Curvas de Cl/Cd y (d) Cl , Cd , C_m vs. Ángulo de ataque del Perfil SZ - 2013.

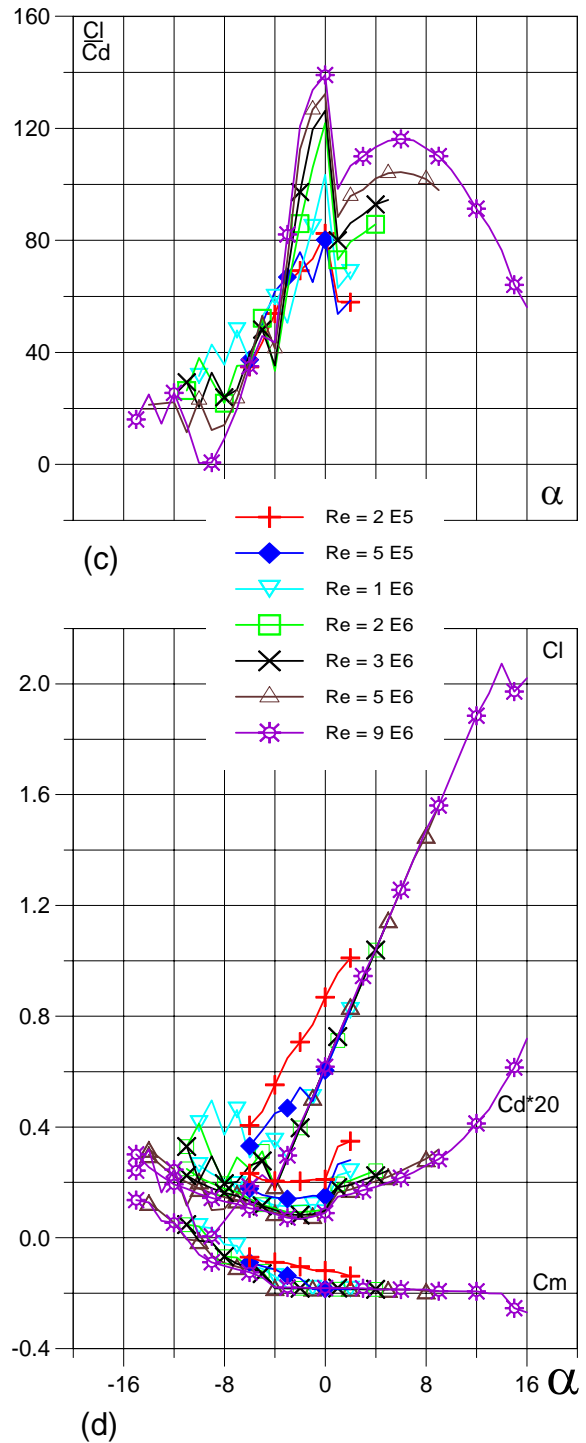
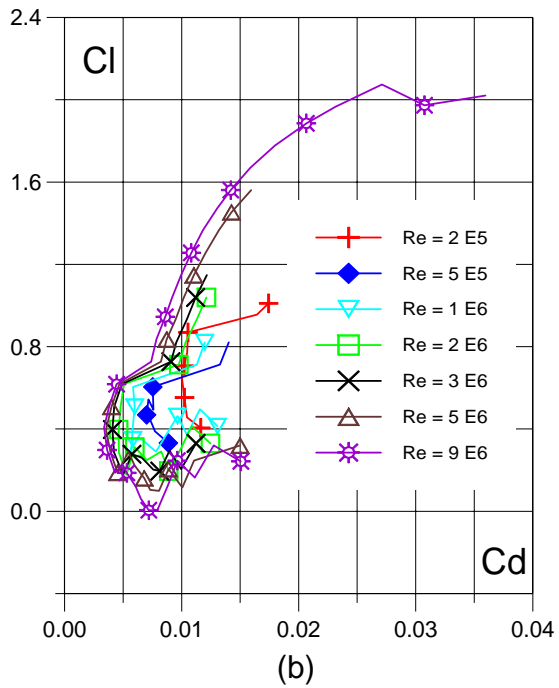
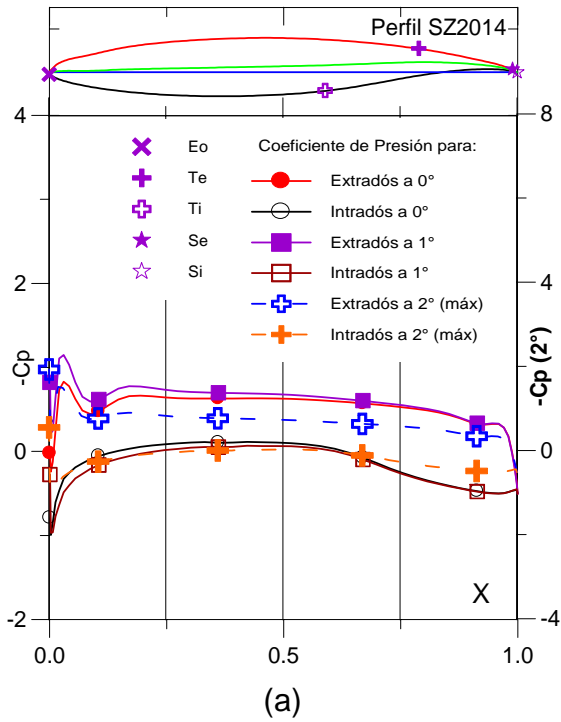


Fig. 5.1.29. (a) C_p (0° , 1° y Máx) vs. X para $Re = 1 E 6$ (leer $C_{p\text{máx}}$ a la derecha) y (b) Curvas Polares del Perfil SZ - 2014.

Fig. 5.1.30. (c) Curvas de C_l/C_d y (d) C_l , C_d , C_m vs. Ángulo de ataque del Perfil SZ - 2014.

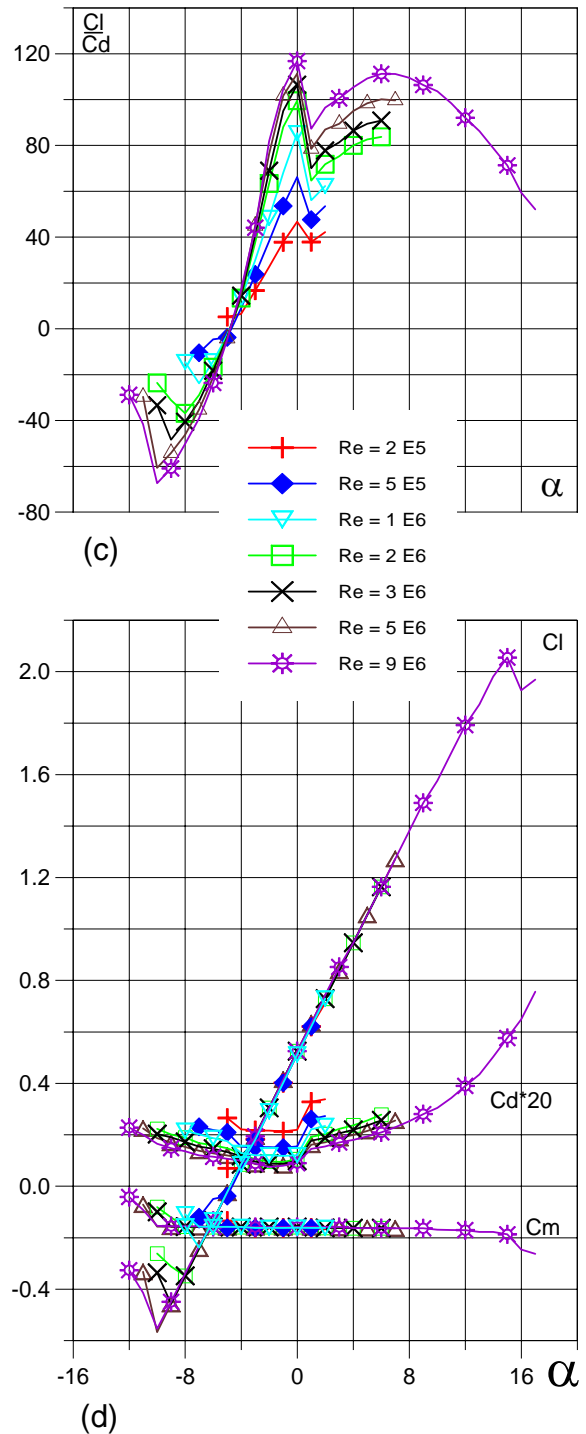
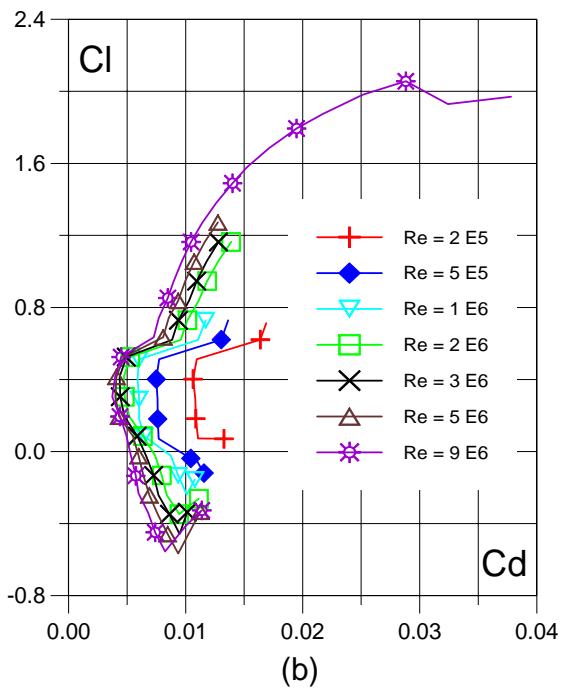
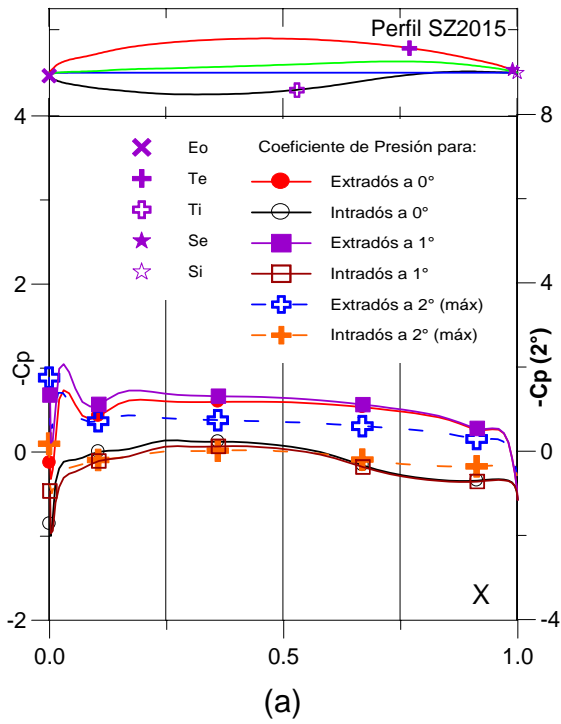


Fig. 5.1.31. (a) C_p (0° , 1° y Máx) vs. X para $Re = 1 E 6$ (leer $C_{p\text{máx}}$ a la derecha) y (b) Curvas Polares del Perfil SZ - 2015.

Fig. 5.1.32. (c) Curvas de Cl/Cd y (d) Cl , Cd , Cm vs. Ángulo de ataque del Perfil SZ - 2015.

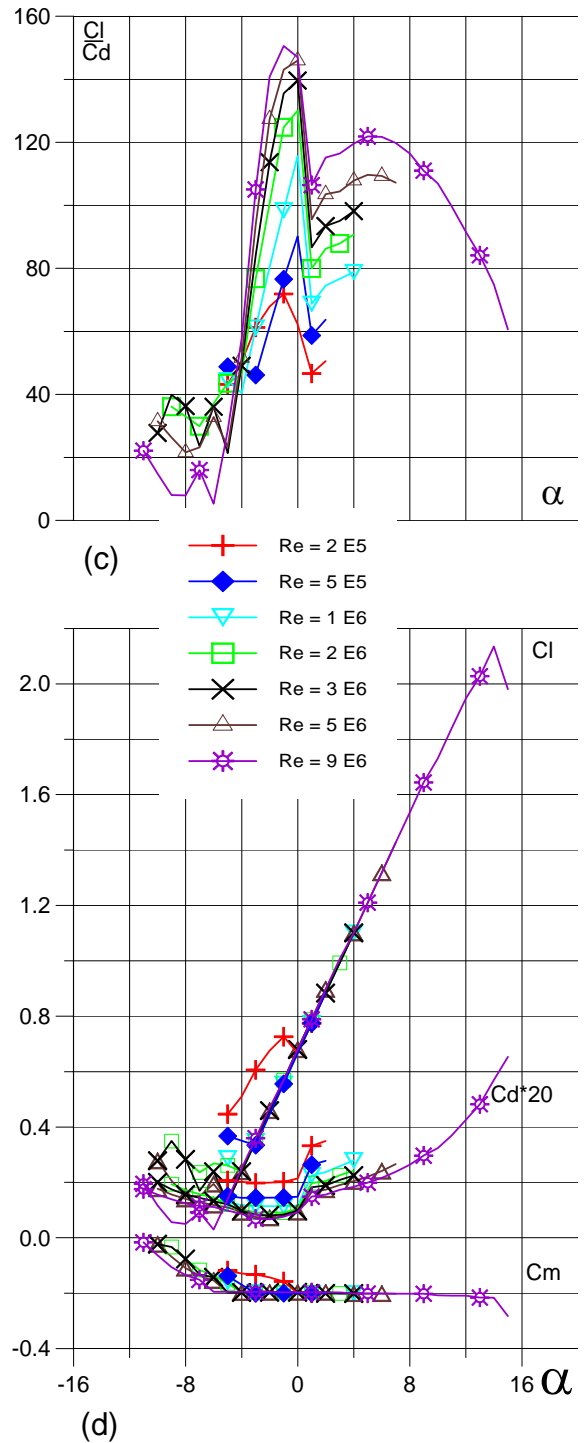
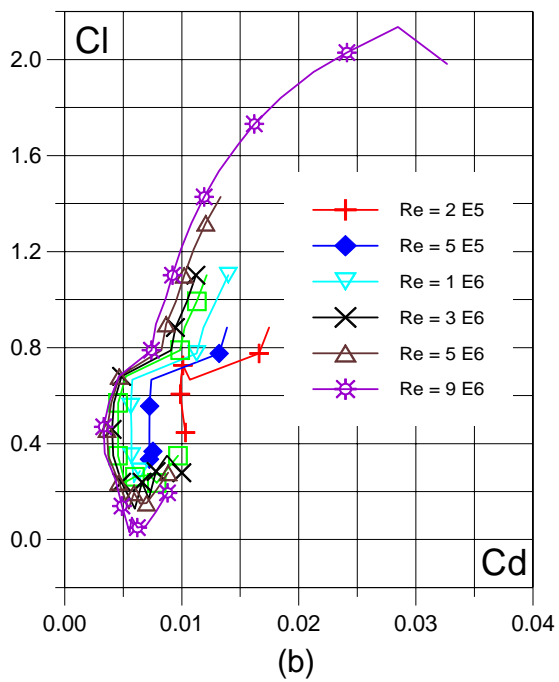
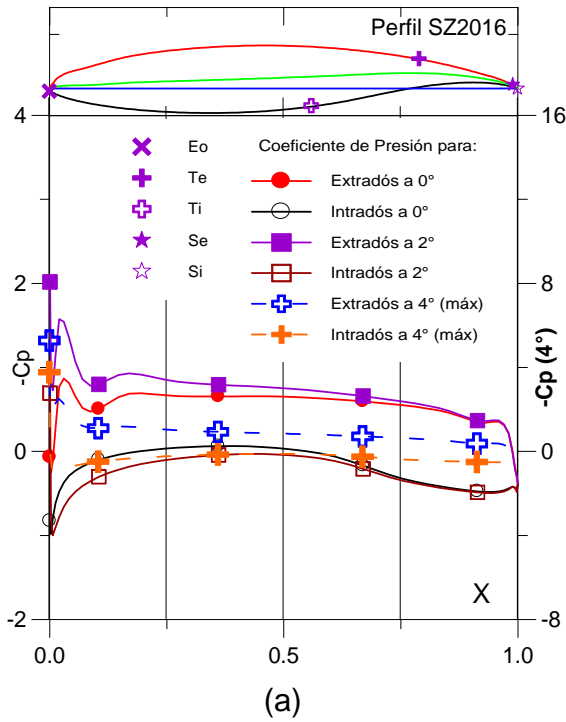


Fig. 5.1.33. (a) C_p (0° , 2° y Máx) vs. X para $Re = 1 E 6$ (leer $C_{p\text{máx}}$ a la derecha) y (b) Curvas Polares del Perfil SZ - 2016.

Fig. 5.1.34. (c) Curvas de Cl/Cd y (d) Cl , Cd , Cm vs. Ángulo de ataque del Perfil SZ - 2016.

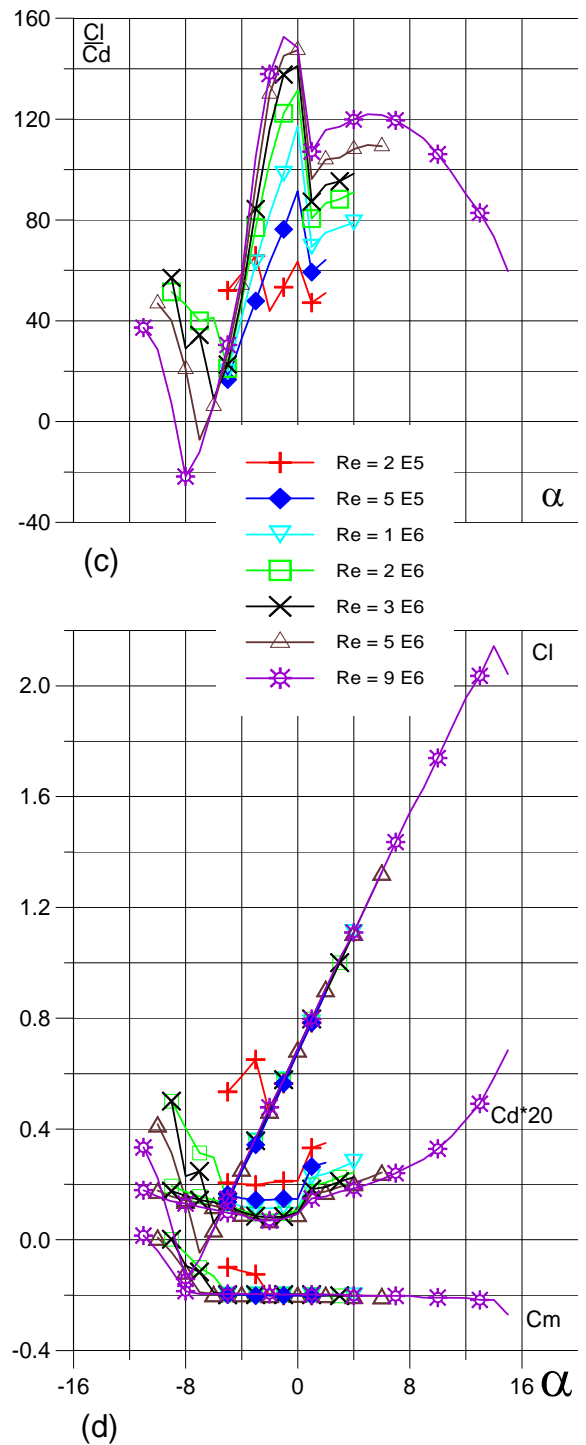
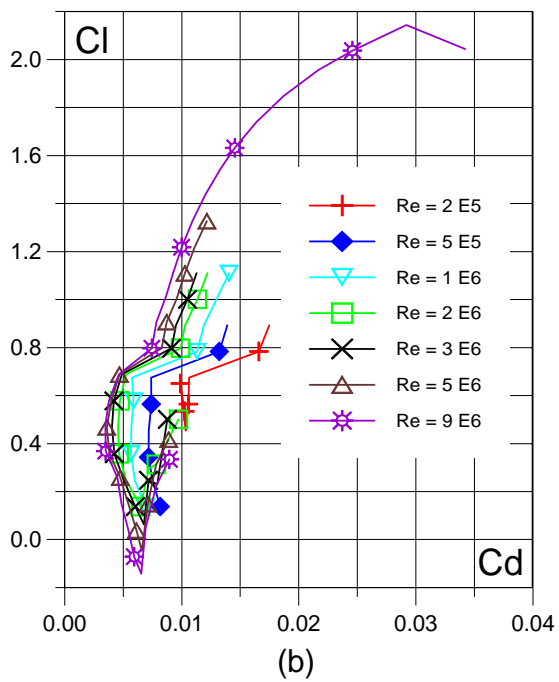
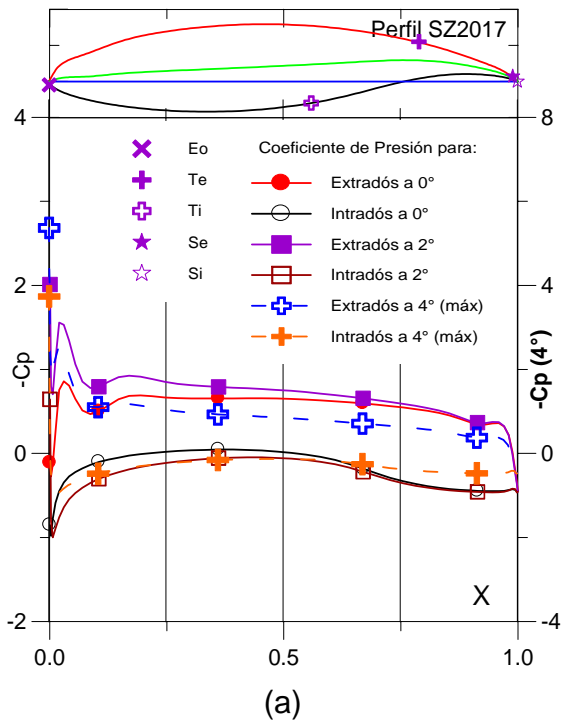


Fig. 5.1.35. (a) C_p (0° , 2° y Máx) vs. X para $Re = 1 E 6$ (leer $C_{p\text{máx}}$ a la derecha) y (b) Curvas Polares del Perfil SZ - 2017.

Fig. 5.1.36. (c) Curvas de Cl/Cd y (d) Cl , Cd , Cm vs. Ángulo de ataque del Perfil SZ - 2017.

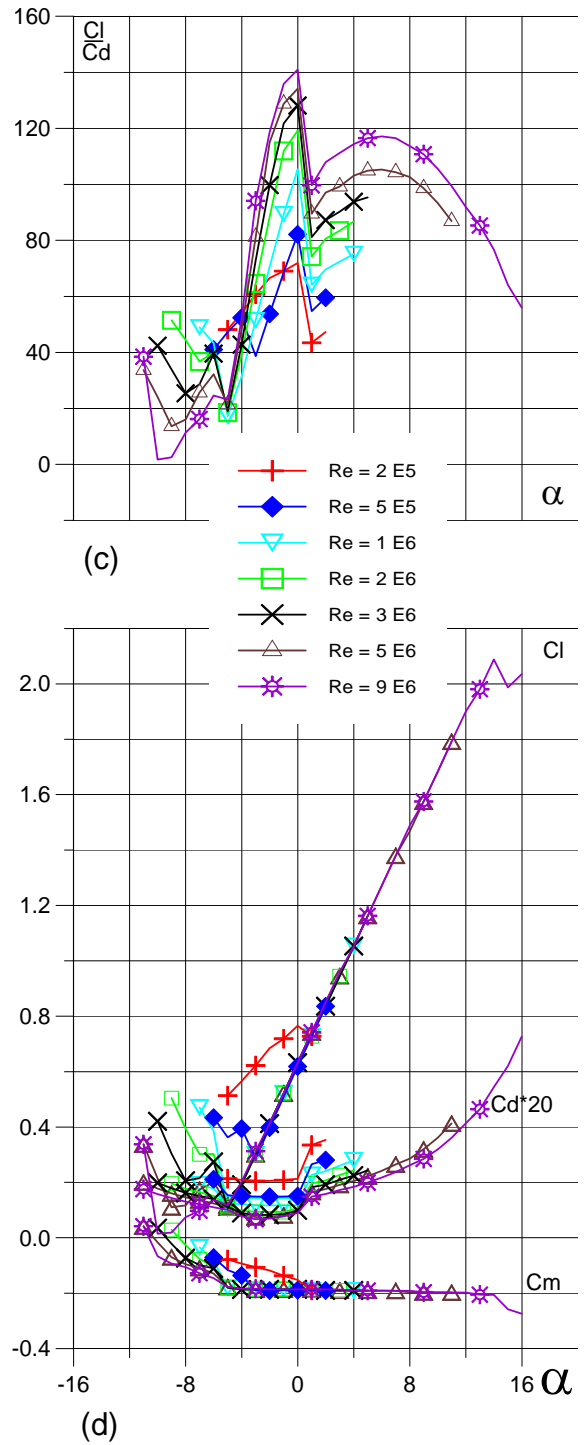
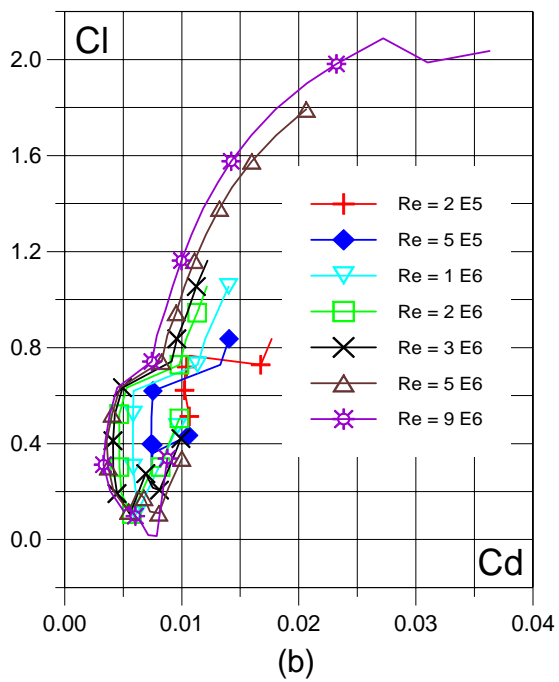
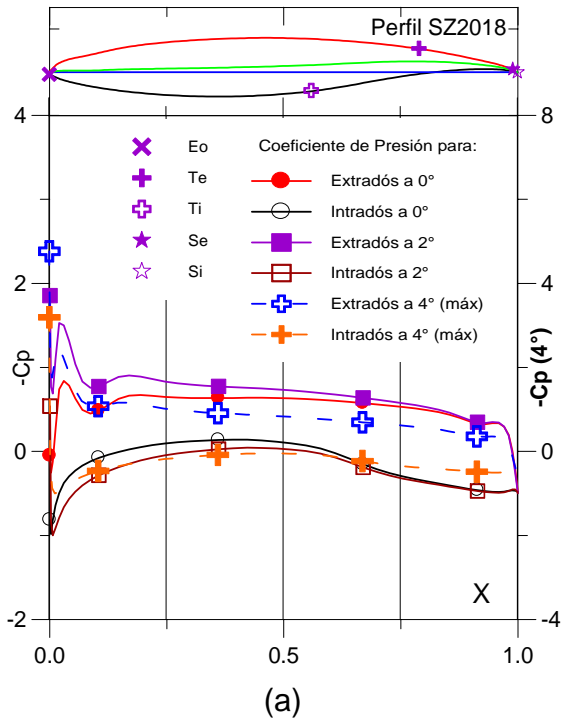


Fig. 5.1.37. (a) C_p (0° , 2° y Máx) vs. X para $Re = 1 E 6$ (leer $C_{p\text{máx}}$ a la derecha) y (b) Curvas Polares del Perfil SZ - 2018.

Fig. 5.1.38. (c) Curvas de Cl/Cd y (d) Cl , Cd , C_m vs. Ángulo de ataque del Perfil SZ - 2018.

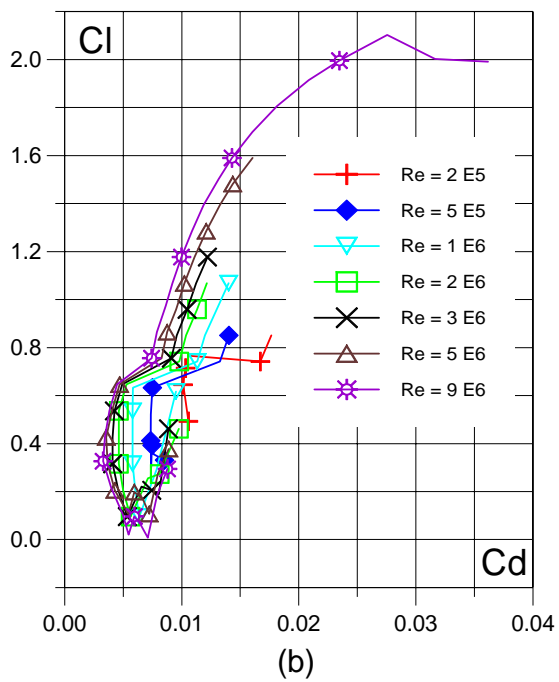
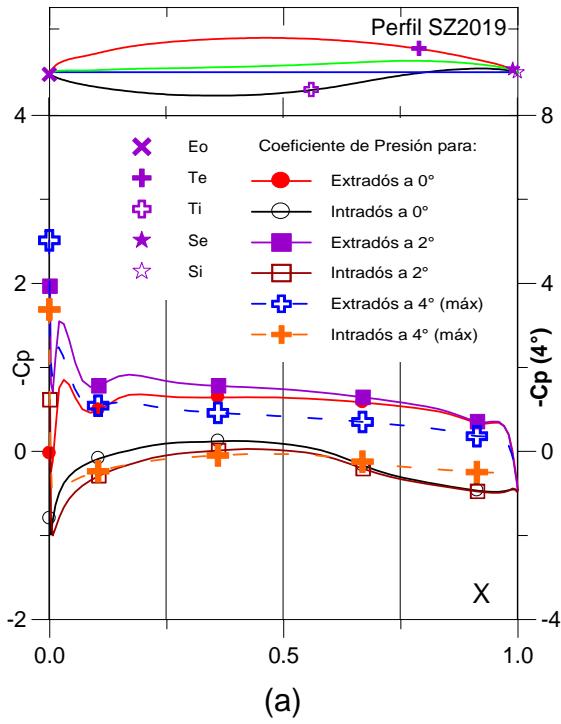


Fig. 5.1.39. (a) C_p (0° , 2° y Máx) vs. X para $Re = 1 E 6$ (leer $C_{p\text{máx}}$ a la derecha) y (b) Curvas Polares del Perfil SZ - 2019.

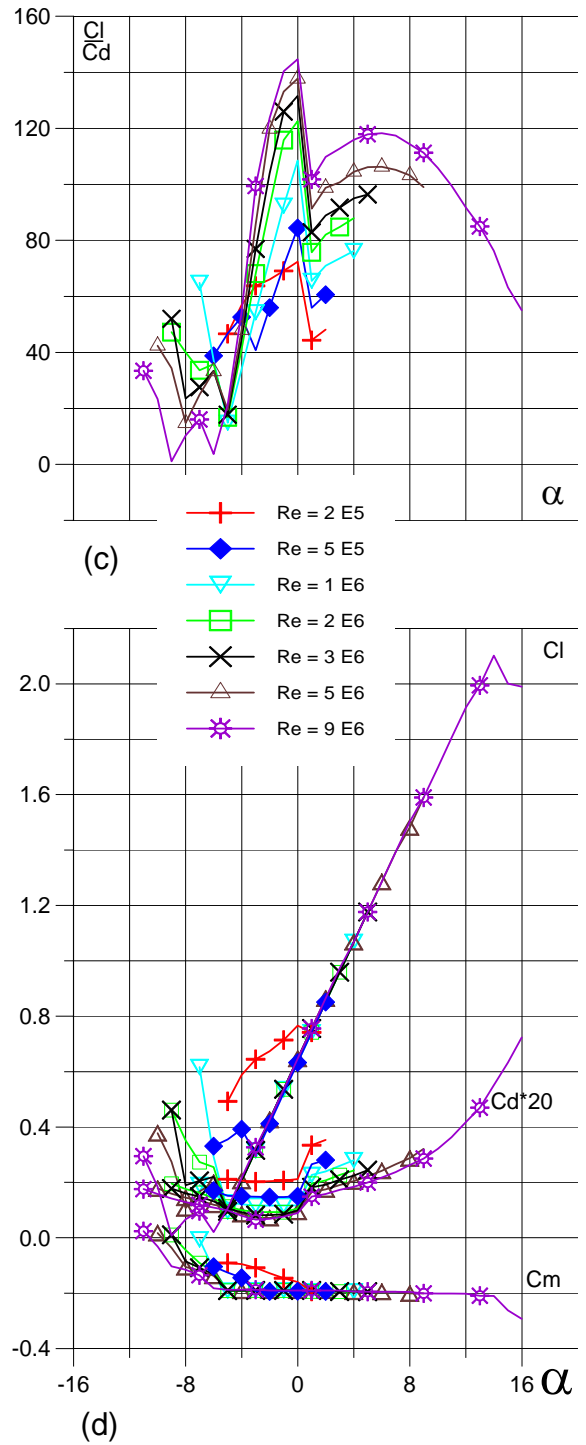


Fig. 5.1.40. (c) Curvas de Cl/Cd y (d) Cl , Cd , Cm vs. Ángulo de ataque del Perfil SZ - 2019.

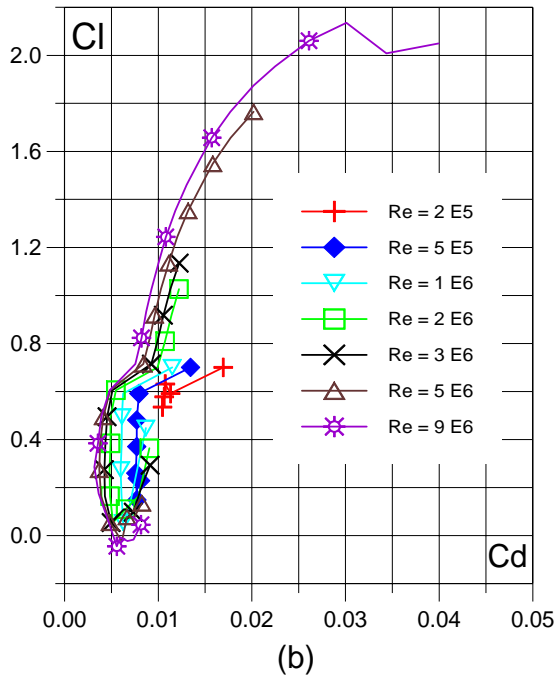
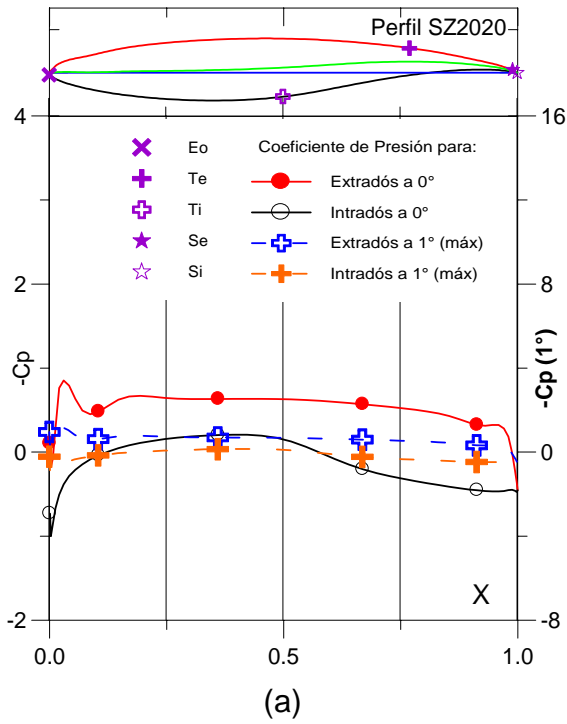


Fig. 5.1.41. (a) C_p (0° , Máx) vs. X para $Re = 1 E 6$ (leer $C_{p\text{máx}}$ a la derecha) y (b) Curvas Polares del Perfil SZ - 2020.

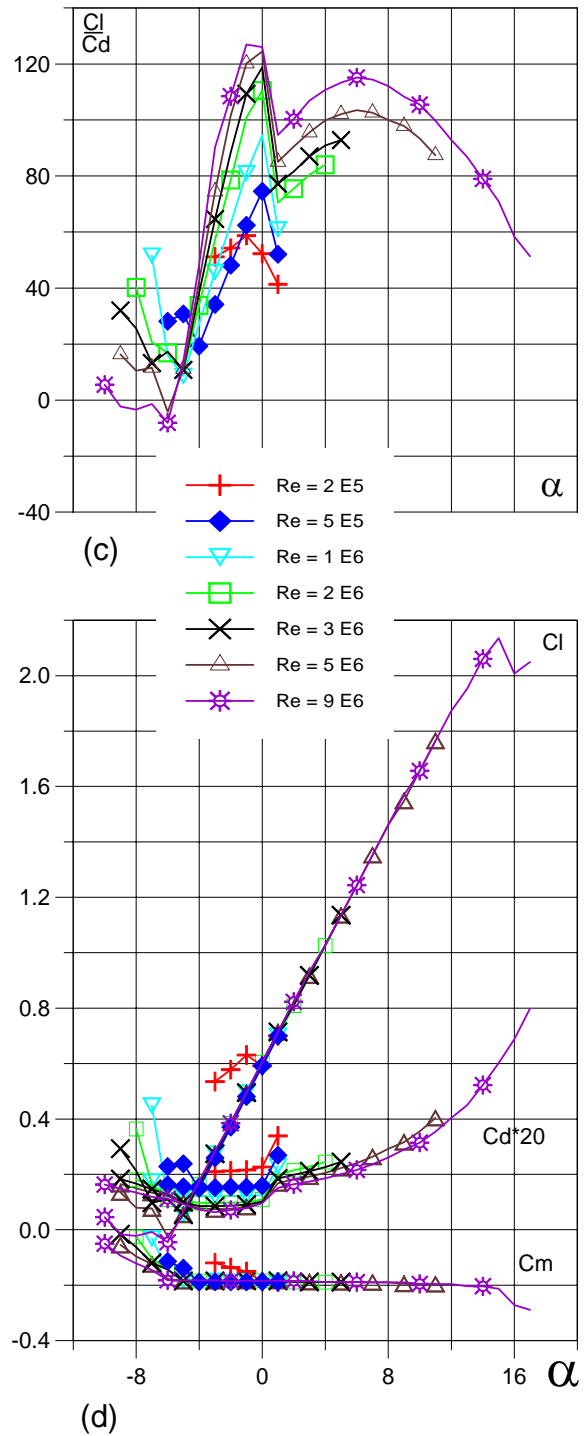


Fig. 5.1.42. (c) Curvas de Cl/Cd y (d) Cl , Cd , C_m vs. Ángulo de ataque del Perfil SZ - 2020.

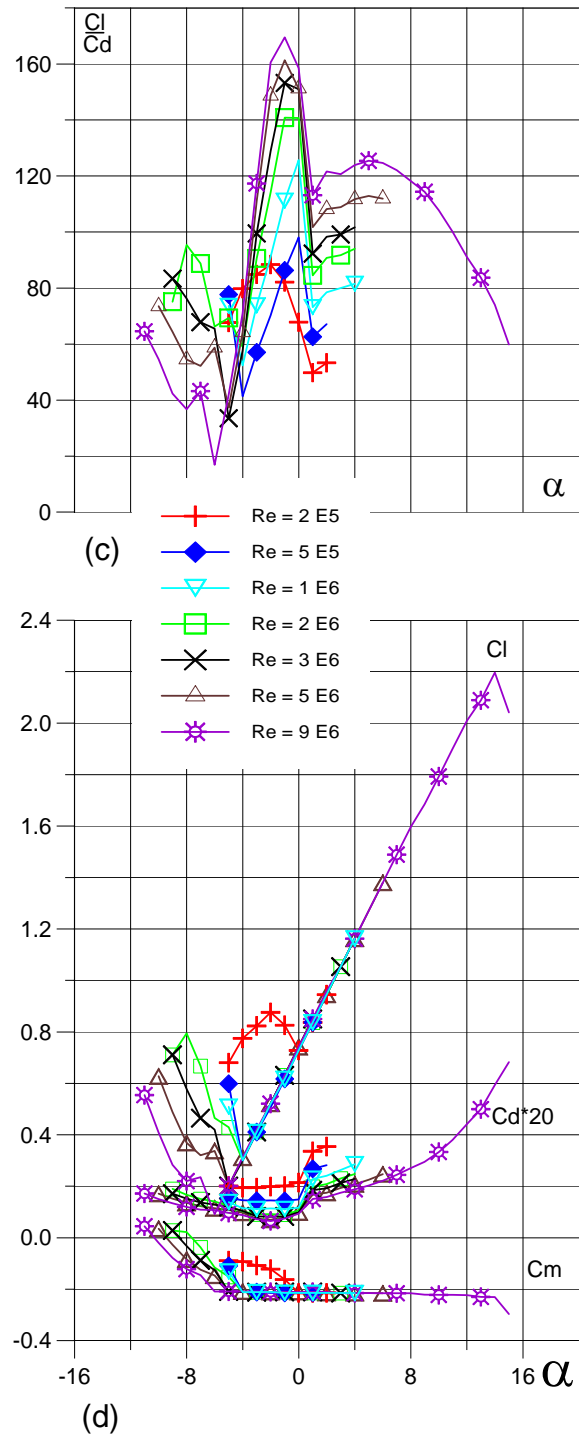
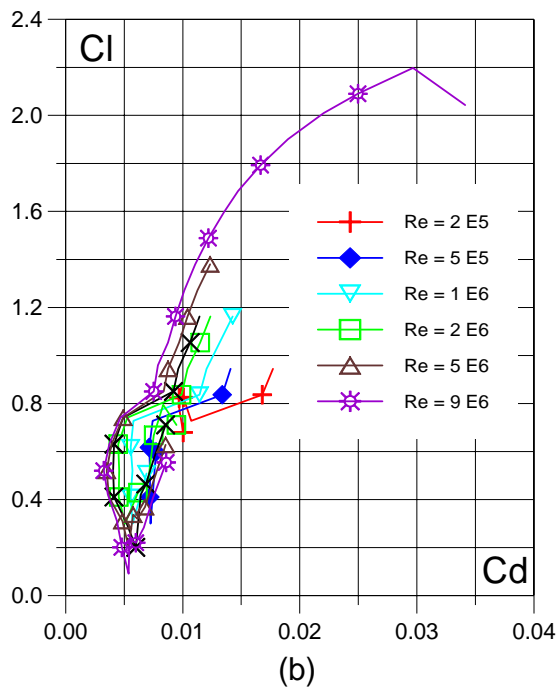
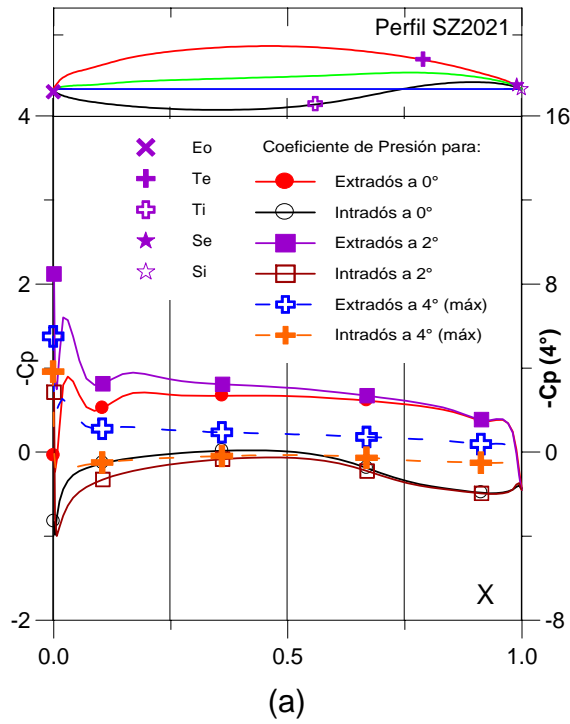


Fig. 5.1.43. (a) C_p (0° y Máx) vs. X para $Re = 1 E 6$ (leer $C_{p\text{máx}}$ a la derecha) y (b) Curvas Polares del Perfil SZ - 2021.

Fig. 5.1.44. (c) Curvas de Cl/Cd y (d) Cl , Cd , C_m vs. Ángulo de ataque del perfil SZ - 2021.

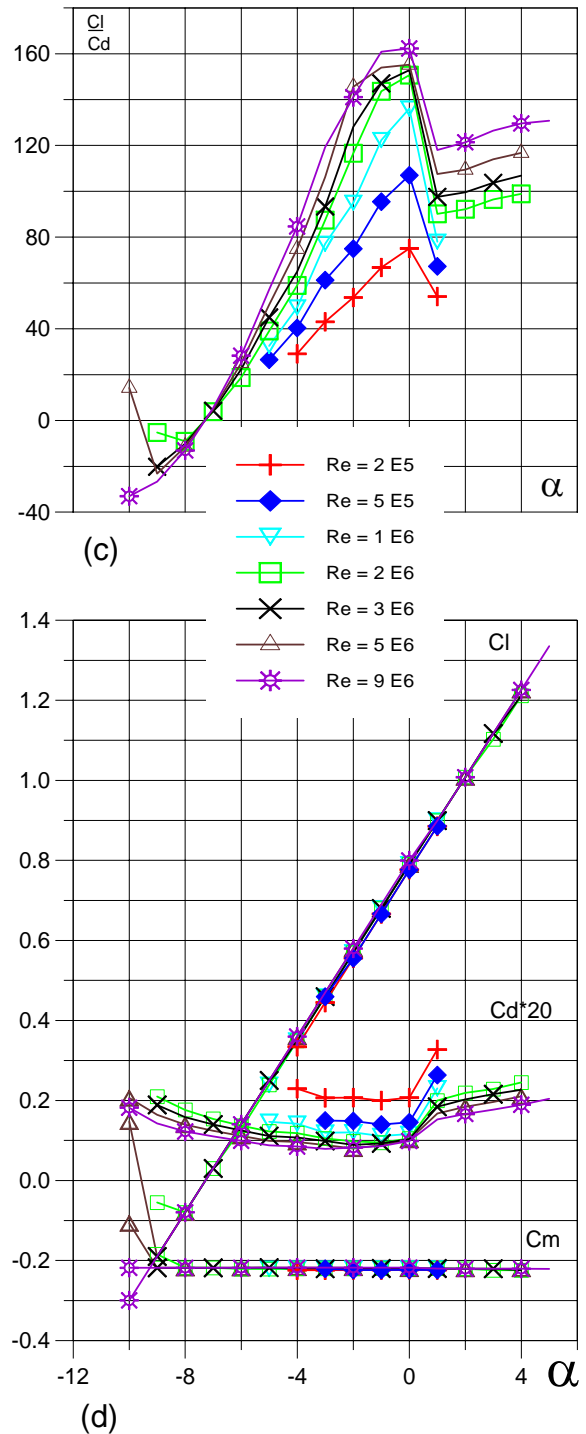
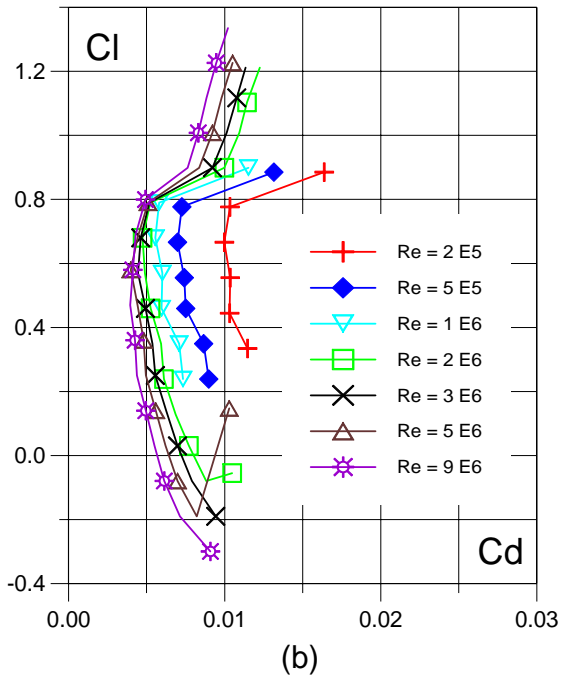
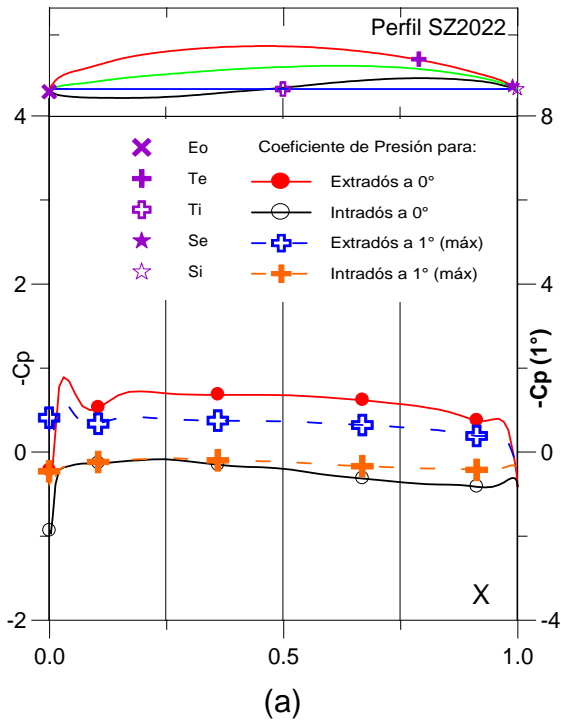


Fig. 5.1.45. (a) C_p (0° y Máx) vs. X para $Re = 1 E 6$ (leer $C_{p\text{máx}}$ a la derecha) y (b) Curvas Polares del Perfil SZ - 2022.

Fig. 5.1.46. (c) Curvas de Cl/Cd y (d) Cl , Cd , Cm vs. Ángulo de ataque del perfil SZ - 2022.

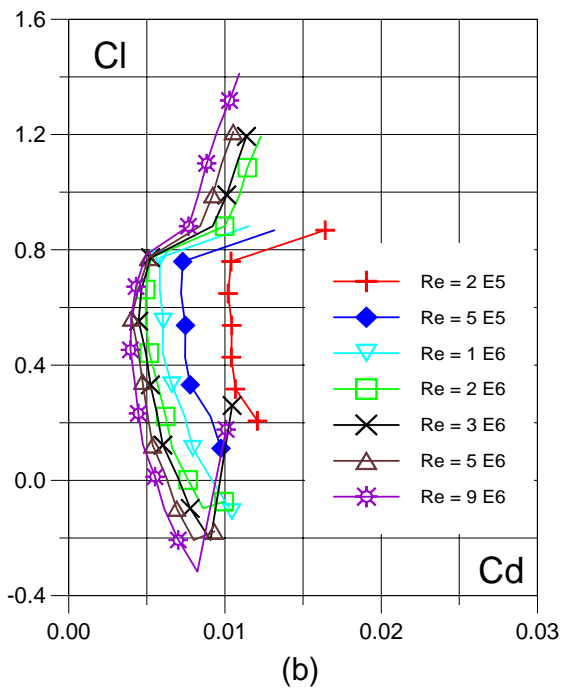
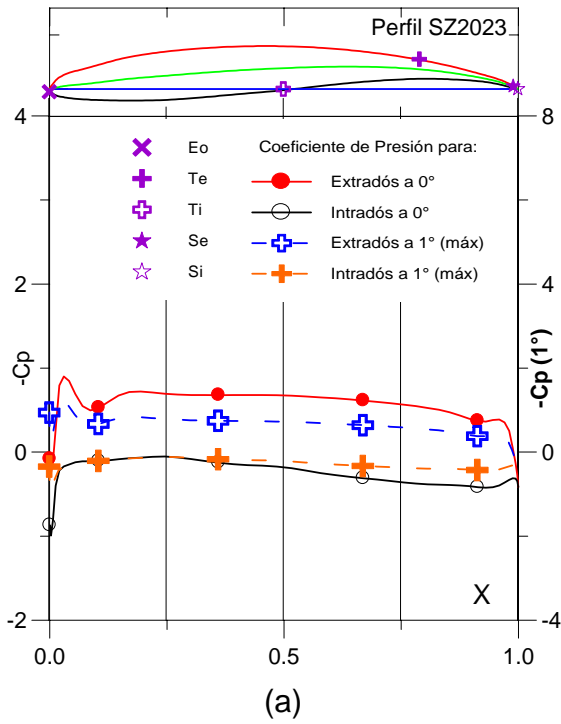


Fig. 5.147. (a) C_p (0° y Máx) vs. X para $Re = 1 E 6$ (leer $C_{p\text{máx}}$ a la derecha) y (b) Curvas Polares del Perfil SZ - 2023.

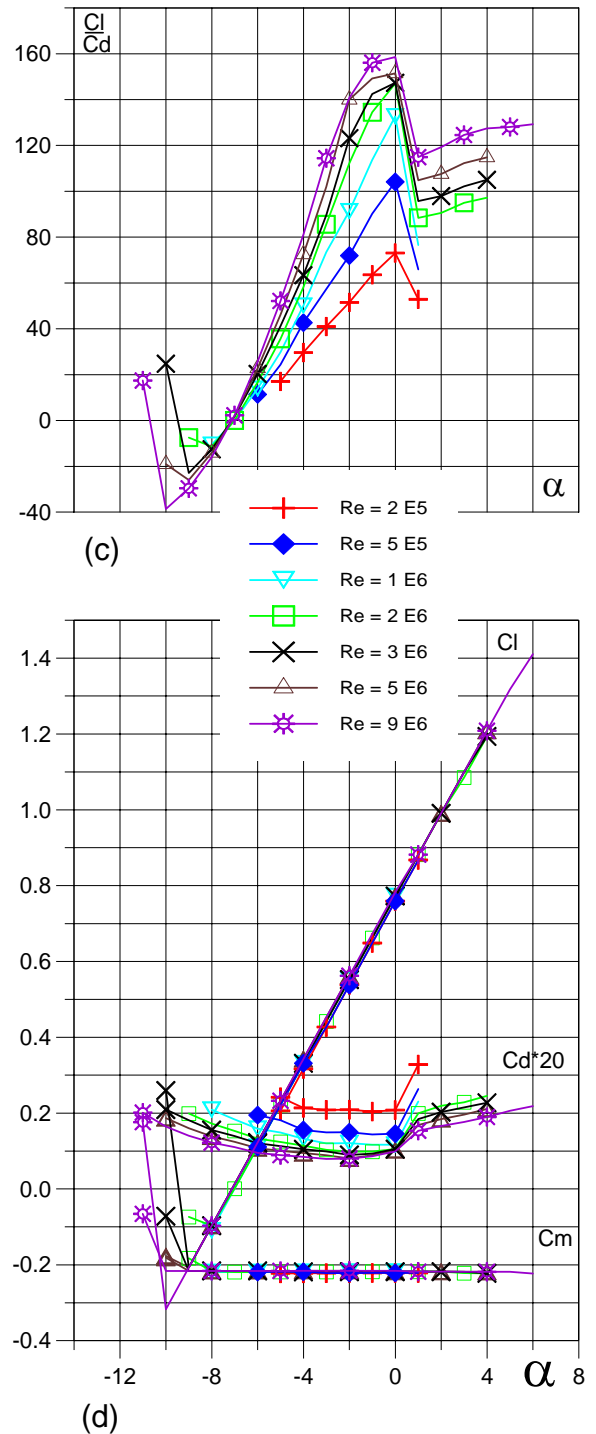


Fig. 5.148. (c) Curvas de Cl/C_d y (d) Cl , C_d , C_m vs. Ángulo de ataque del perfil SZ - 2023.

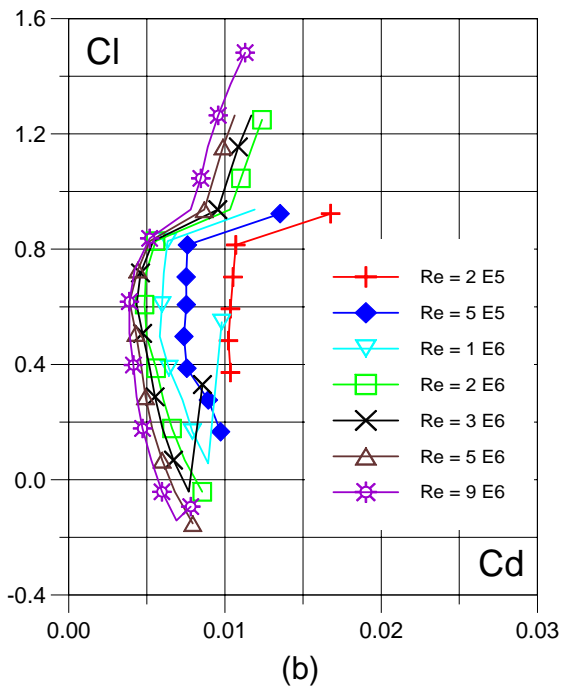
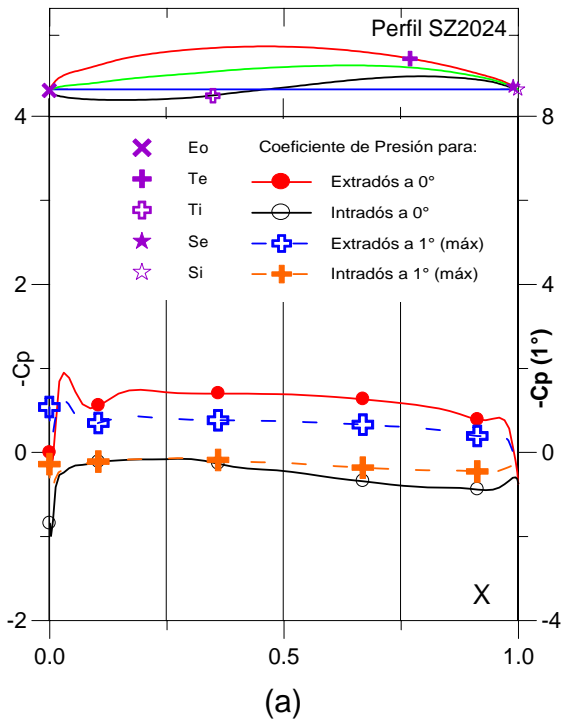


Fig. 5.1.49. (a) C_p (0° y Máx) vs. X para $Re = 1 E 6$ (leer $C_{p\text{máx}}$ a la derecha) y (b) Curvas Polares del Perfil SZ - 2024.

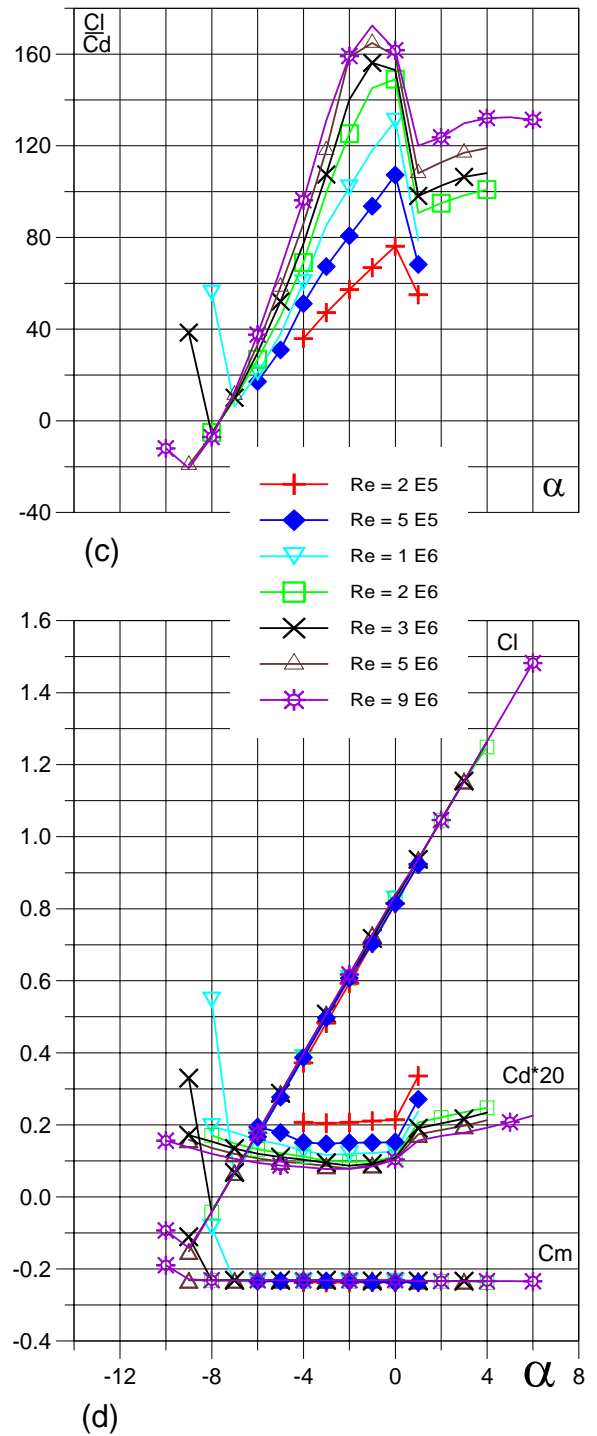


Fig. 5.1.50. (c) Curvas de Cl/Cd y (d) Cl , Cd , C_m vs. Ángulo de ataque del perfil SZ - 2024.

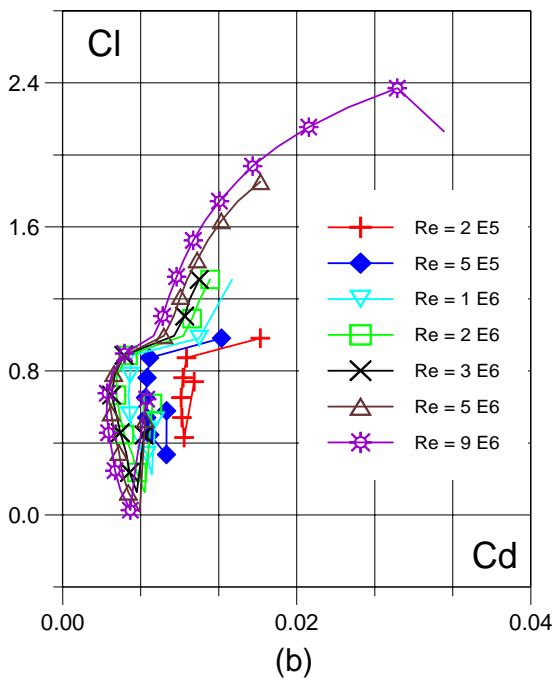
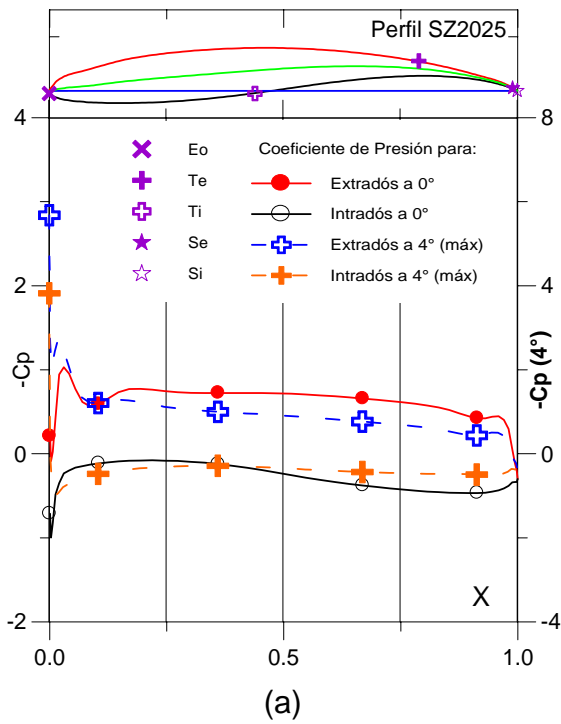


Fig. 5.1.51. (a) C_p (0° y Máx) vs. X para $Re = 1 E 6$ (leer $C_{p\text{máx}}$ a la derecha) y (b) Curvas Polares del Perfil SZ - 2025.

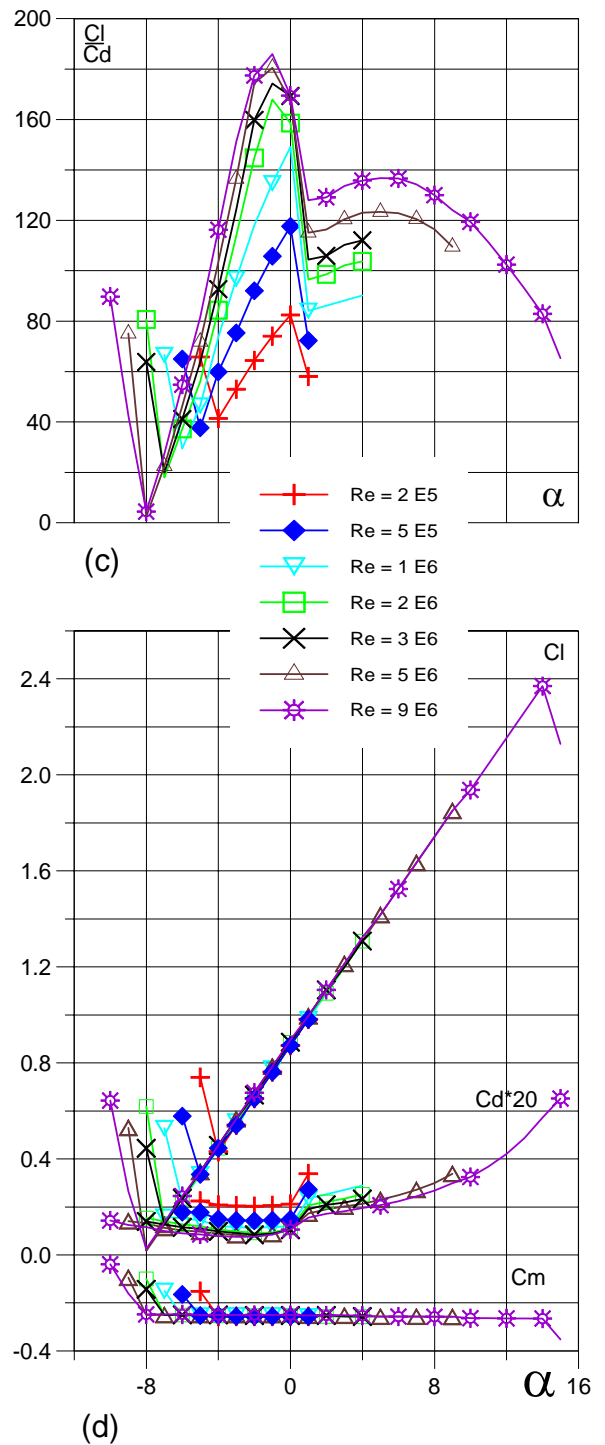


Fig. 5.1.52. (c) Curvas de Cl/Cd y (d) Cl , Cd , C_m vs. Ángulo de ataque del perfil SZ - 2025.

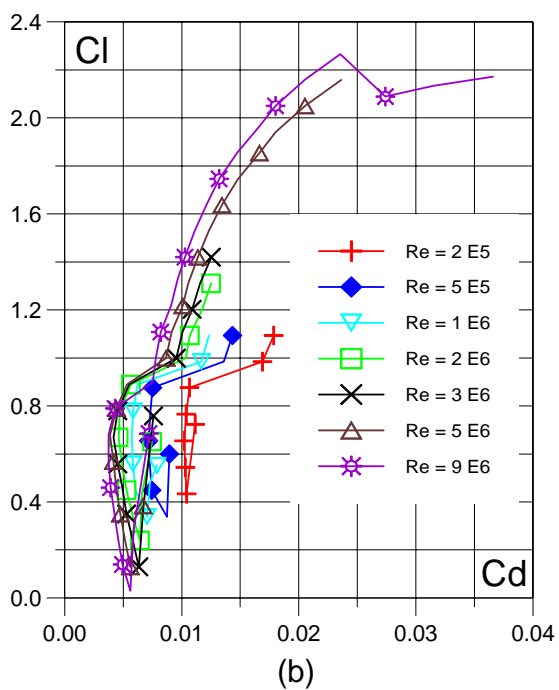
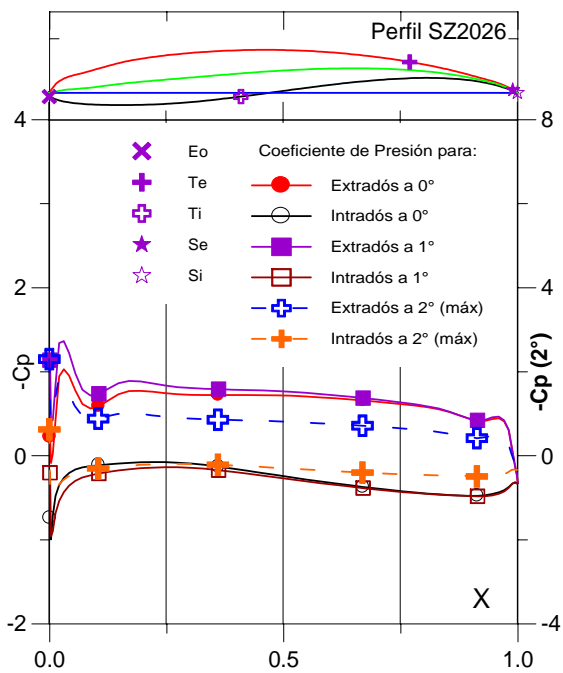


Fig. 5.1.53. (a) C_p (0° , 1° y Máx) vs. X para $Re = 1 E 6$ (leer $C_{p\text{máx}}$ a la derecha) y (b) Curvas Polares del Perfil SZ - 2026.

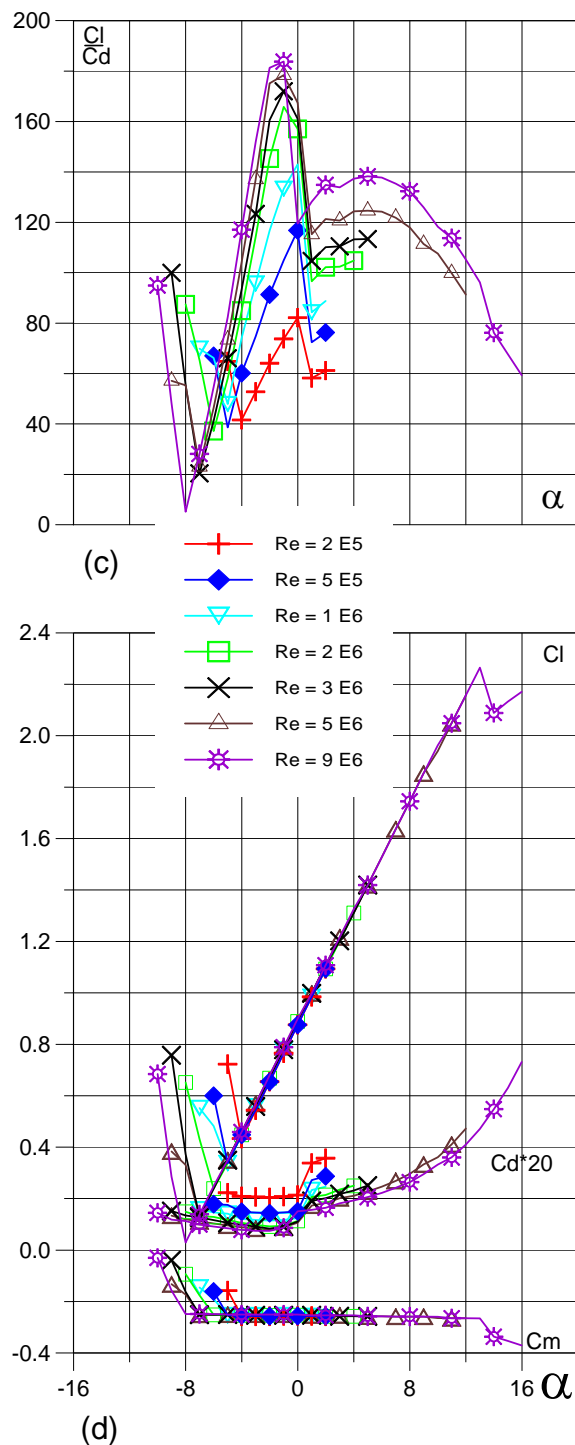


Fig. 5.1.54. (c) Curvas de Cl/Cd y (d) Cl , Cd , C_m vs. Ángulo de ataque del Perfil SZ - 2026.

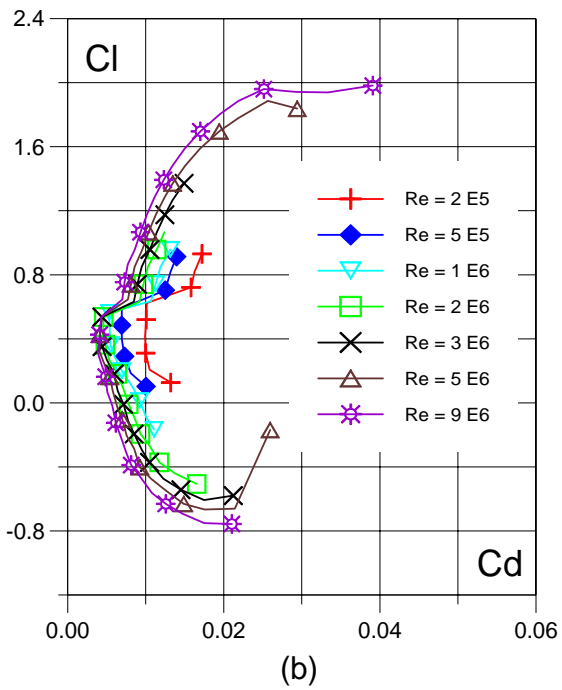
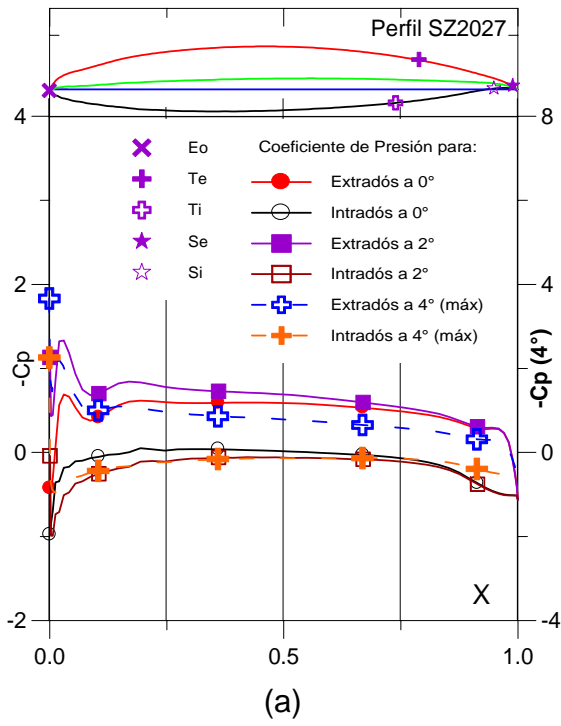


Fig. 5.1.55. (a) C_p (0° , 2° y Máx) vs. X para $Re = 1 E 6$ (leer $C_{p\text{máx}}$ a la derecha) y (b) Curvas Polares del Perfil SZ - 2027.

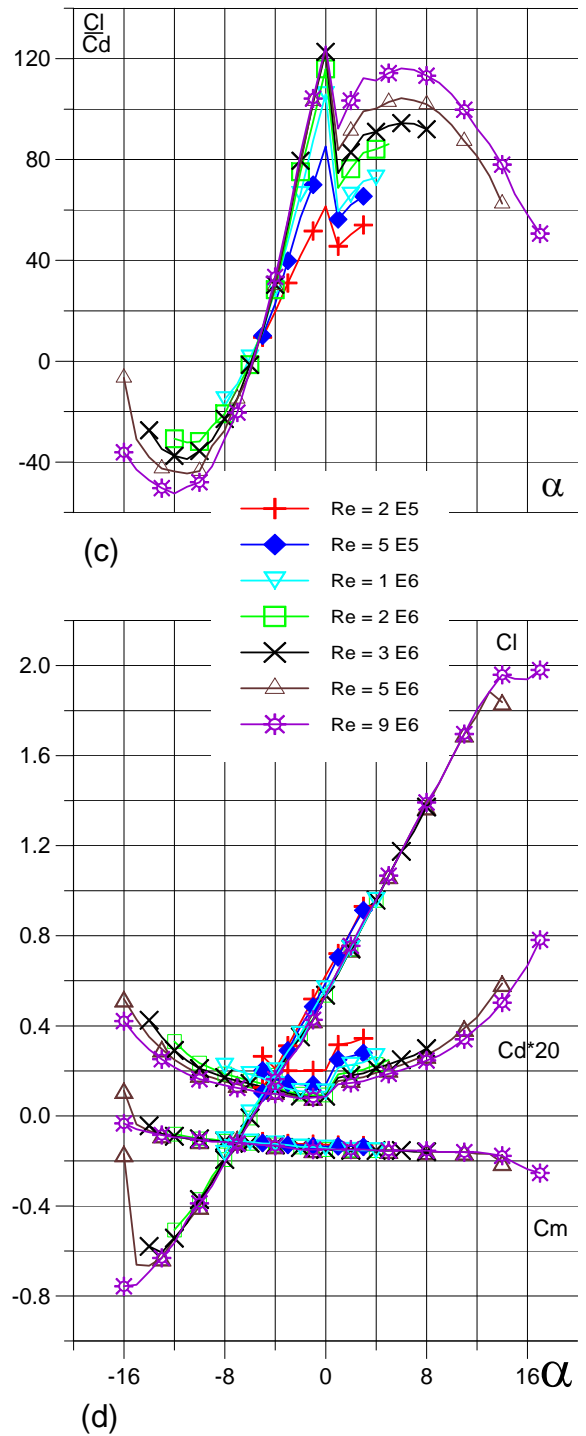
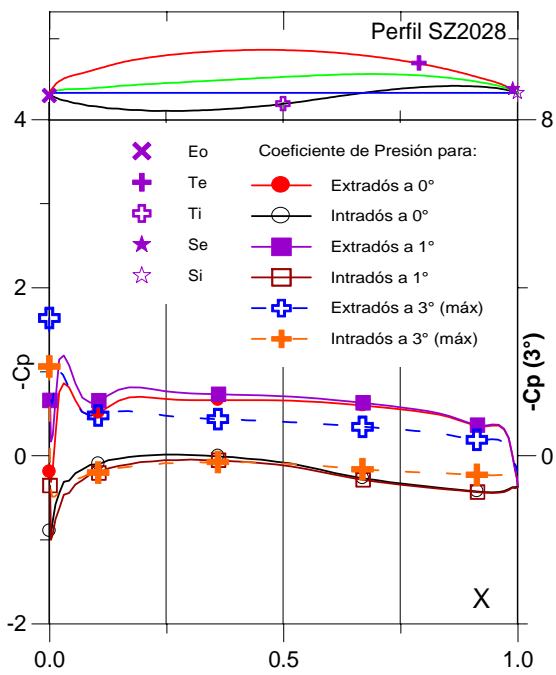
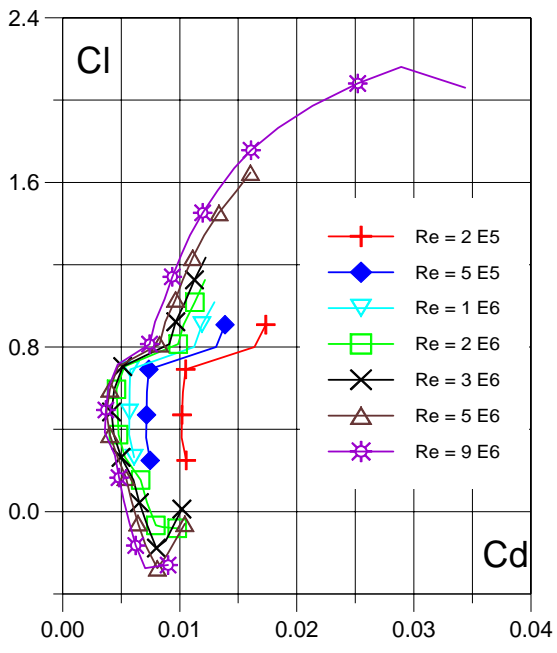


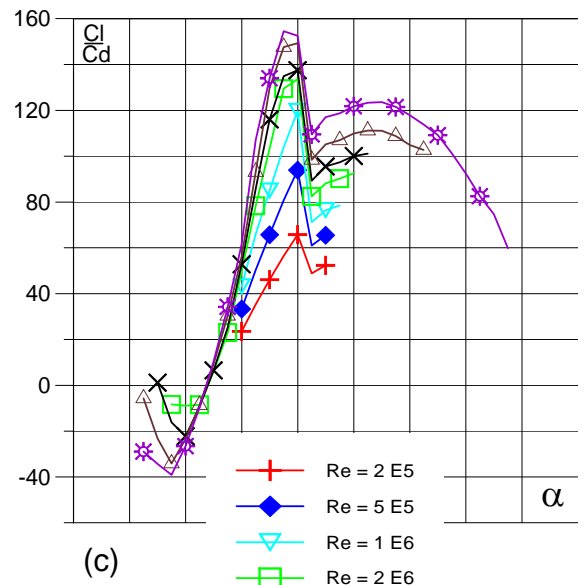
Fig. 5.1.56. (c) Curvas de Cl/Cd y (d) Cl , Cd , C_m vs. Ángulo de ataque del Perfil SZ - 2027.



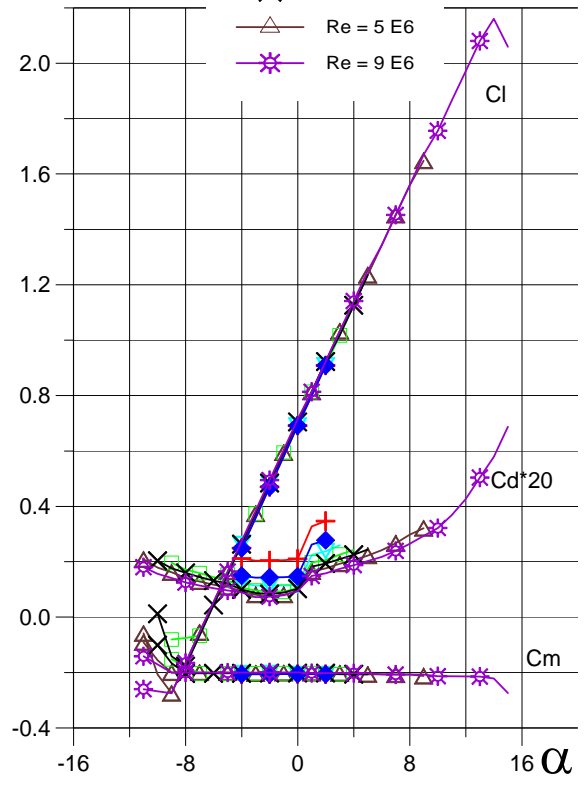
(a)



(b)



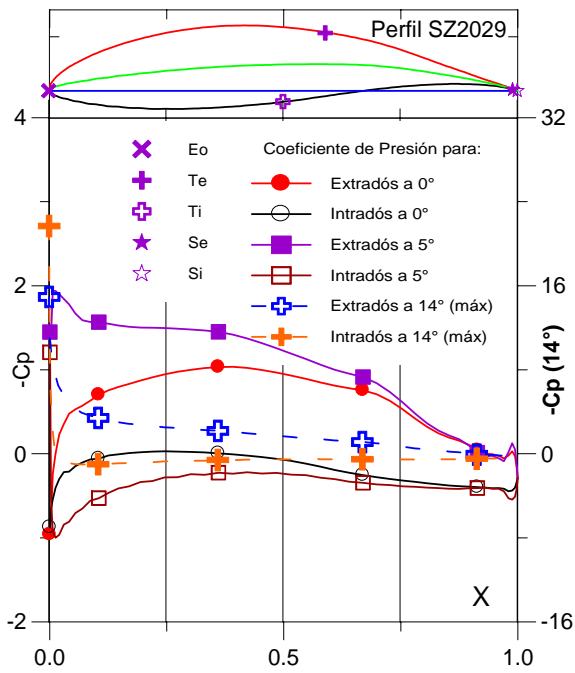
(c)



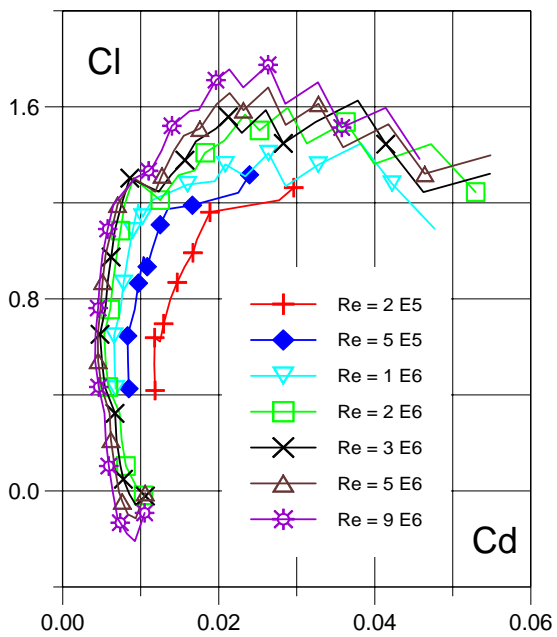
(d)

Fig. 5.1.57. (a) Cp (0°, 1° y Máx) vs. X para Re = 1 E 6 (leer Cpmáx a la derecha) y (b) Curvas Polares del Perfil SZ - 2028.

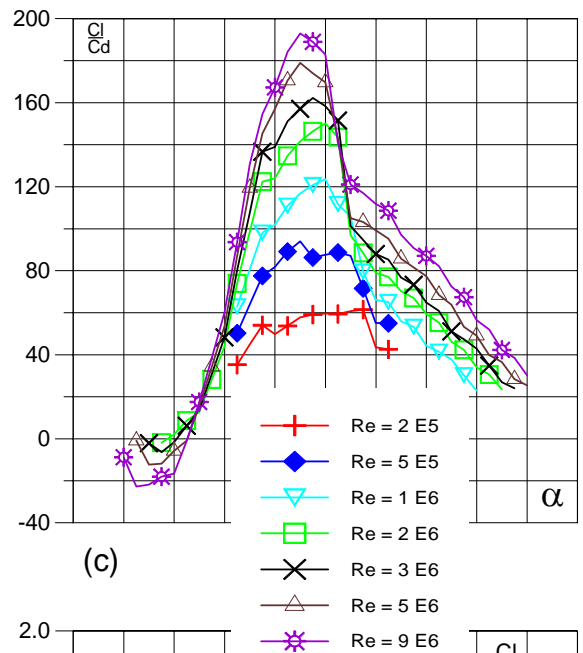
Fig. 5.1.58. (c) Curvas de Cl/Cd y (d) Cl, Cd, Cm vs. Ángulo de ataque del Perfil SZ - 2028.



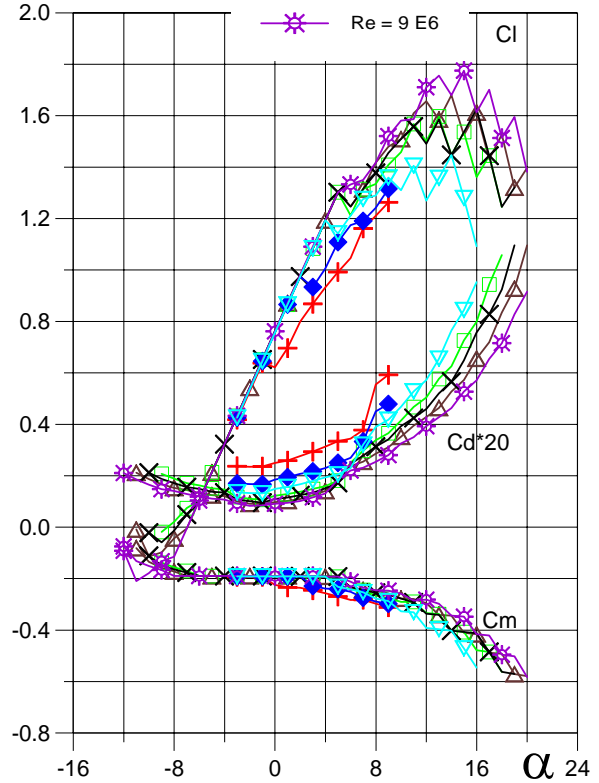
(a)



(b)



(c)



(d)

Fig. 5.1.59. (a) C_p (0° , 5° y Máx) vs. X para $Re = 1 E 6$ (leer $C_{p\text{máx}}$ a la derecha) y (b) Curvas Polares del Perfil SZ - 2029.

Fig. 5.1.60. (c) Curvas de Cl/Cd y (d) Cl , Cd , C_m vs. Ángulo de ataque del Perfil SZ - 2029.

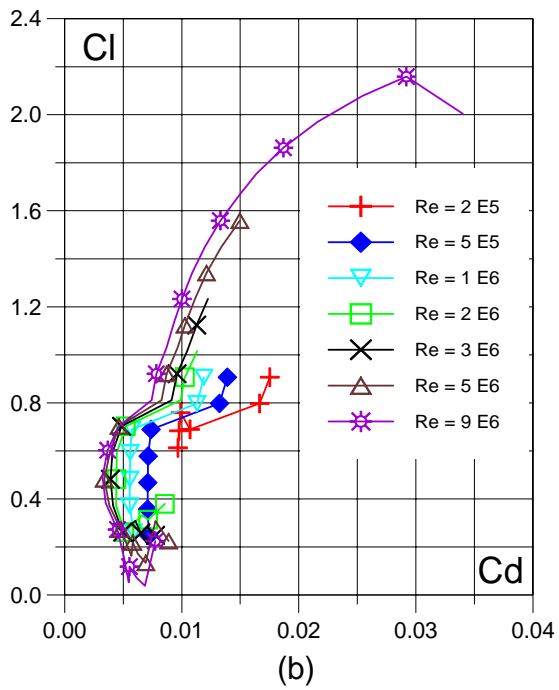
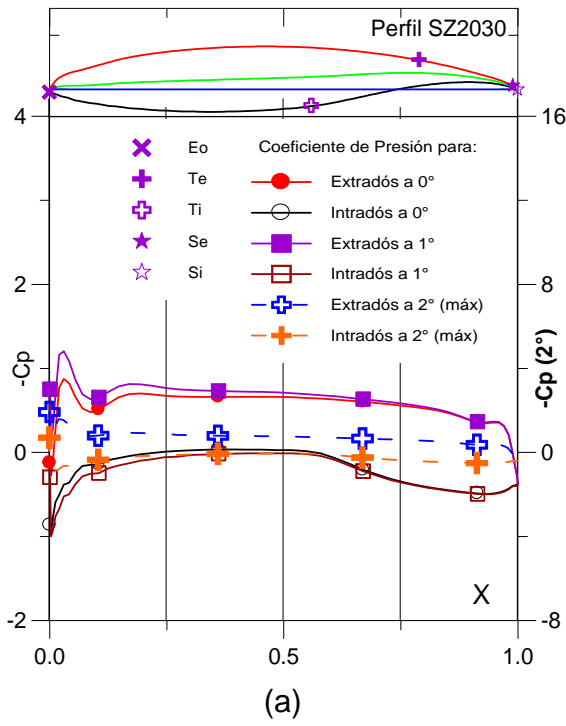


Fig. 5.1.61. (a) C_p (0° , 1° y Max) vs. X para $Re = 1 E 6$ (leer $C_{p\text{max}}$ a la derecha) y (b) Curvas Polares del Perfil SZ - 2030.

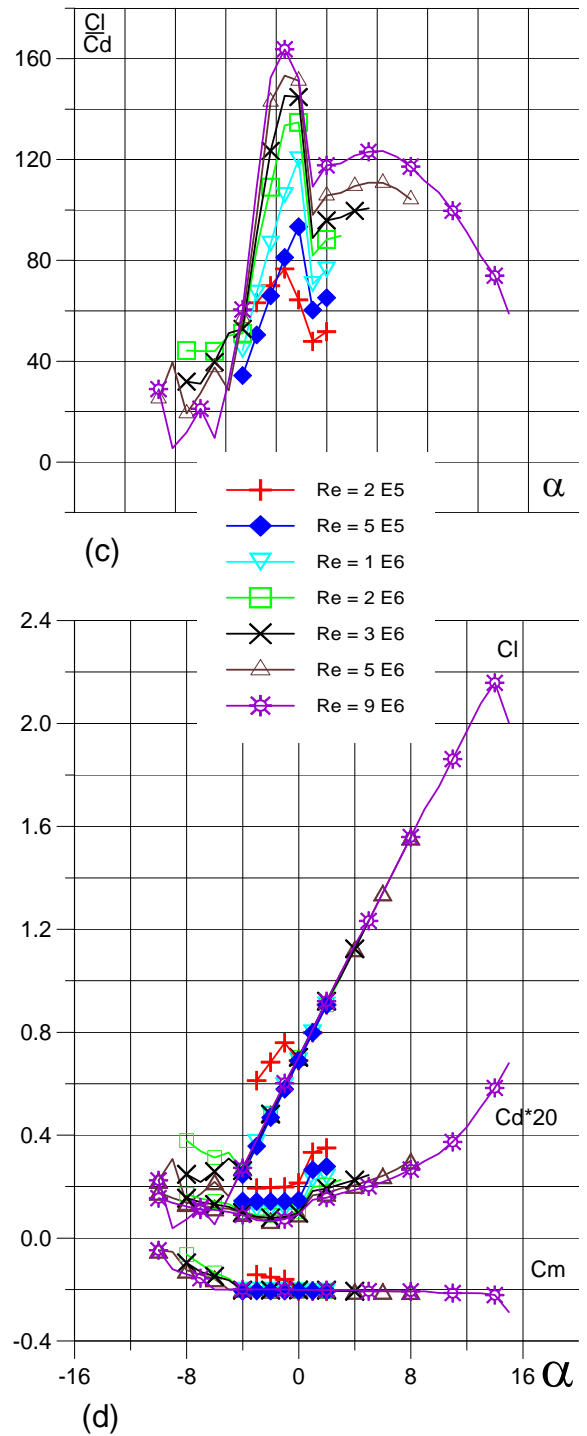


Fig. 5.1.62. (c) Curvas de Cl/C_d y (d) Cl , C_d , C_m vs. ngulo de ataque del Perfil SZ - 2030.

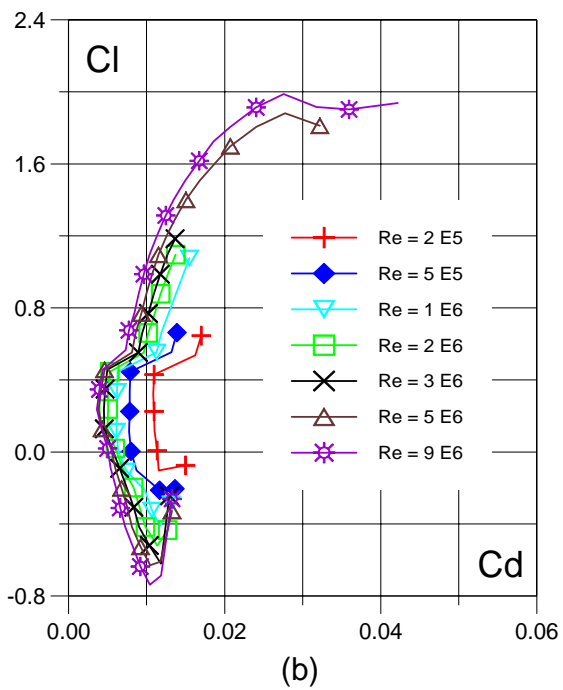
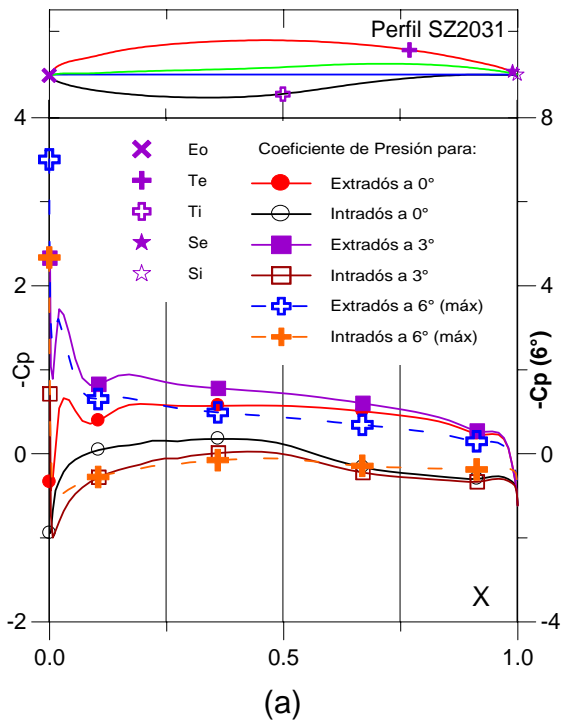


Fig. 5.1.63. (a) C_p (0° , 3° y Máx) vs. X para $Re = 1 E 6$ (leer $C_{p\text{máx}}$ a la derecha) y (b) Curvas Polares del Perfil SZ - 2031.

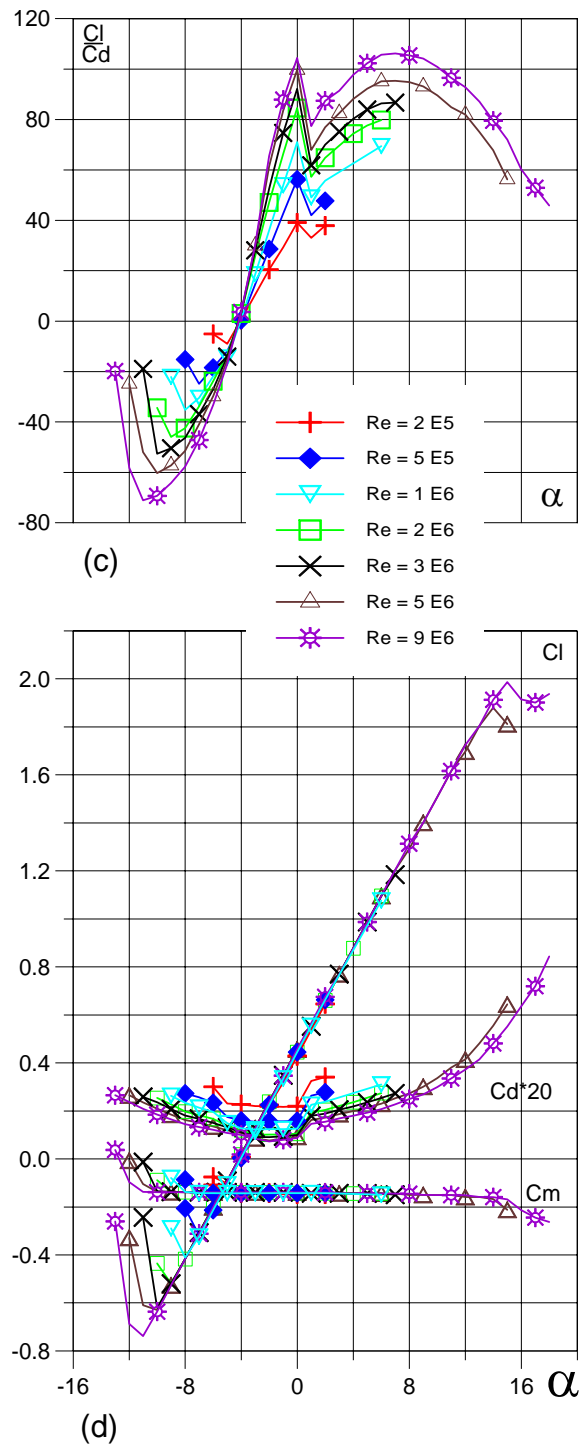


Fig. 5.1.64. (c) Curvas de C_l/C_d y (d) C_l , C_d , C_m vs. Ángulo de ataque del Perfil SZ - 2031.

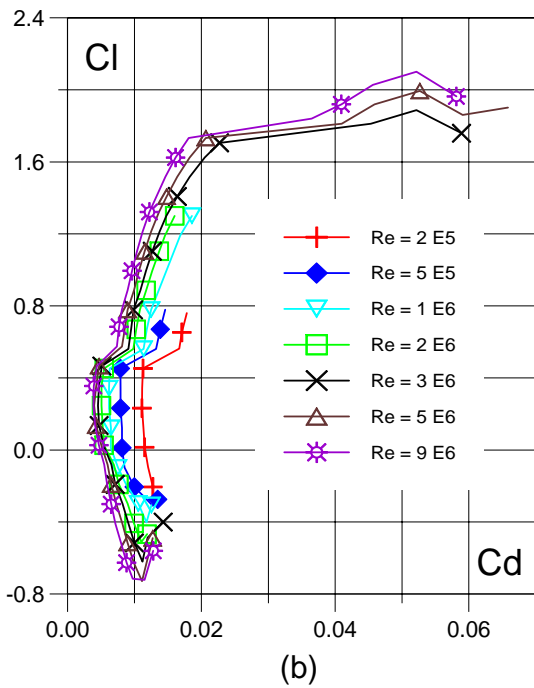
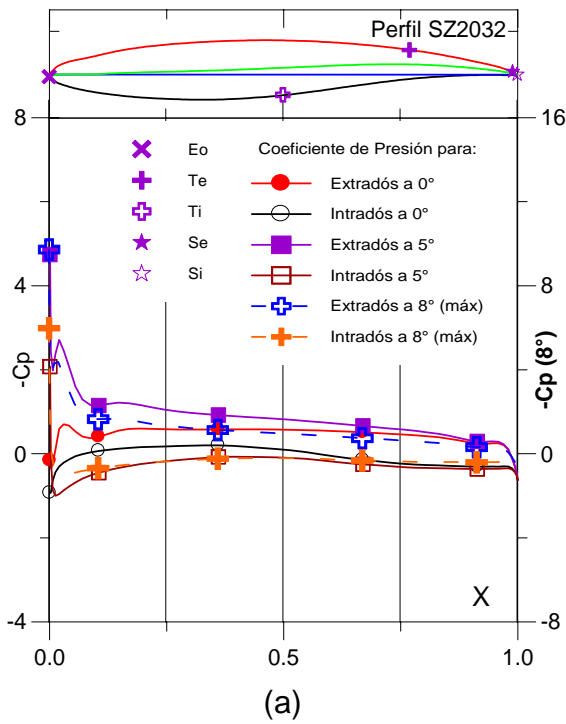


Fig. 5.1.65. (a) C_p (0° , 5° y Máx) vs. X para $Re = 1 E 6$ (leer $C_{p\text{máx}}$ a la derecha) y (b) Curvas Polares del Perfil SZ - 2032.

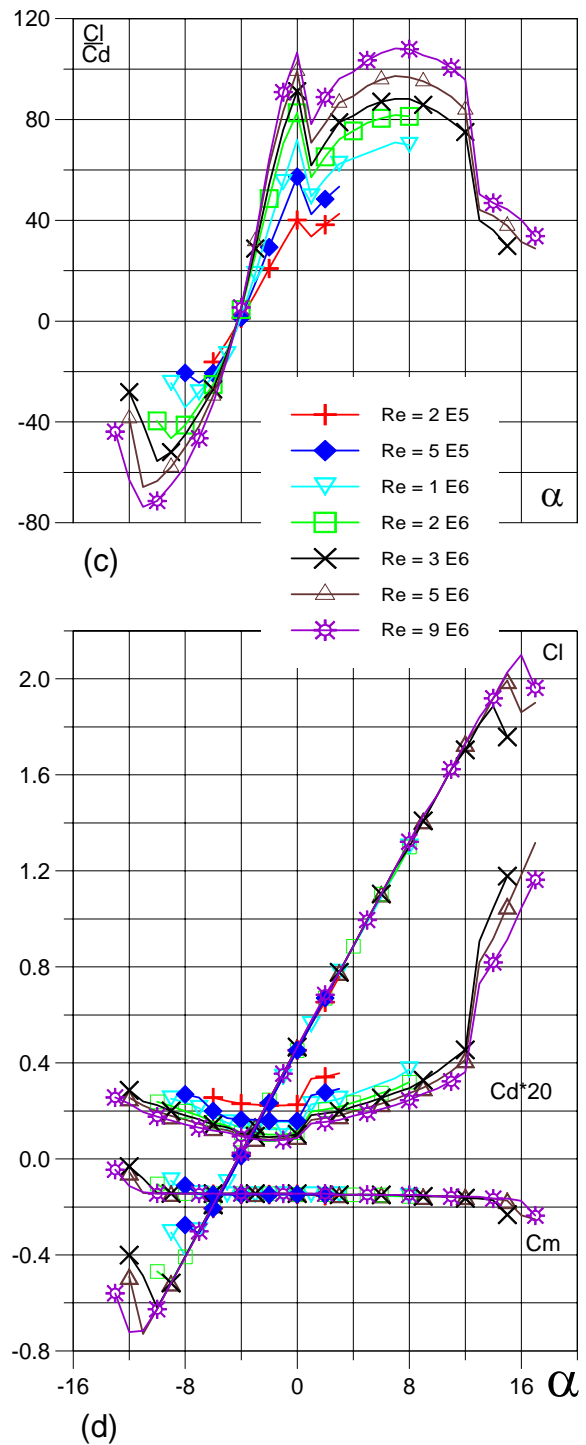


Fig. 5.1.66. (c) Curvas de Cl/Cd y (d) Cl , Cd , C_m vs. Ángulo de ataque del Perfil SZ - 2032.

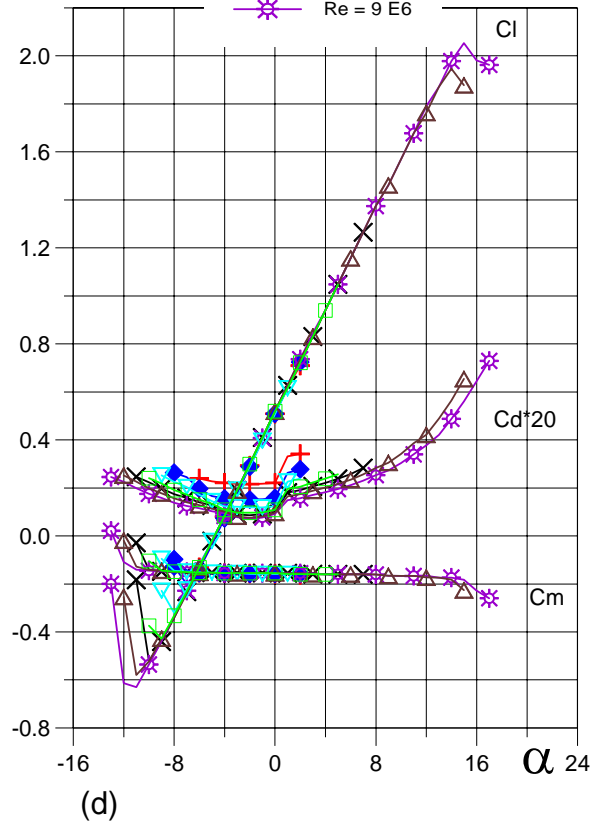
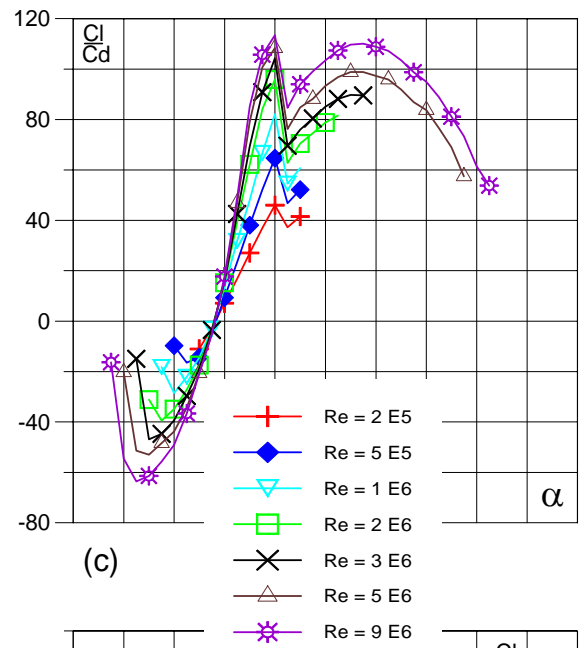
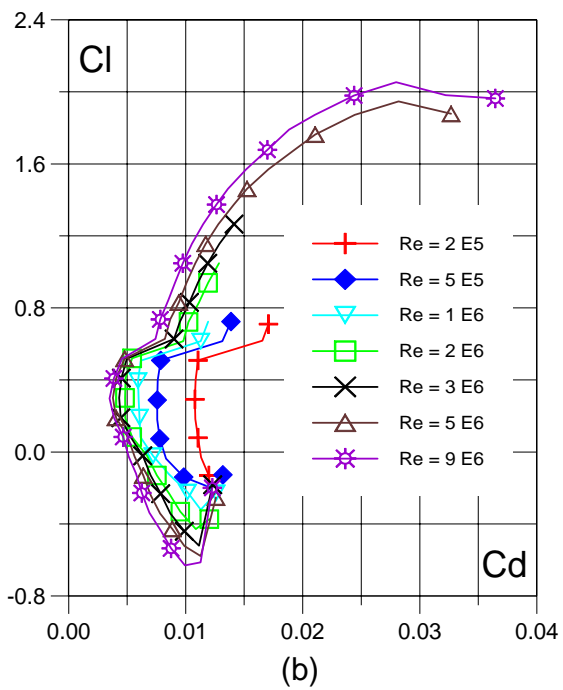
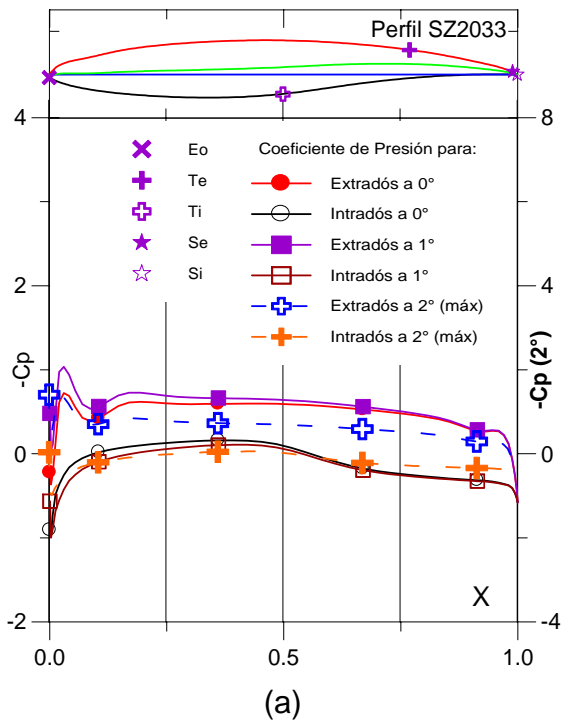


Fig. 5.1.67. (a) C_p (0° , 1° y Máx) vs. X para $Re = 1 E 6$ (leer $C_{p\text{máx}}$ a la derecha) y (b) Curvas Polares del Perfil SZ - 2033.

Fig.5.1.68. (c) Curvas de Cl/Cd y (d) Cl , Cd , C_m vs. Ángulo de ataque del Perfil SZ - 2033.

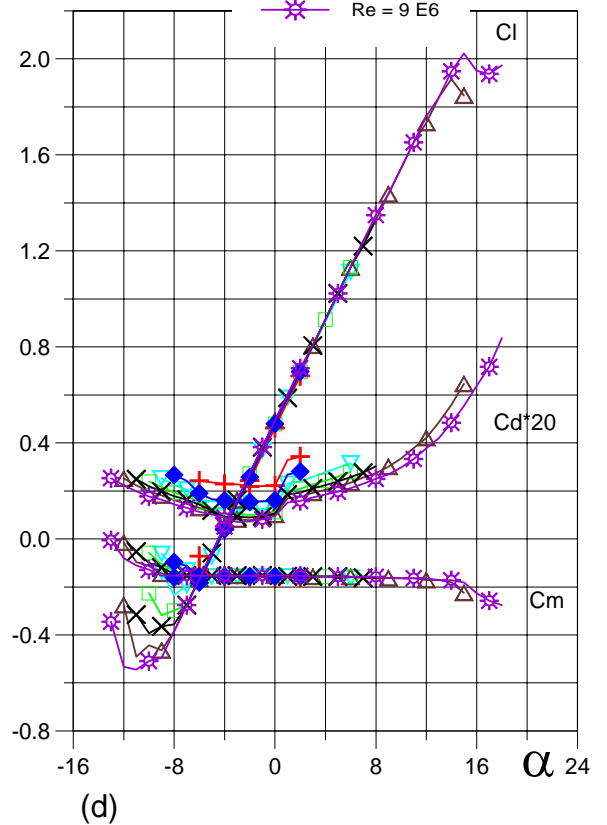
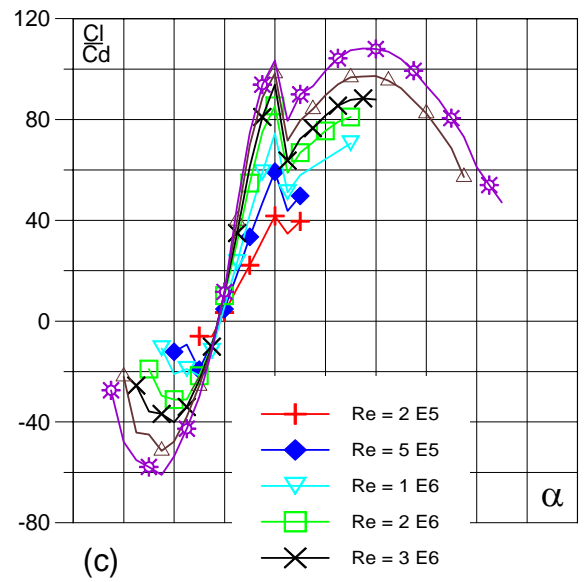
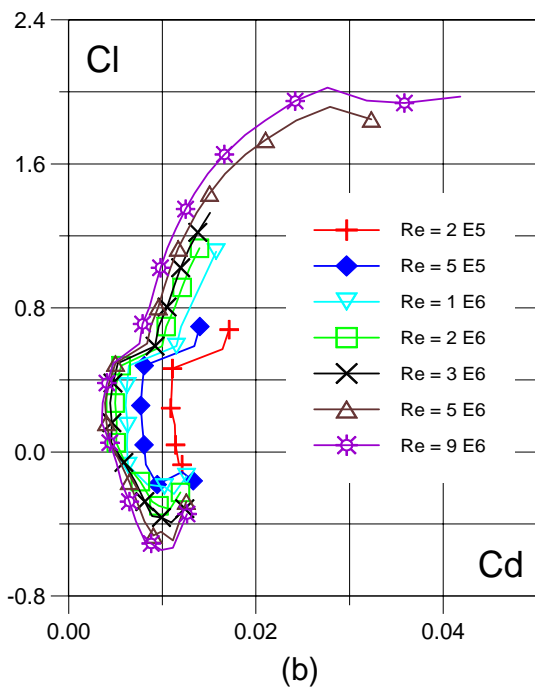
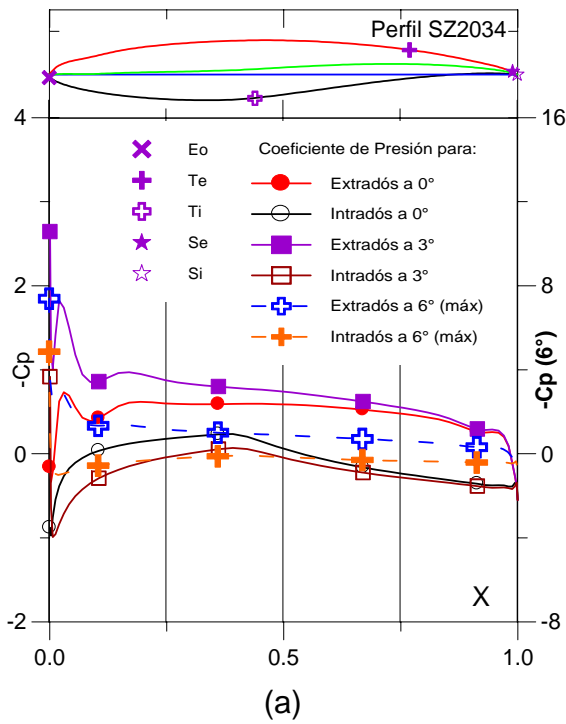


Fig. 5.1.69. (a) C_p (0° , 3° y Máx) vs. X para $Re = 1 E 6$ (leer $C_{p\text{máx}}$ a la derecha) y (b) Curvas Polares del Perfil SZ - 2034.

Fig. 5.1.70. (c) Curvas de Cl/Cd y (d) Cl , Cd , C_m vs. Ángulo de ataque del Perfil SZ - 2034.

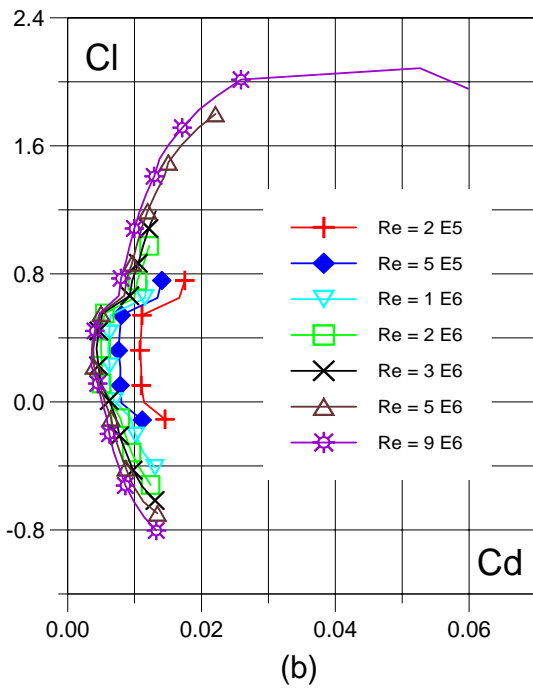
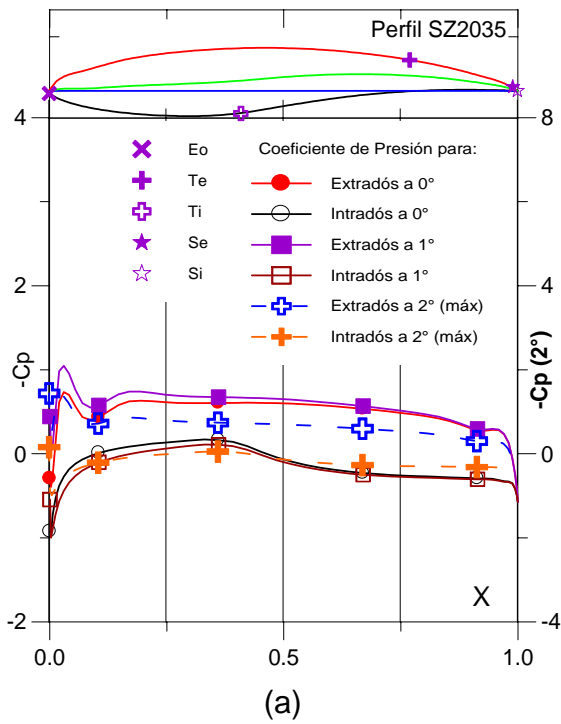


Fig. 5.1.71. (a) C_p (0° , 1° y Máx) vs. X para $Re = 1 E 6$ (leer $C_{p\text{máx}}$ a la derecha) y (b) Curvas Polares del Perfil SZ - 2035.

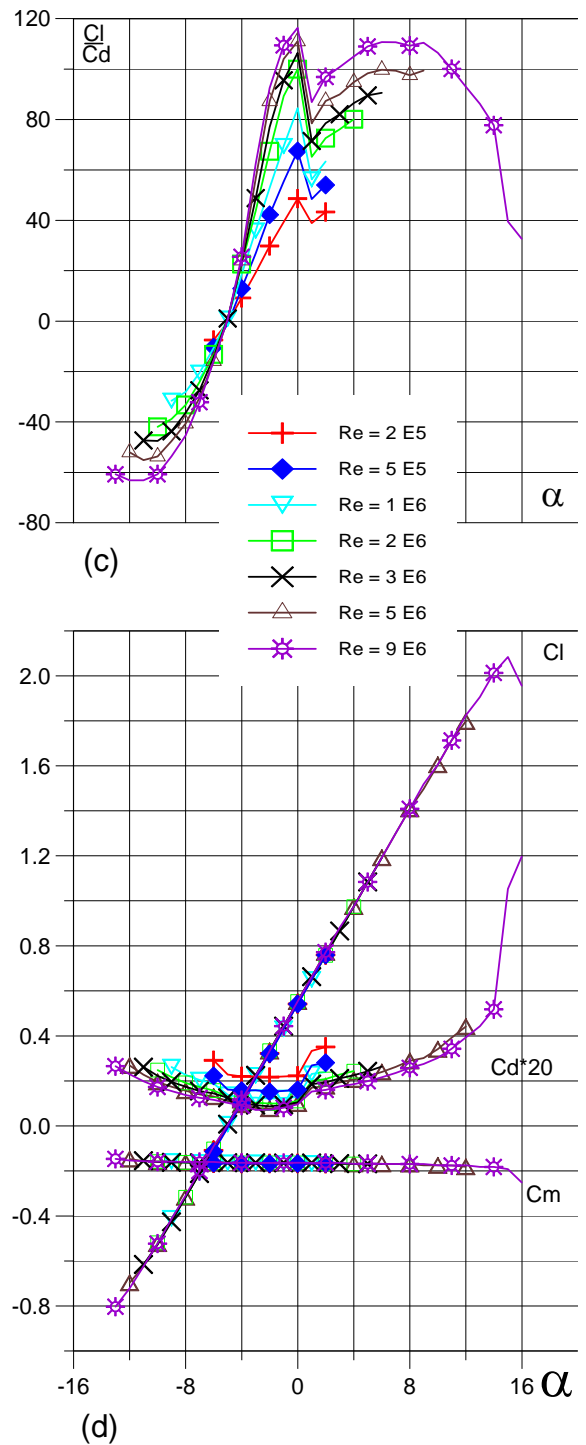


Fig. 5.1.72. (c) Curvas de Cl/Cd y (d) Cl , Cd , C_m vs. Ángulo de ataque del Perfil SZ - 2035.

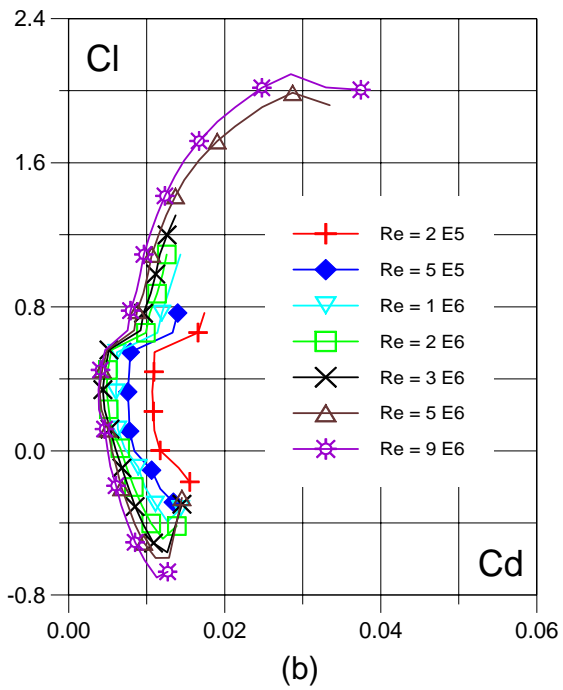
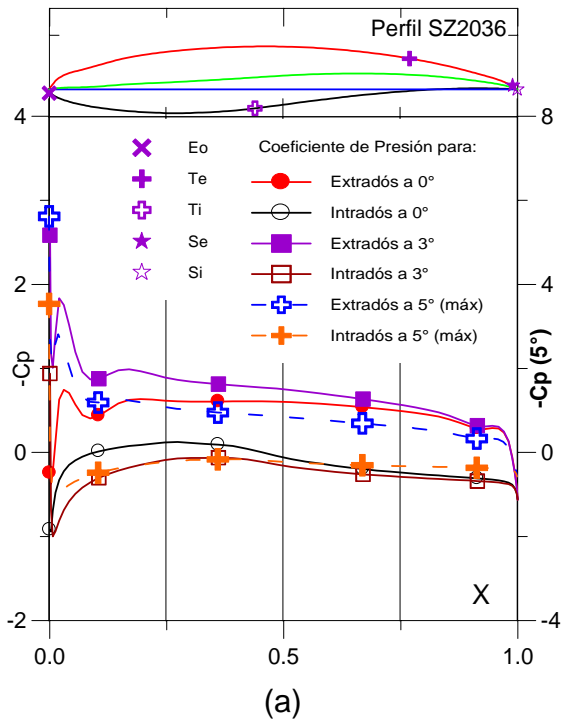


Fig. 5.1.73. (a) C_p (0° , 3° y Máx) vs. X para $Re = 1 E 6$ (leer $C_{p\text{máx}}$ a la derecha) y (b) Curvas Polares del Perfil SZ - 2036.

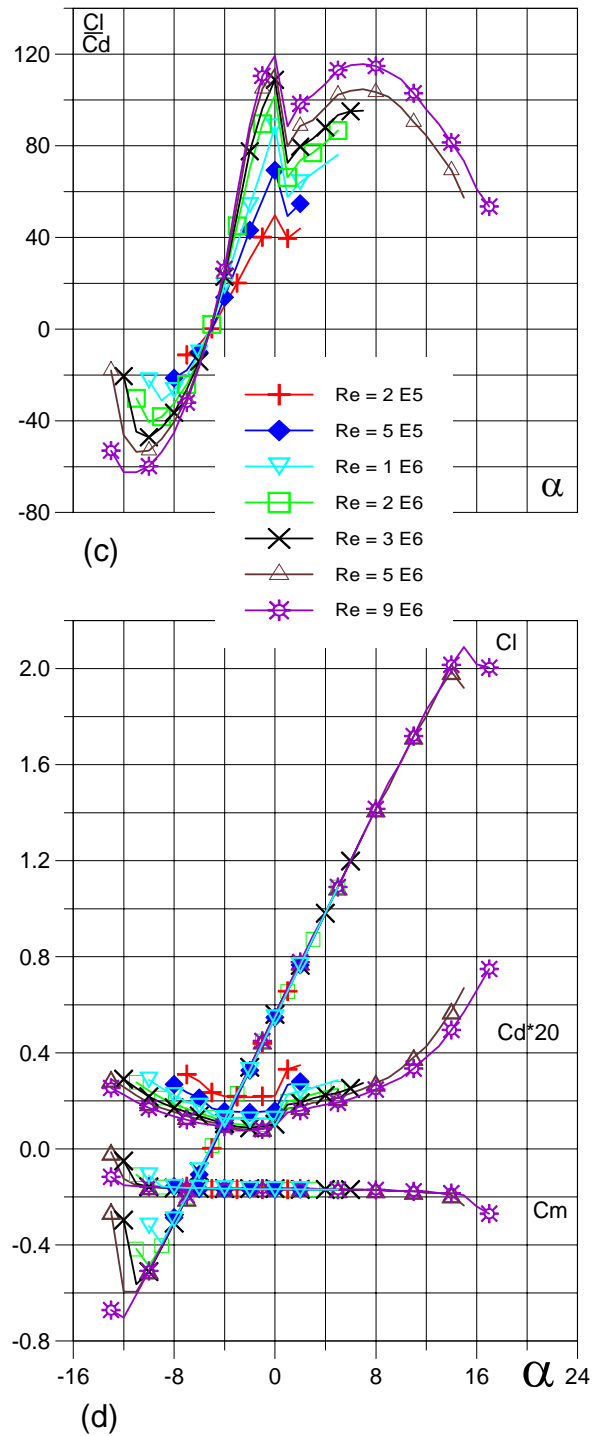


Fig. 5.1.74. (c) Curvas de C_l/C_d y (d) C_l , C_d , C_m vs. Ángulo de ataque del Perfil SZ - 2036.

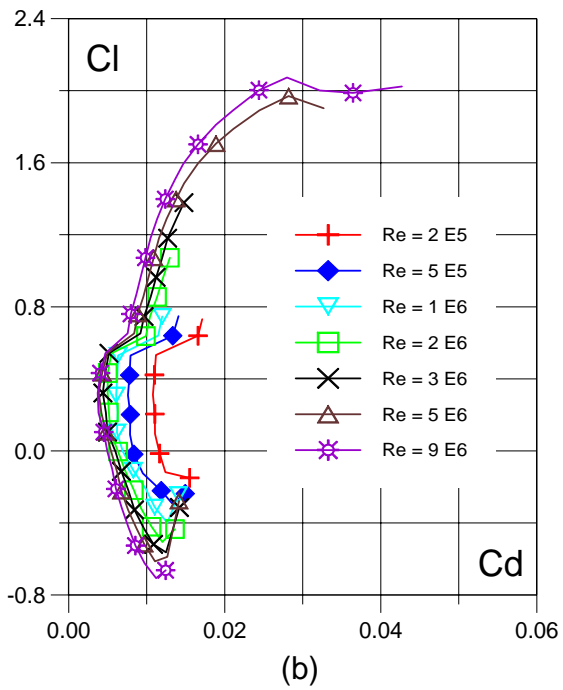
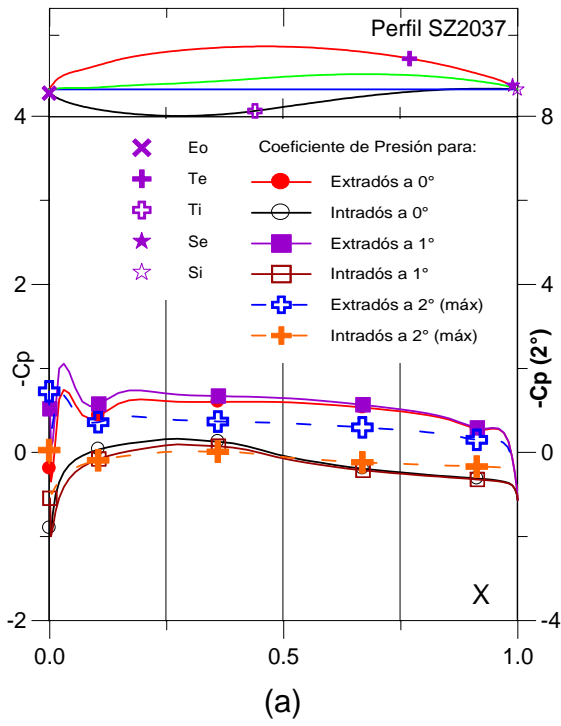


Fig. 5.1.75. (a) C_p (0° , 1° y Máx) vs. X para $Re = 1 E 6$ (leer $C_{p\text{máx}}$ a la derecha) y (b) Curvas Polares del Perfil SZ - 2037.

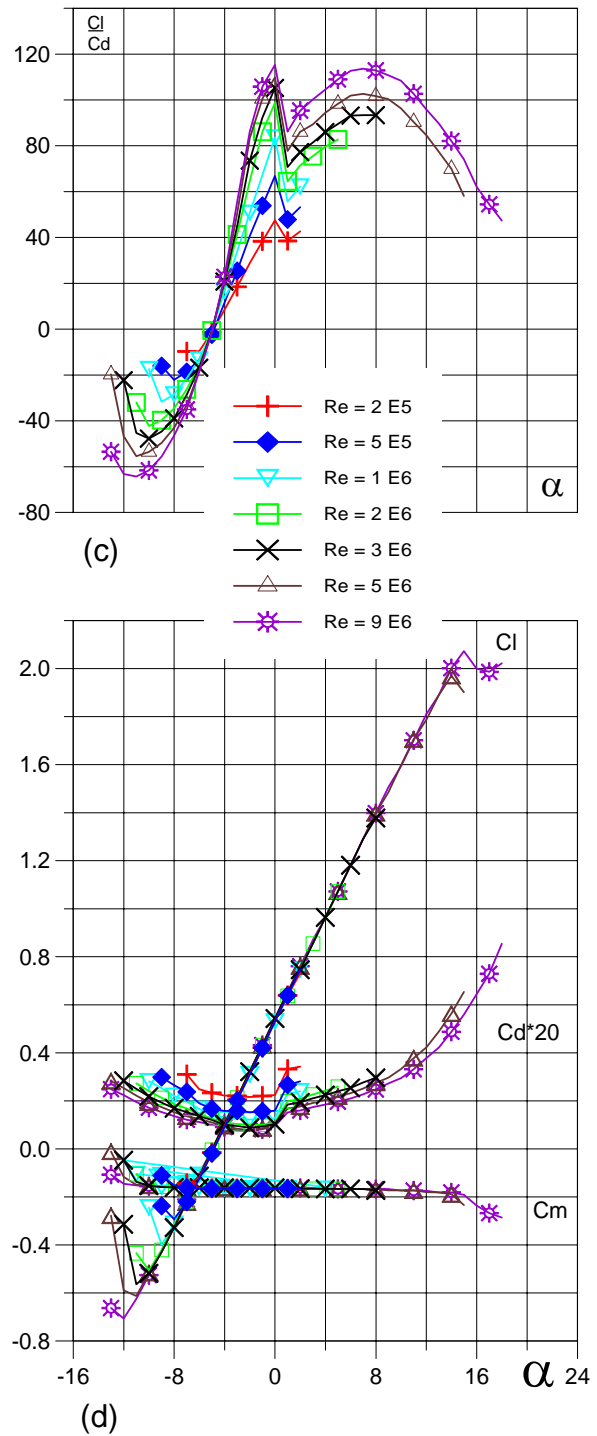


Fig. 5.1.76 . (c) Curvas de Cl/Cd y (d) Cl , Cd , C_m vs. Ángulo de ataque del Perfil SZ - 2037.

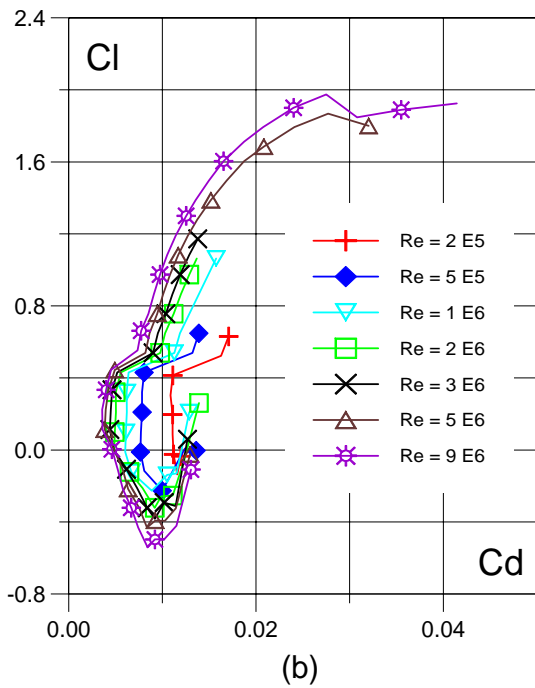
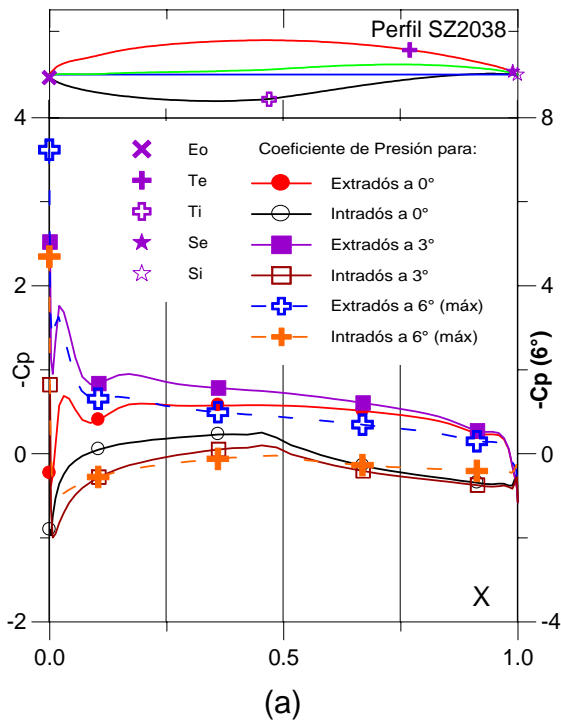


Fig. 5.1.77. (a) C_p (0° , 3° y Máx) vs. X para $Re = 1 E 6$ (leer $C_{p\text{máx}}$ a la derecha) y (b) Curvas Polares del Perfil SZ - 2038.

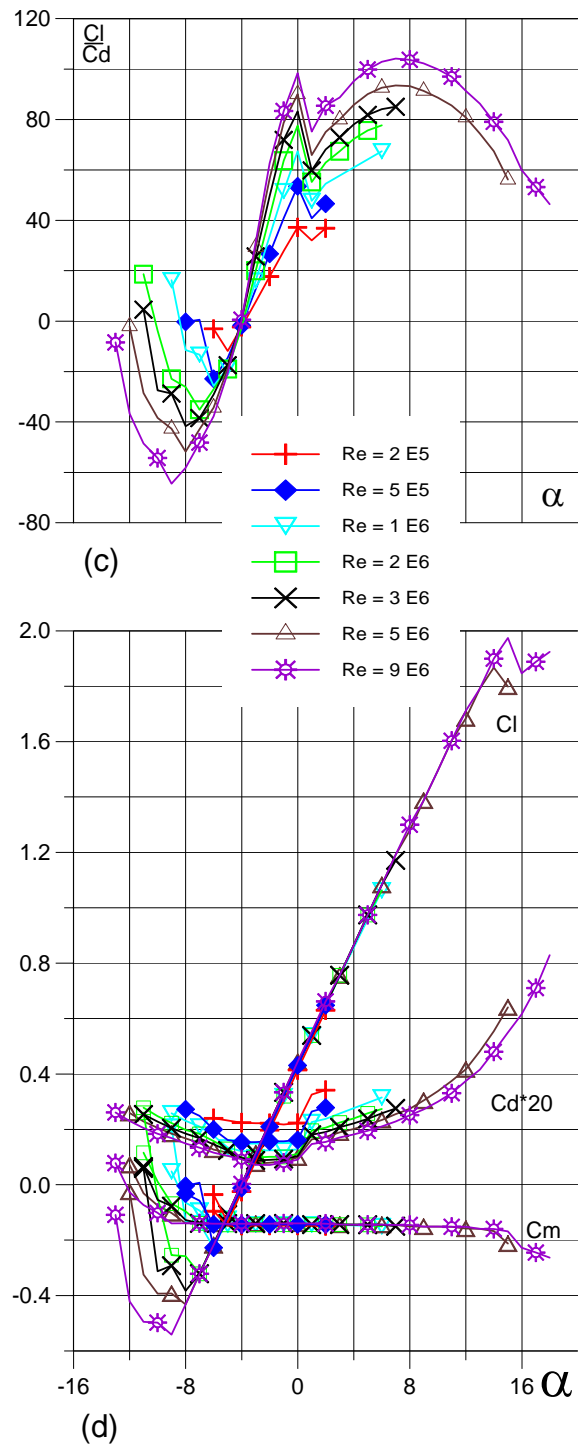


Fig. 5.1.78. (c) Curvas de Cl/Cd y (d) Cl , Cd , C_m vs. Ángulo de ataque del Perfil SZ - 2038.

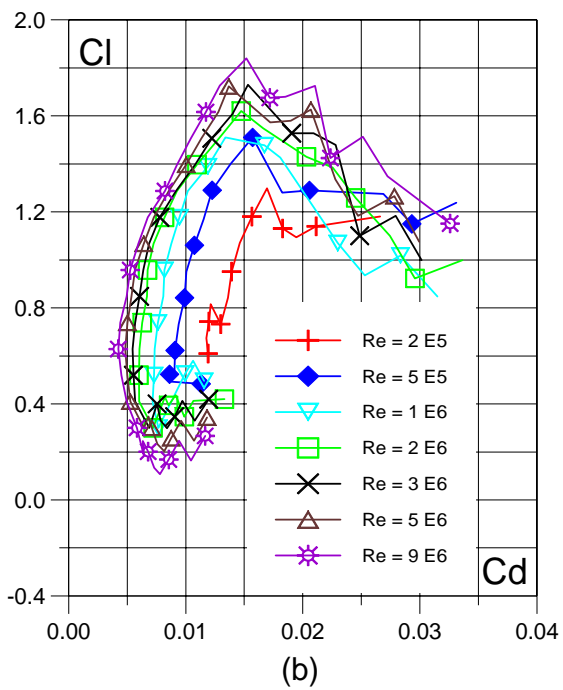
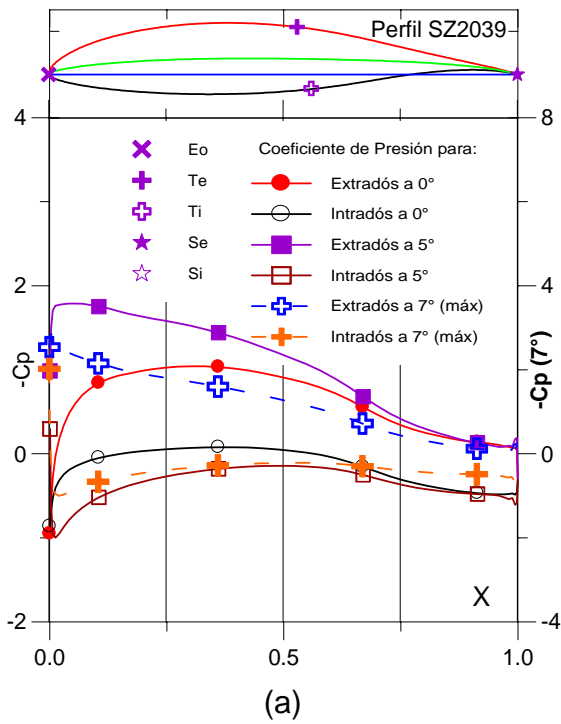


Fig. 5.1.79. (a) C_p (0° , 5° y Máx) vs. X para $Re = 1 E 6$ (leer $C_{p\text{máx}}$ a la derecha) y (b) Curvas Polares del Perfil SZ - 2039.

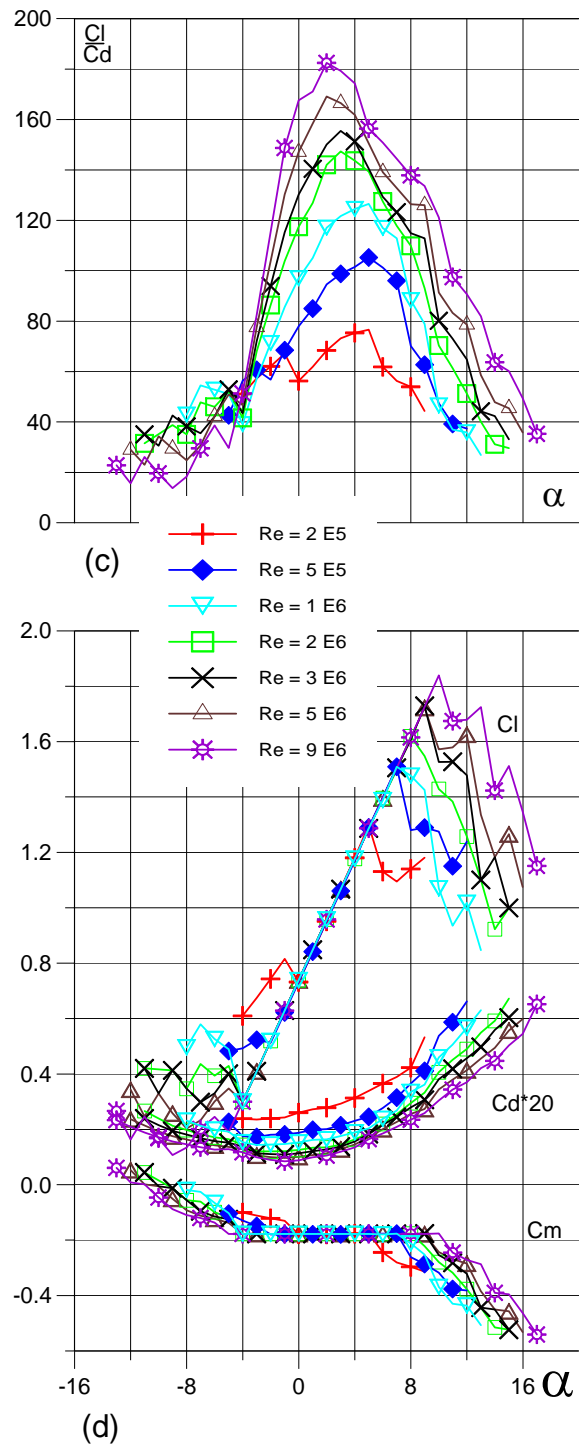


Fig. 5.1.80. (c) Curvas de Cl/Cd y (d) Cl , Cd , C_m vs. Ángulo de ataque del Perfil SZ - 2039.

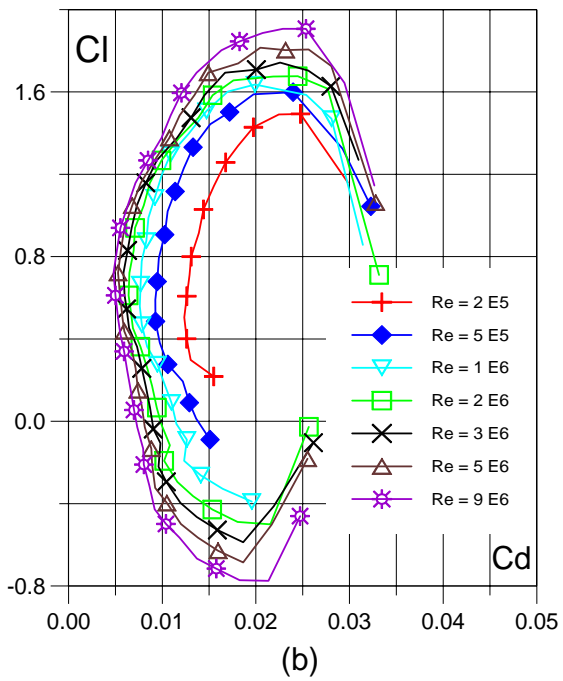
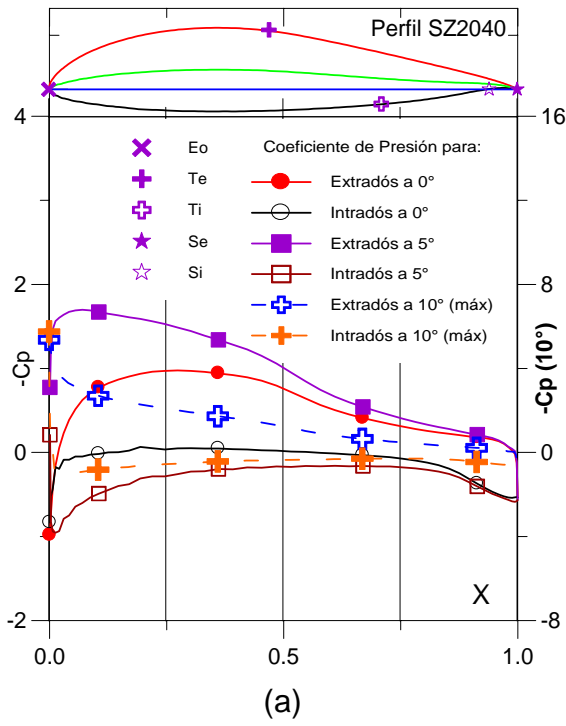


Fig. 5.1.81. (a) C_p (0° , 5° y Máx) vs. X para $Re = 1 E 6$ (leer $C_{p\text{máx}}$ a la derecha) y (b) Curvas Polares del Perfil SZ - 2040.

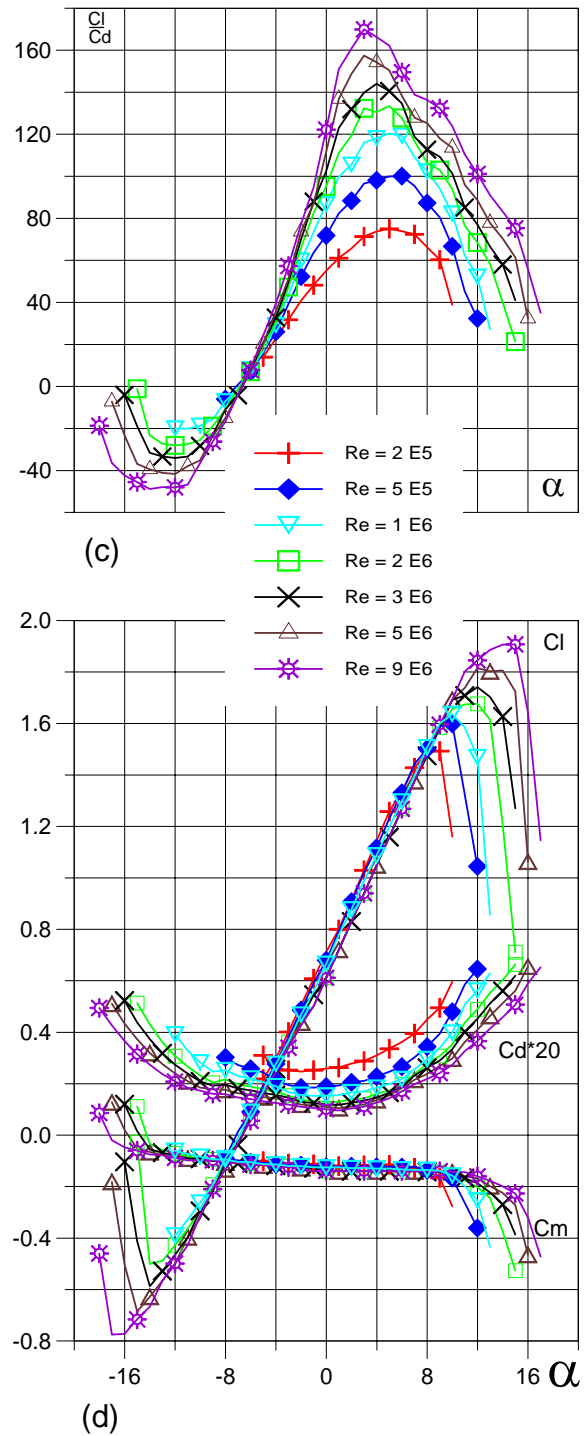


Fig. 5.1.82. (c) Curvas de Cl/Cd y (d) Cl , Cd , C_m vs. Ángulo de ataque del Perfil SZ - 2040.

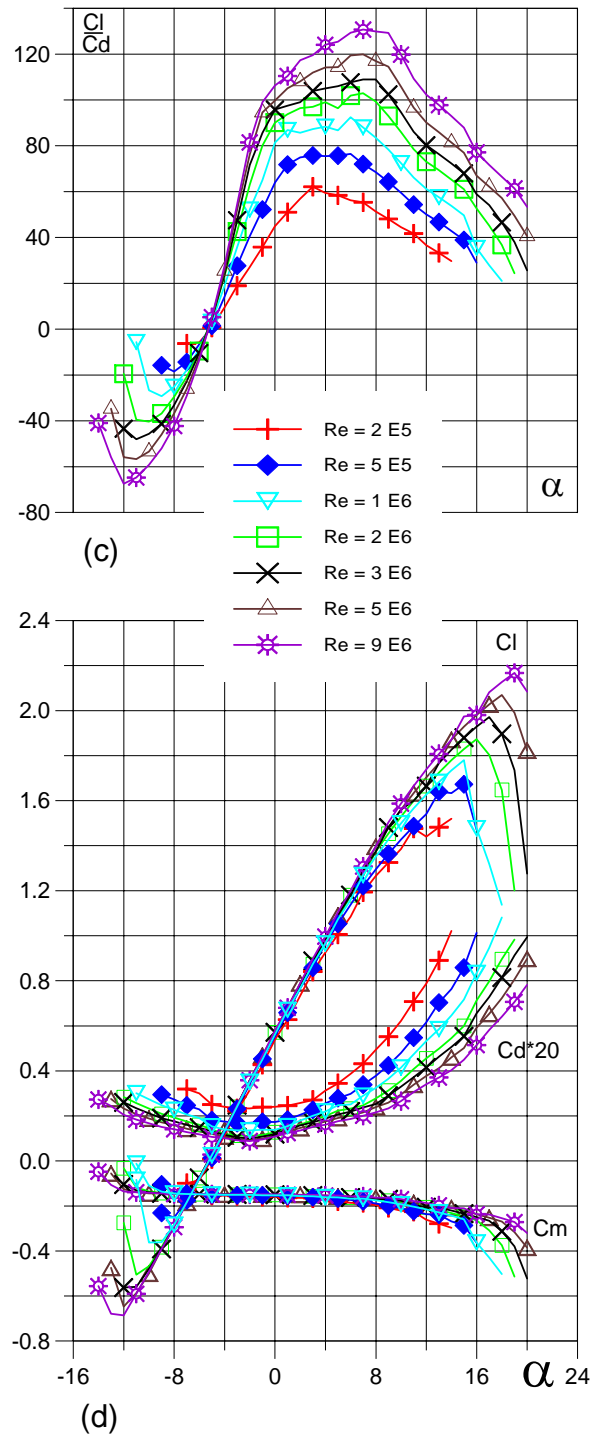
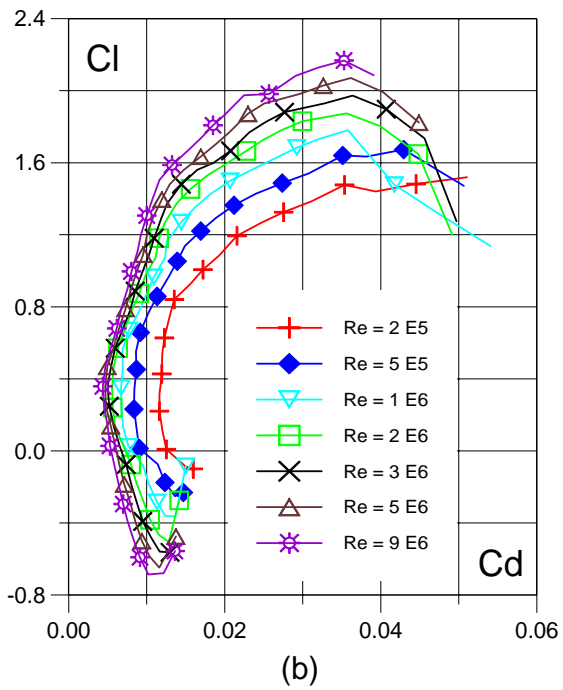
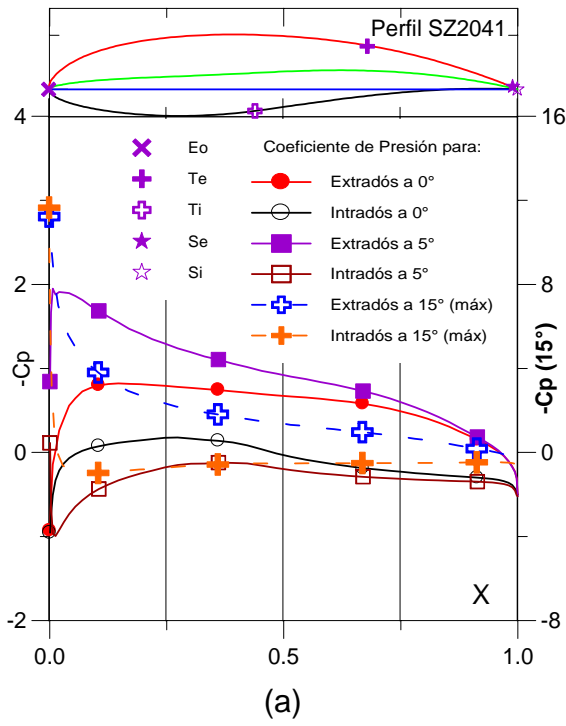


Fig. 5.1.83. (a) C_p (0° , 5° y Max) vs. X para $Re = 1 E 6$ (leer $C_{p\text{max}}$ a la derecha) y (b) Curvas Polares del Perfil SZ - 2041.

Fig. 5.1.84. (c) Curvas de Cl/C_d y (d) Cl , C_d , C_m vs. ngulo de ataque del Perfil SZ - 2041.

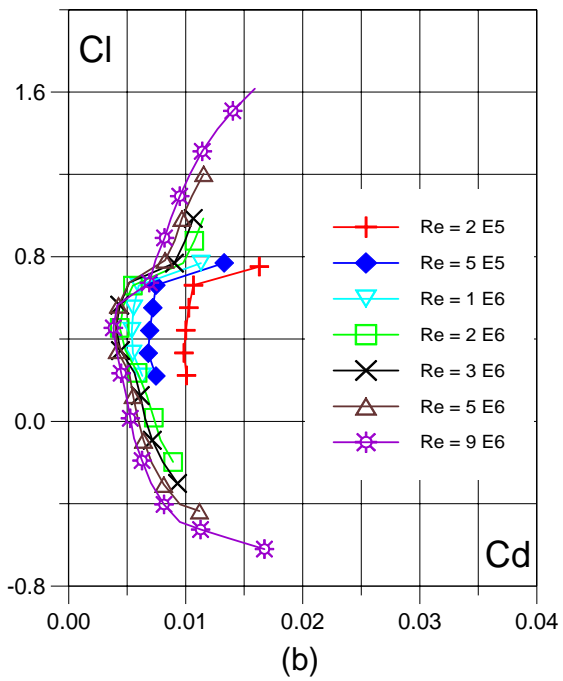
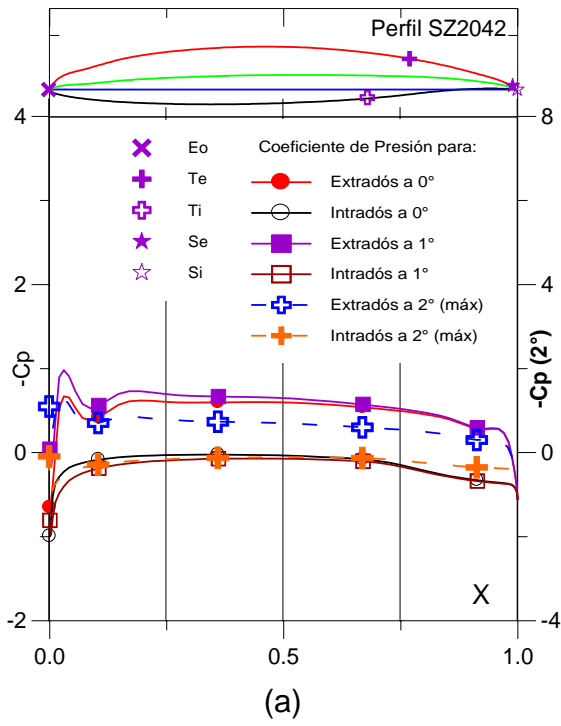


Fig. 5.1.85. (a) C_p (0° , 1° y Máx) vs. X para $Re = 1 E 6$ (leer $C_{p\text{máx}}$ a la derecha) y (b) Curvas Polares del Perfil SZ - 2042.

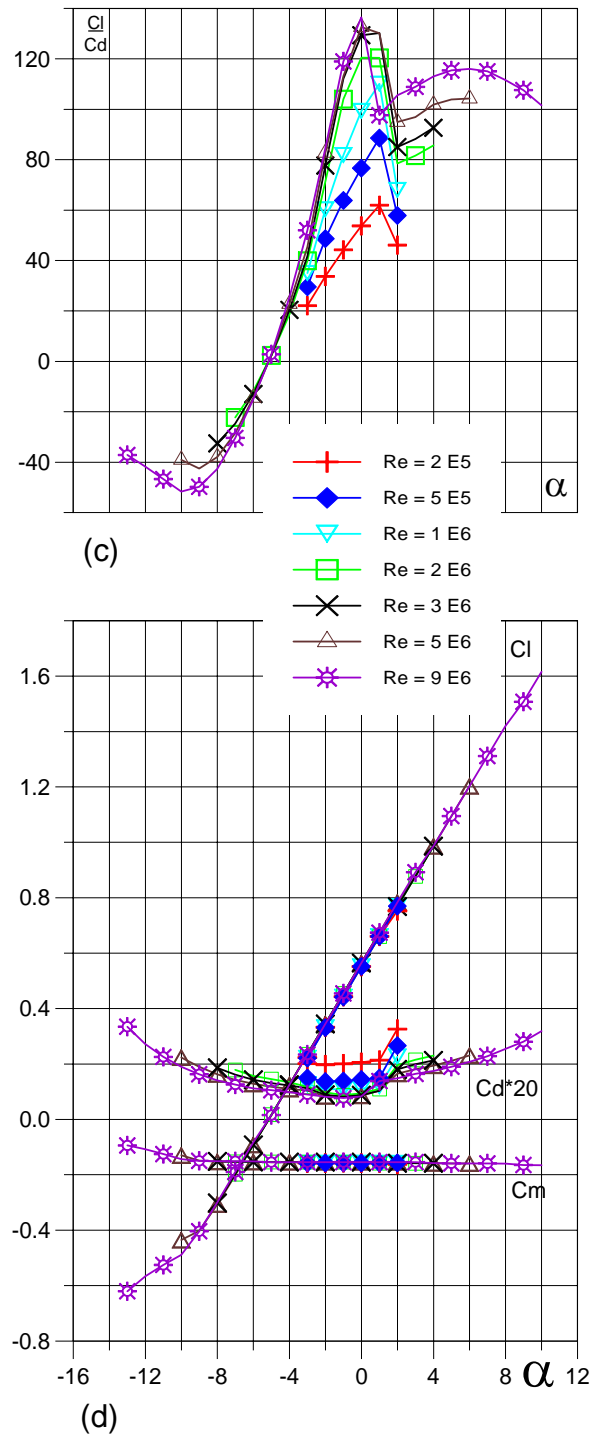


Fig. 5.1.86. (c) Curvas de C_l/C_d y (d) C_l , C_d , C_m vs. Ángulo de ataque del Perfil SZ - 2042.

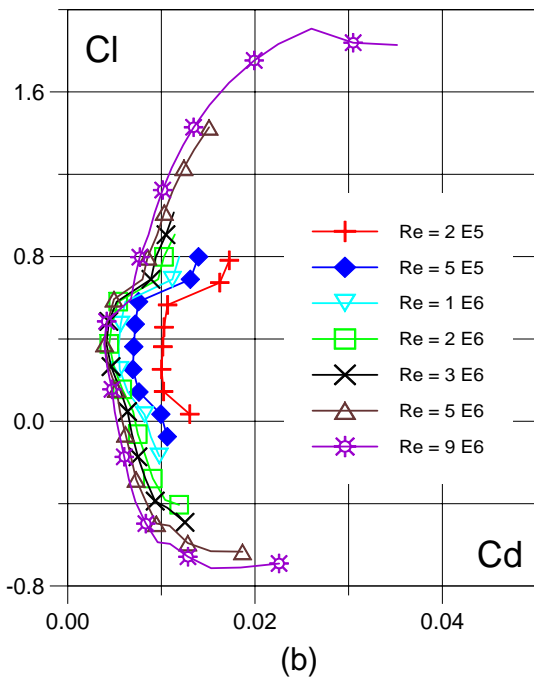
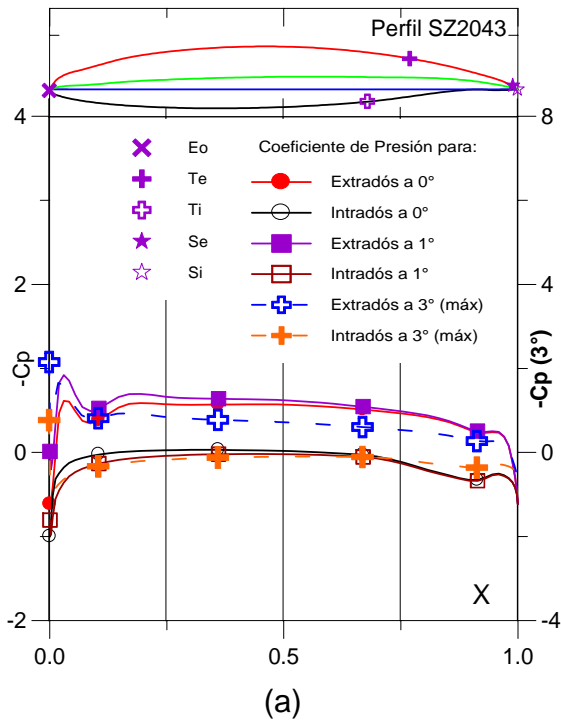


Fig. 5.1.87. (a) C_p (0° , 1° y Max) vs. X para $Re = 1 E 6$ (leer $C_{p\text{max}}$ a la derecha) y (b) Curvas Polares del Perfil SZ - 2043.

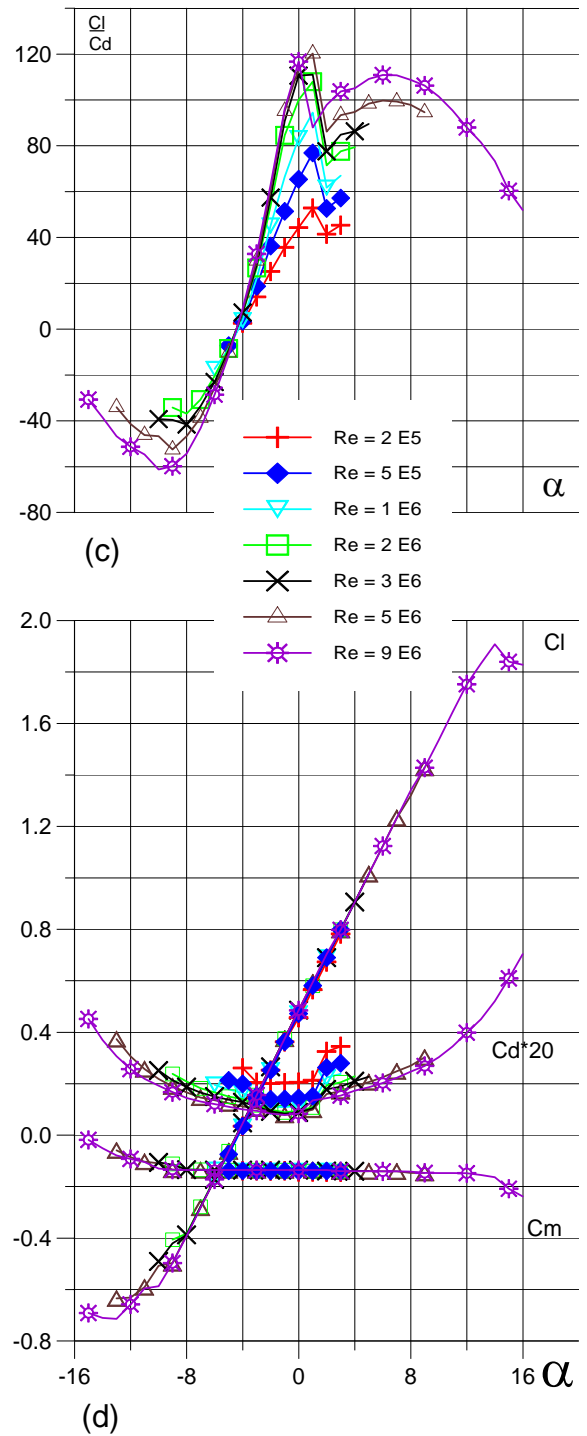


Fig. 5.1.88. (c) Curvas de Cl/C_d y (d) Cl , C_d , C_m vs. ngulo de ataque del Perfil SZ - 2043.

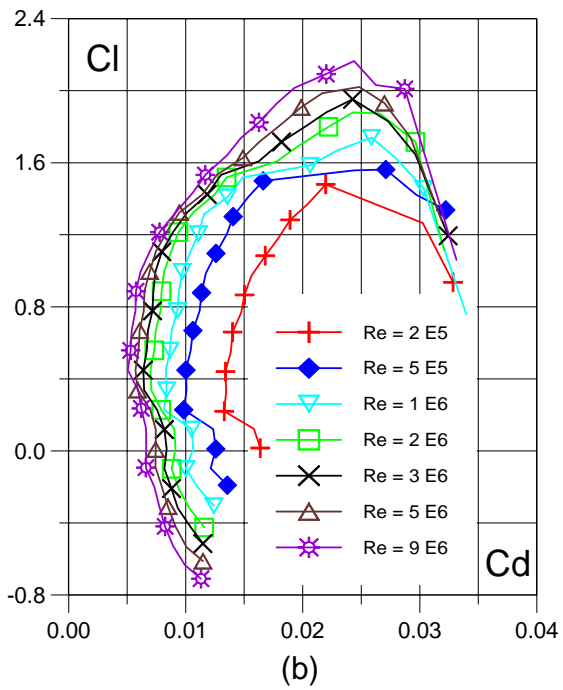
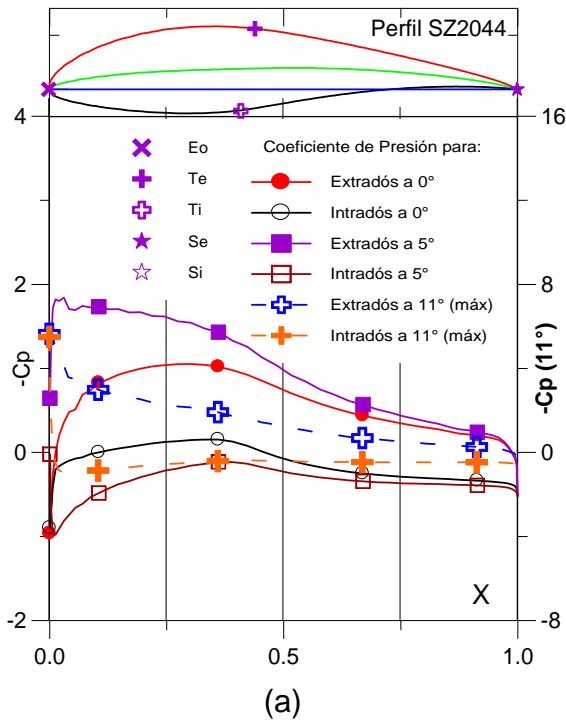


Fig. 5.1.89. (a) C_p (0° , 5° y Máx) vs. X para $Re = 1 E 6$ (leer $C_{p\text{máx}}$ a la derecha) y (b) Curvas Polares del Perfil SZ - 2044.

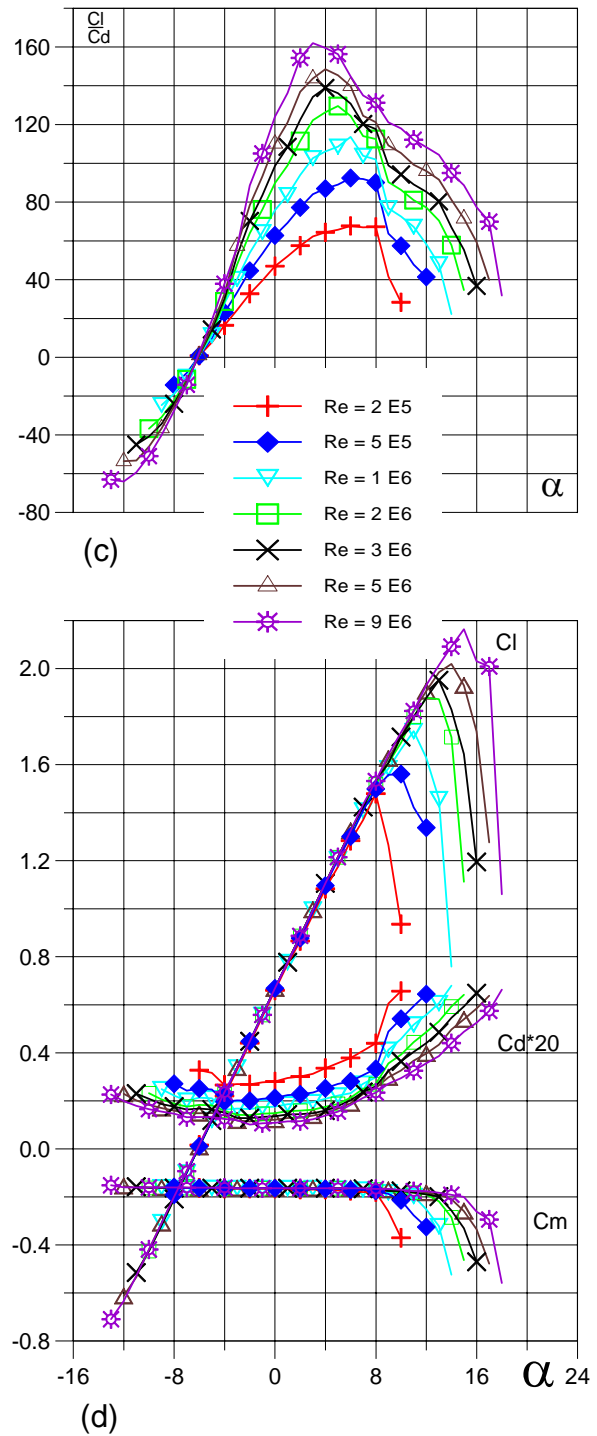


Fig. 5.1.90. (c) Curvas de Cl/C_d y (d) Cl , C_d , C_m vs. Ángulo de ataque del Perfil SZ - 2044.

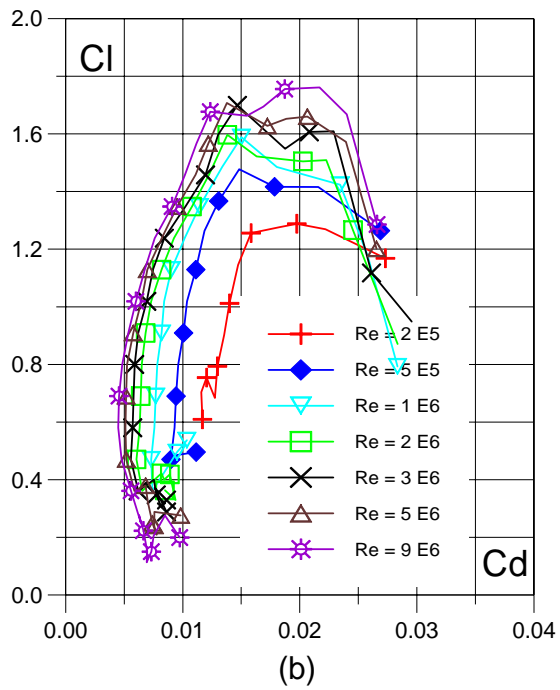
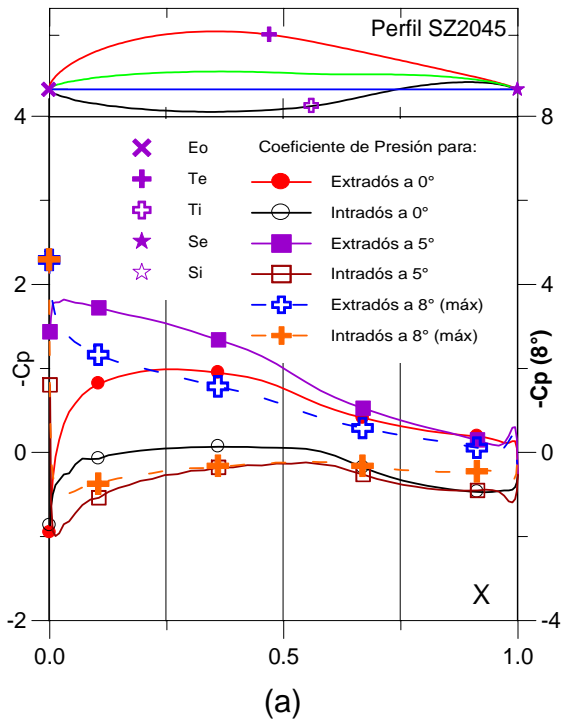


Fig. 5.1.91. (a) C_p (0°, 5° y Max) vs. X para $Re = 1 E 6$ (leer $C_{p\text{max}}$ a la derecha) y (b) Curvas Polares del Perfil SZ - 2045.

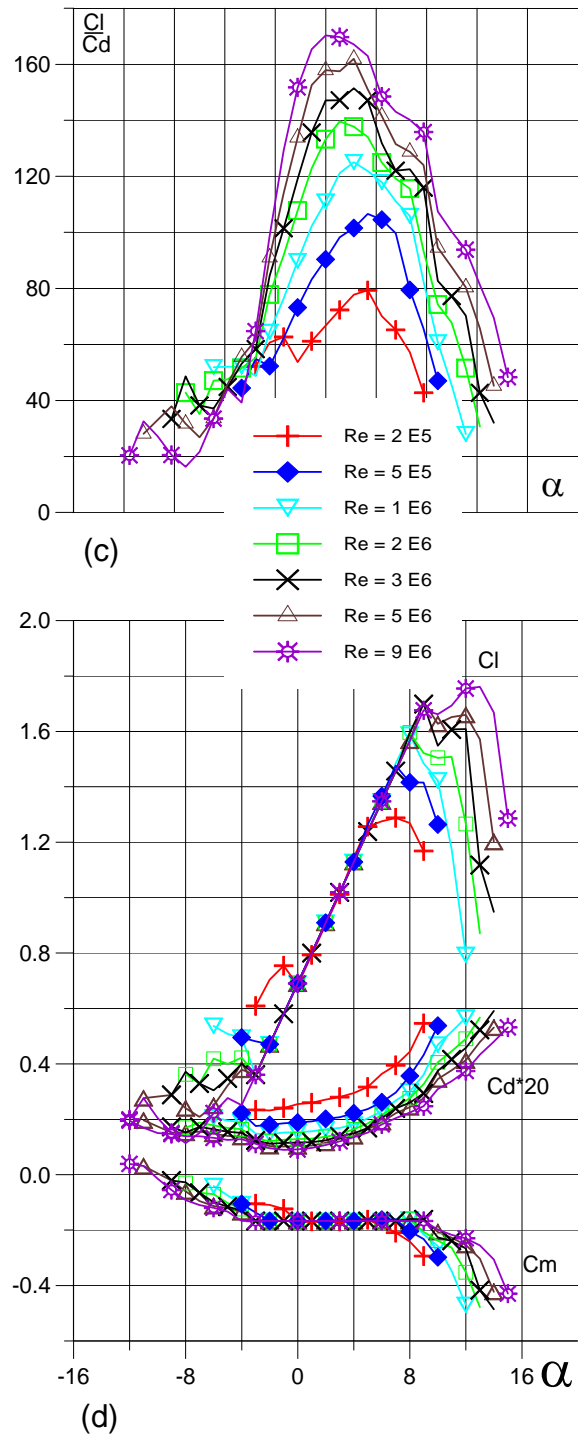


Fig. 5.1.92. (c) Curvas de Cl/Cd y (d) Cl , Cd , C_m vs. ngulo de ataque del Perfil SZ - 2045.

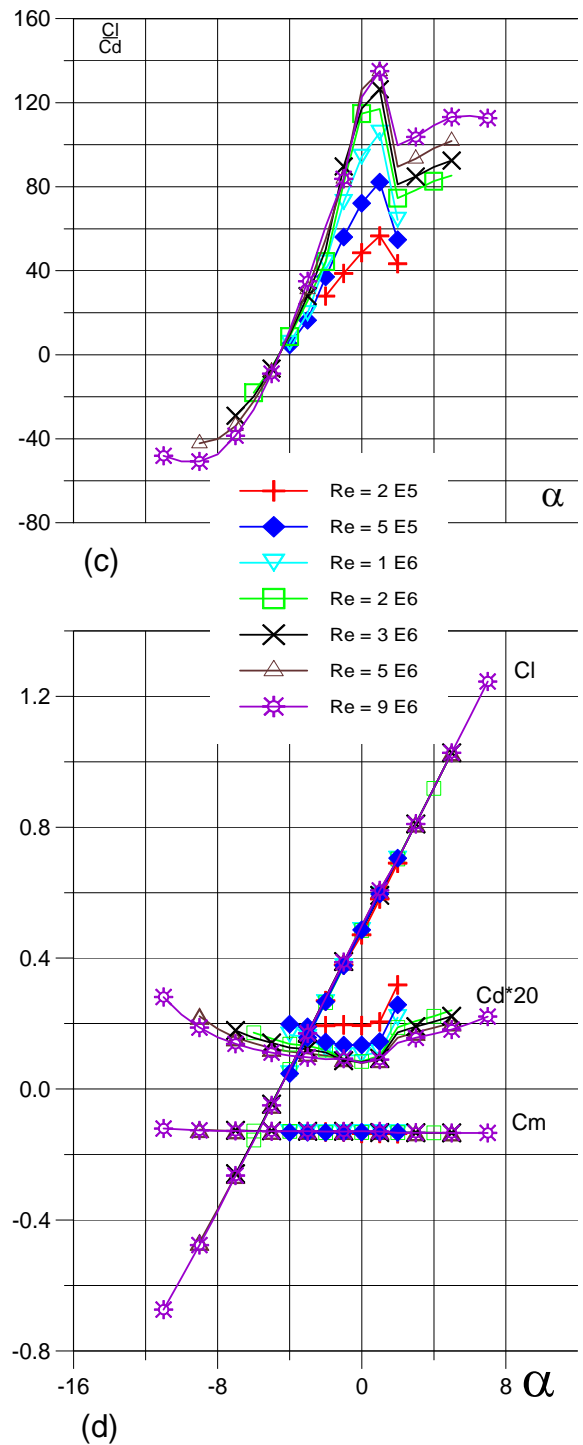
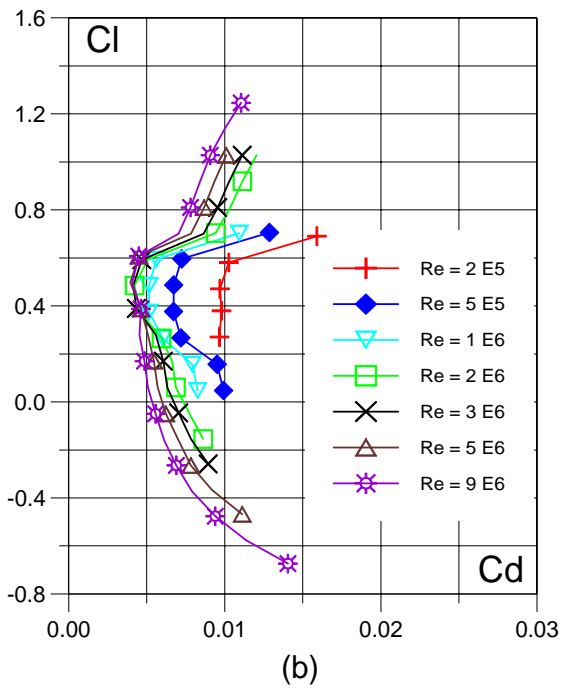
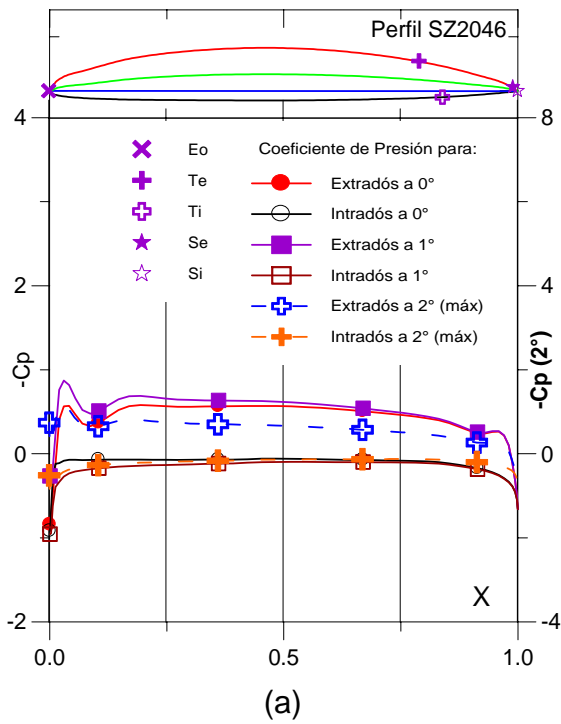


Fig. 5.1.93. (a) Cp (0°, 1° y Máx) vs. X para Re = 1 E 6 (leer Cpmáx a la derecha) y (b) Curvas Polares del Perfil SZ - 2046.

Fig. 5.1.94. (c) Curvas de Cl/Cd y (d) Cl, Cd, Cm vs. Ángulo de ataque del Perfil SZ - 2046.

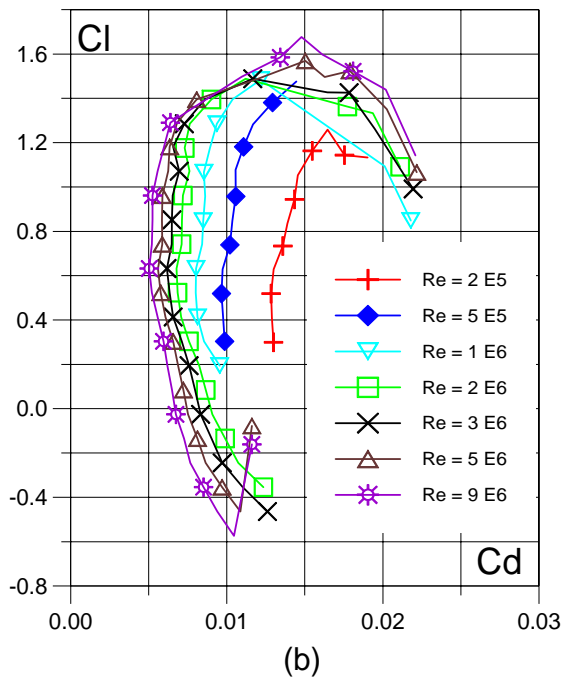
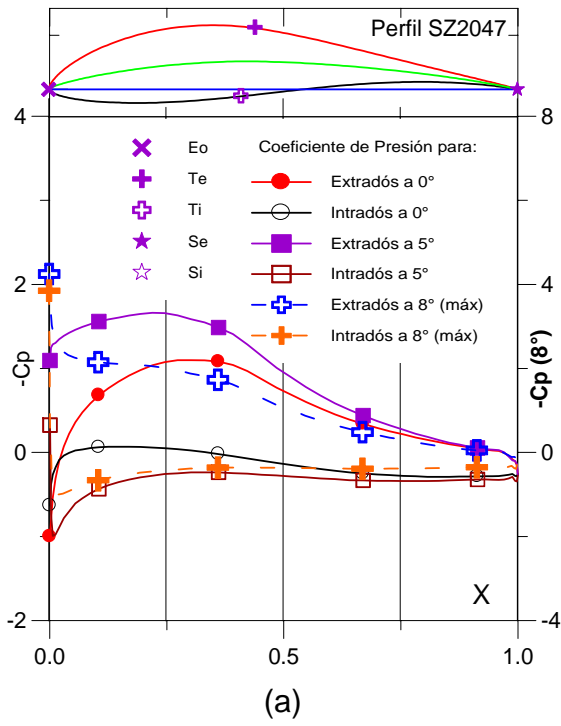


Fig. 5.1.95. (a) C_p (0, 5 y Max) vs. X para $Re = 1 E 6$ (leer $C_{p\text{max}}$ a la derecha) y (b) Curvas Polares del Perfil SZ - 2047.

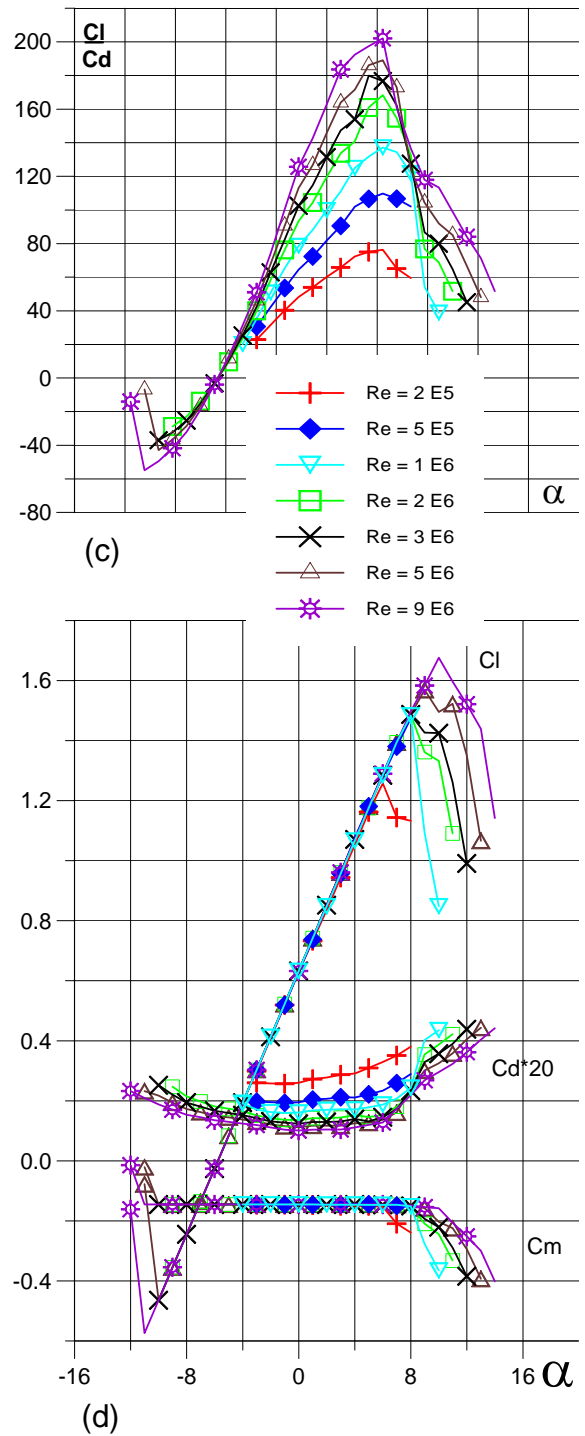


Fig. 5.1.96. (c) Curvas de Cl/Cd y (d) Cl , Cd , C_m vs. ngulo de ataque del Perfil SZ - 2047.

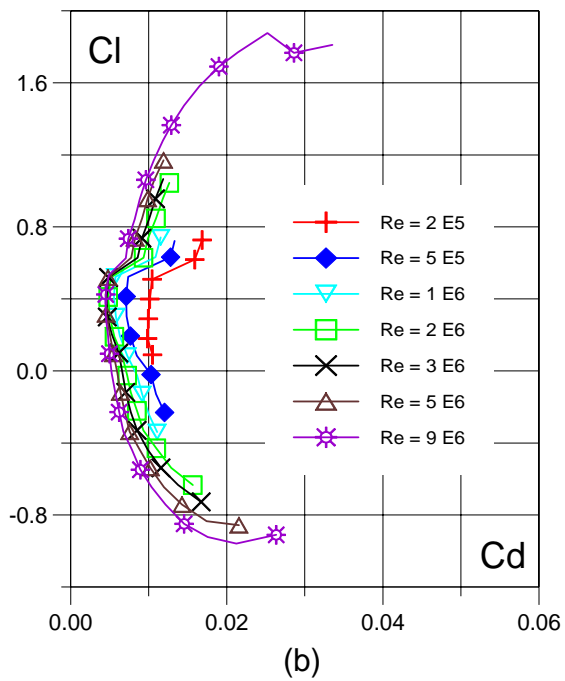
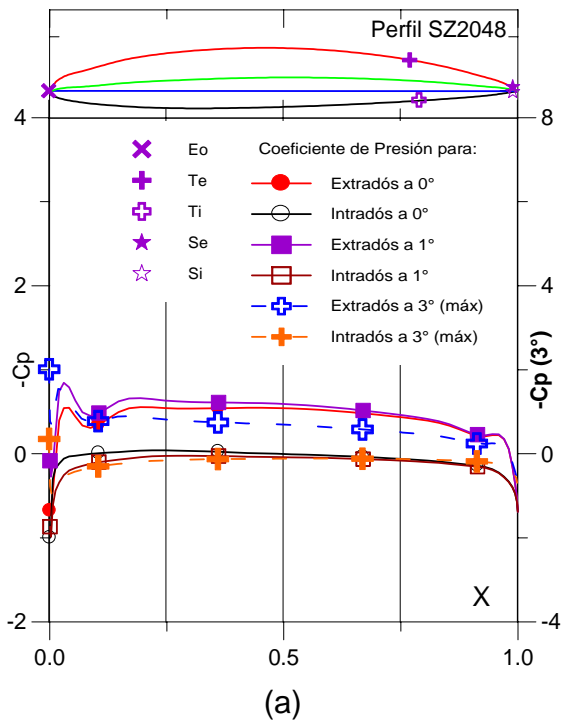


Fig. 5.1.97. (a) C_p (0°, 1° y Máx) vs. X para $Re = 1 E 6$ (leer $C_{p\text{máx}}$ a la derecha) y (b) Curvas Polares del Perfil SZ - 2048.

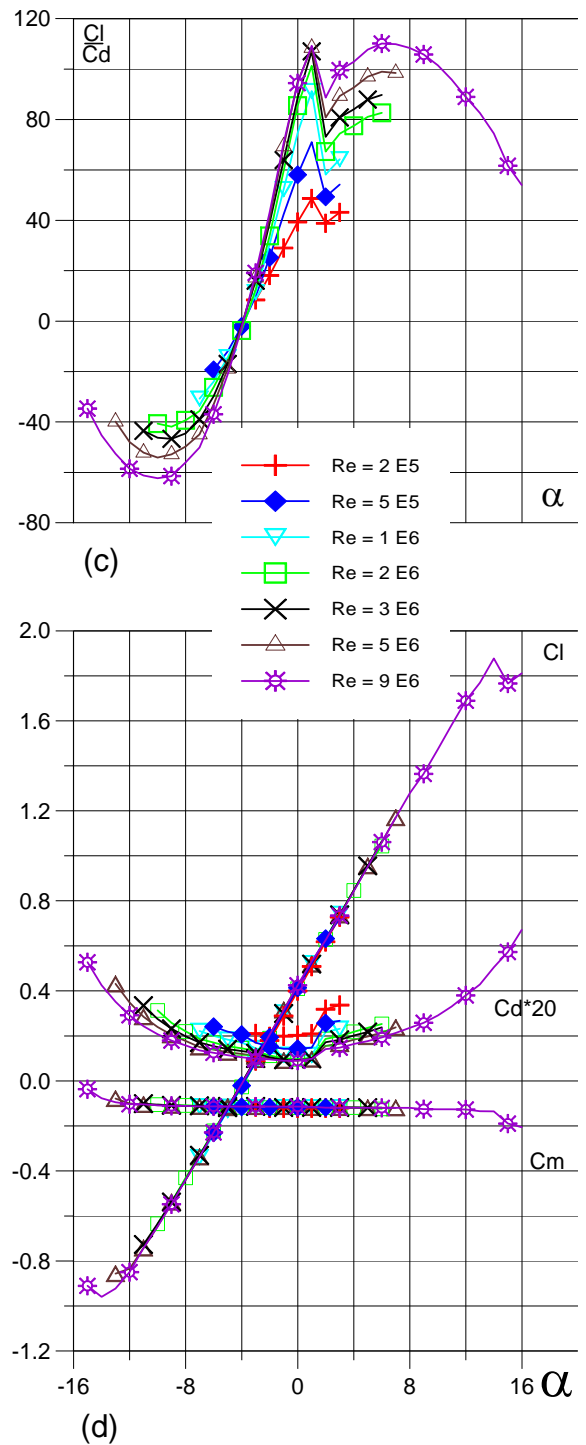


Fig.5.1.98. (c) Curvas de Cl/Cd y (d) Cl , Cd , Cm vs. Ángulo de ataque del Perfil SZ - 2048.

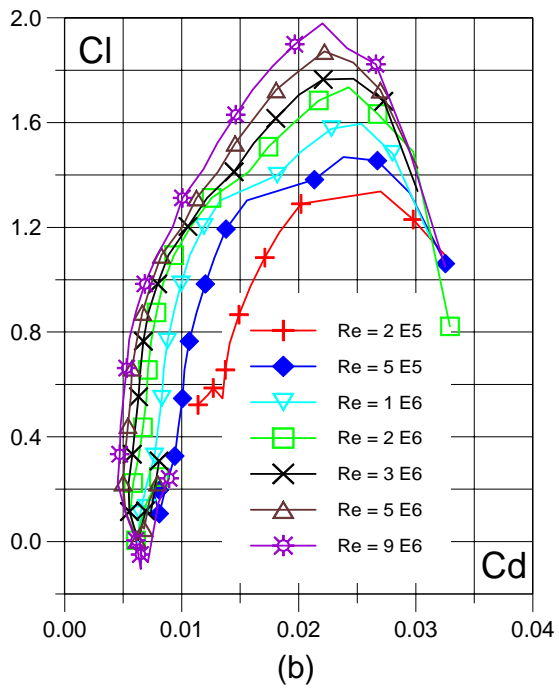
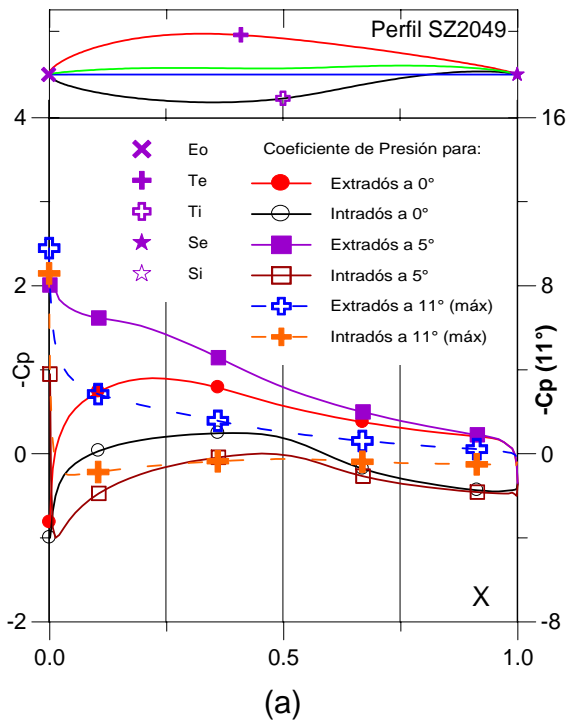


Fig. 5.1.99. (a) C_p (0° , 5° y Máx) vs. X para $Re = 1 E 6$ (leer $C_{p\text{máx}}$ a la derecha) y (b) Curvas Polares del Perfil SZ - 2049.

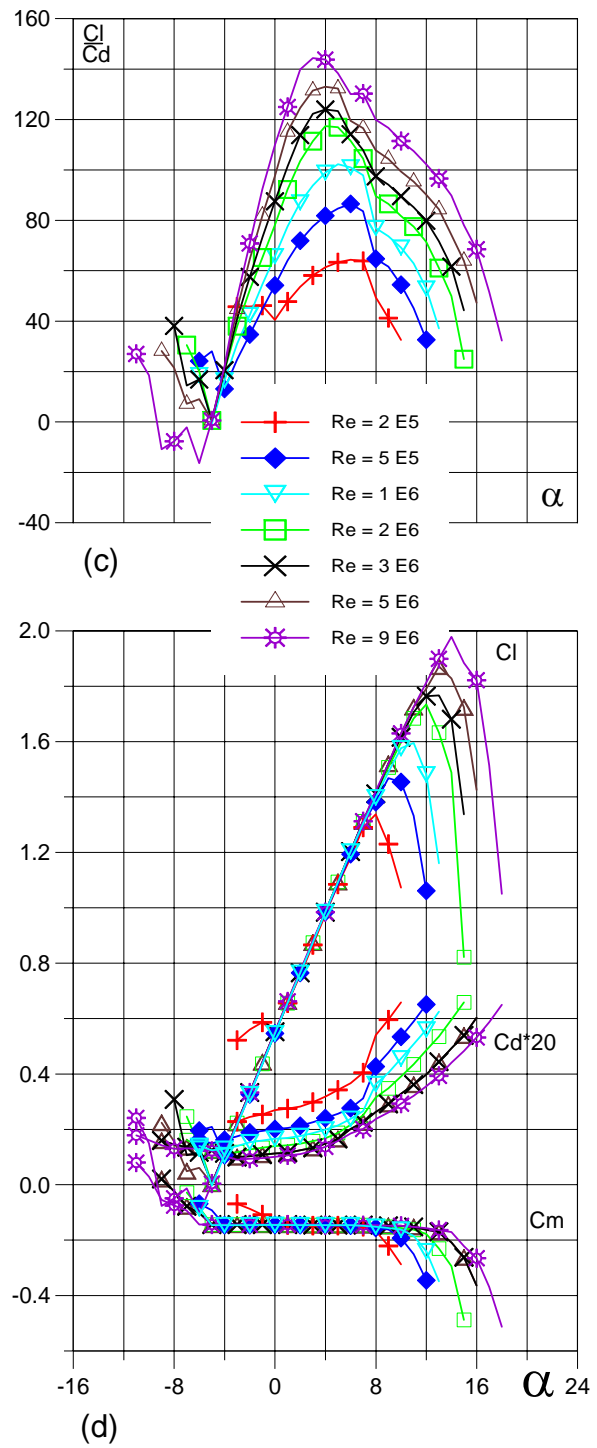
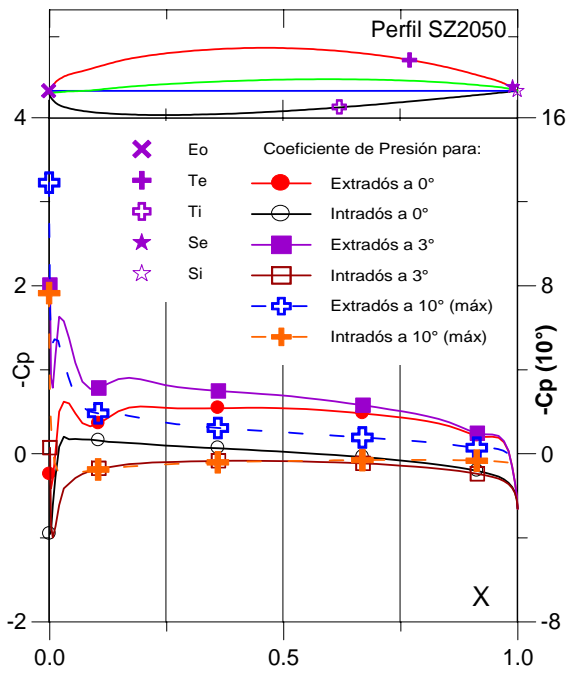
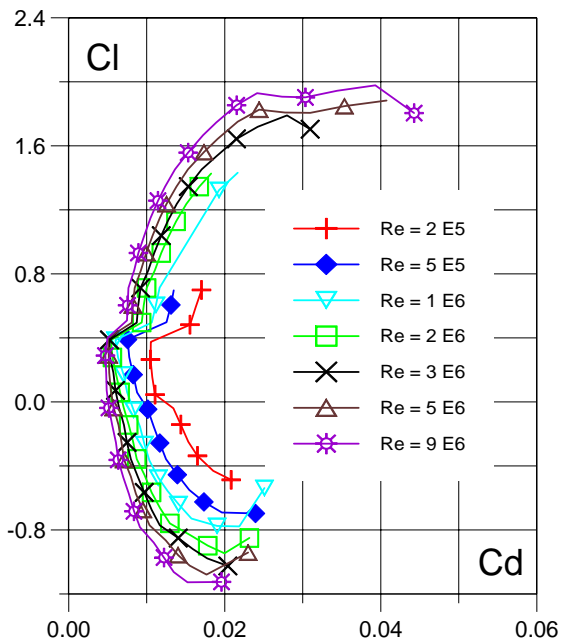


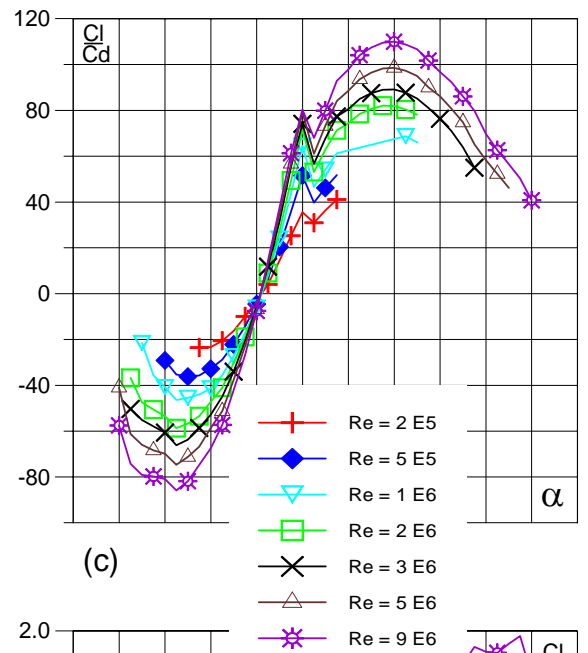
Fig. 5.1.100. (c) Curvas de Cl/Cd y (d) Cl , Cd , C_m vs. Ángulo de ataque del Perfil SZ - 2049.



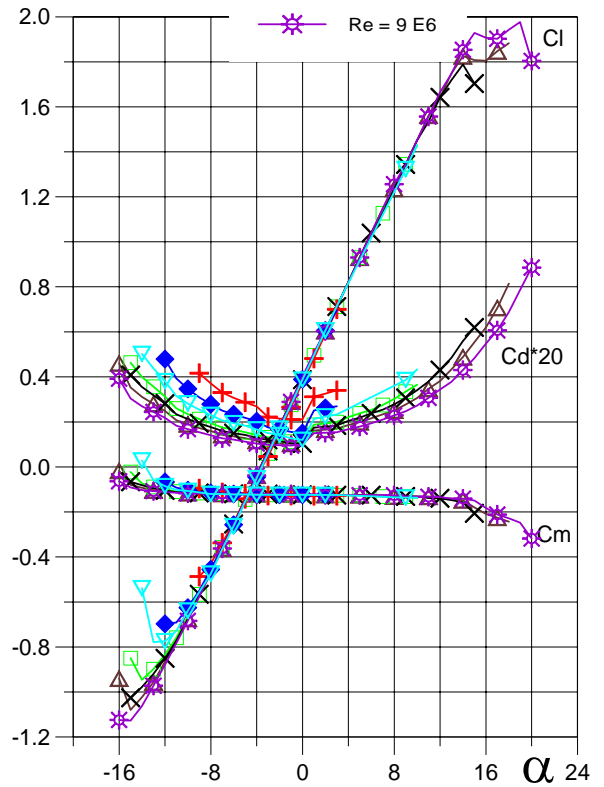
(a)



(b)



(c)



(d)

Fig. 5.1.101. (a) C_p (0° , 3° y Máx) vs. X para $Re = 1 E 6$ (leer $C_{p\text{máx}}$ a la derecha) y (b) Curvas Polares del Perfil SZ - 2050.

Fig. 5.1.102. (c) Curvas de Cl/Cd y (d) Cl , Cd , C_m vs. Ángulo de ataque del Perfil SZ - 2050.

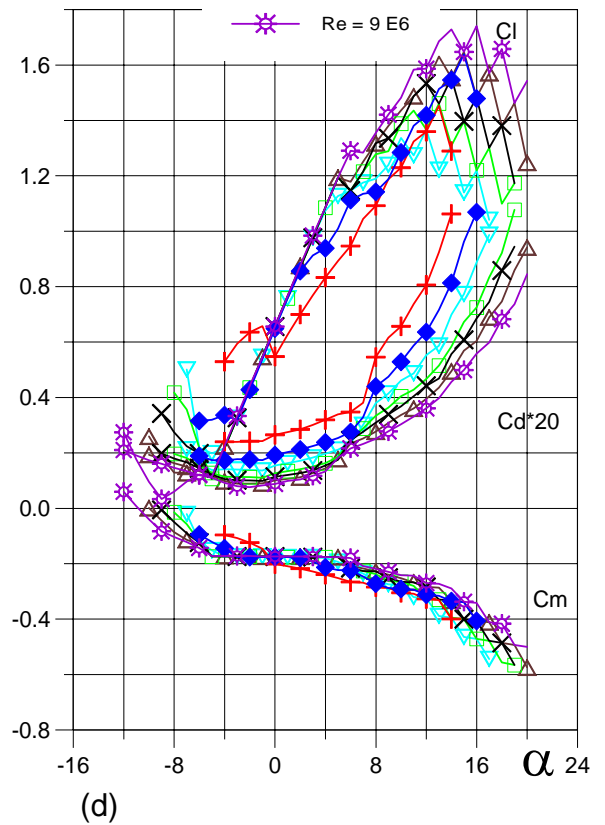
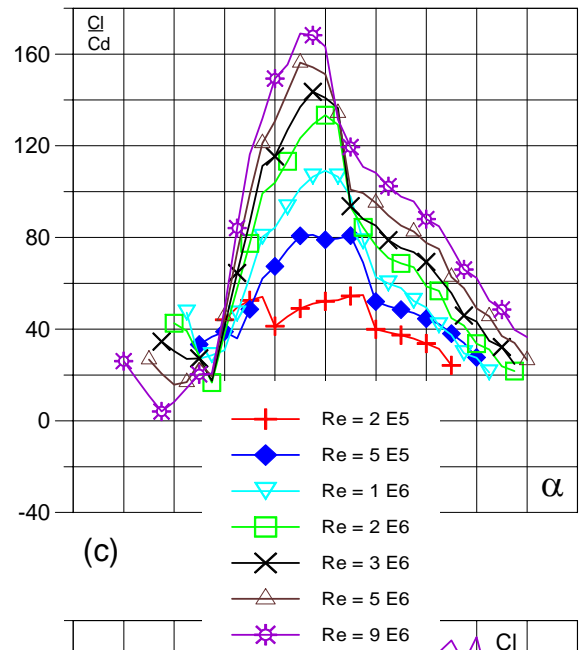
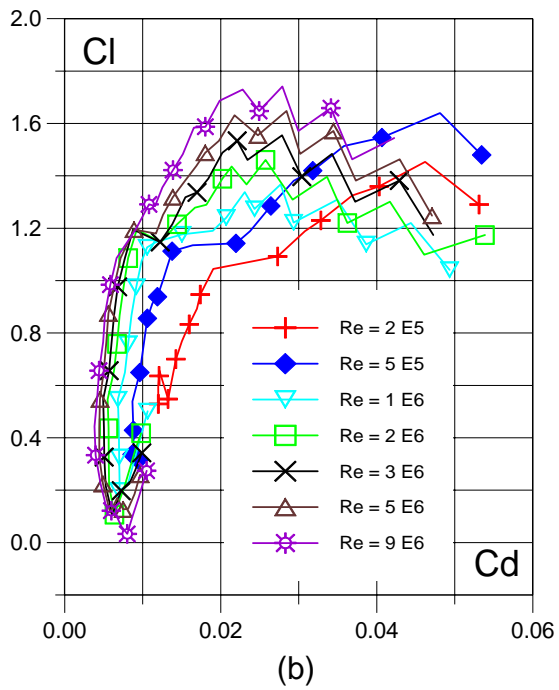
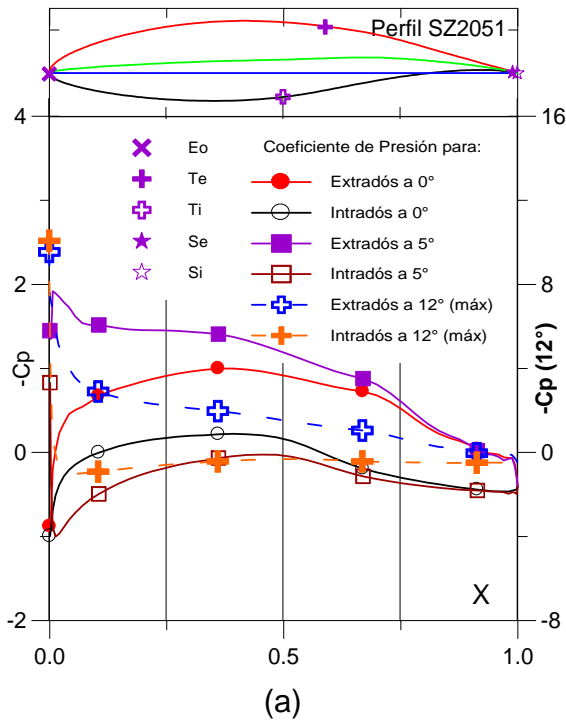


Fig. 5.1.103. (a) C_p (0° , 5° y Máx) vs. X para $Re = 1 E 6$ (leer $C_{p\text{máx}}$ a la derecha) y (b) Curvas Polares del Perfil SZ - 2051.

Fig. 5.1.104. (c) Curvas de Cl/Cd y (d) Cl , Cd , C_m vs. Ángulo de ataque del Perfil SZ - 2051.

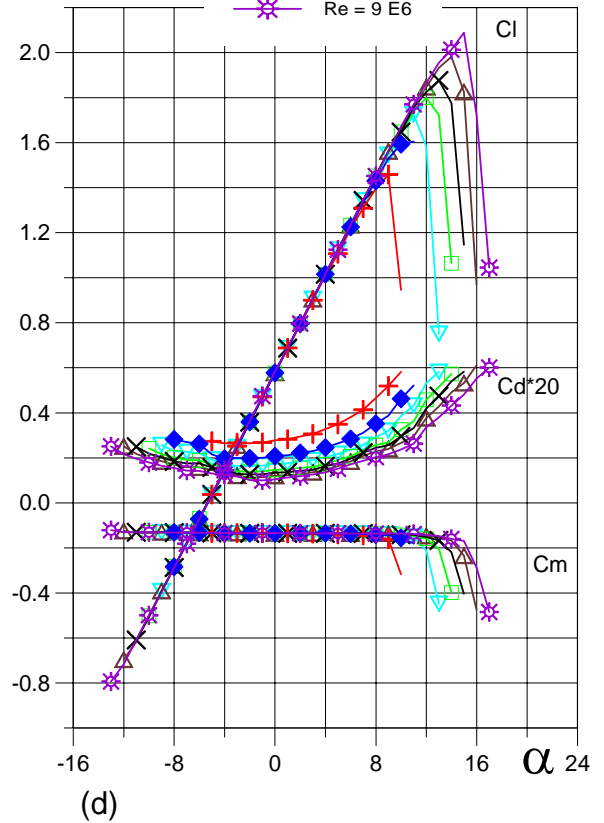
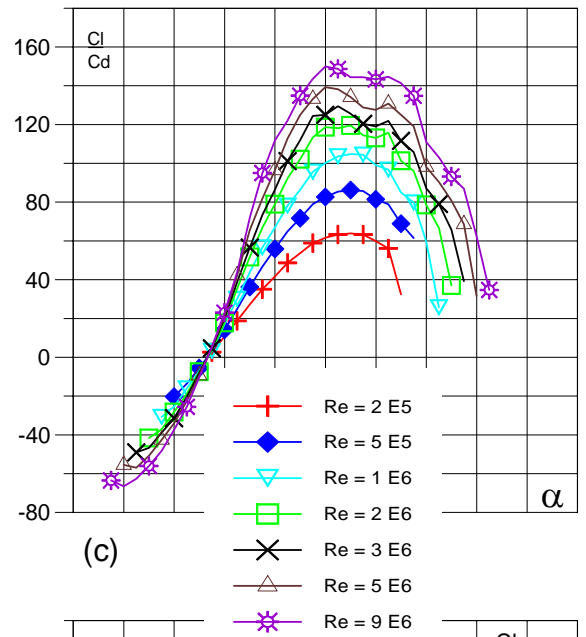
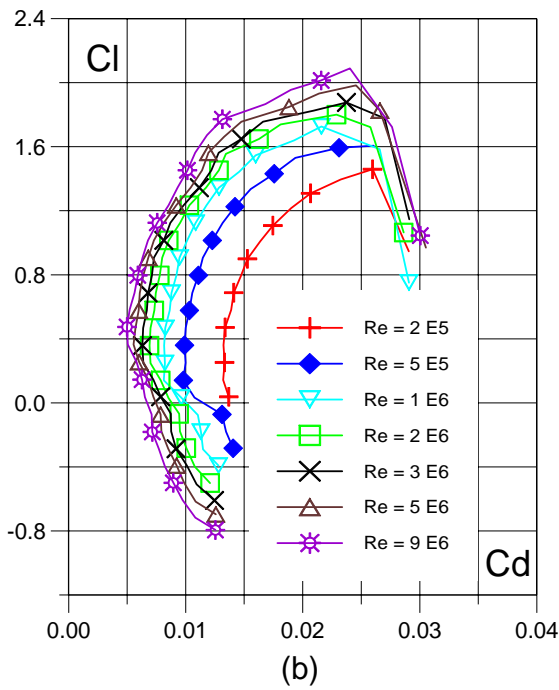
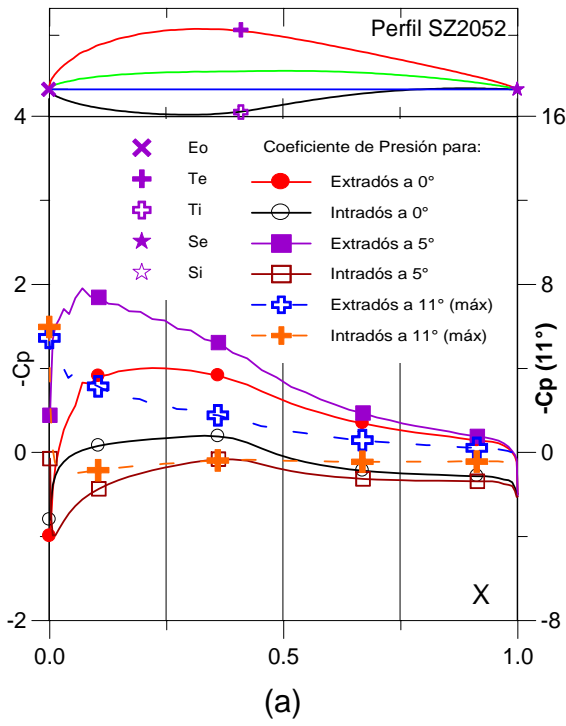


Fig. 5.1.105. (a) C_p (0° , 5° y Máx) vs. X para $Re = 1 E 6$ (leer $C_{p\text{máx}}$ a la derecha) y (b) Curvas Polares del Perfil SZ - 2052.

Fig. 5.1.106. (c) Curvas de Cl/Cd y (d) Cl , Cd , C_m vs. Ángulo de ataque del perfil SZ - 2052.

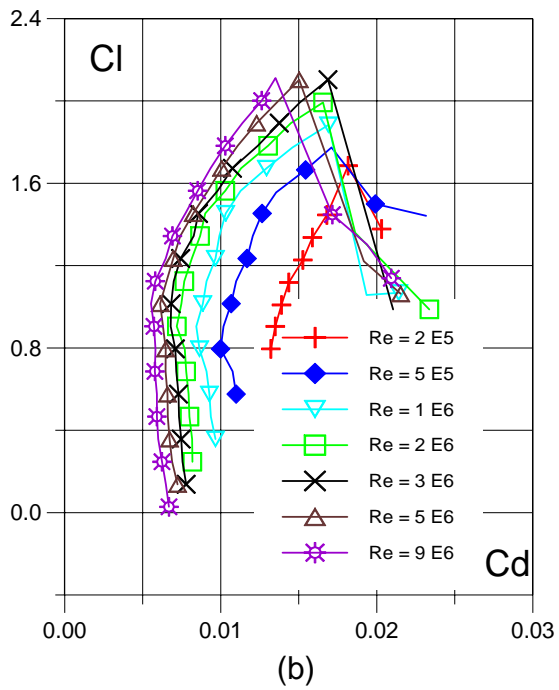
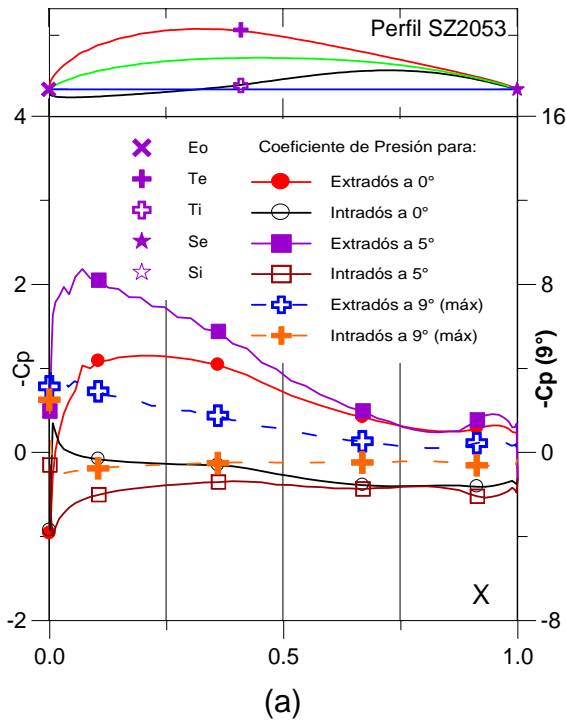


Fig. 5.1.107. (a) C_p (0° , 5° y Máx) vs. X para $Re = 1 E 6$ (leer $C_{p\text{máx}}$ a la derecha) y (b) Curvas Polares del Perfil SZ - 2053.

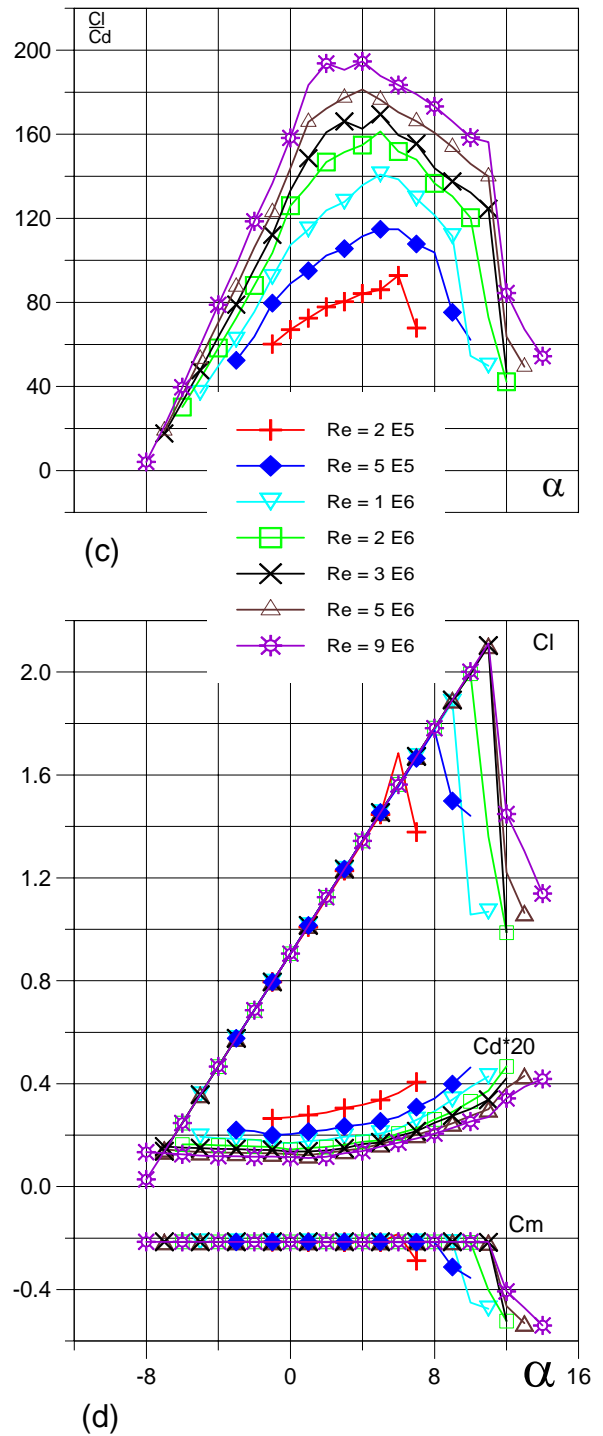


Fig. 5.1.108. (c) Curvas de C_l/C_d y (d) C_l , C_d , C_m vs. Ángulo de ataque del Perfil SZ - 2053.

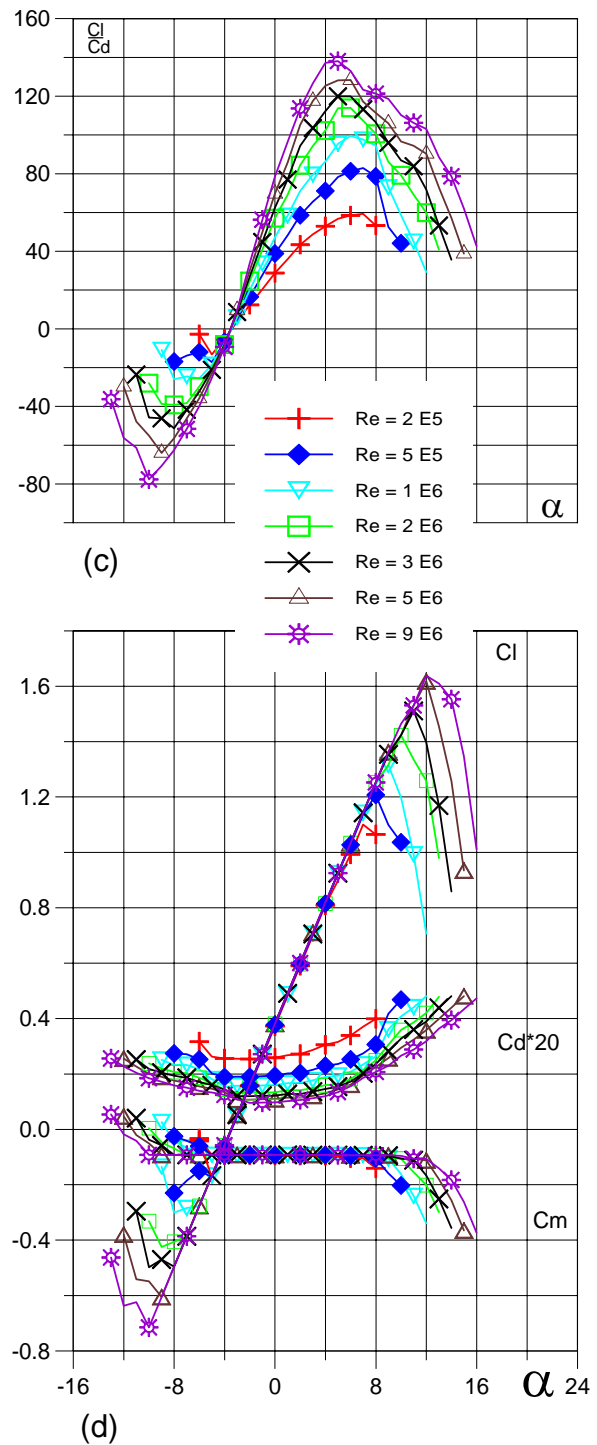
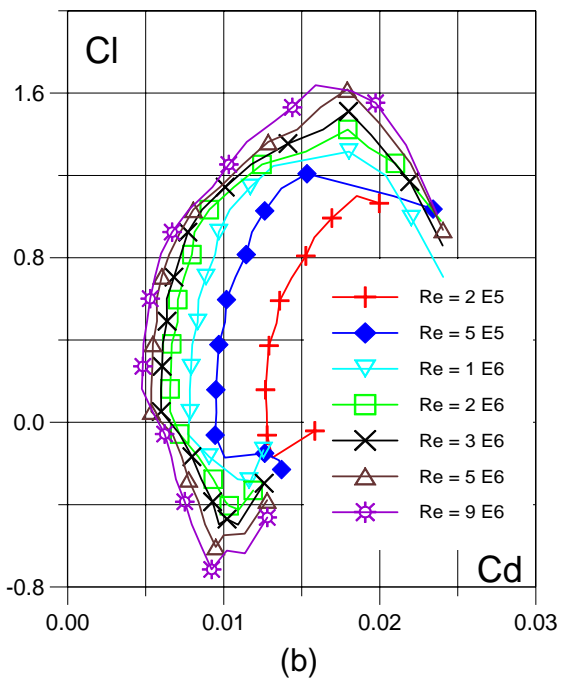
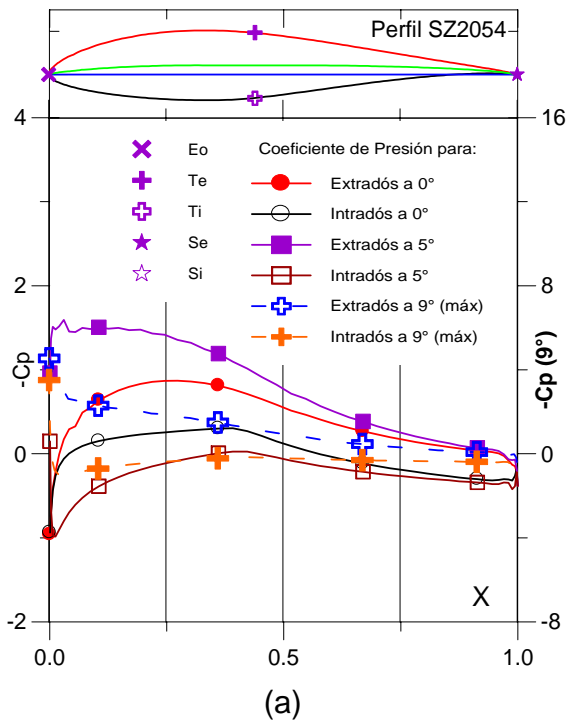
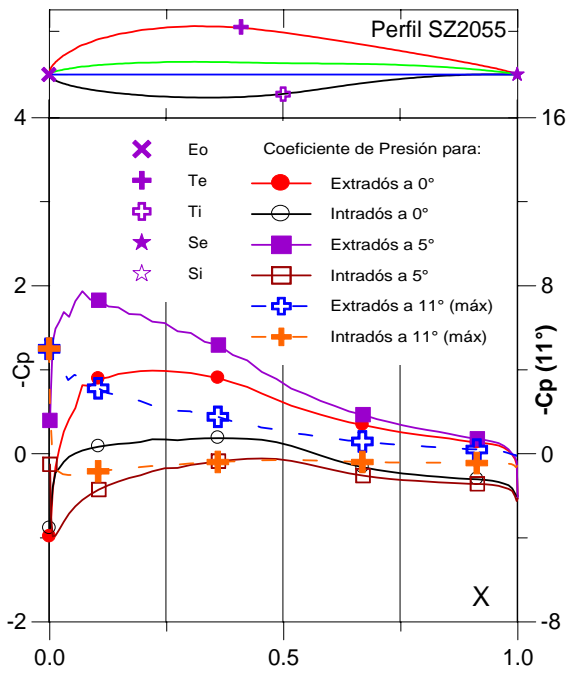
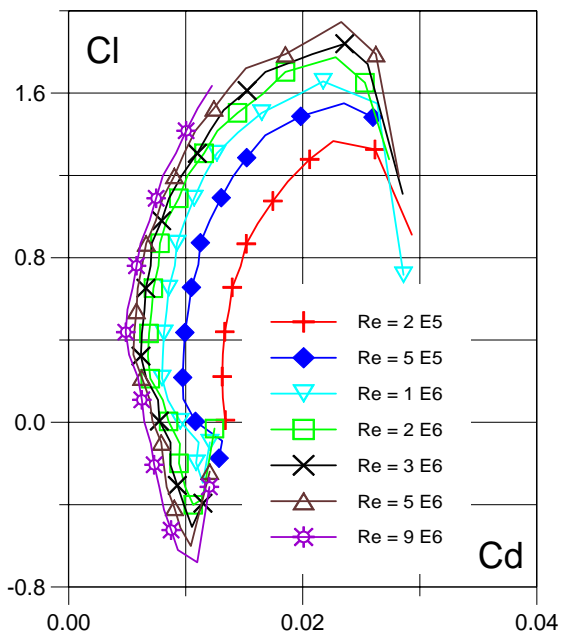


Fig. 5.1.109. (a) C_p (0° , 5° y Max) vs. X para $Re = 1 E 6$ (leer $C_{p\text{max}}$ a la derecha) y (b) Curvas Polares del Perfil SZ - 2054.

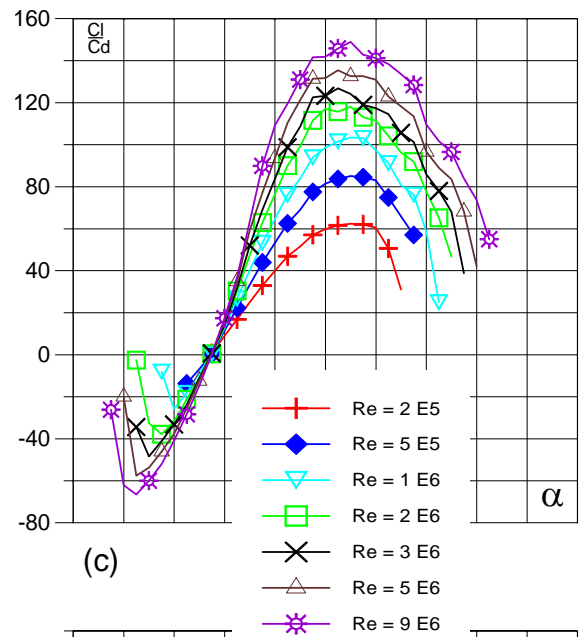
Fig. 5.1.110. (c) Curvas de Cl/C_d y (d) Cl , C_d , C_m vs. ngulo de ataque del Perfil SZ - 2054.



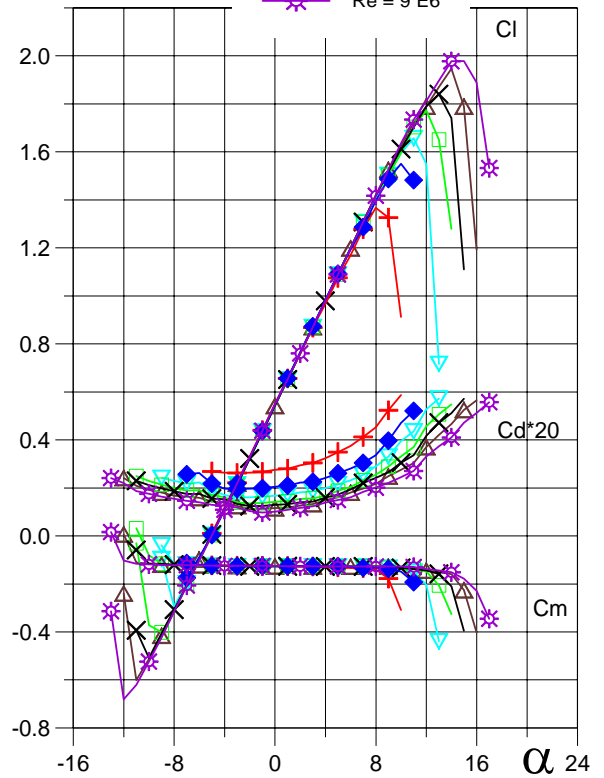
(a)



(b)



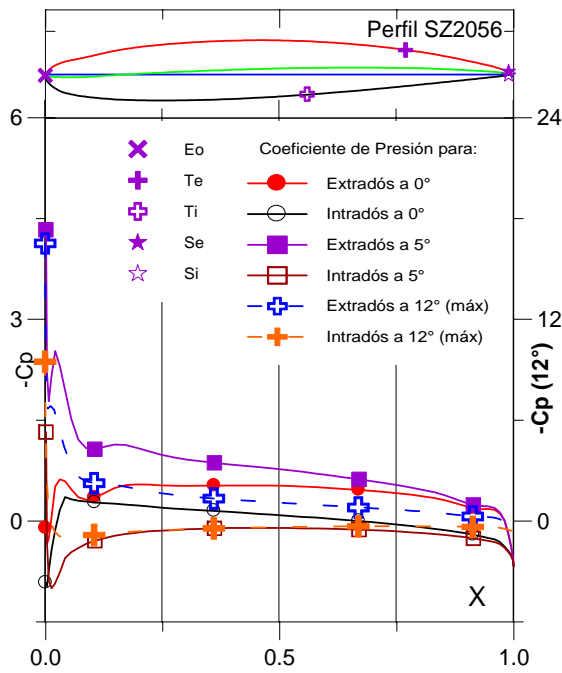
(c)



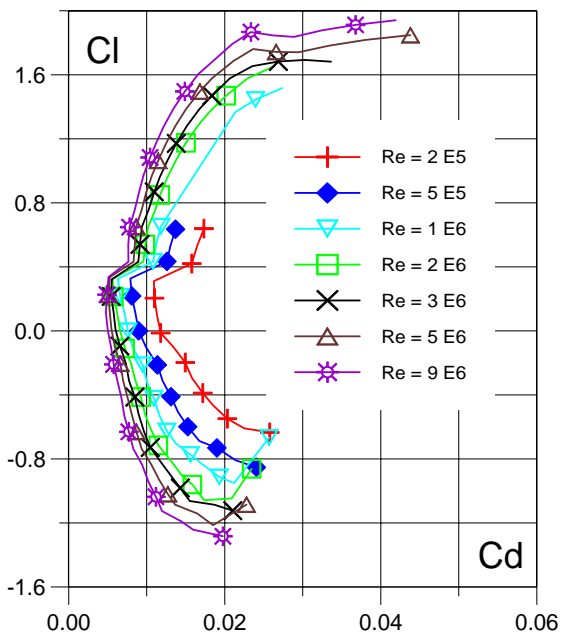
(d)

Fig. 5.1.111. (a) C_p (0° , 5° y Max) vs. X para $Re = 1 E 6$ (leer C_{pmax} a la derecha) y (b) Curvas Polares del Perfil SZ - 2055.

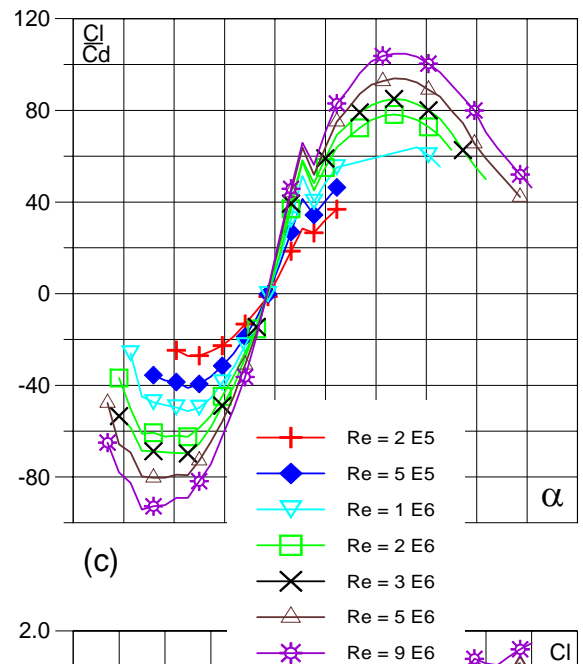
Fig. 5.1.112. (c) Curvas de Cl/Cd y (d) Cl , Cd , C_m vs. ngulo de ataque del Perfil SZ - 2055.



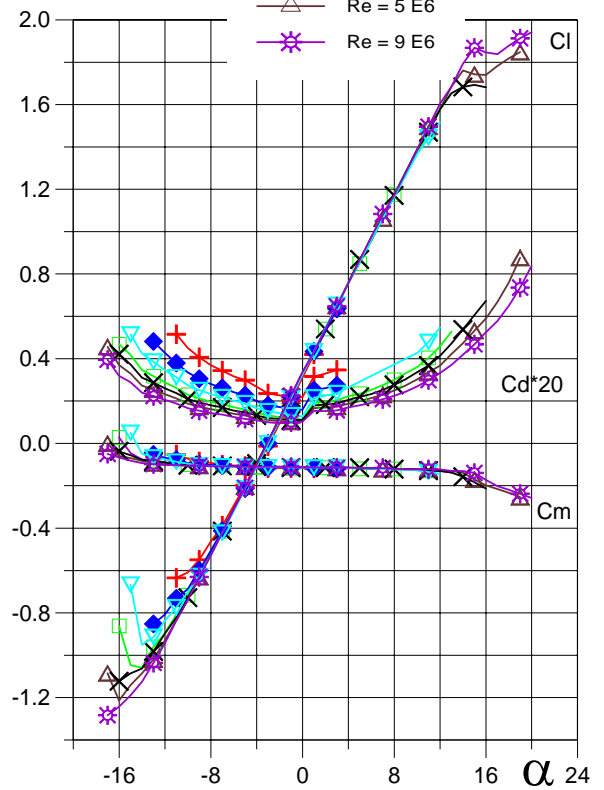
(a)



(b)



(c)



(d)

Fig. 5.1.113. (a) C_p (0° , 5° y Max) vs. X para $Re = 1 E 6$ (leer $C_{p\text{max}}$ a la derecha) y (b) Curvas Polares del Perfil SZ - 2056.

Fig. 5.1.114. (c) Curvas de Cl/Cd y (d) Cl , Cd , C_m vs. ngulo de ataque del Perfil SZ - 2056.

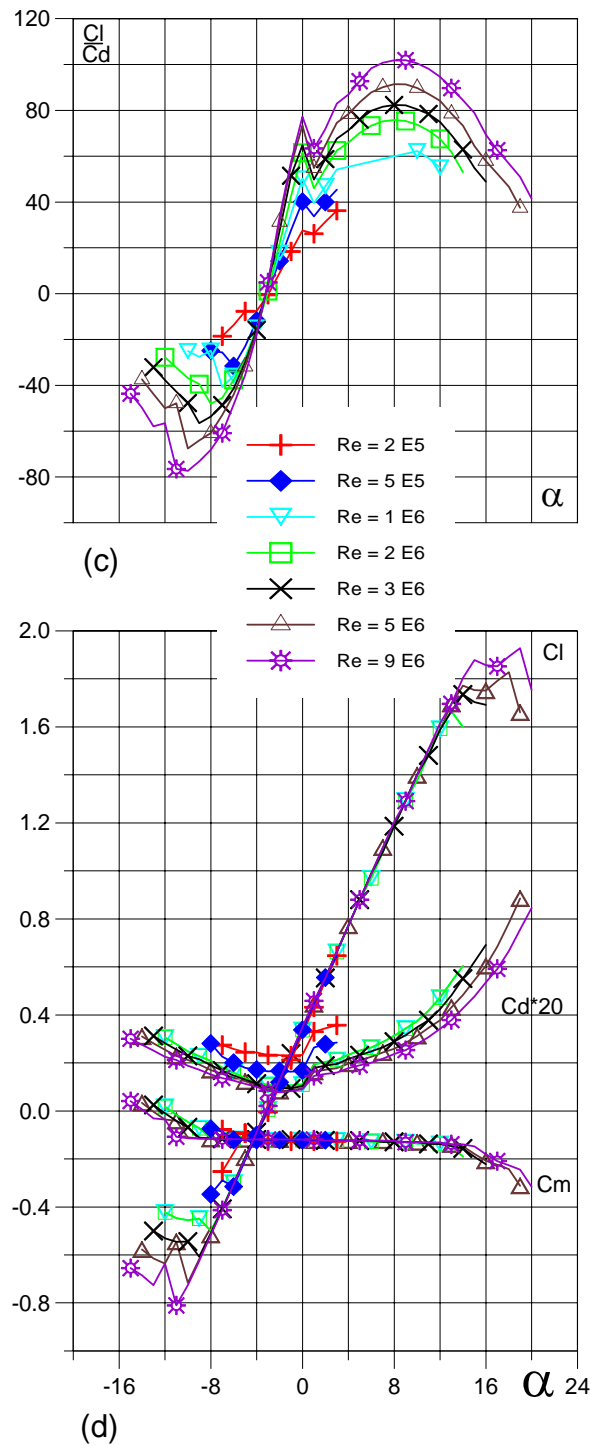
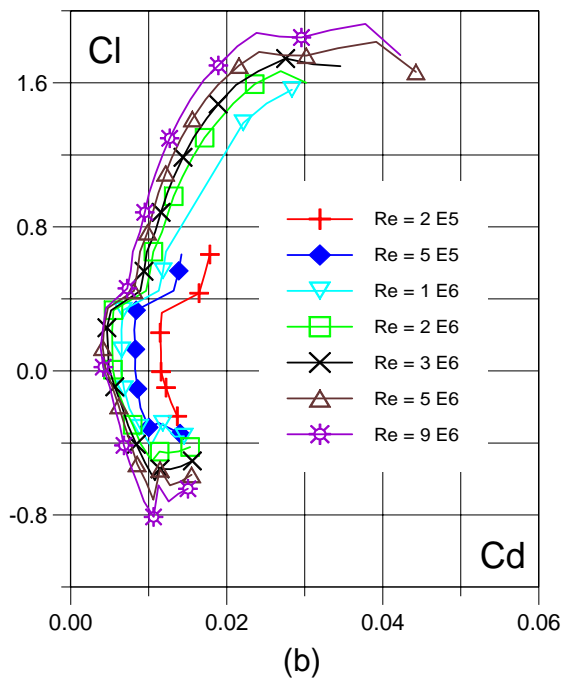
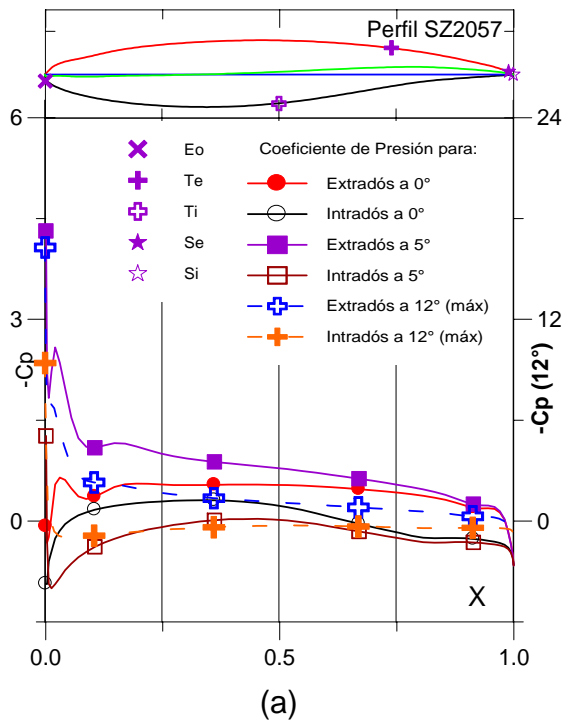


Fig. 5.1.115. (a) C_p (0° , 5° y Máx) vs. X para $Re = 1 E 6$ (leer $C_{p\text{máx}}$ a la derecha) y (b) Curvas Polares del Perfil SZ - 2057.

Fig. 5.1.116. (c) Curvas de Cl/Cd y (d) Cl , Cd , C_m vs. Ángulo de ataque del Perfil SZ - 2057.

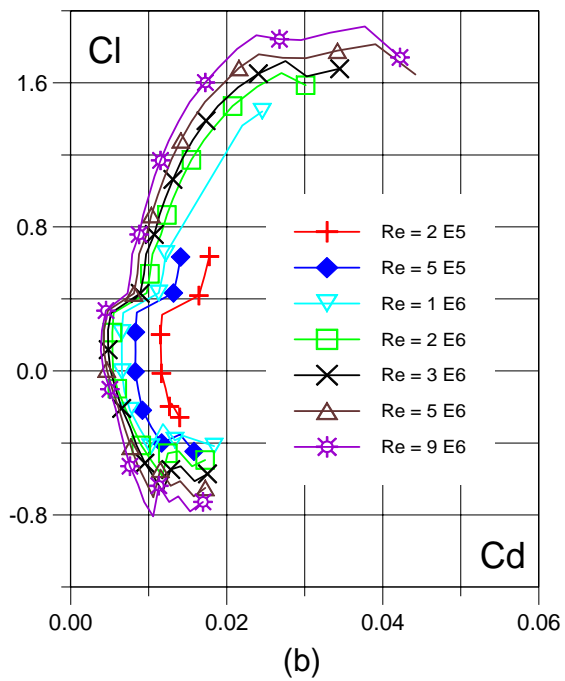
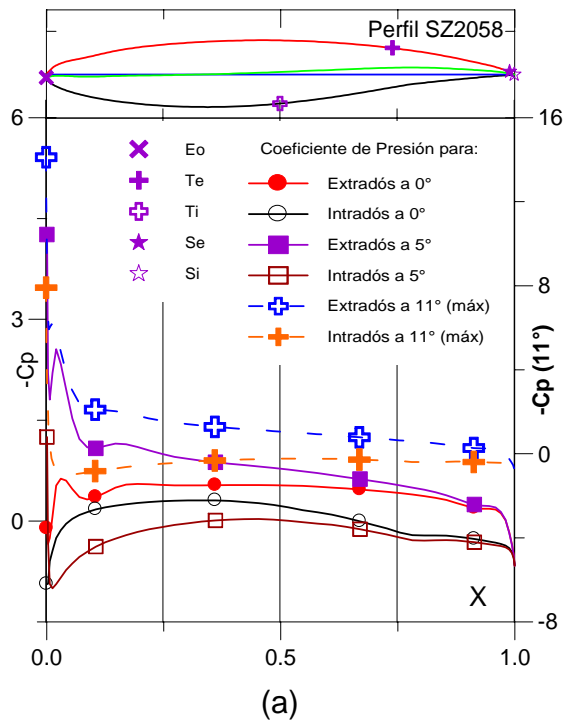


Fig. 5.1.117. (a) C_p (0° , 5° y Máx) vs. X para $Re = 1 E 6$ (leer $C_{p\text{máx}}$ a la derecha) y (b) Curvas Polares del Perfil SZ - 2058.

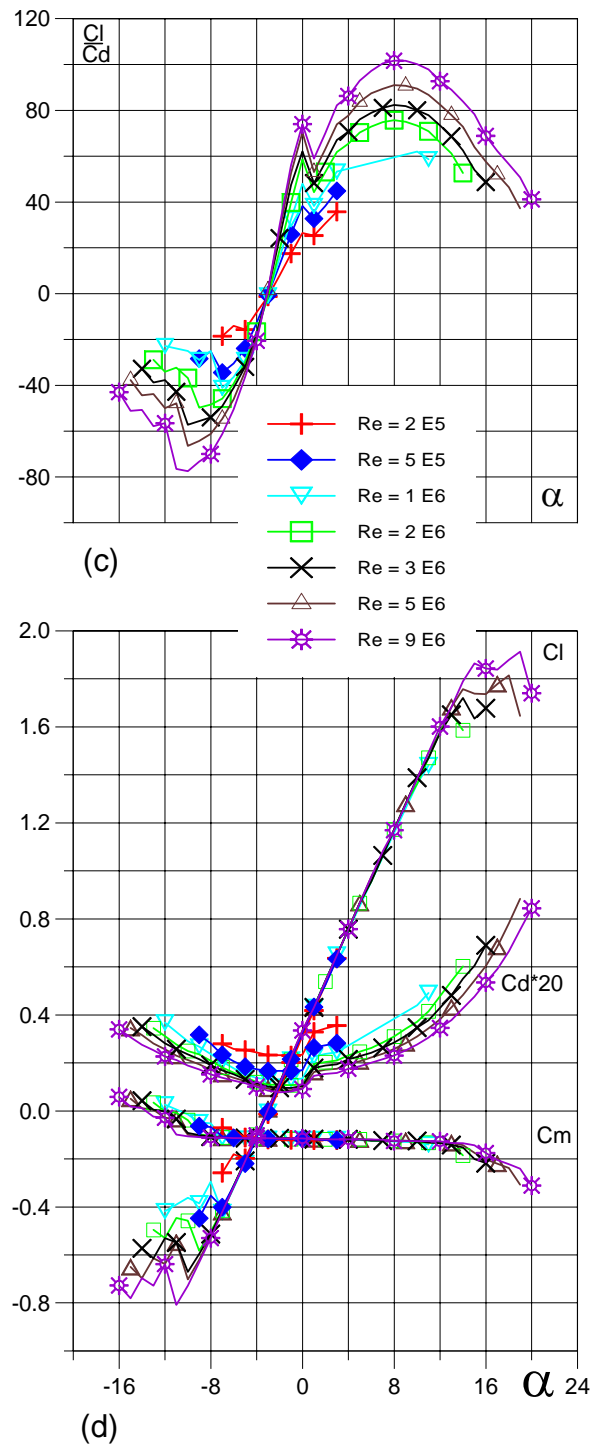


Fig. 5.1.118. (c) Curvas de Cl/Cd y (d) Cl , Cd , C_m vs. Ángulo de ataque del perfil SZ - 2058.

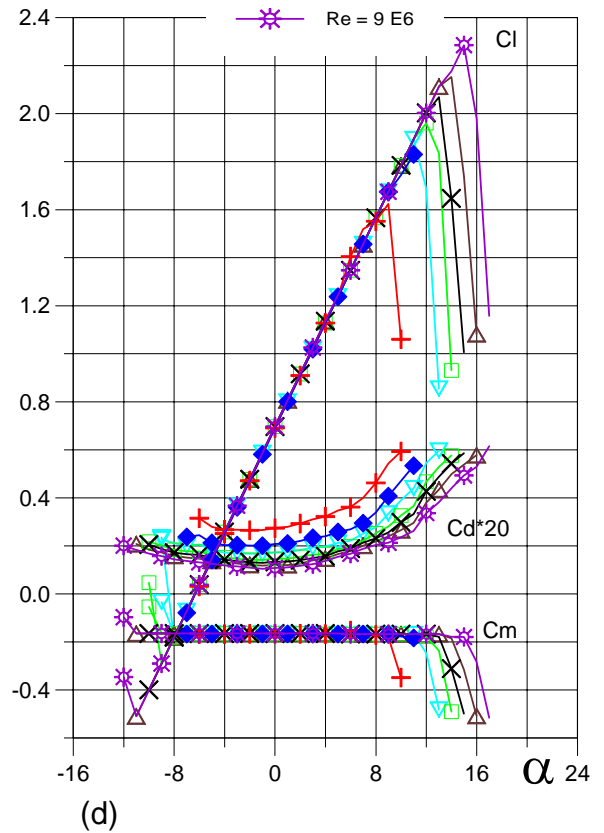
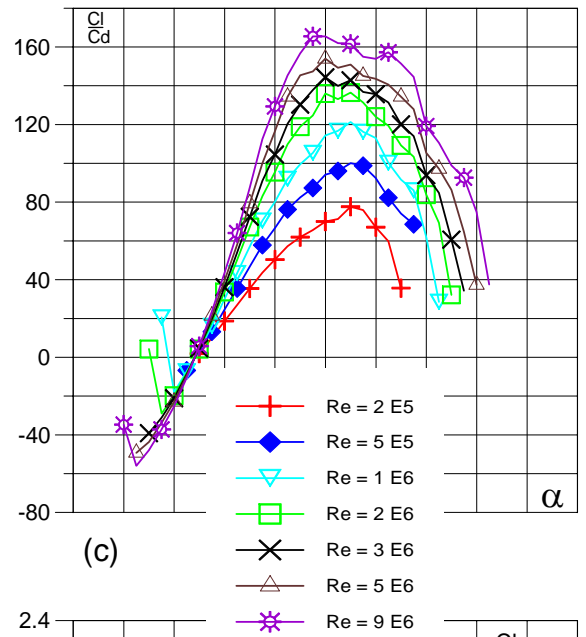
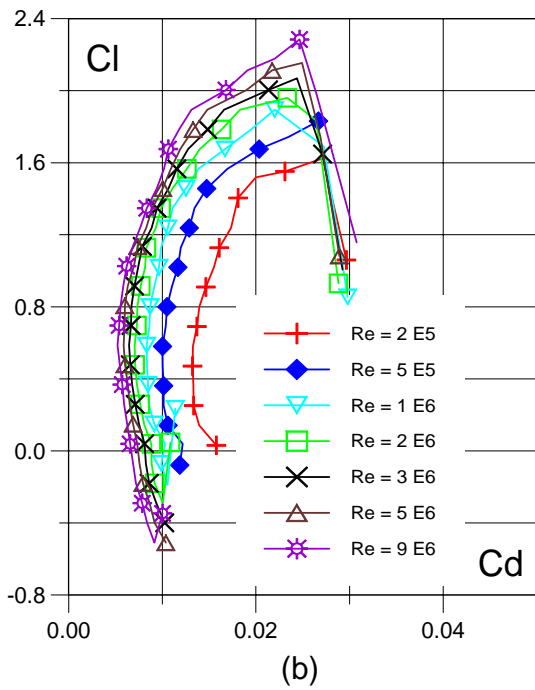
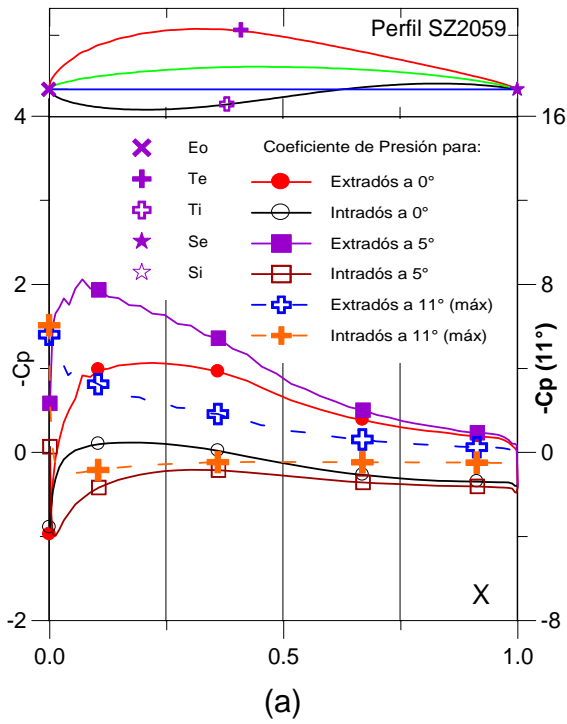


Fig. 5.1.119. (a) C_p (0° , 5° y Máx) vs. X para $Re = 1 E 6$ (leer $C_{p\text{máx}}$ a la derecha) y (b) Curvas Polares del Perfil SZ - 2059.

Fig. 5.1.120. (c) Curvas de Cl/Cd y (d) Cl , Cd , C_m vs. Ángulo de ataque del Perfil SZ - 2059.

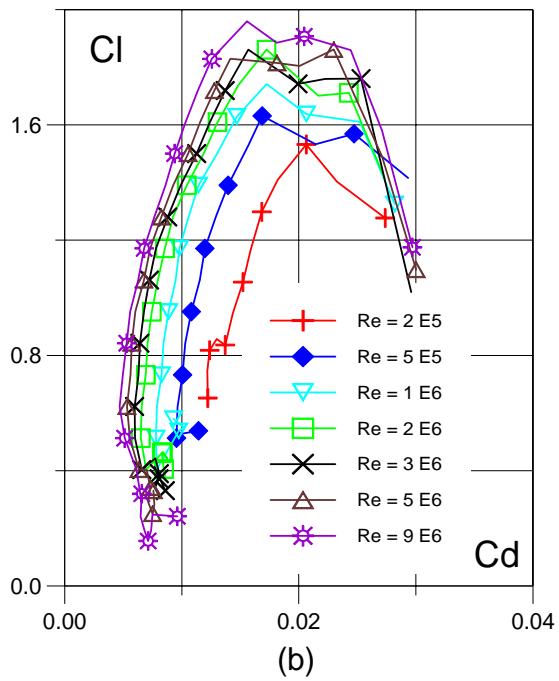
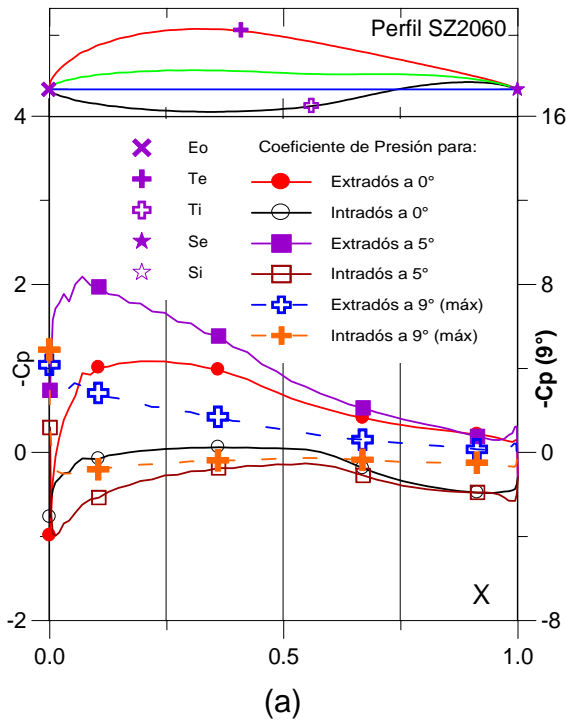


Fig. 5.1.121. (a) C_p (0° , 5° y Máx) vs. X para $Re = 1 E 6$ (leer $C_{p\text{máx}}$ a la derecha) y (b) Curvas Polares del Perfil SZ - 2060.

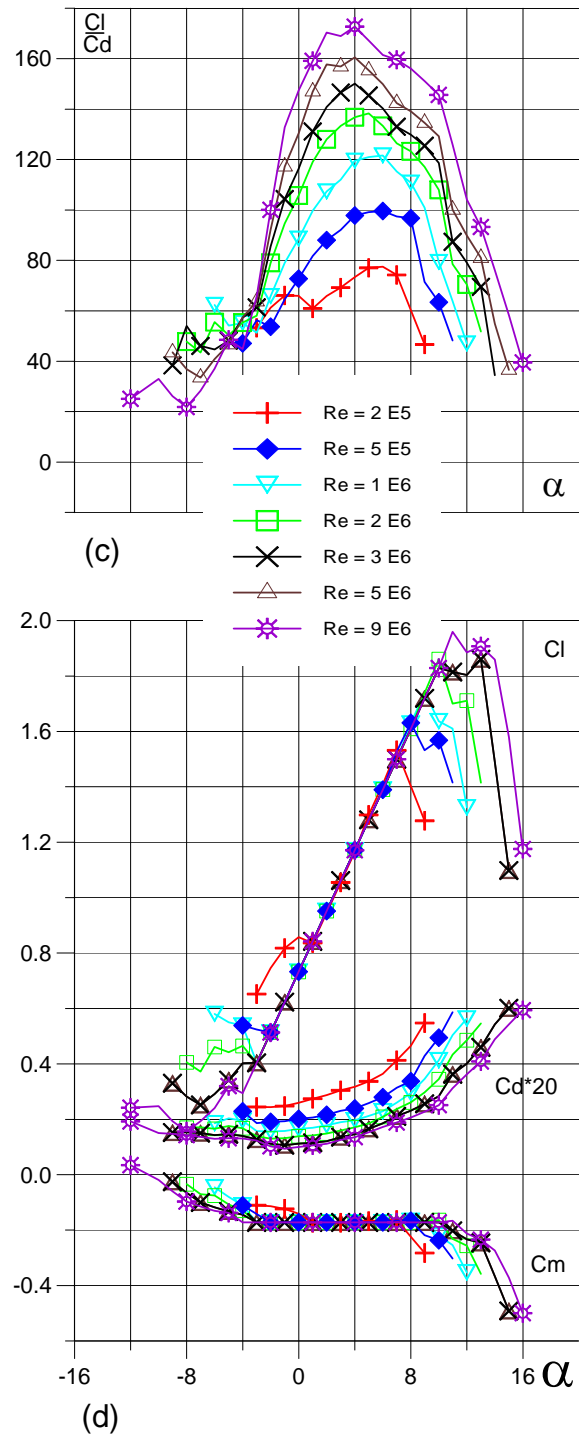


Fig. 5.1.122. (c) Curvas de Cl/Cd y (d) Cl , Cd , C_m vs. Ángulo de ataque del Perfil SZ - 2060.

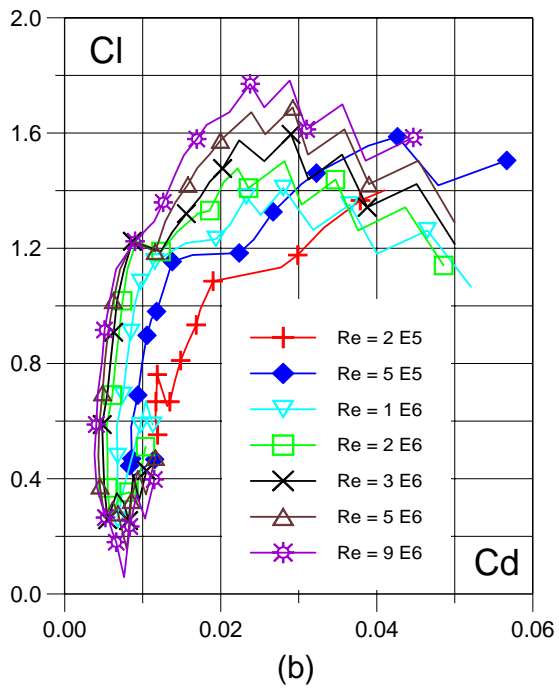
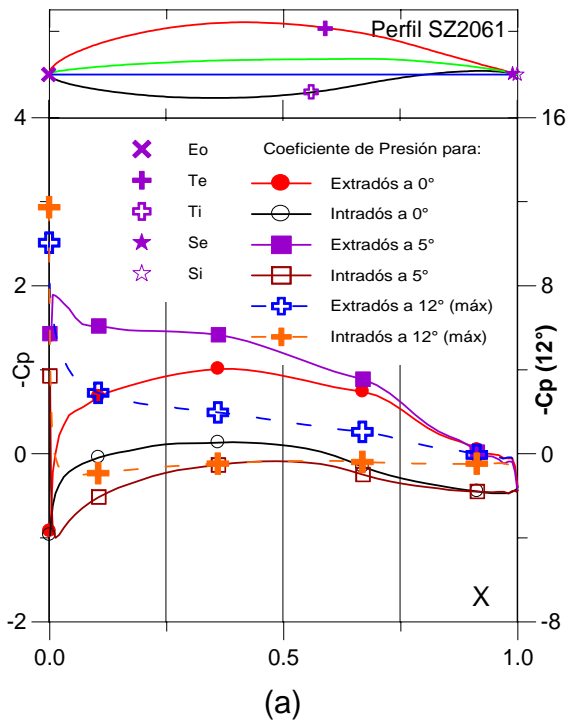


Fig. 5.1.123. (a) C_p (0° , 5° y Máx) vs. X para $Re = 1 E 6$ (leer $C_{p\text{máx}}$ a la derecha) y (b) Curvas Polares del Perfil SZ - 2061.

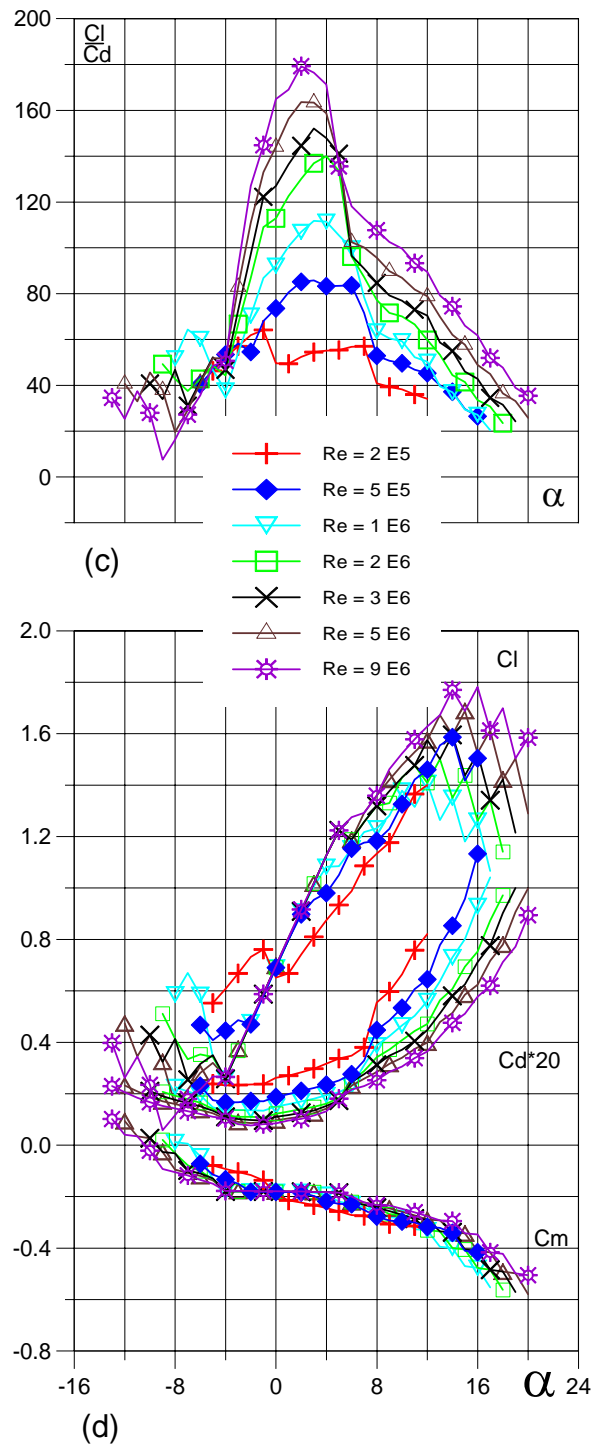


Fig. 5.1.124. (c) Curvas de Cl/C_d y (d) Cl , C_d , C_m vs. Ángulo de ataque del Perfil SZ - 2061.

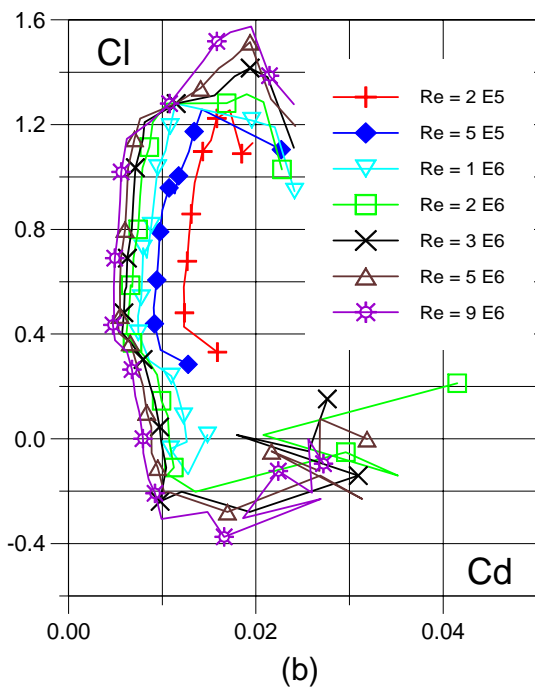
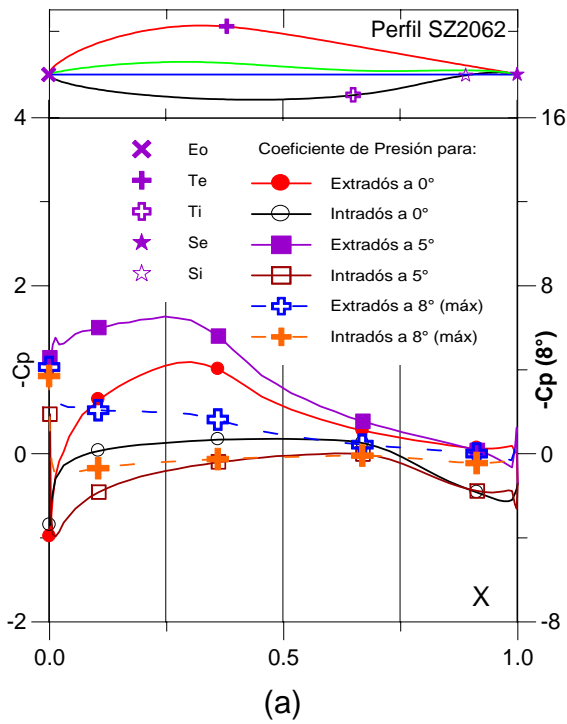


Fig. 5.1.125. (a) C_p (0° , 5° y Máx) vs. X para $Re = 1 E 6$ (leer $C_{p\text{máx}}$ a la derecha) y (b) Curvas Polares del Perfil SZ - 2062.

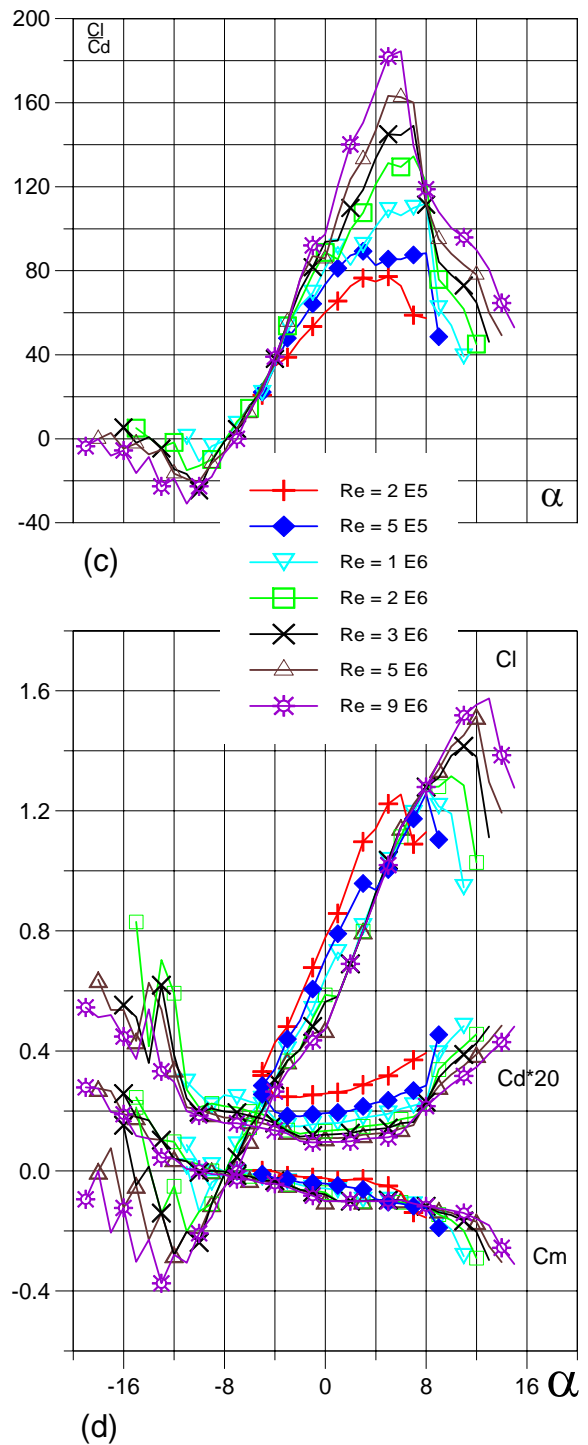


Fig. 5.1.126. (c) Curvas de Cl/Cd y (d) Cl , Cd , Cm vs. Ángulo de ataque del Perfil SZ - 2062.

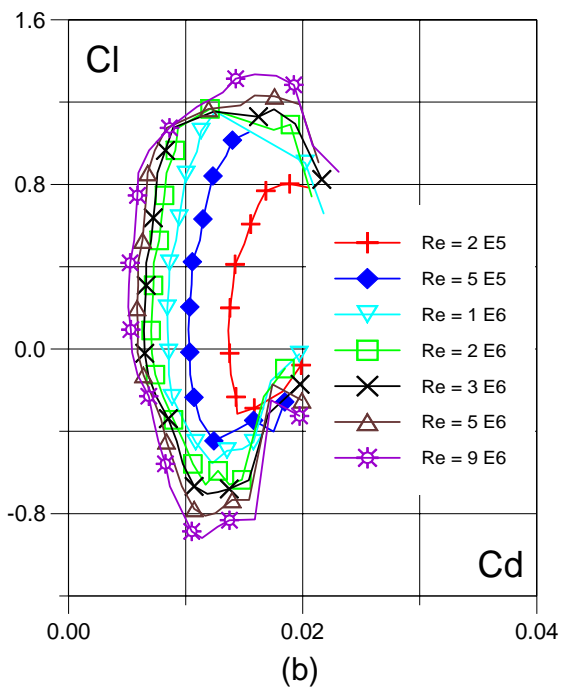
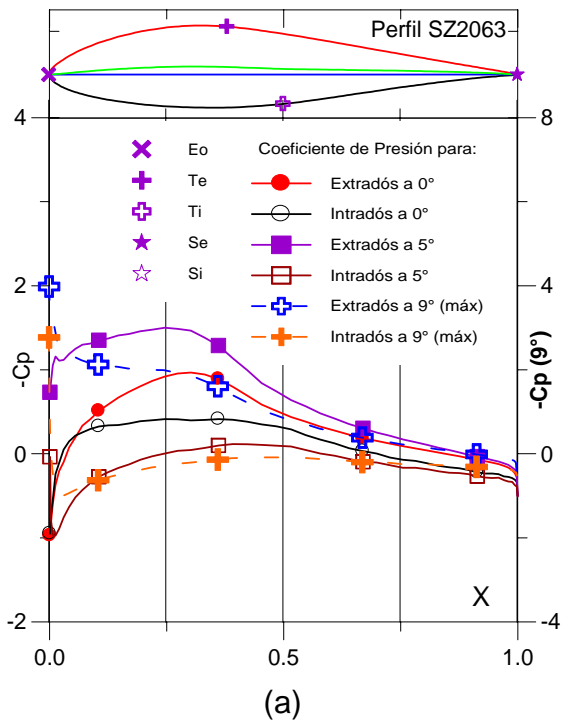


Fig. 5.1.127. (a) C_p (0°, 5° y Max) vs. X para $Re = 1 E 6$ (leer $C_{p\text{max}}$ a la derecha) y (b) Curvas Polares del Perfil SZ - 2063.

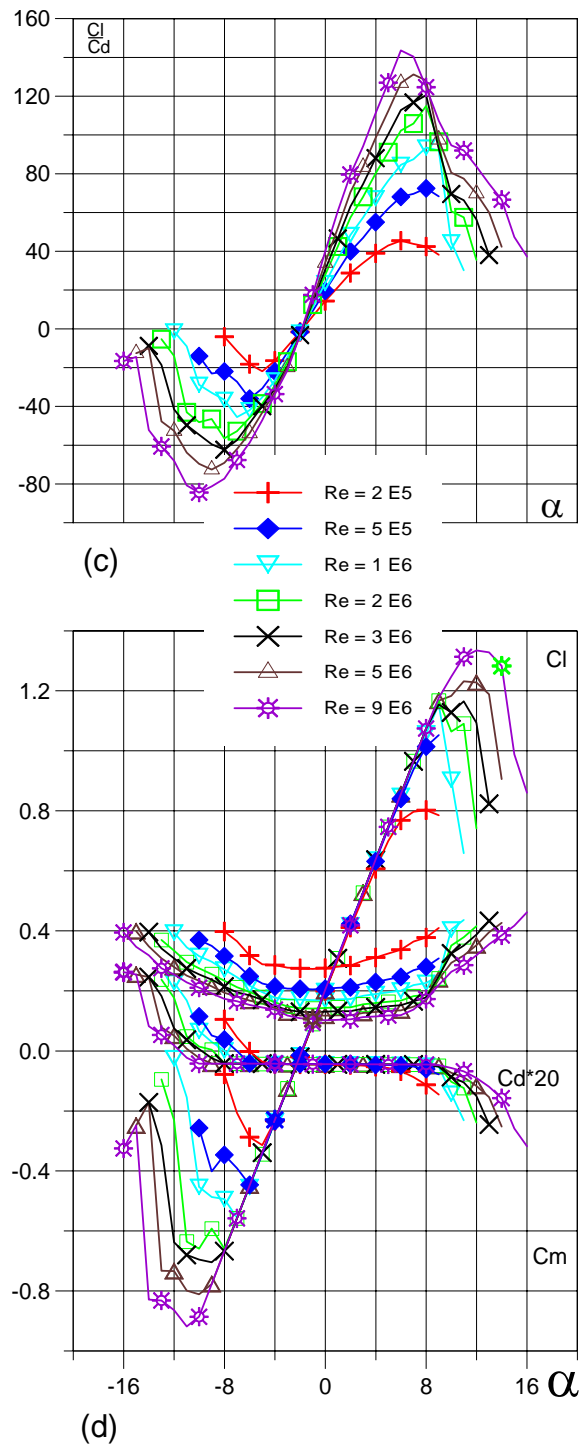


Fig. 5.1.128. (c) Curvas de Cl/Cd y (d) Cl , Cd , C_m vs. ngulo de ataque del Perfil SZ - 2063.

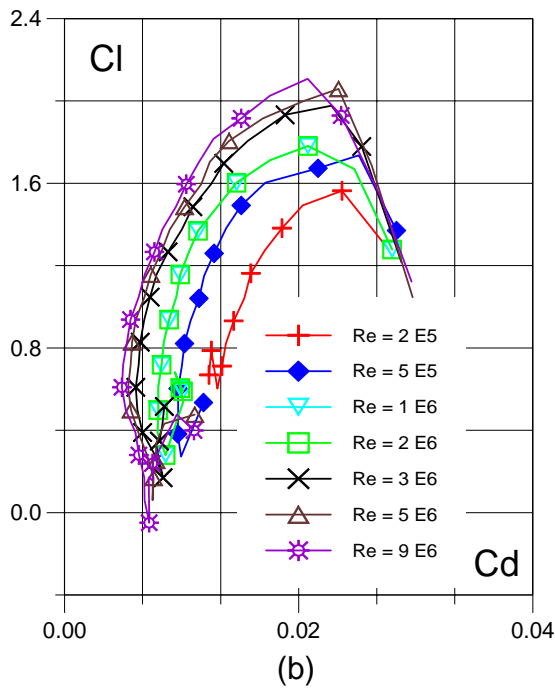
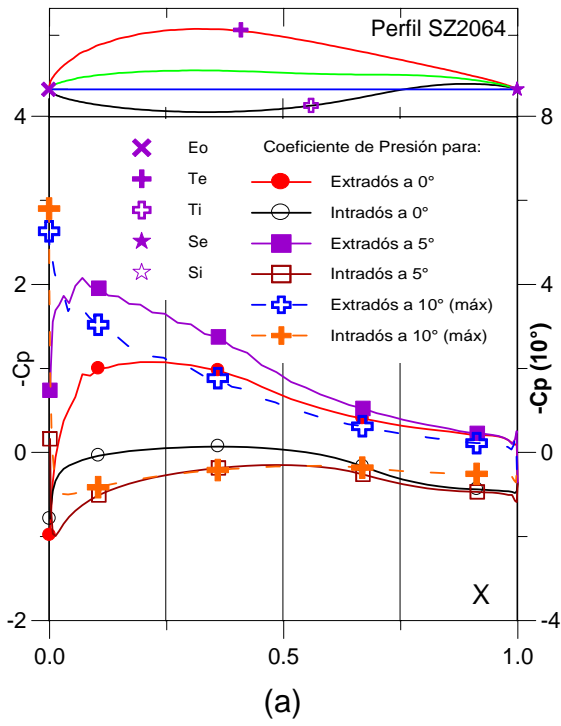


Fig. 5.1.129. (a) C_p (0° , 5° y Máx) vs. X para $Re = 1 E 6$ (leer $C_{p\text{máx}}$ a la derecha) y (b) Curvas Polares del Perfil SZ - 2064.

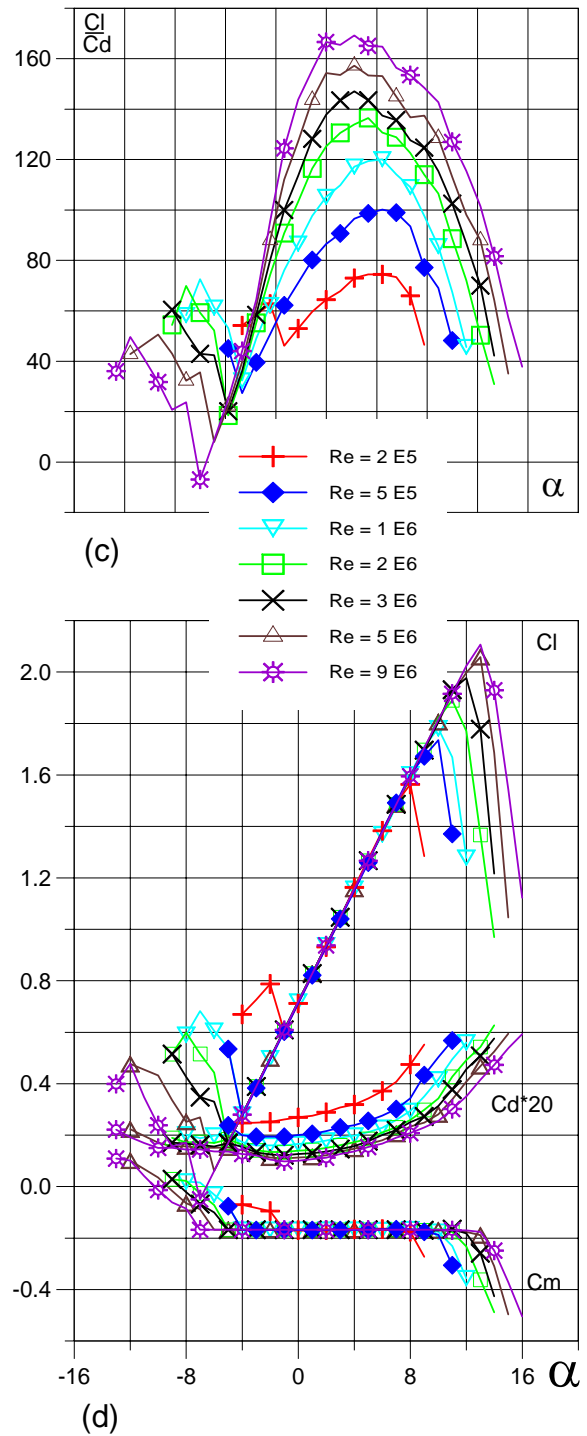


Fig. 5.1.130. (c) Curvas de Cl/Cd y (d) Cl , Cd , C_m vs. Ángulo de ataque del Perfil SZ - 2064.

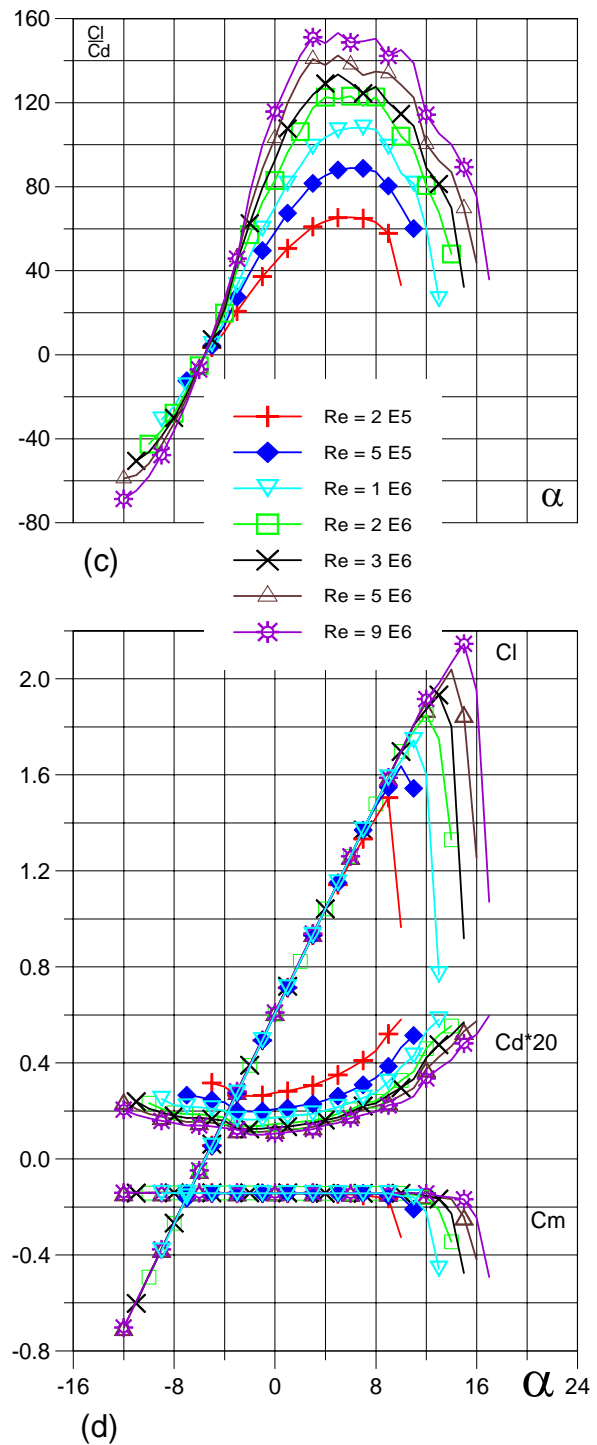
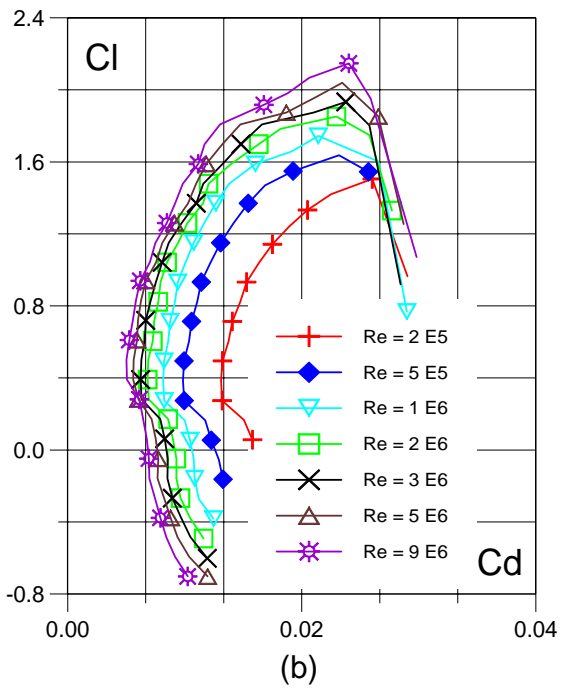
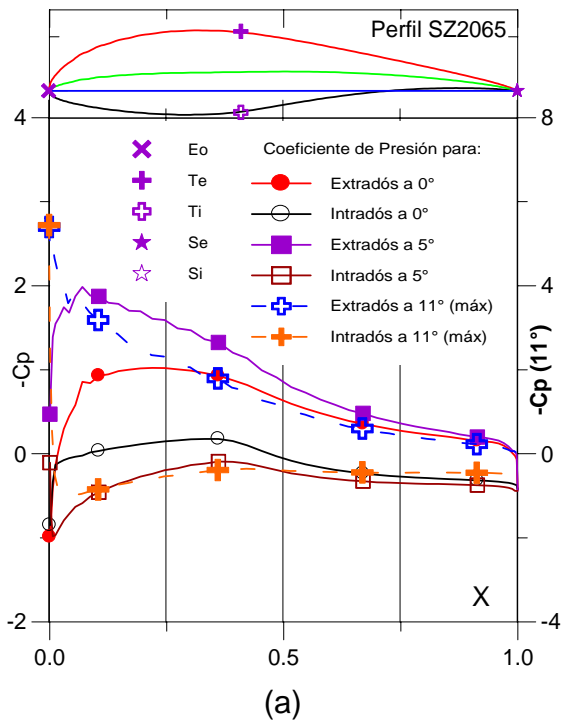


Fig. 5.1.131. (a) C_p (0° , 5° y Máx) vs. X para $Re = 1 E 6$ (leer $C_{p\text{máx}}$ a la derecha) y (b) Curvas Polares del Perfil SZ - 2065.

Fig. 5.1.132. (c) Curvas de Cl/Cd y (d) Cl , Cd , C_m vs. Ángulo de ataque del Perfil SZ - 2065.

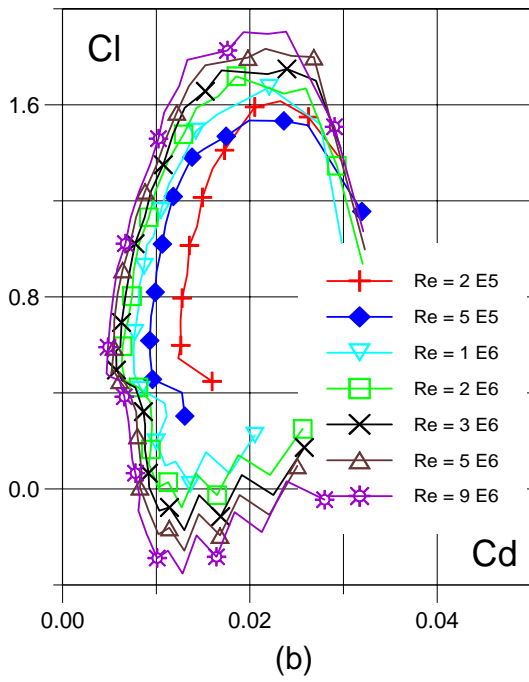
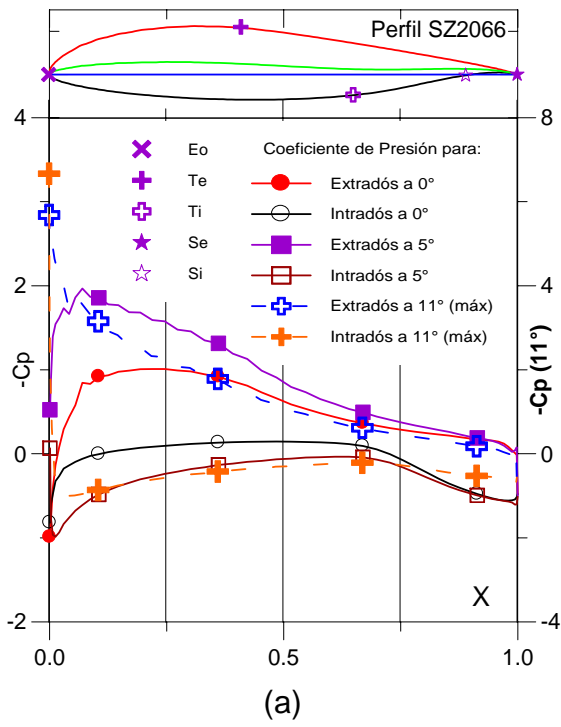


Fig. 5.1.133. (a) C_p (0° , 5° y Max) vs. X para $Re = 1 E 6$ (leer $C_{p\text{max}}$ a la derecha) y (b) Curvas Polares del Perfil SZ - 2066.

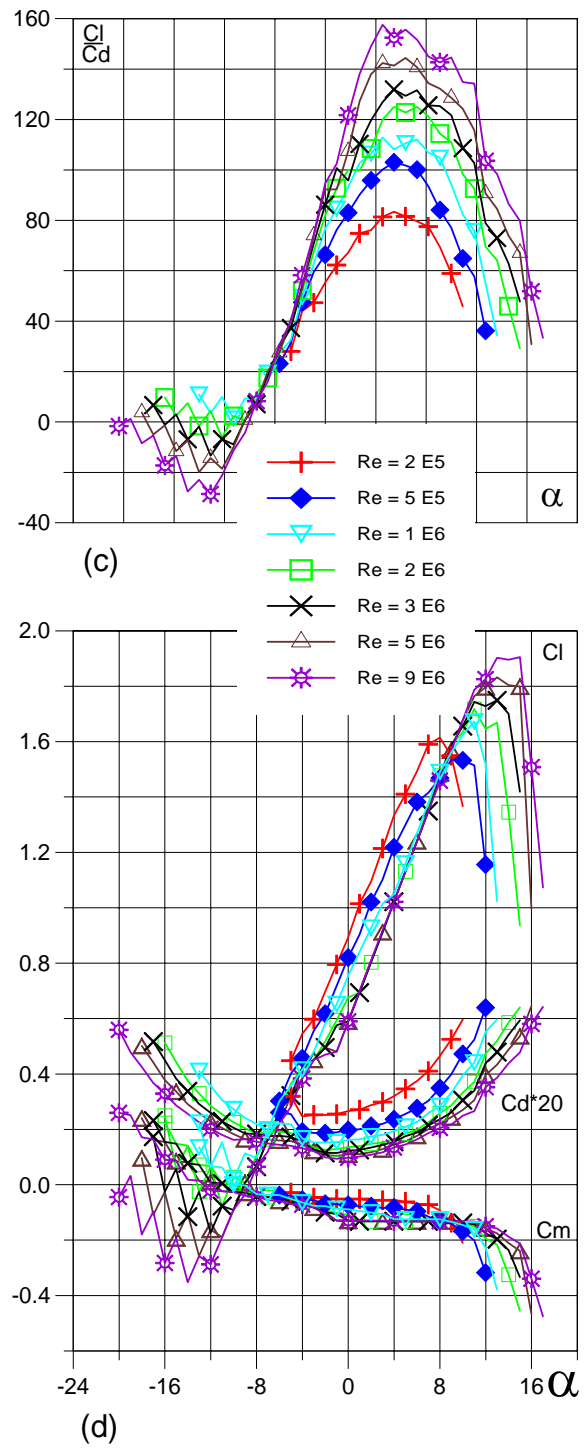


Fig. 5.1.134. (c) Curvas de C_l/C_d y (d) C_l , C_d , C_m vs. ngulo de ataque del Perfil SZ - 2066.

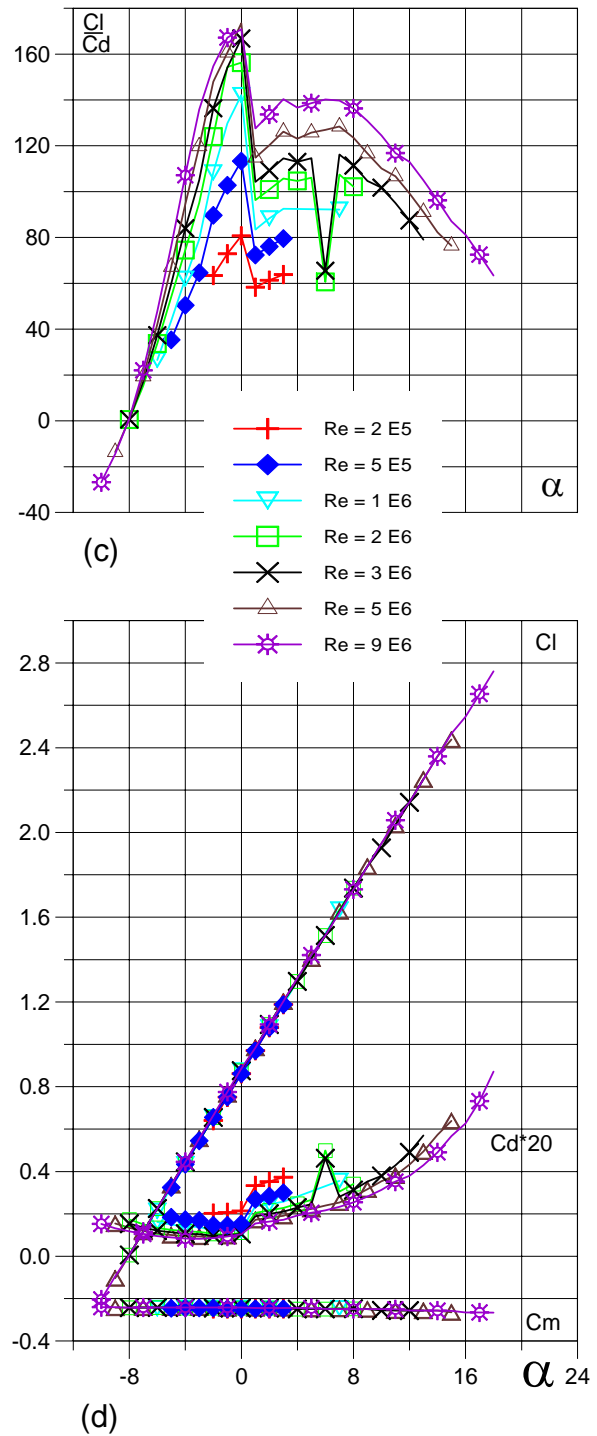
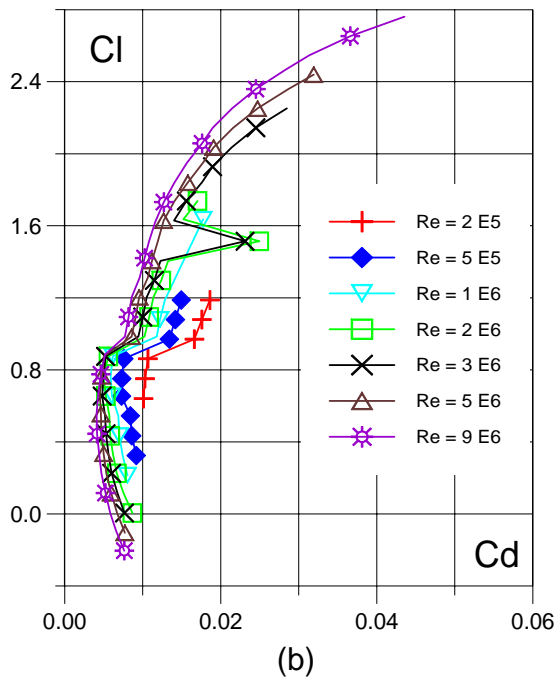
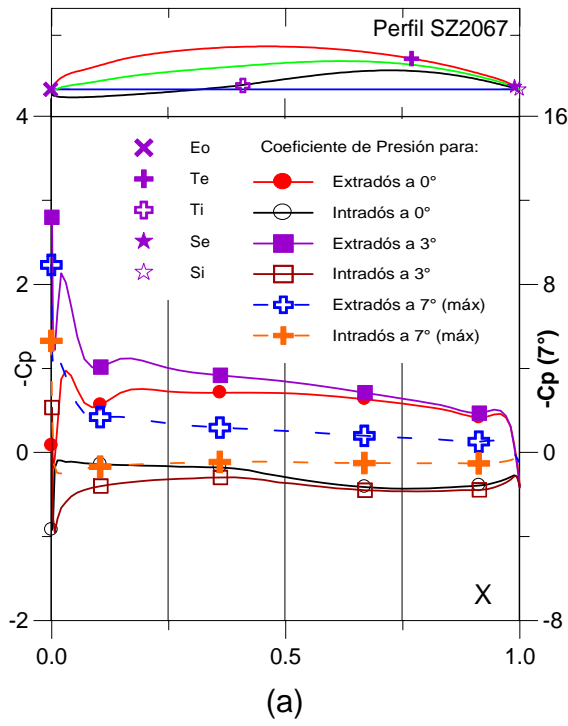


Fig. 5.1.135. (a) C_p (0° , 3° y Máx) vs. X para $Re = 1 E 6$ (leer $C_{p\text{máx}}$ a la derecha) y (b) Curvas Polares del Perfil SZ - 2067.

Fig. 5.1.136. (c) Curvas de Cl/C_d y (d) Cl , C_d , C_m vs. Ángulo de ataque del Perfil SZ - 2067.

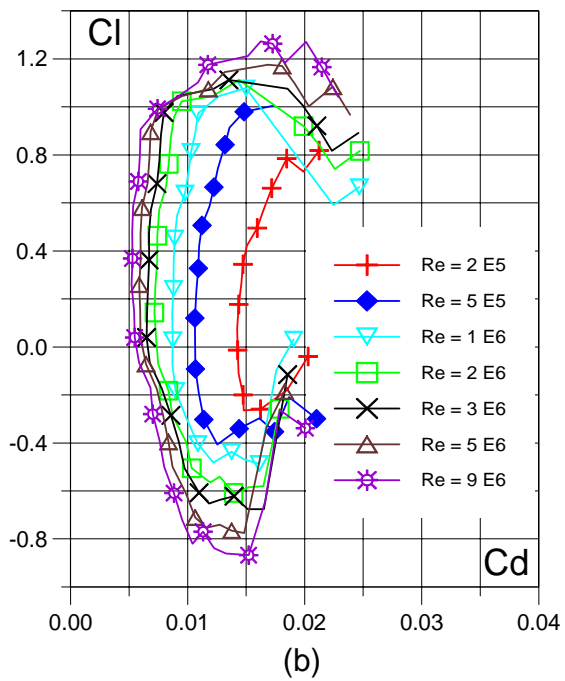
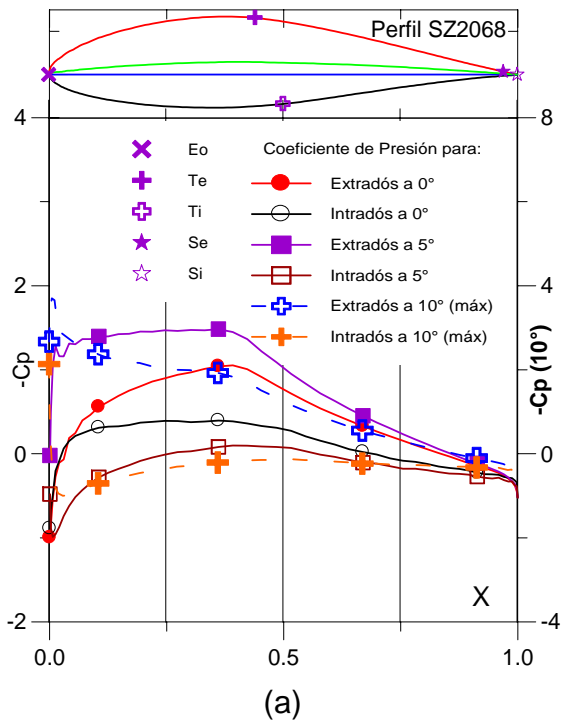


Fig. 5.1.137. (a) C_p (0° , 5° y Máx) vs. X para $Re = 1 E 6$ (leer $C_{p\text{máx}}$ a la derecha) y (b) Curvas Polares del Perfil SZ - 2068.

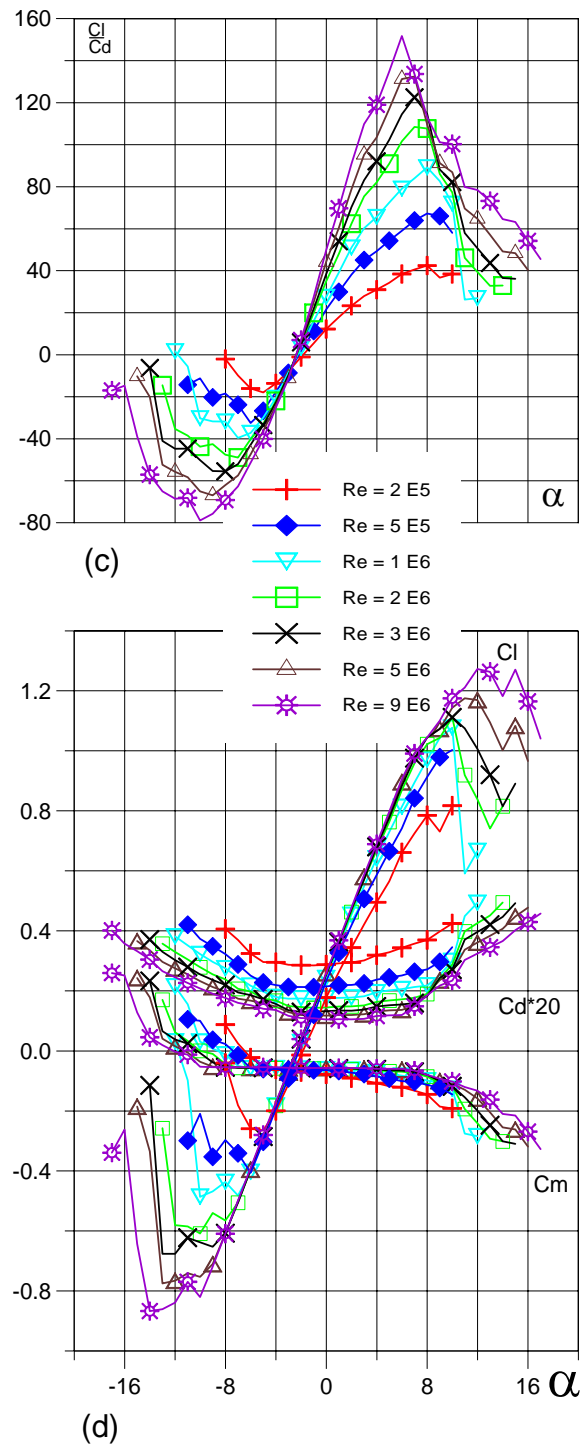


Fig. 5.1.138. (c) Curvas de Cl/Cd y (d) Cl , Cd , C_m vs. Ángulo de ataque del Perfil SZ - 2068.

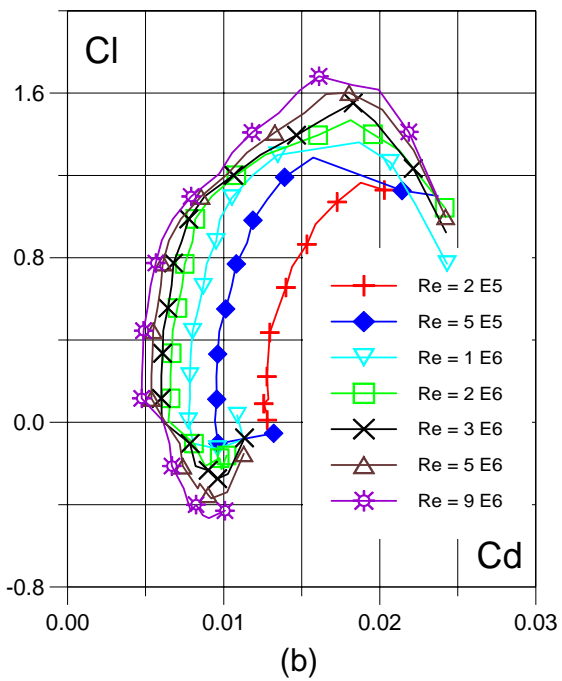
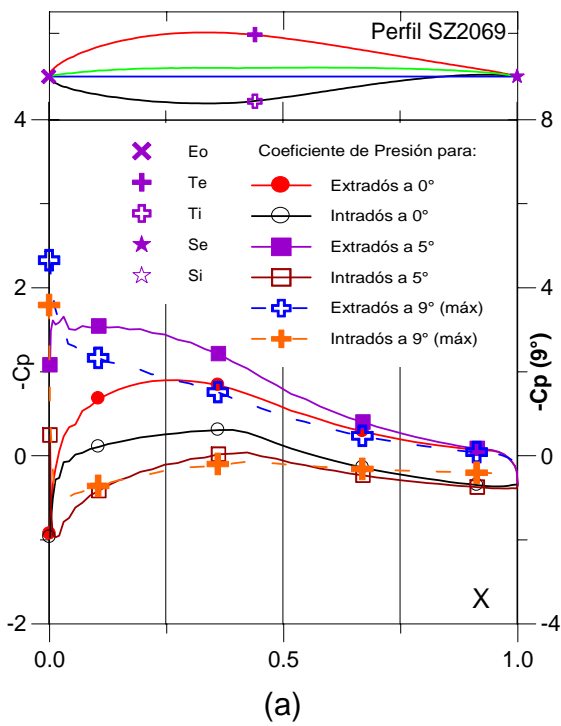


Fig. 5.1.139. (a) C_p (0, 5 y Max) vs. X para $Re = 1 E 6$ (leer C_{pmax} a la derecha) y (b) Curvas Polares del Perfil SZ - 2069.

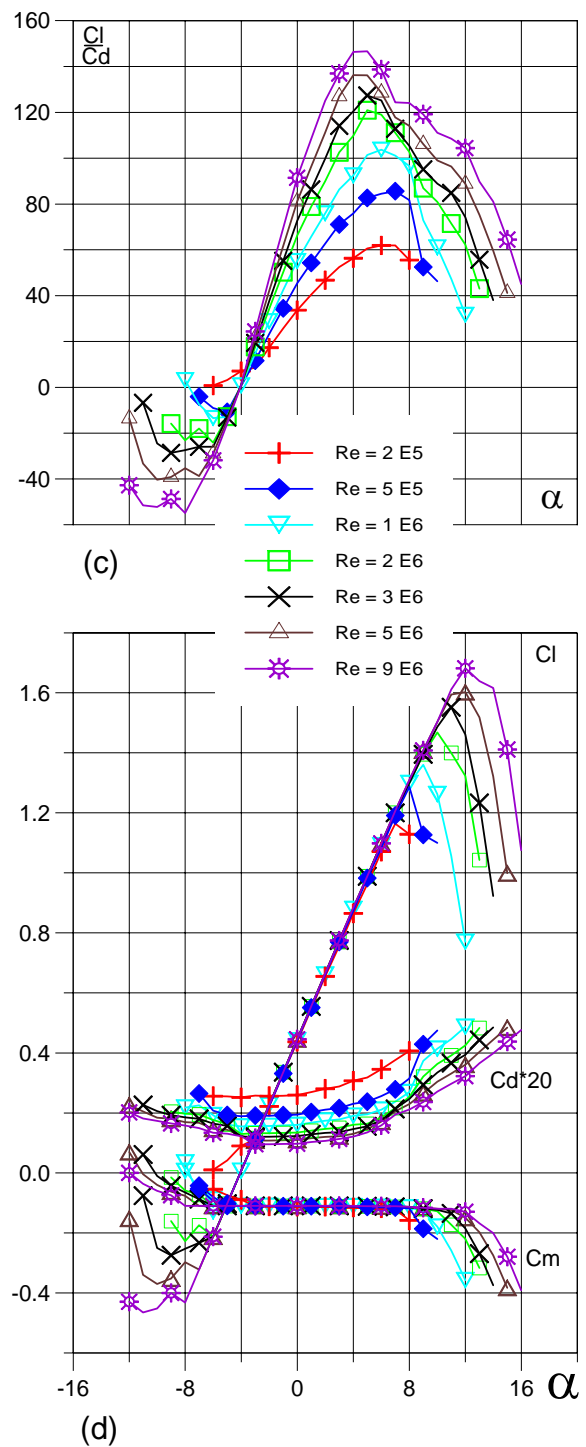


Fig. 5.1.140. (c) Curvas de Cl/Cd y (d) Cl , Cd , Cm vs. ngulo de ataque del Perfil SZ - 2069.

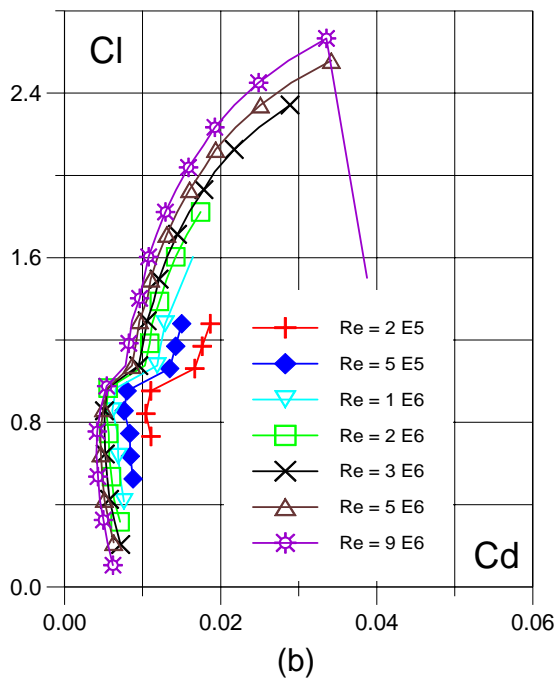
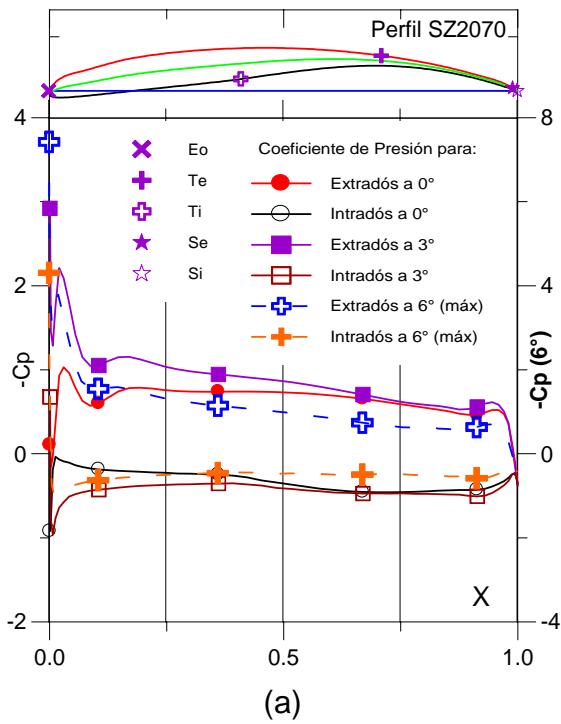


Fig. 5.1.141. (a) C_p (0° , 3° y Máx) vs. X para $Re = 1 E 6$ (leer $C_{p\text{máx}}$ a la derecha) y (b) Curvas Polares del Perfil SZ - 2070.

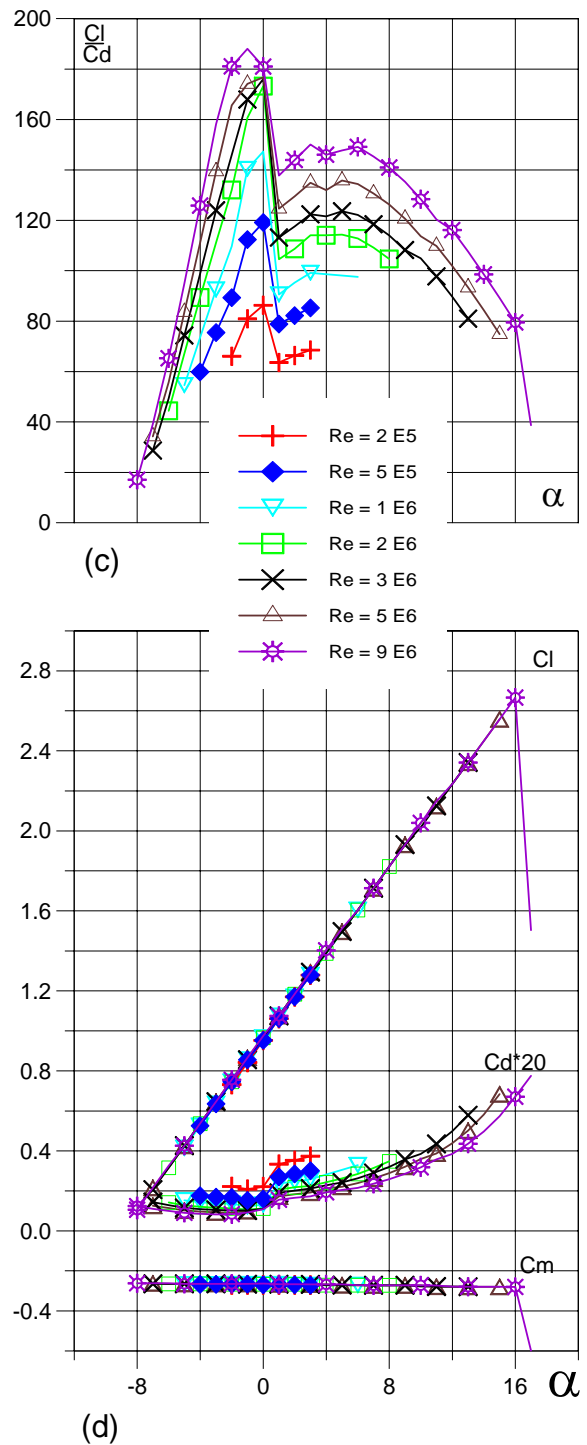


Fig. 5.1.142. (c) Curvas de Cl/Cd y (d) Cl , Cd , C_m vs. Ángulo de ataque del Perfil SZ - 2070.

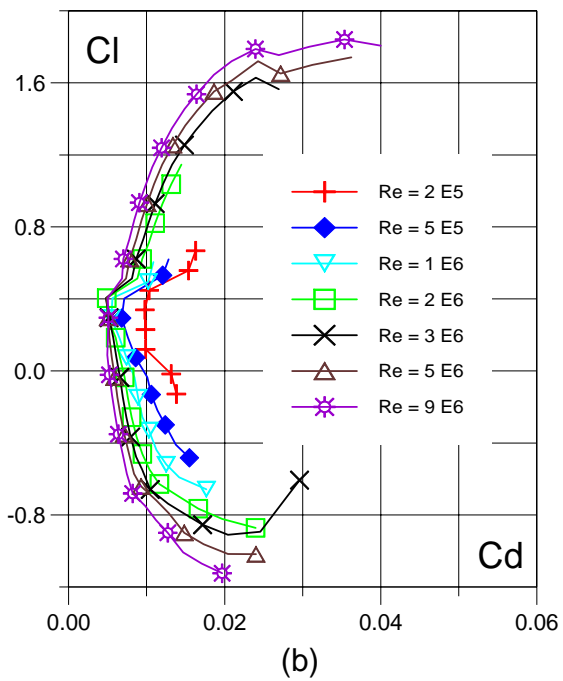
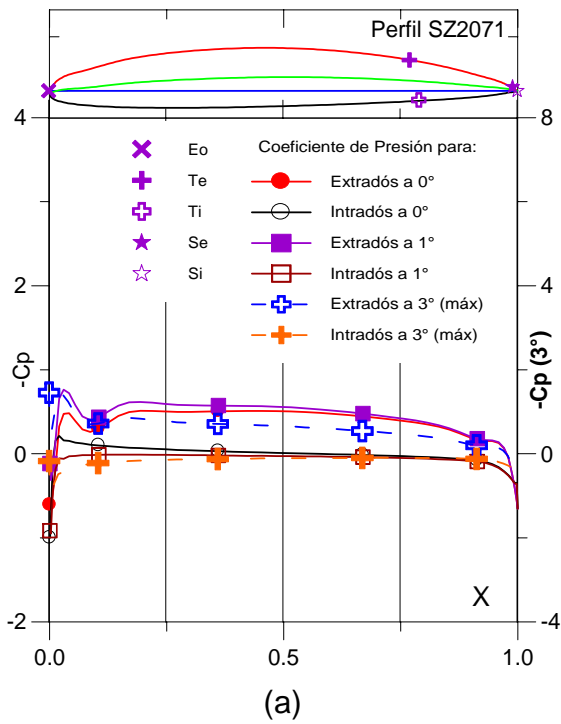


Fig. 5.1.143. (a) C_p (0° , 1° y Máx) vs. X para $Re = 1 E 6$ (leer $C_{p\text{máx}}$ a la derecha) y (b) Curvas Polares del Perfil SZ - 2071.

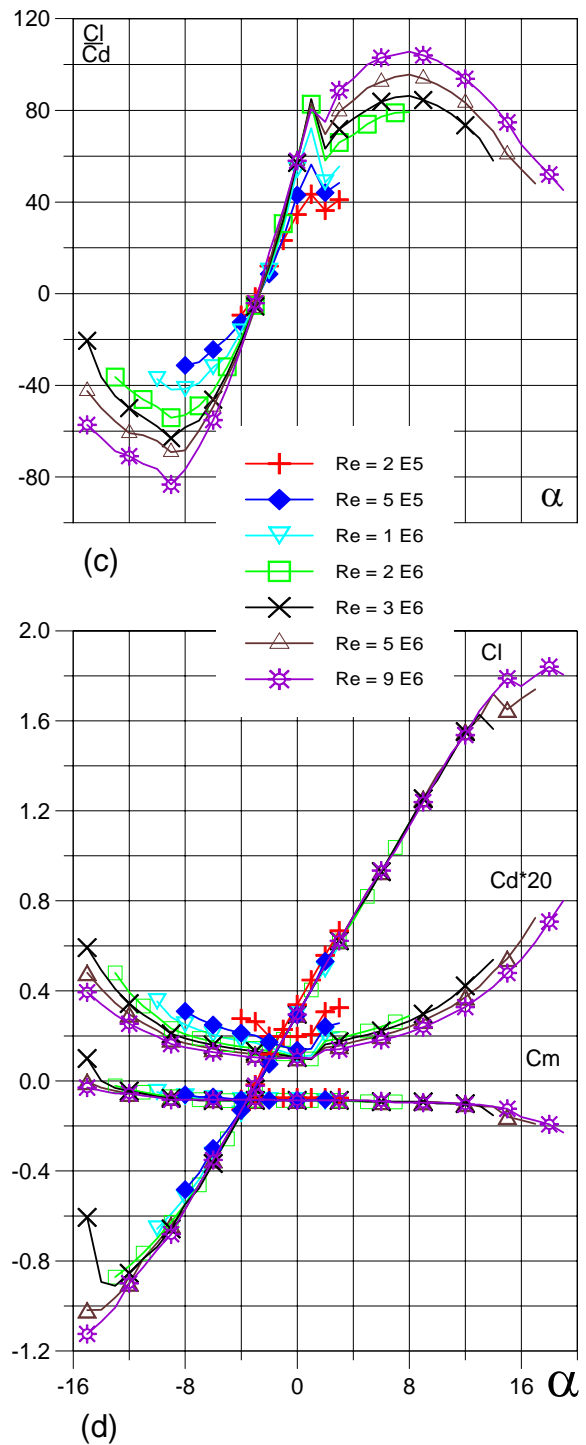


Fig. 5.1.144. (c) Curvas de Cl/Cd y (d) Cl , Cd , C_m vs. Ángulo de ataque del Perfil SZ - 2071.

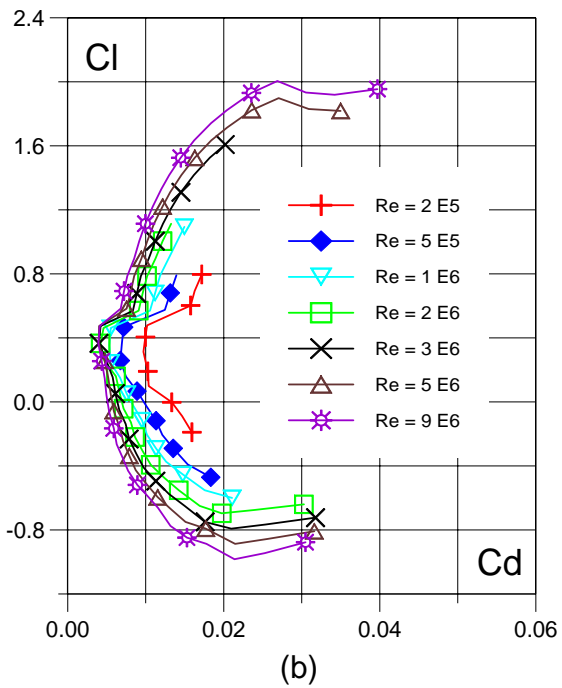
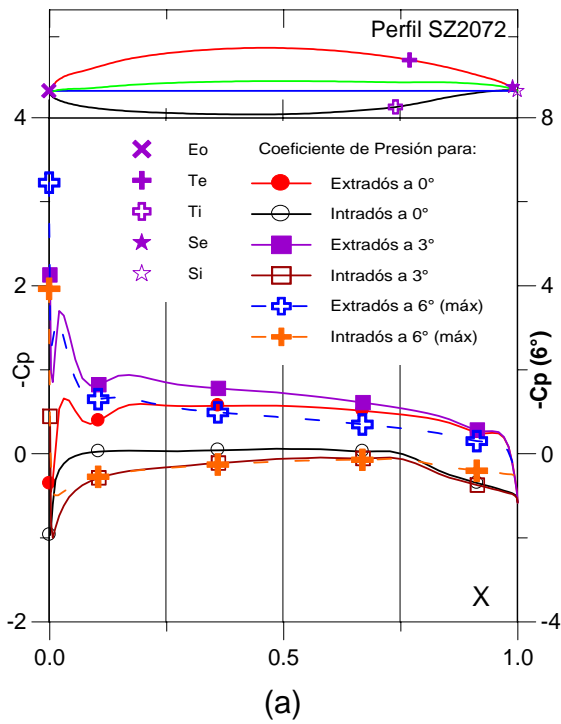


Fig. 5.1.145. (a) C_p (0° , 3° y Máx) vs. X para $Re = 1 E 6$ (leer $C_{p\text{máx}}$ a la derecha) y (b) Curvas Polares del Perfil SZ - 2072.

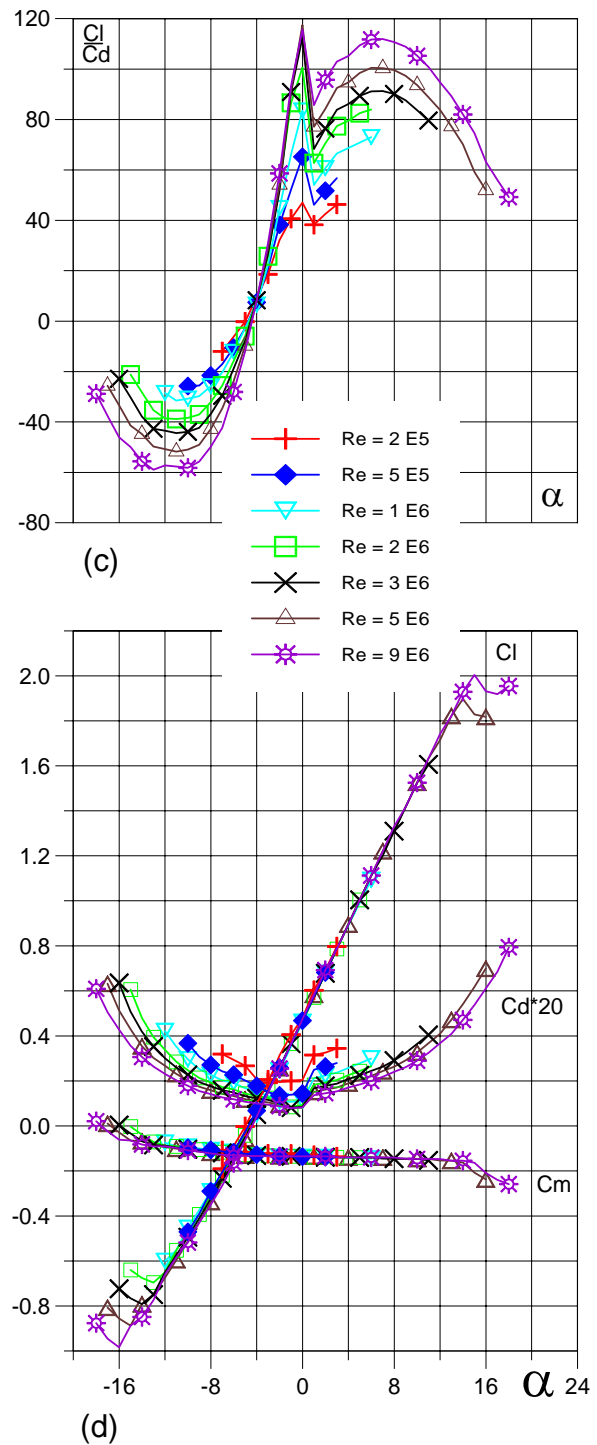


Fig. 5.1.146. (c) Curvas de Cl/Cd y (d) Cl , Cd , Cm vs. Ángulo de ataque del Perfil SZ - 2072.

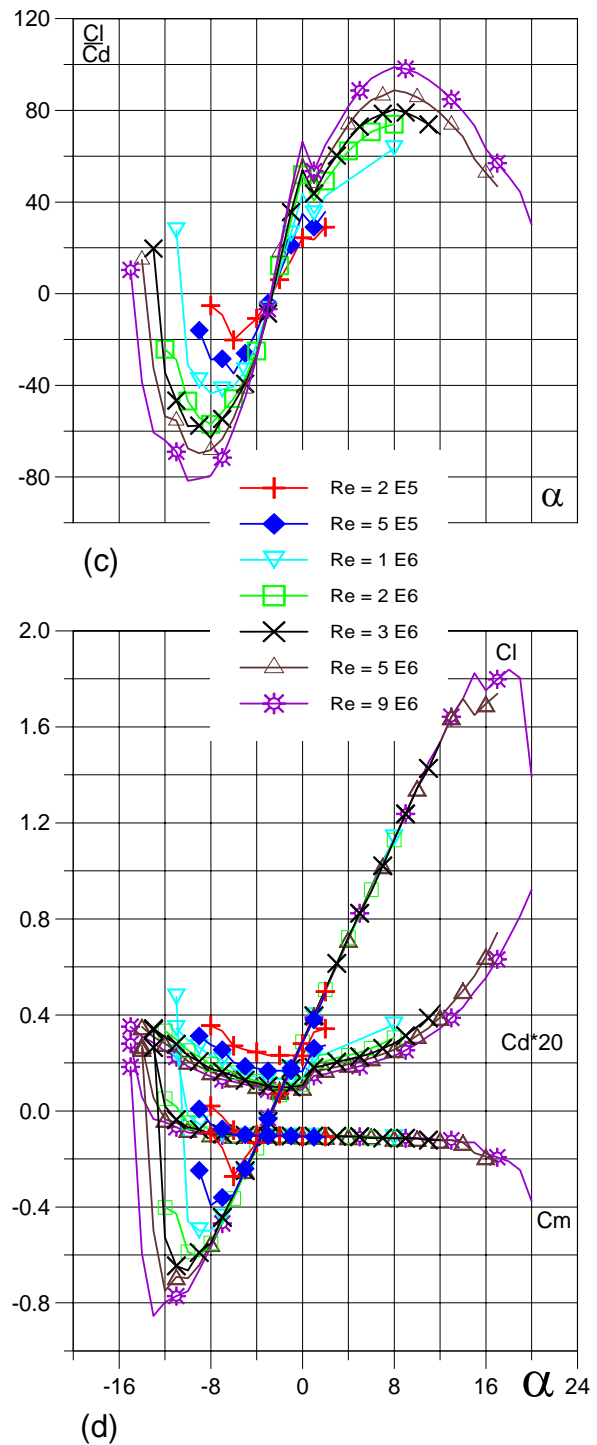
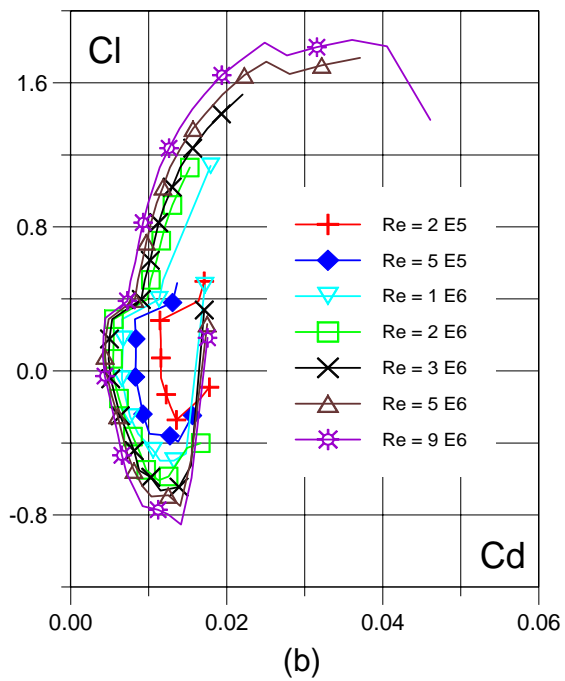
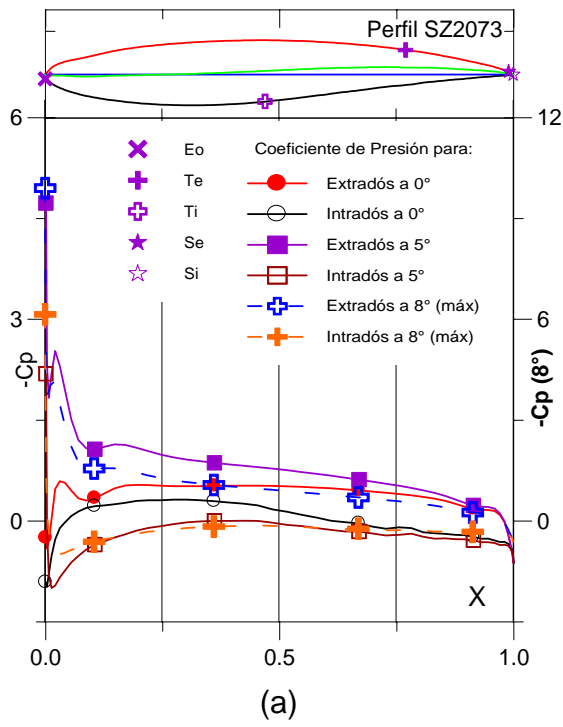


Fig. 5.1.147. (a) C_p (0° , 5° y Máx) vs. X para $Re = 1 E 6$ (leer $C_{p\text{máx}}$ a la derecha) y (b) Curvas Polares del Perfil SZ - 2073.

Fig. 5.1.148. (c) Curvas de Cl/C_d y (d) Cl , C_d , C_m vs. Ángulo de ataque del Perfil SZ - 2073.

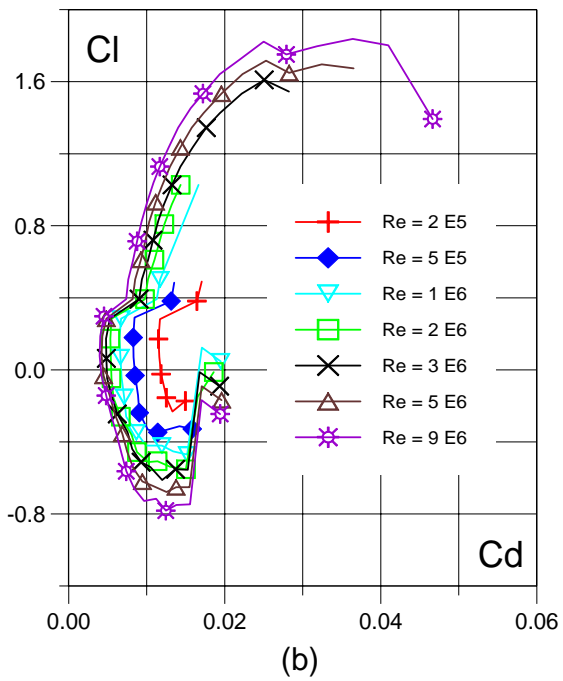
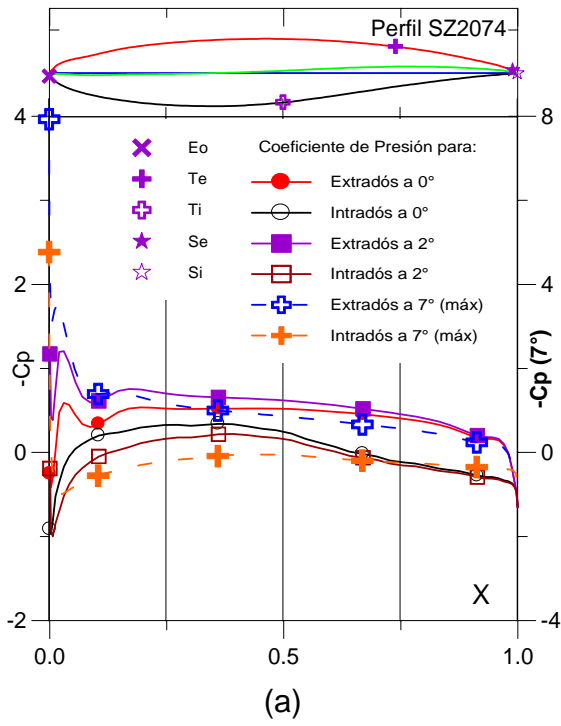


Fig. 5.1.149. (a) C_p (0° , 2° y Máx) vs. X para $Re = 1 E 6$ (leer $C_{p\text{máx}}$ a la derecha) y (b) Curvas Polares del Perfil SZ - 2074.

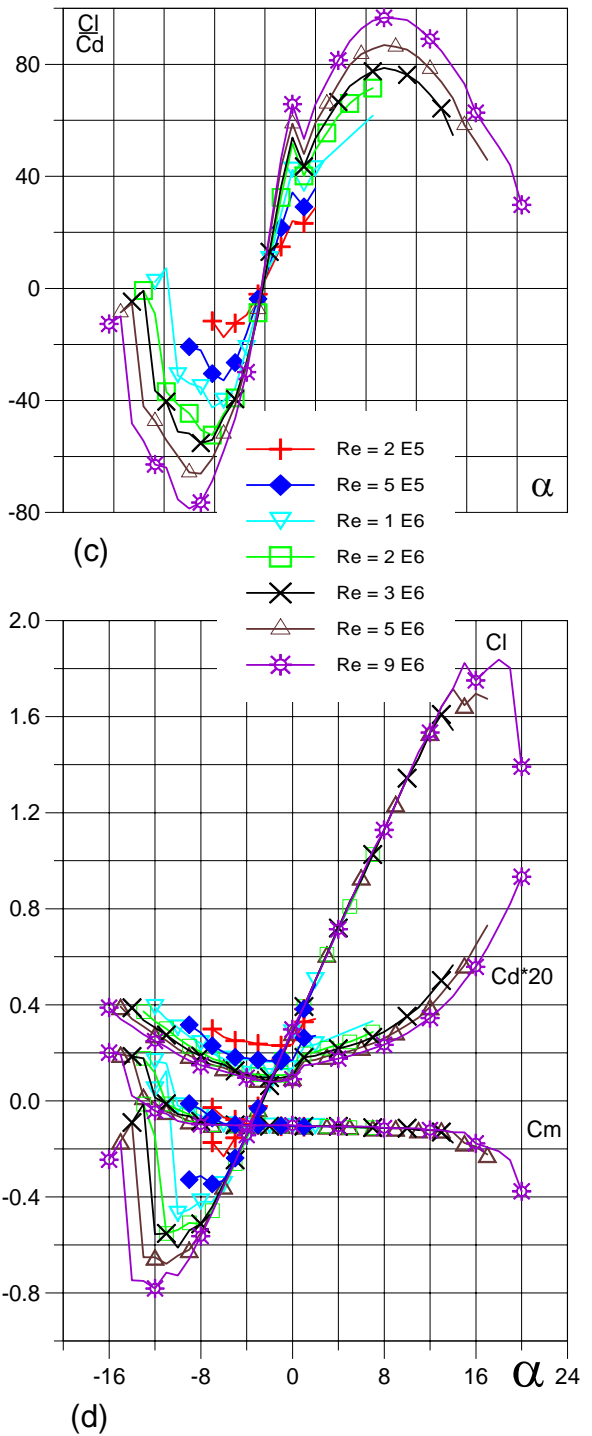


Fig. 5.1.150. (c) Curvas de Cl/C_d y (d) Cl , C_d , C_m vs. Ángulo de ataque del Perfil SZ - 2074.

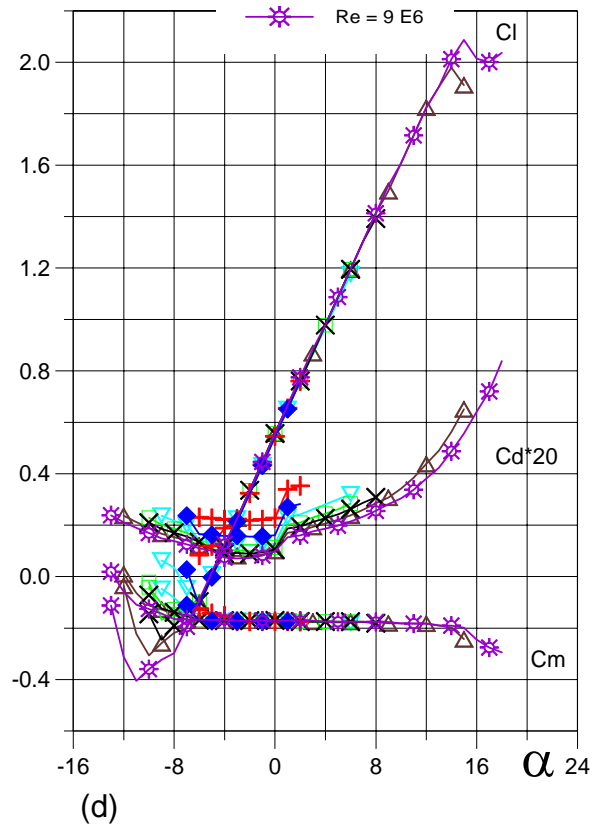
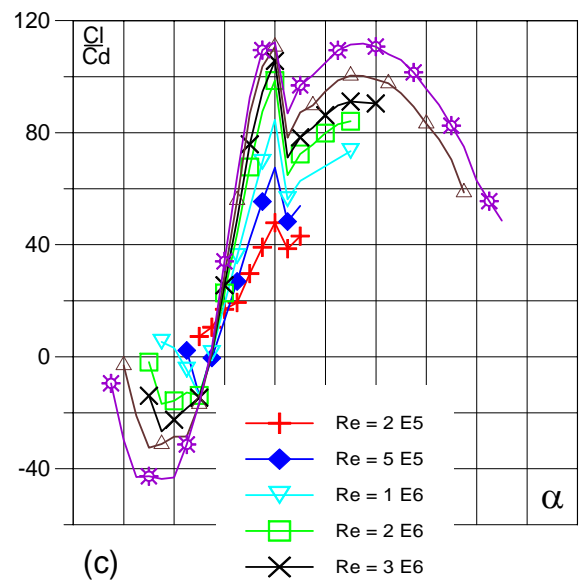
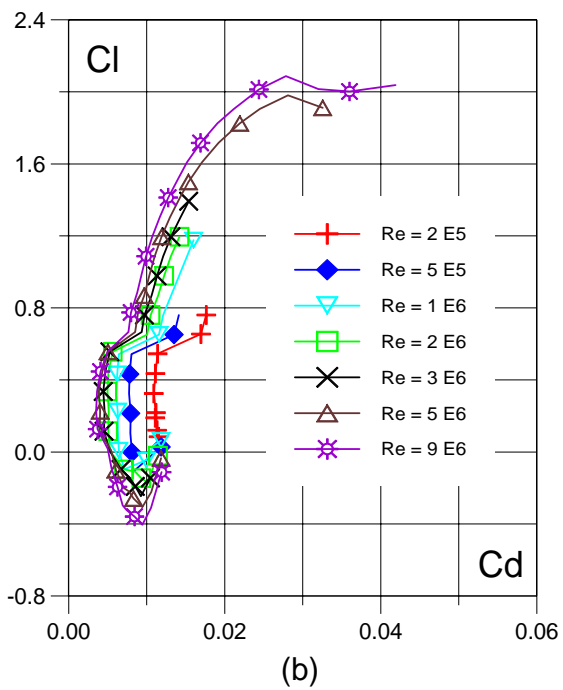
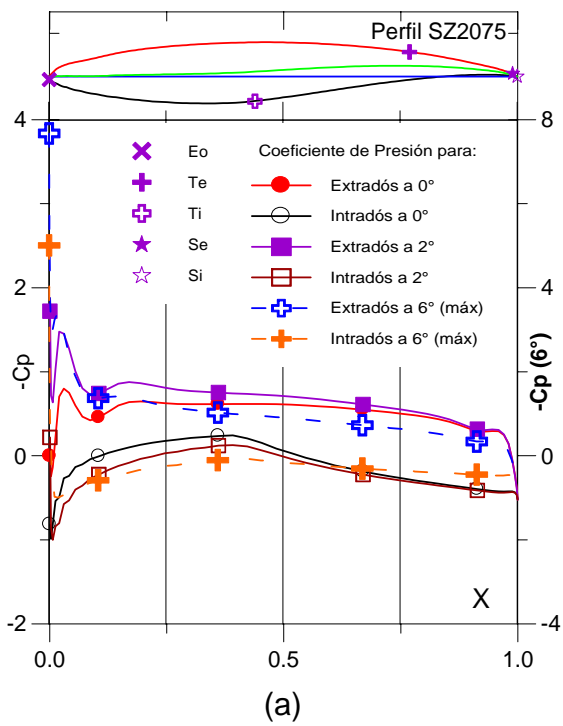


Fig. 5.1.151. (a) C_p (0°, 5° y Máx) vs. X para $Re = 1 E 6$ (leer $C_{p\text{máx}}$ a la derecha) y (b) Curvas Polares del Perfil SZ - 2075.

Fig. 5.1.152. (c) Curvas de Cl/Cd y (d) Cl, Cd, Cm vs. Ángulo de ataque del Perfil SZ - 2075.

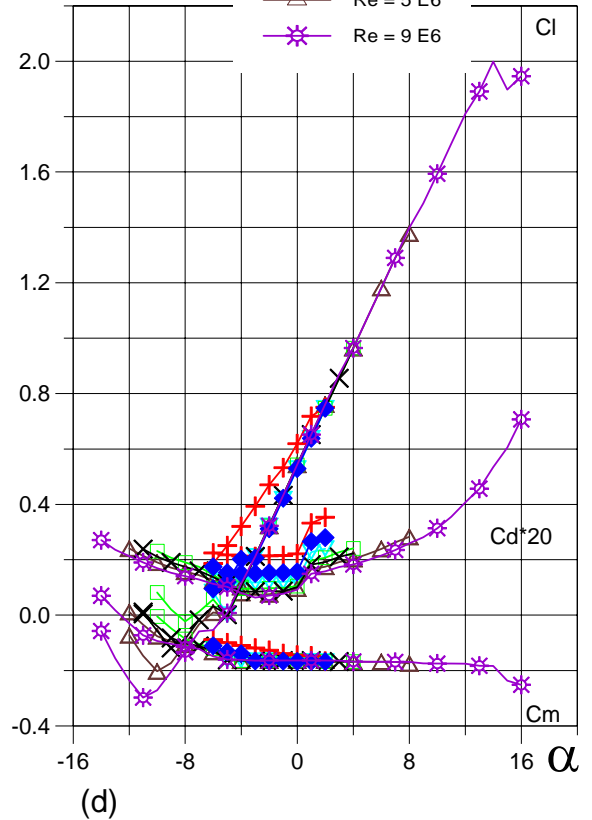
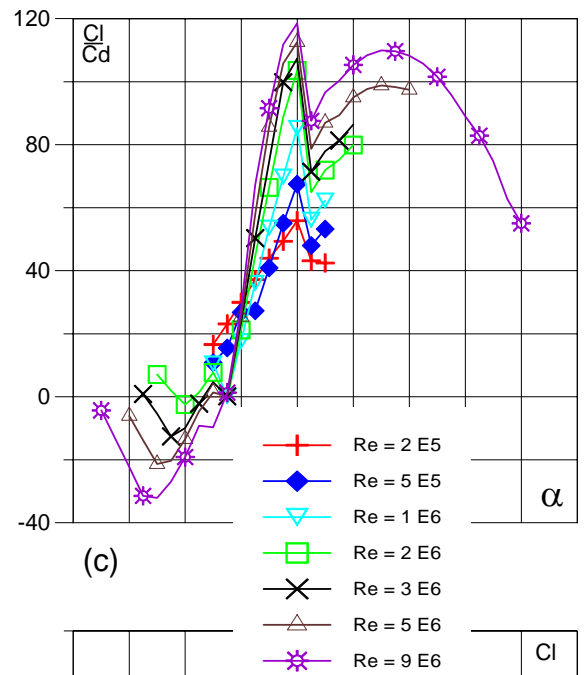
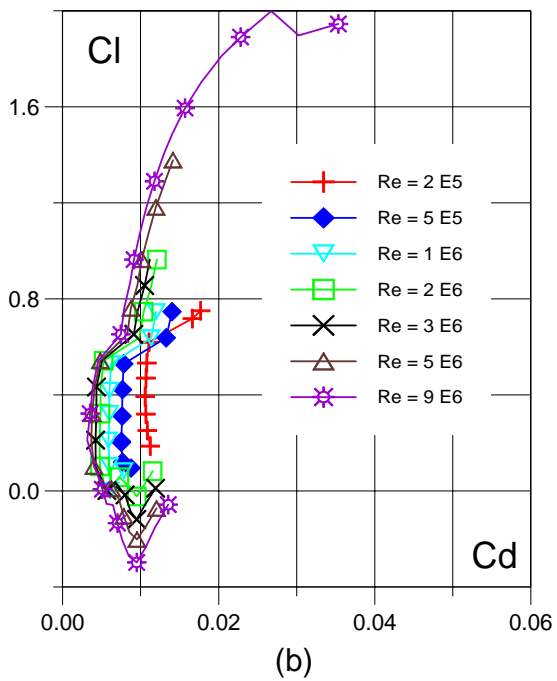
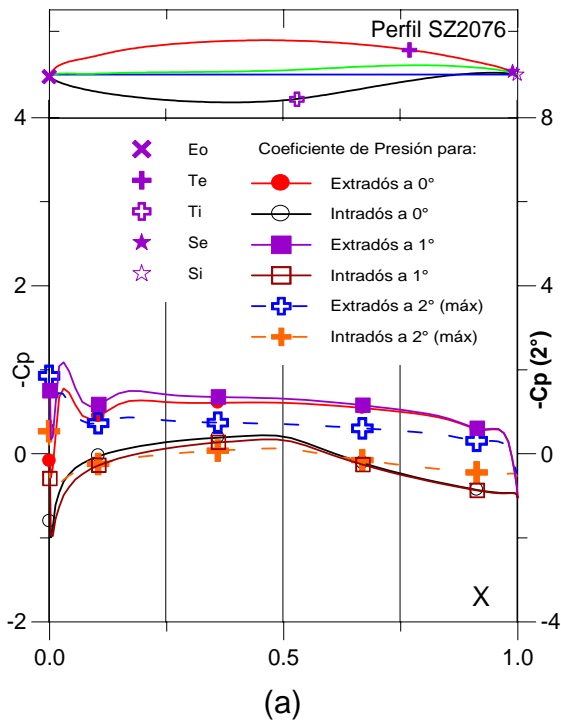


Fig. 5.1.153. (a) C_p (0° , 1° y Máx) vs. X para $Re = 1 E 6$ (leer $C_{p\text{máx}}$ a la derecha) y (b) Curvas Polares del Perfil SZ - 2076.

Fig. 5.1.154. (c) Curvas de Cl/Cd y (d) Cl , Cd , C_m vs. Ángulo de ataque del Perfil SZ - 2076.

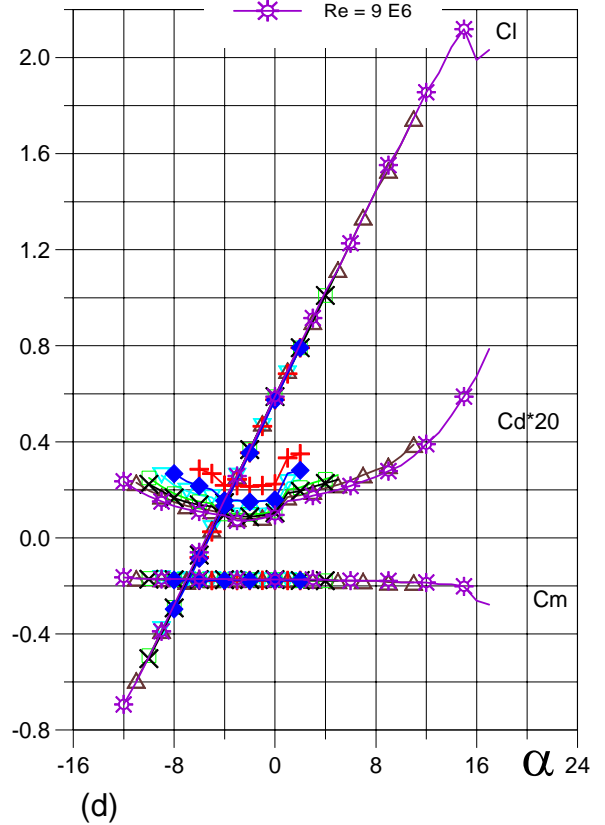
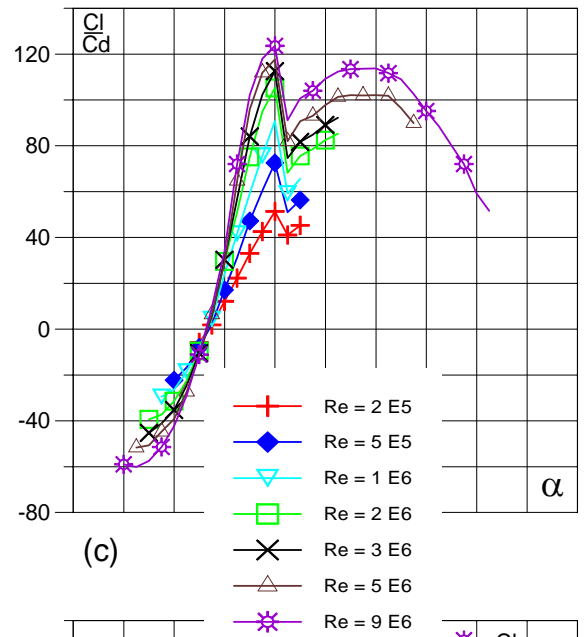
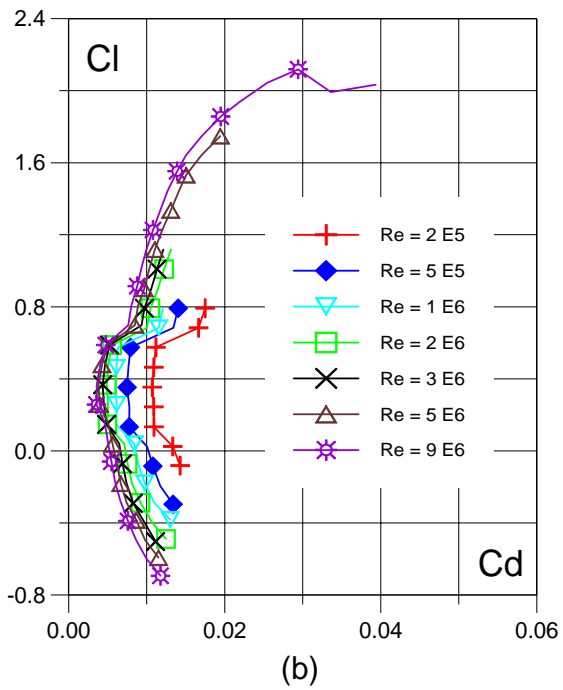
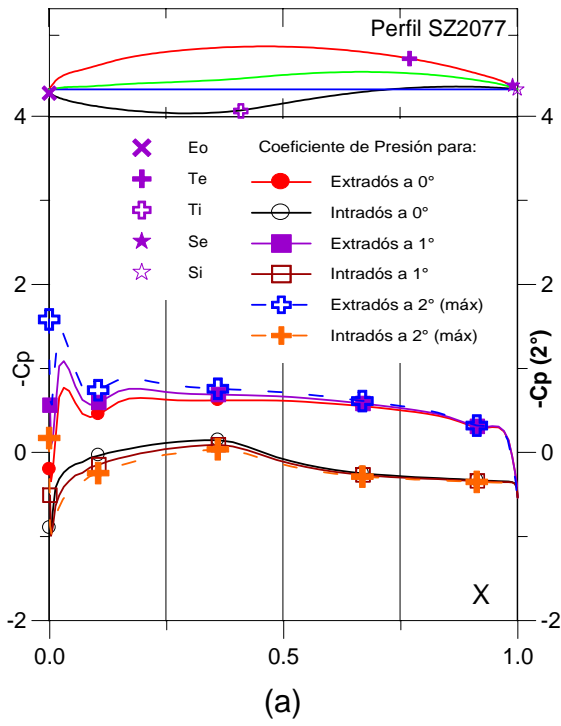


Fig. 5.1.155. (a) C_p (0° , 1° y Máx) vs. X para $Re = 1 E 6$ (leer $C_{p\text{máx}}$ a la derecha) y (b) Curvas Polares del Perfil SZ - 2077.

Fig. 5.1.156. (c) Curvas de Cl/Cd y (d) Cl , Cd , C_m vs. Ángulo de ataque del Perfil SZ - 2077.

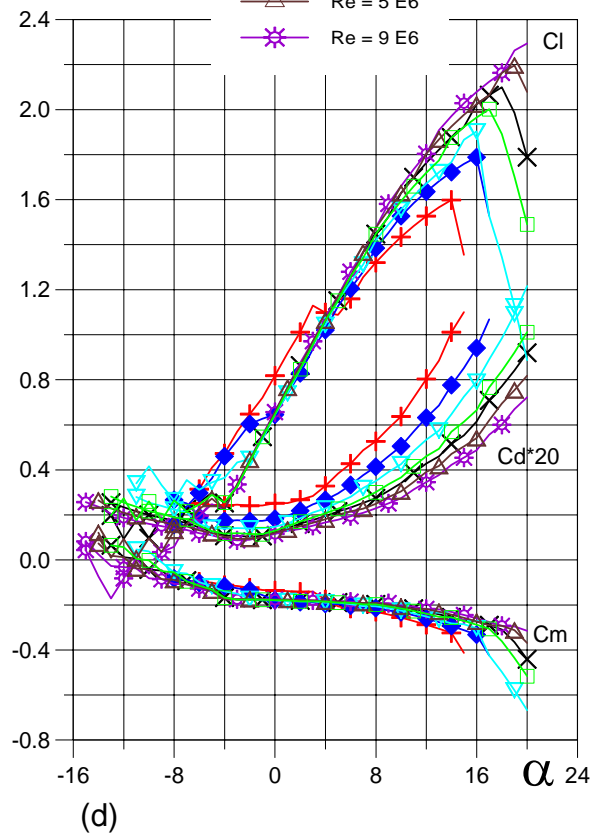
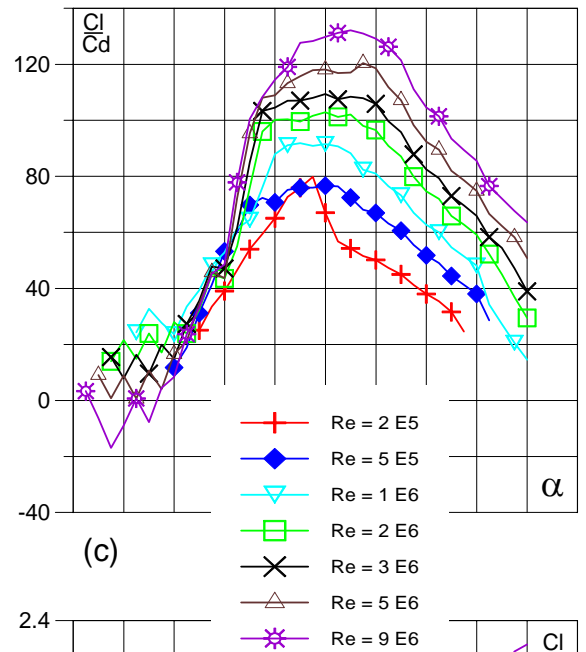
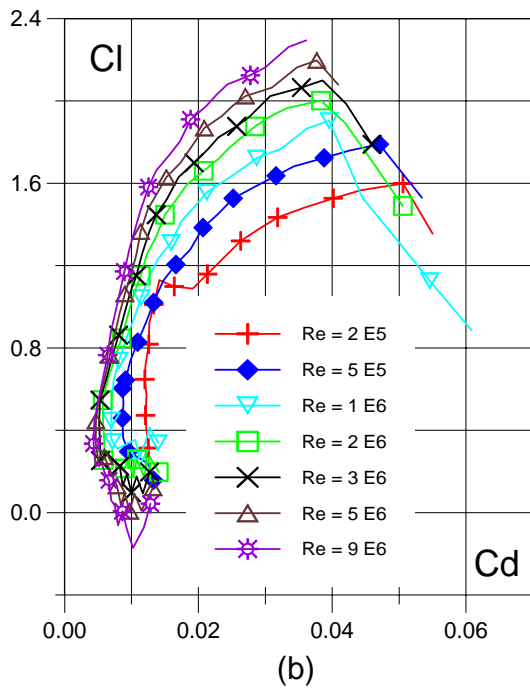
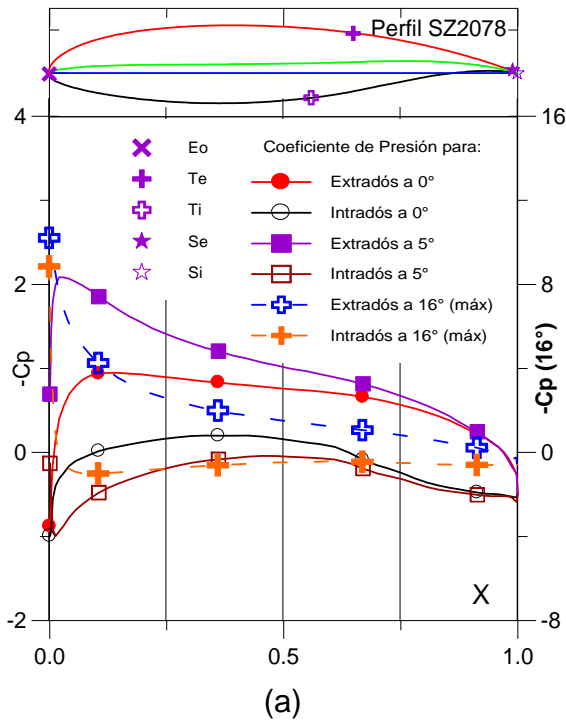


Fig. 5.1.157. (a) C_p (0° , 5° y Máx) vs. X para $Re = 1 E 6$ (leer $C_{p\text{máx}}$ a la derecha) y (b) Curvas Polares del Perfil SZ - 2078.

Fig. 5.1.158. (c) Curvas de Cl/Cd y (d) Cl , Cd , C_m vs. Ángulo de ataque del Perfil SZ - 2078.

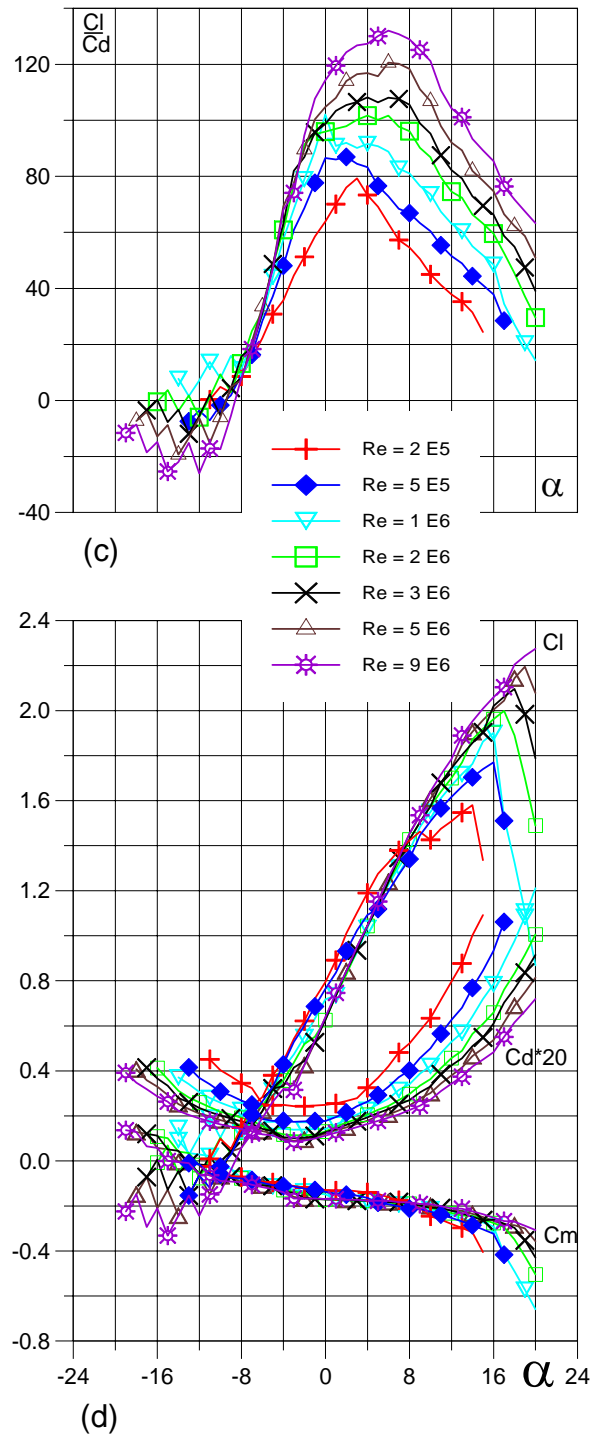
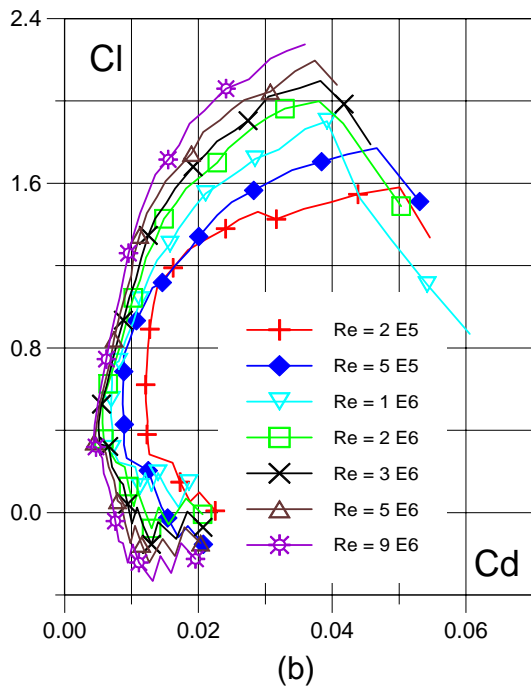
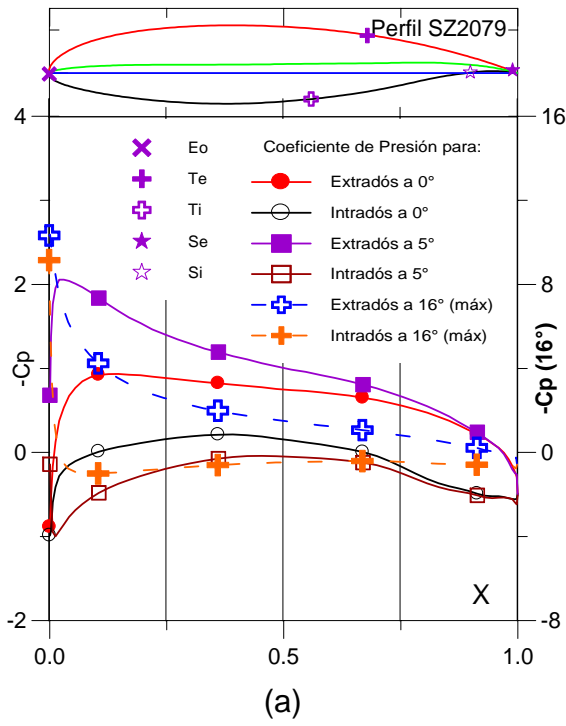
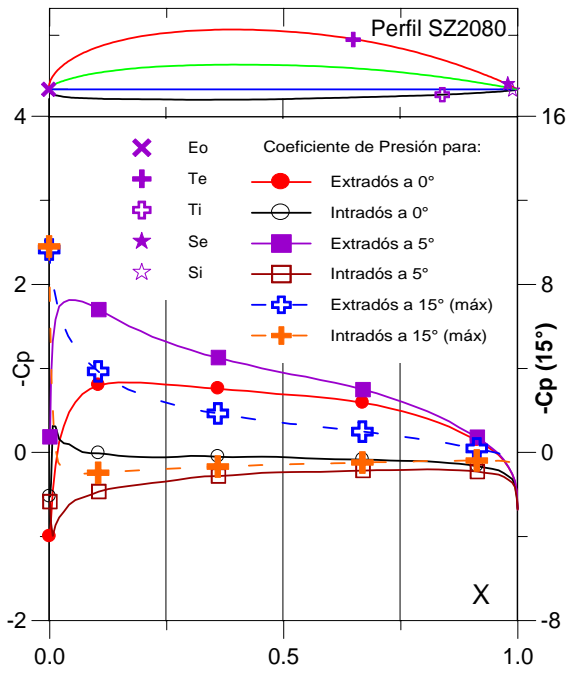
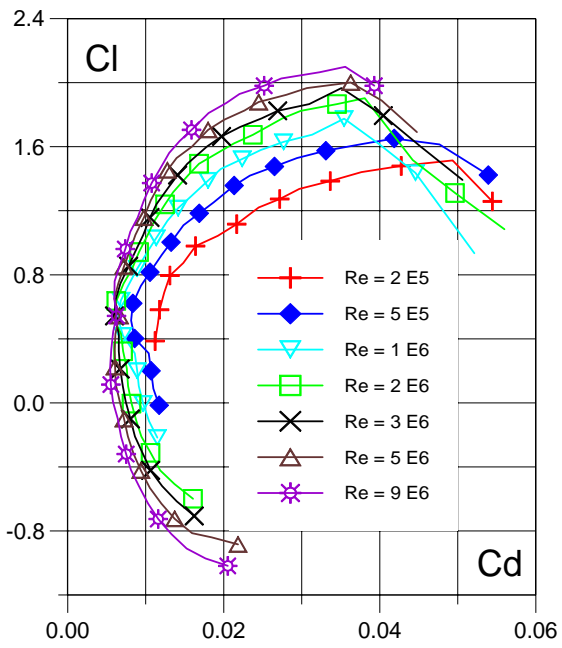


Fig. 5.1.159. (a) C_p (0° , 5° y Máx) vs. X para $Re = 1 E 6$ (leer $C_{p\text{máx}}$ a la derecha) y (b) Curvas Polares del Perfil SZ - 2079.

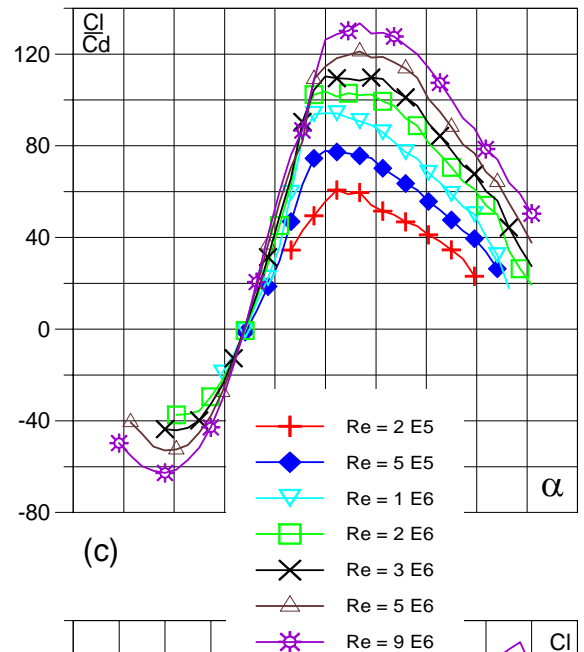
Fig. 5.1.160. (c) Curvas de Cl/Cd y (d) Cl , Cd , C_m vs. Ángulo de ataque del Perfil SZ - 2079.



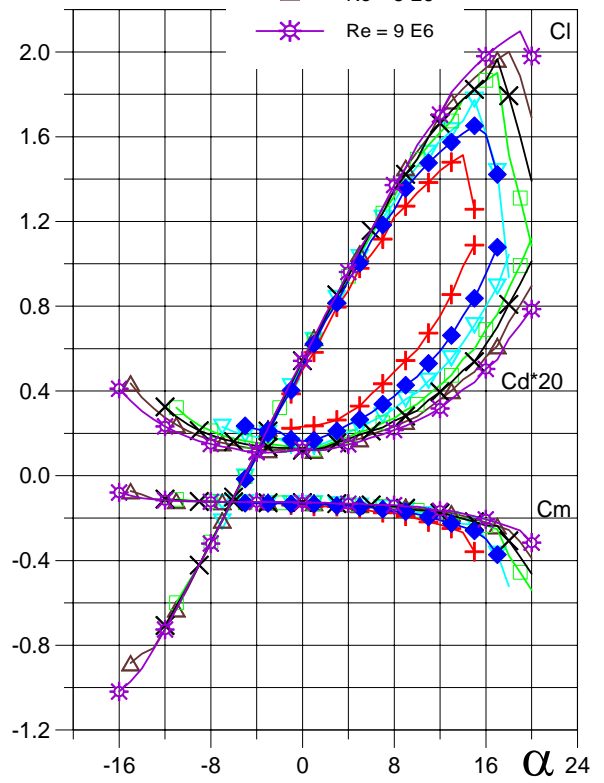
(a)



(b)



(c)



(d)

Fig. 5.1.161. (a) C_p (0° , 5° y Máx) vs. X para $Re = 1 E 6$ (leer $C_{p\text{máx}}$ a la derecha) y (b) Curvas Polares del Perfil SZ - 2080.

Fig. 5.1.162. (c) Curvas de Cl/Cd y (d) Cl , Cd , C_m vs. Ángulo de ataque del Perfil SZ - 2080.

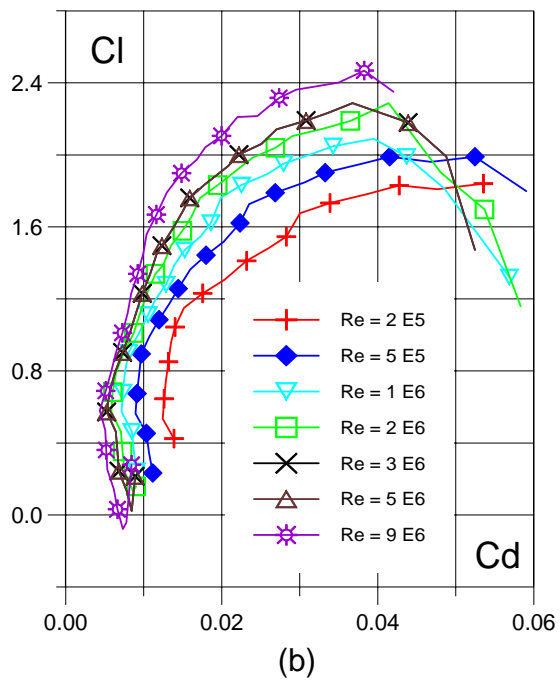
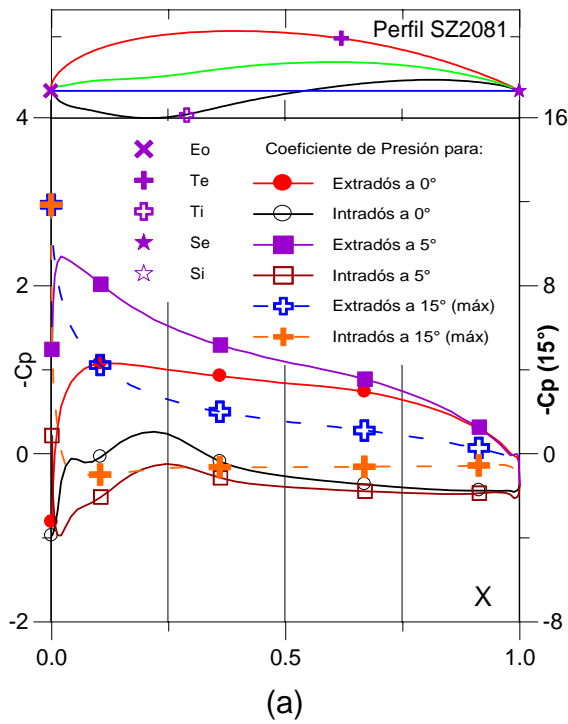


Fig. 5.1.163. (a) C_p (0°, 5° y Máx) vs. X para $Re = 1 E 6$ (leer $C_{p\text{máx}}$ a la derecha) y (b) Curvas Polares del Perfil SZ - 2081.

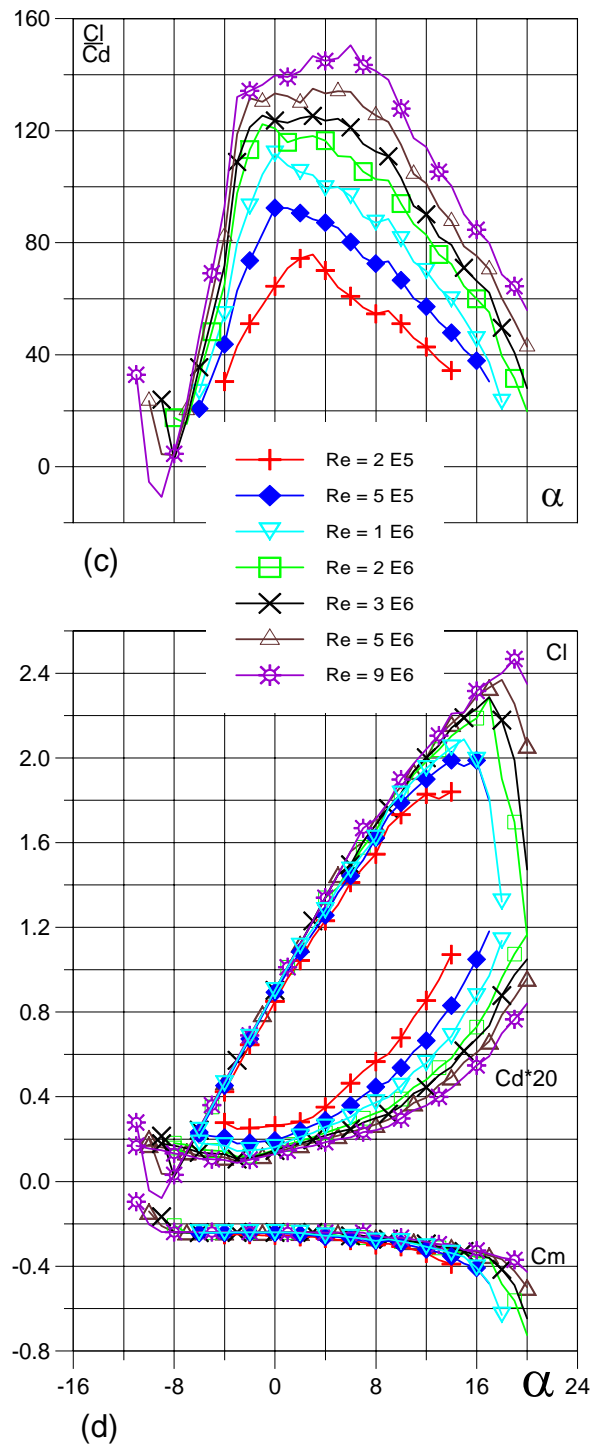


Fig. 5.1.164. (c) Curvas de Cl/Cd y (d) Cl , Cd , C_m vs. Ángulo de ataque del Perfil SZ - 2081.

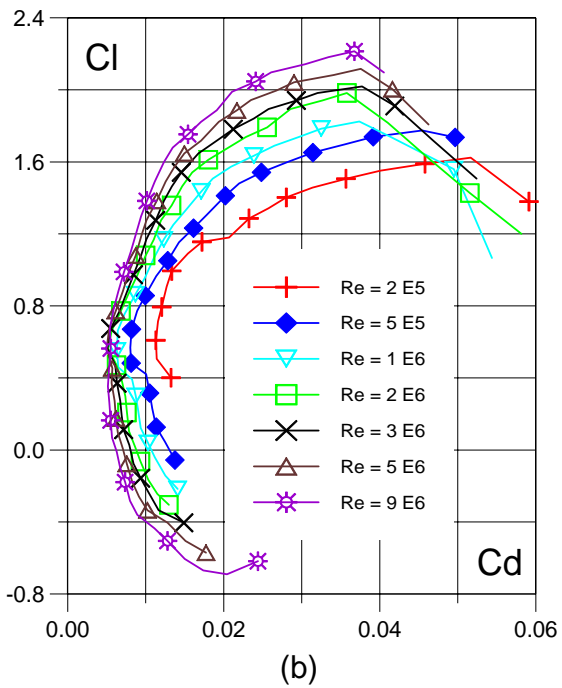
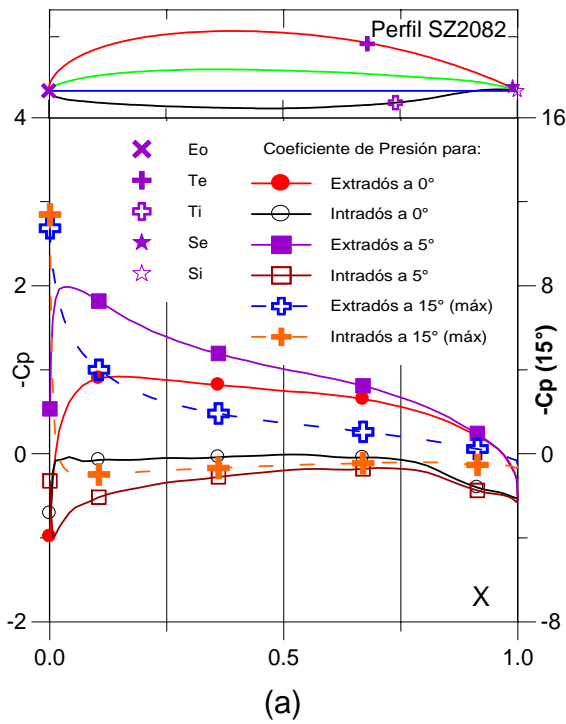


Fig. 5.1.165. (a) C_p (0° , 5° y Máx) vs. X para $Re = 1 \times 10^6$ (leer $C_{p\text{máx}}$ a la derecha) y (b) Curvas Polares del Perfil SZ - 2082.

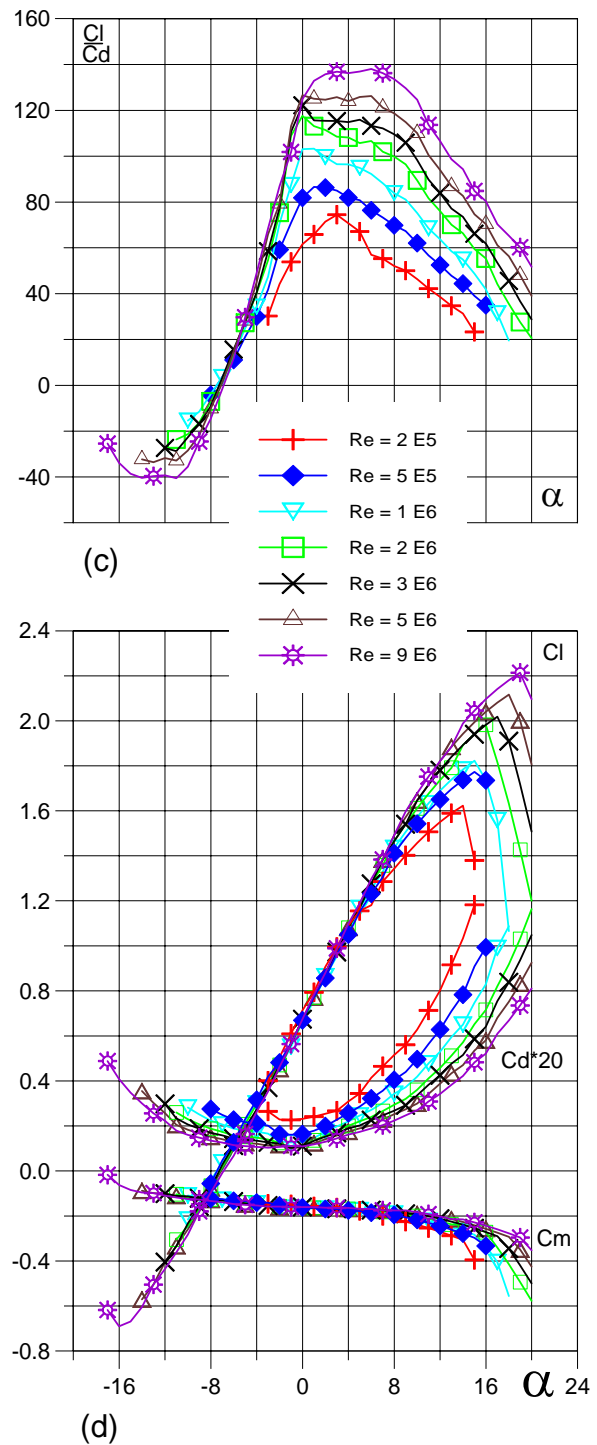


Fig. 5.1.166. (c) Curvas de C_l/C_d y (d) C_l , C_d , C_m vs. Ángulo de ataque del Perfil SZ - 2082.

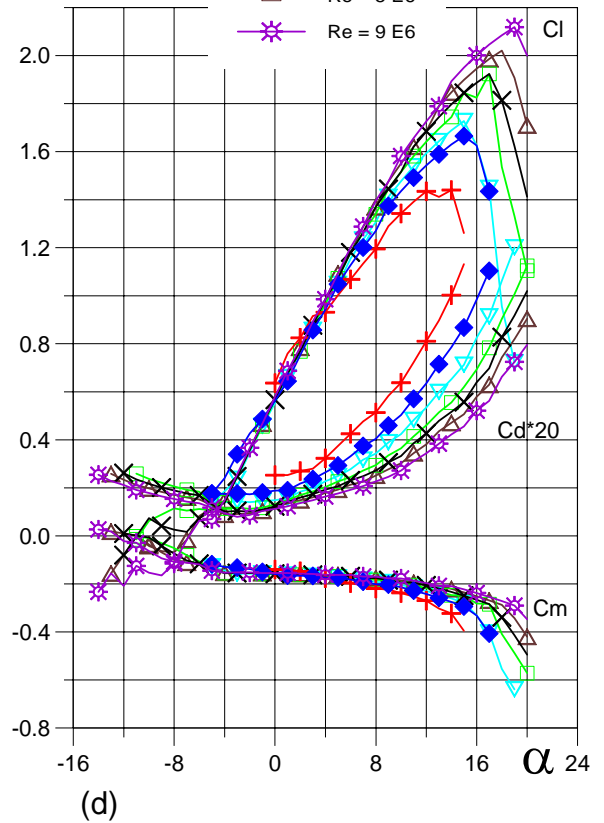
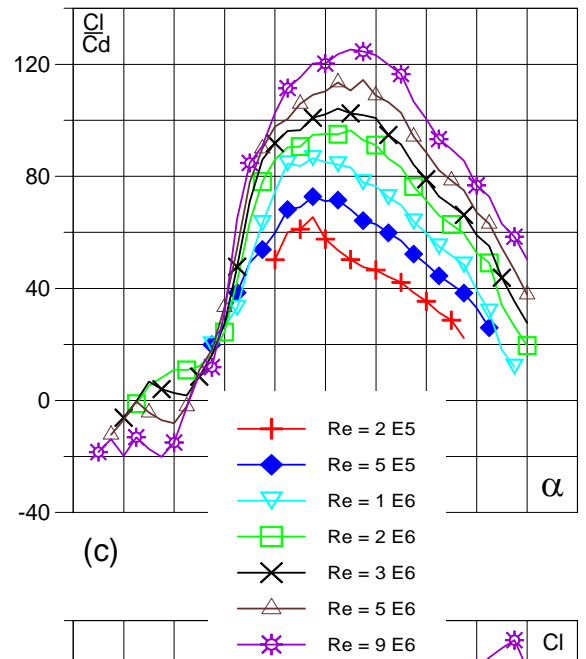
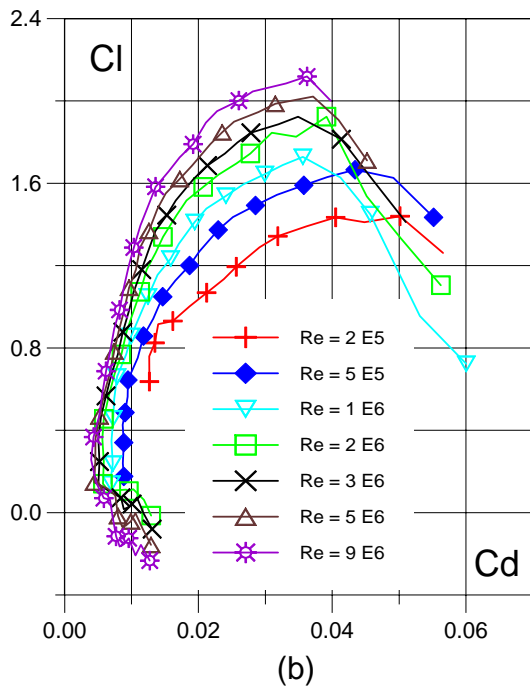
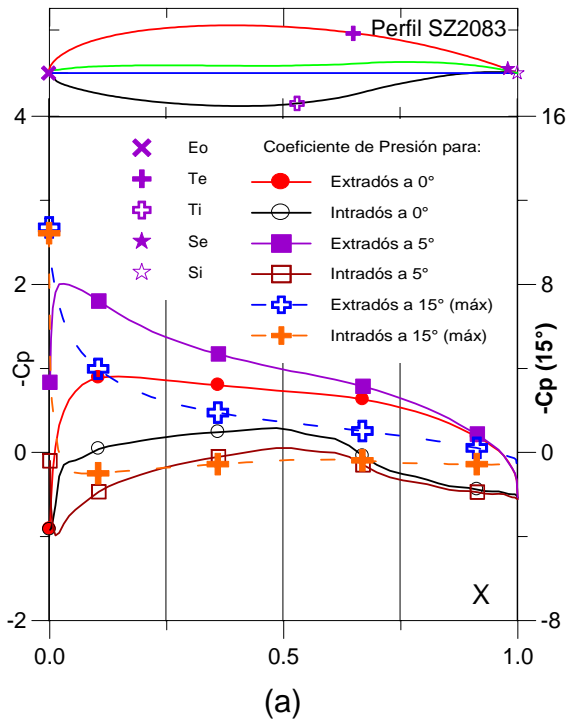


Fig. 5.1.167. (a) C_p (0° , 5° y Máx) vs. X para $Re = 1 E 6$ (leer $C_{p\text{máx}}$ a la derecha) y (b) Curvas Polares del Perfil SZ - 2083.

Fig. 5.1.168. (c) Curvas de Cl/C_d y (d) Cl , C_d , C_m vs. Ángulo de ataque del Perfil SZ - 2083.

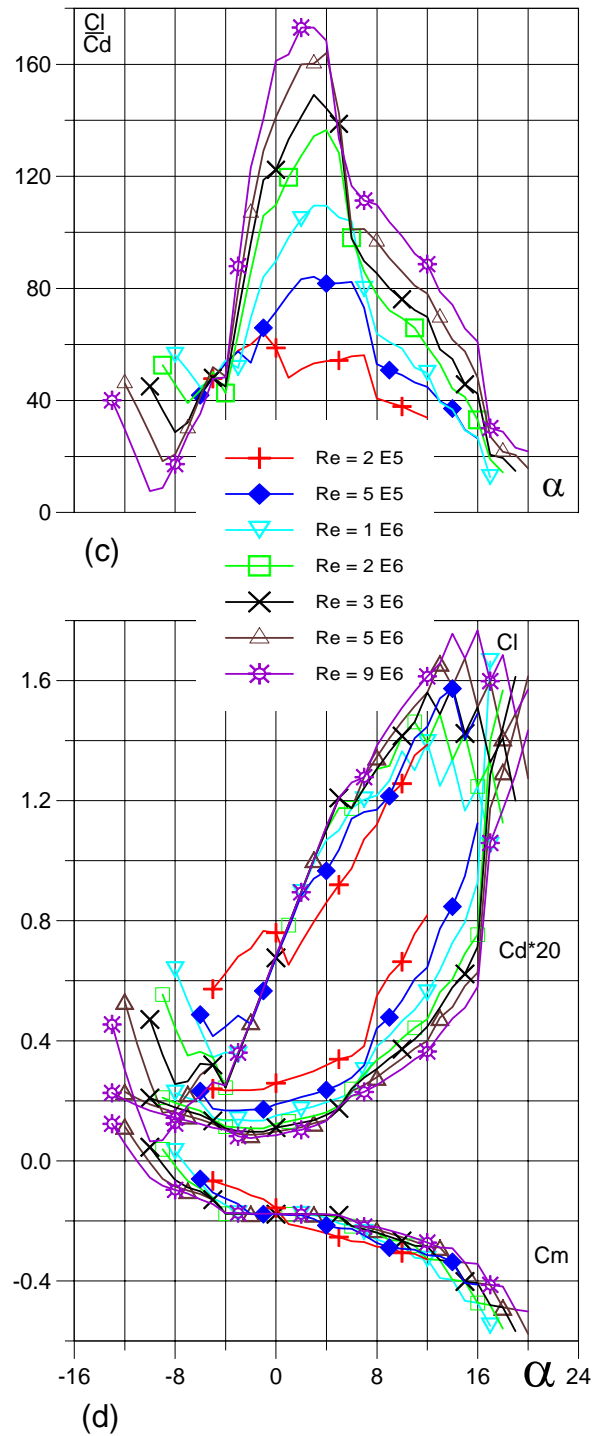
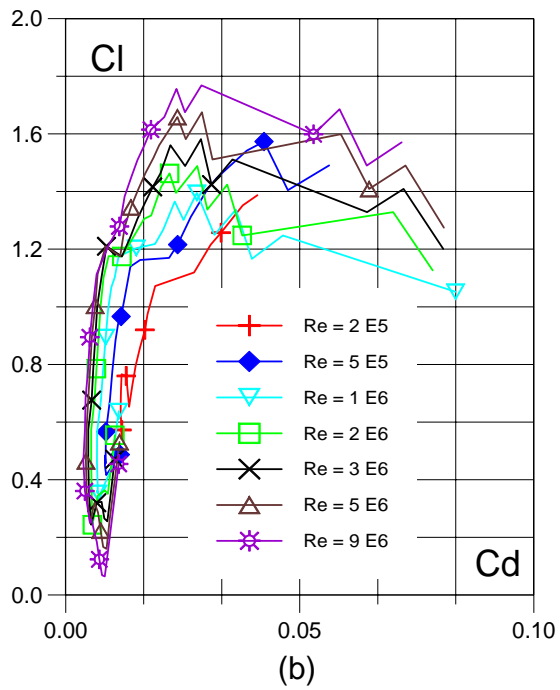
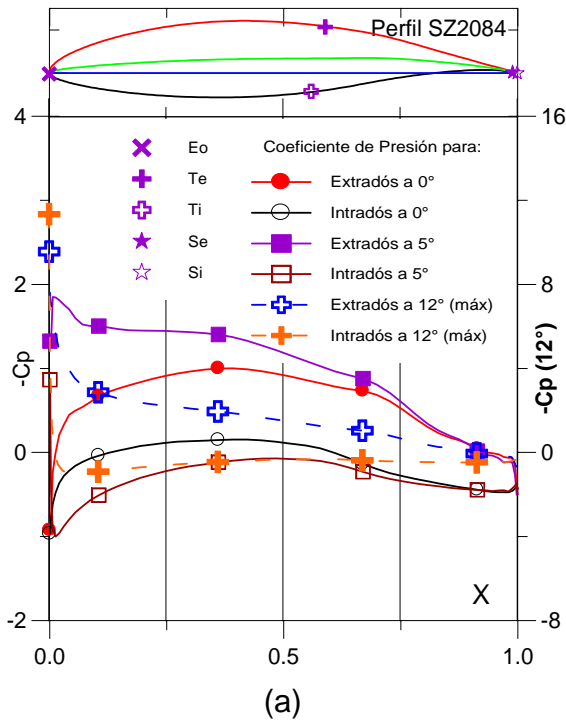


Fig. 5.1.169. (a) C_p (0° , 5° y Máx) vs. X para $Re = 1 E 6$ (leer $C_{p\text{máx}}$ a la derecha) y (b) Curvas Polares del Perfil SZ - 2084.

Fig. 5.1.170. (c) Curvas de Cl/Cd y (d) Cl , Cd , C_m vs. Ángulo de ataque del Perfil SZ - 2084.

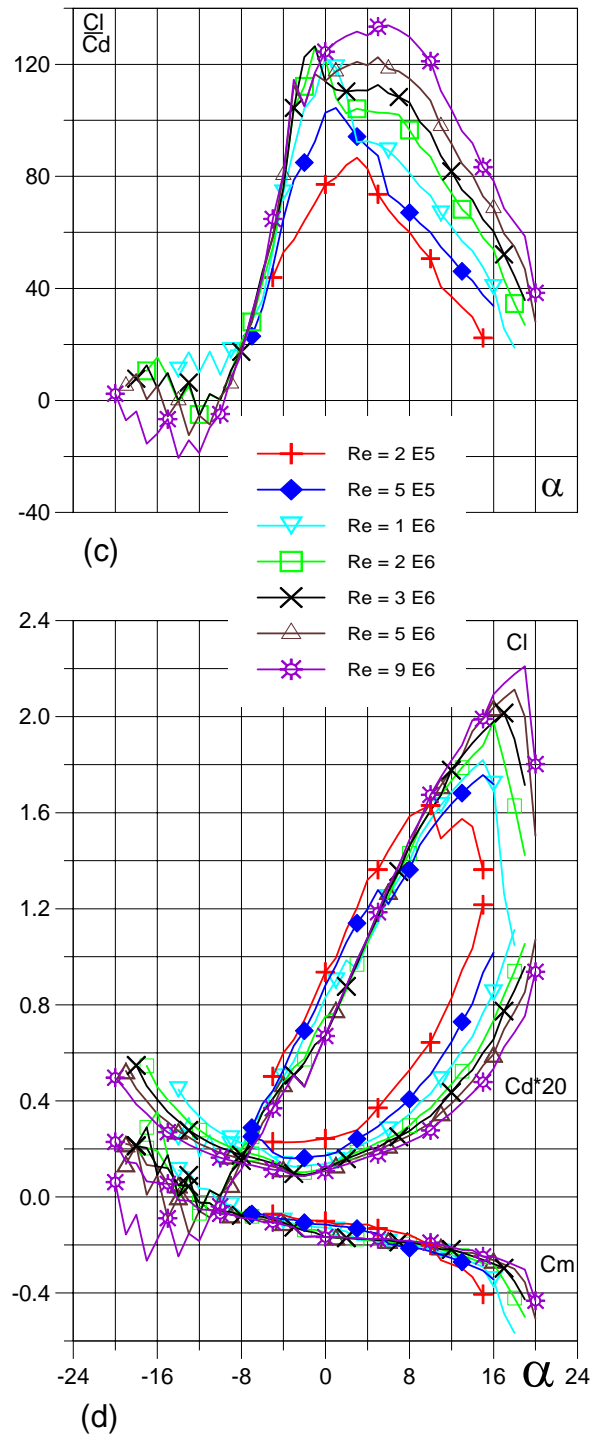
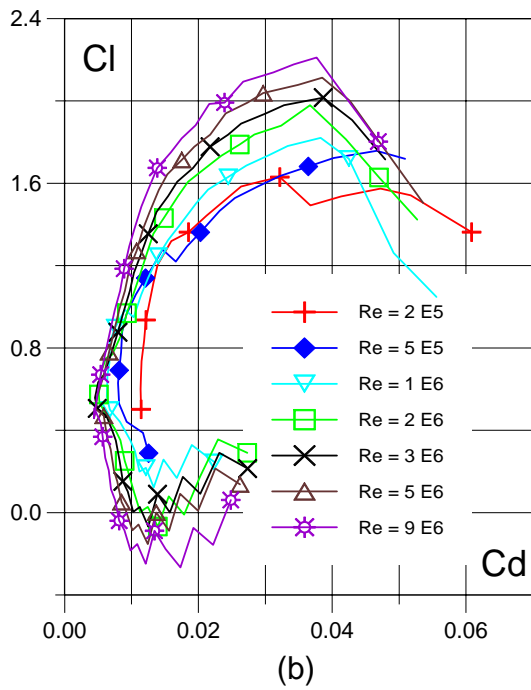
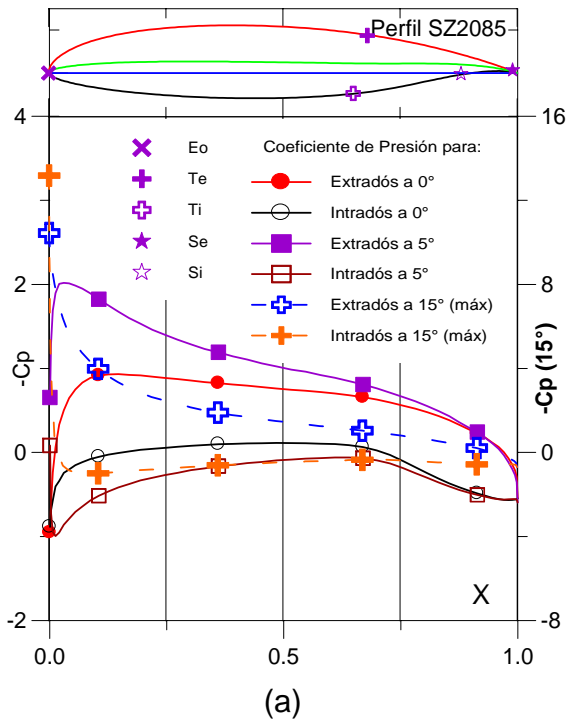
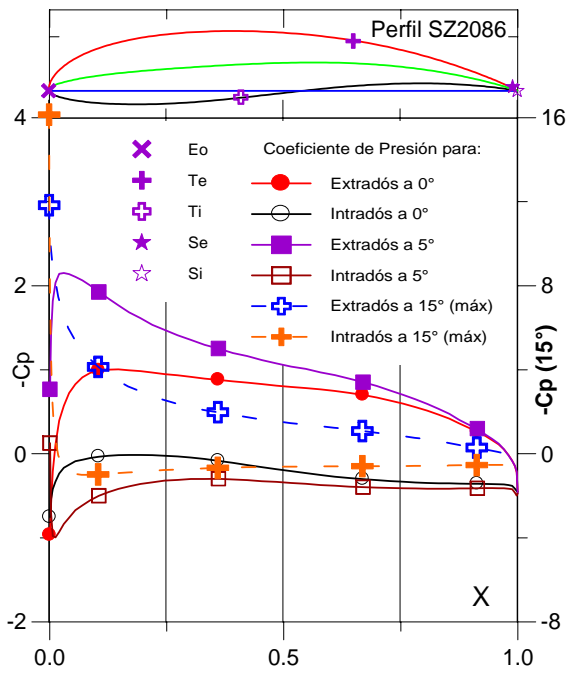
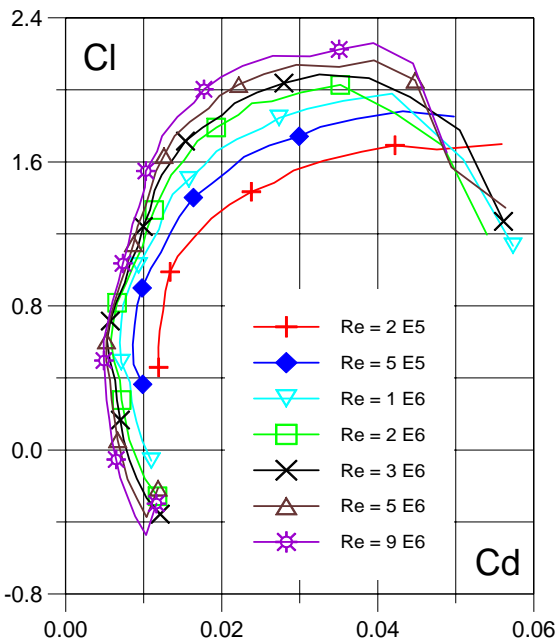


Fig. 5.1.171. (a) C_p (0° , 5° y Máx) vs. X para $Re = 1 E 6$ (leer $C_{p\text{máx}}$ a la derecha) y (b) Curvas Polares del Perfil SZ - 2085.

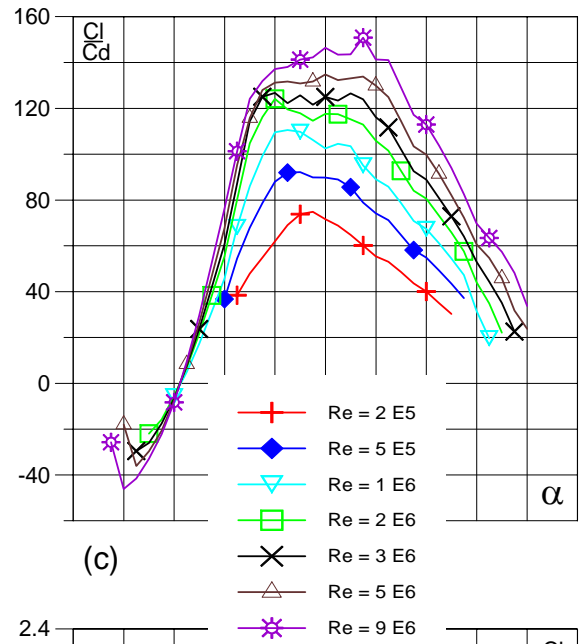
Fig. 5.1.172. (c) Curvas de C_l/C_d y (d) C_l , C_d , C_m vs. Ángulo de ataque del Perfil SZ - 2085.



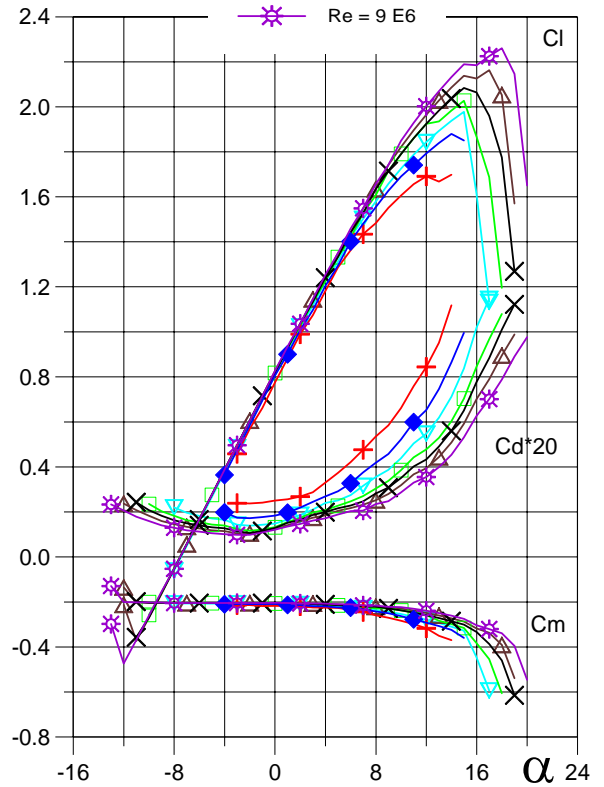
(a)



(b)



(c)



(d)

Fig. 5.1.173. (a) Cp (0°, 5° y Máx) vs. X para Re = 1 E 6 (leer Cp máx a la derecha) y (b) Curvas Polares del Perfil SZ - 2086.

Fig. 5.1.174. (c) Curvas de Cl/Cd y (d) Cl, Cd, Cm vs. Ángulo de ataque del Perfil SZ - 2086.

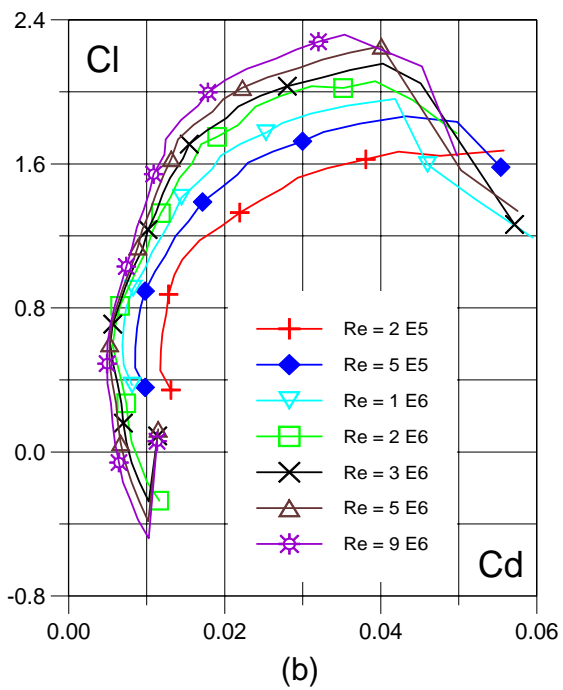
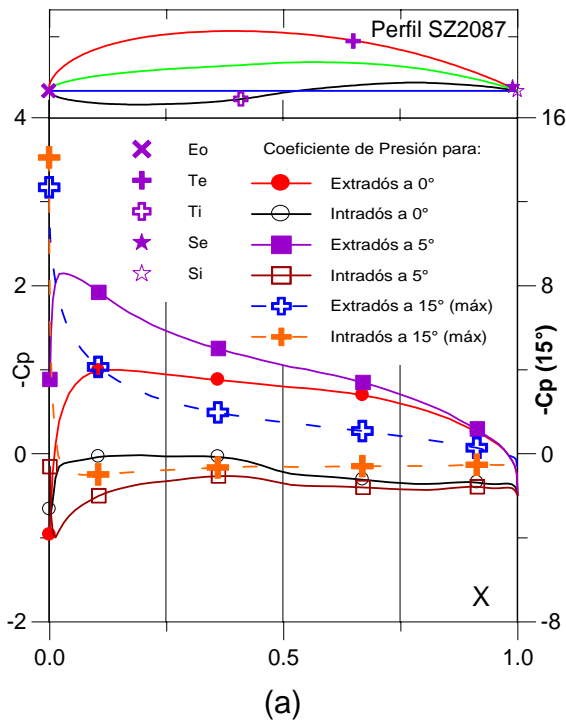


Fig. 5.1.175. (a) C_p (0° , 5° y Máx) vs. X para $Re = 1 E 6$ (leer $C_{p\text{máx}}$ a la derecha) y (b) Curvas Polares del Perfil SZ - 2087.

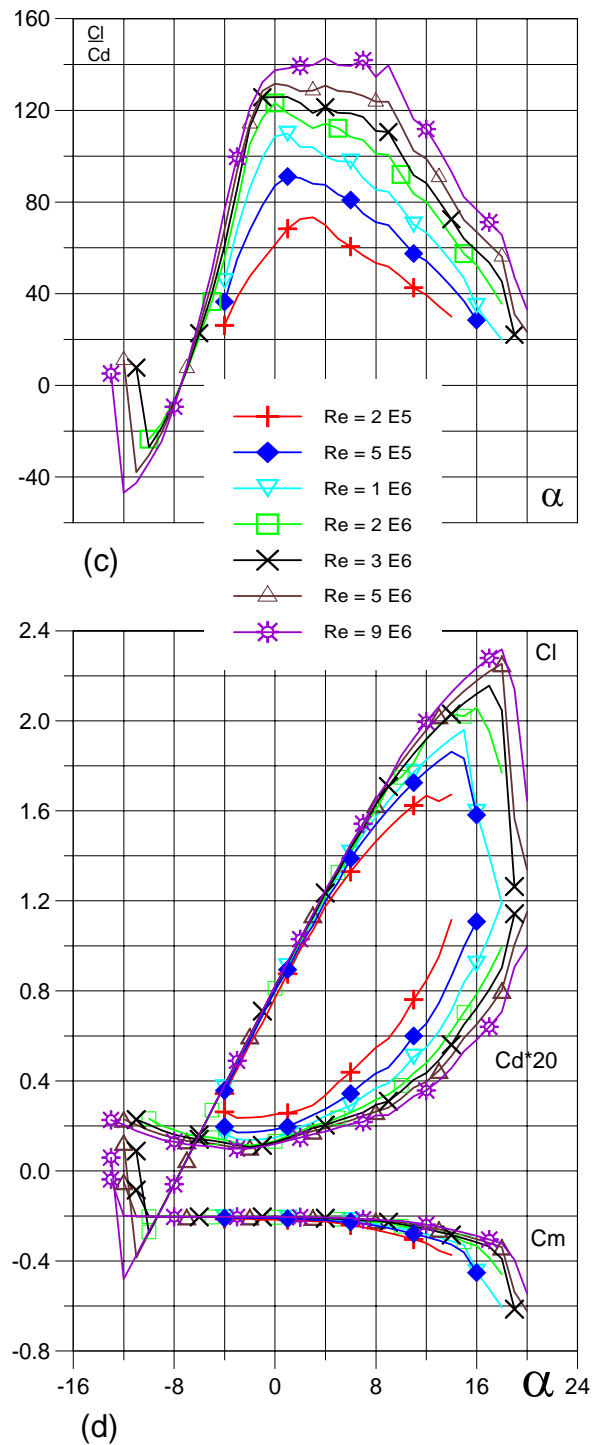


Fig. 5.1.176. (c) Curvas de Cl/Cd y (d) Cl , Cd , C_m vs. Ángulo de ataque del Perfil SZ - 2087.

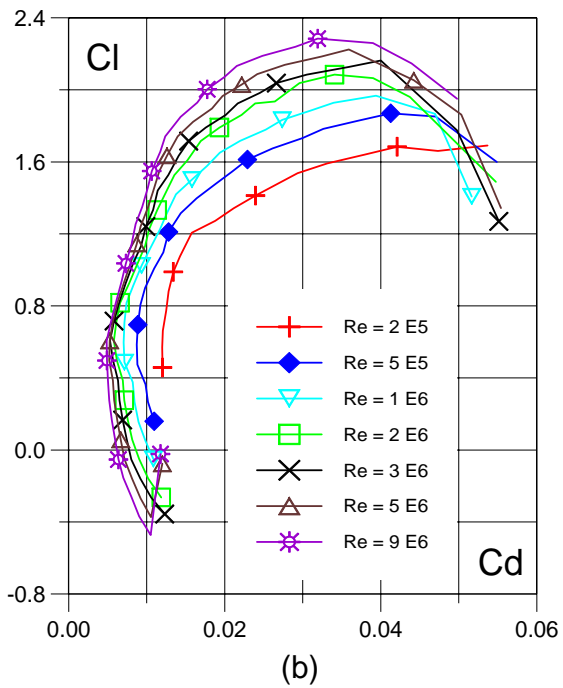
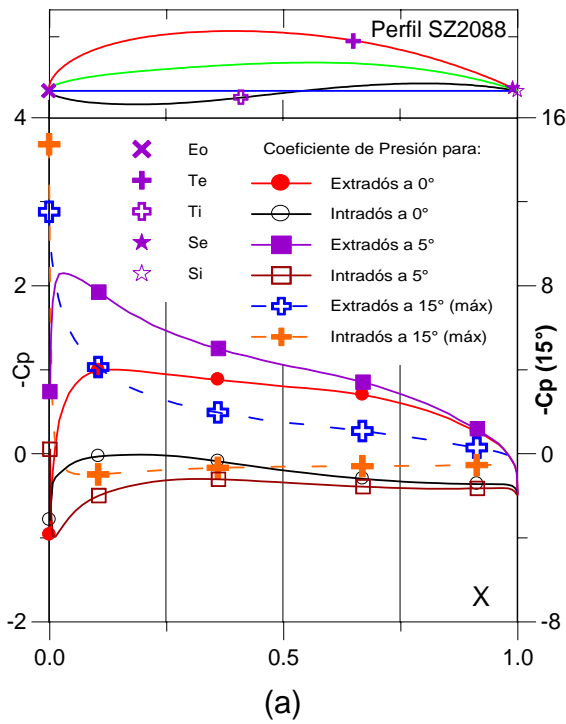


Fig. 5.1.177. (a) C_p (0° , 5° y Máx) vs. X para $Re = 1 E 6$ (leer $C_{p\text{máx}}$ a la derecha) y (b) Curvas Polares del Perfil SZ - 2088.

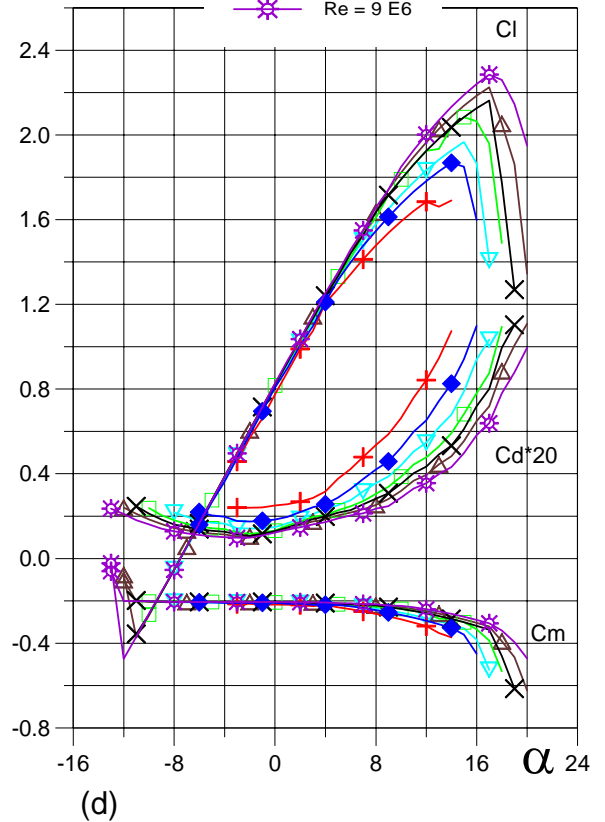
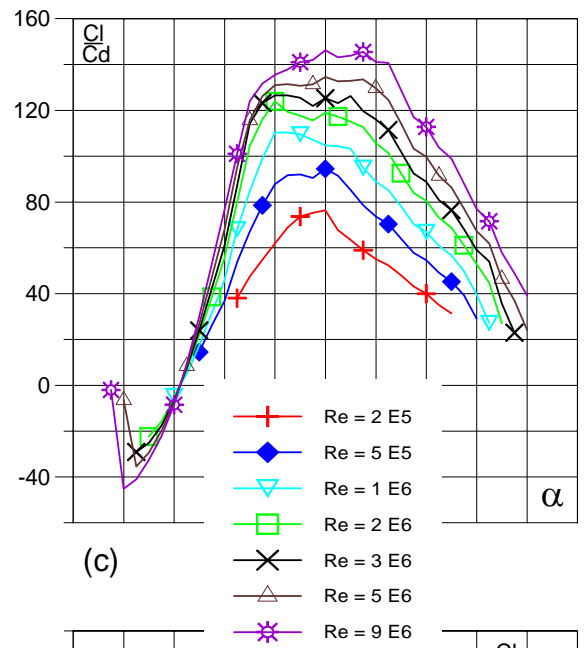
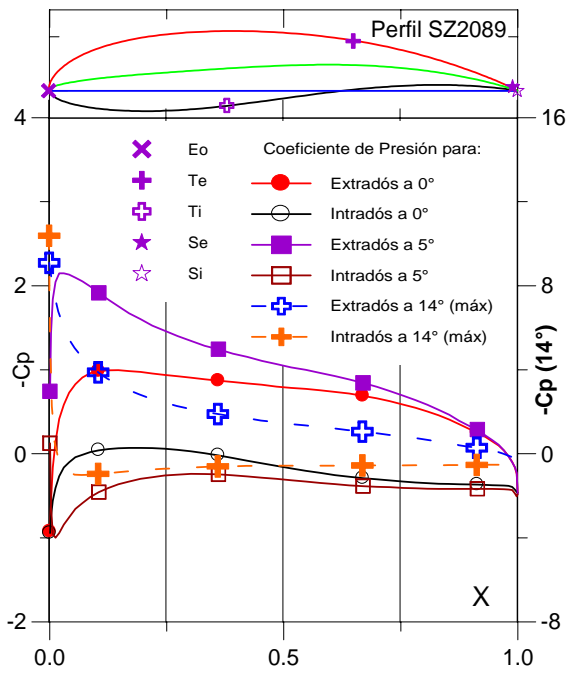
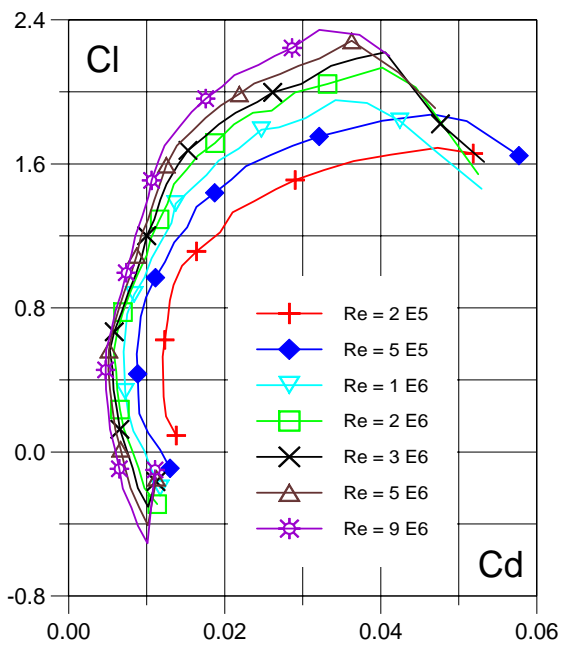


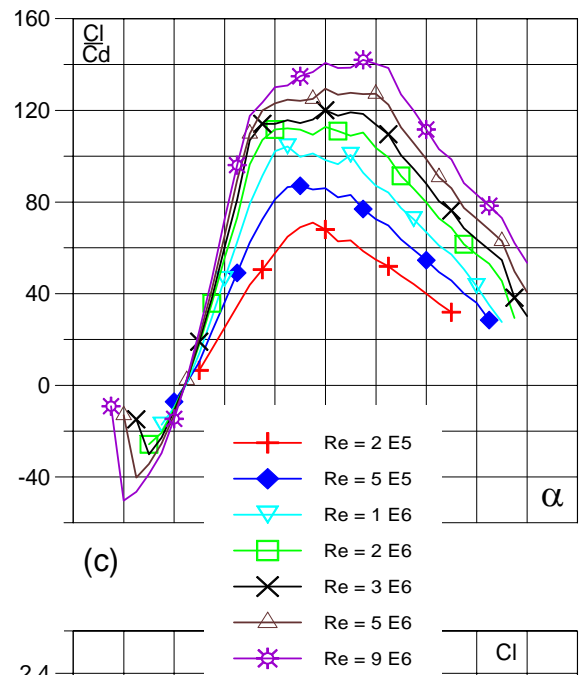
Fig. 5.1.178. (c) Curvas de Cl/Cd y (d) Cl , Cd , C_m vs. Ángulo de ataque del Perfil SZ - 2088.



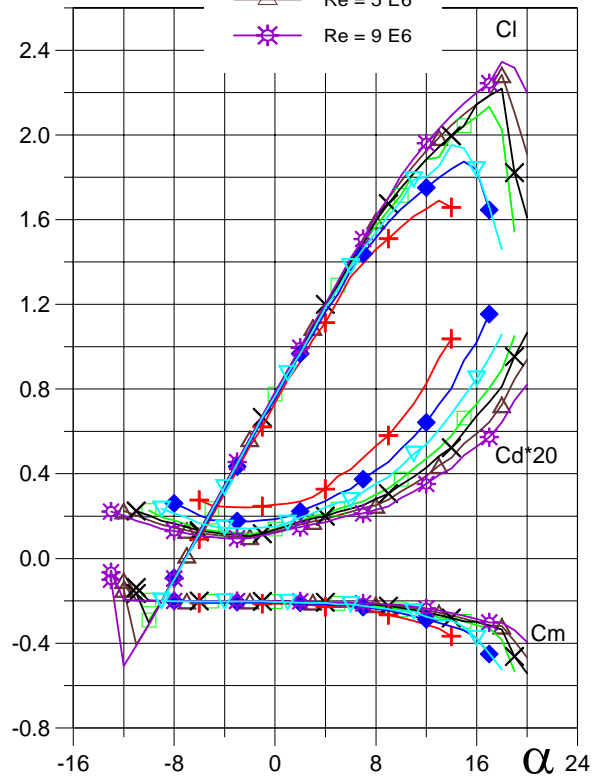
(a)



(b)



(c)



(d)

Fig. 5.1.179. (a) C_p (0°, 5° y Máx) vs. X para $Re = 1 E 6$ (leer $C_{p\text{máx}}$ a la derecha) y (b) Curvas Polares del Perfil SZ - 2089.

Fig. 5.1.180. (c) Curvas de Cl/Cd y (d) Cl , Cd , Cm vs. Ángulo de ataque del Perfil SZ - 2089.

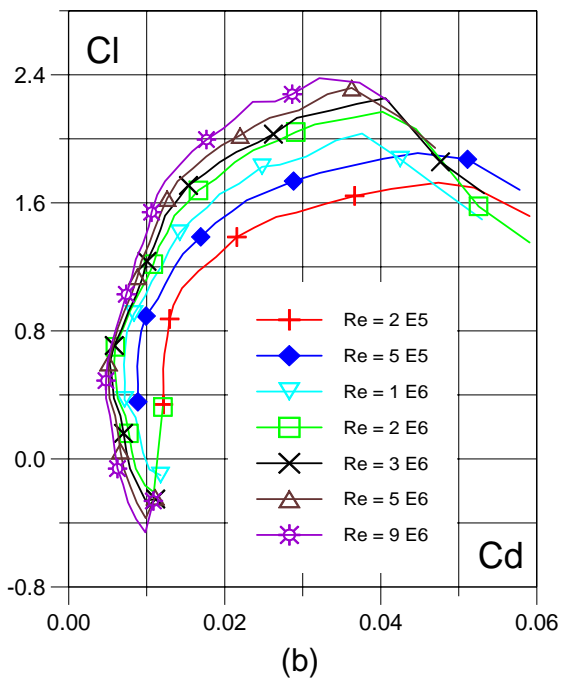
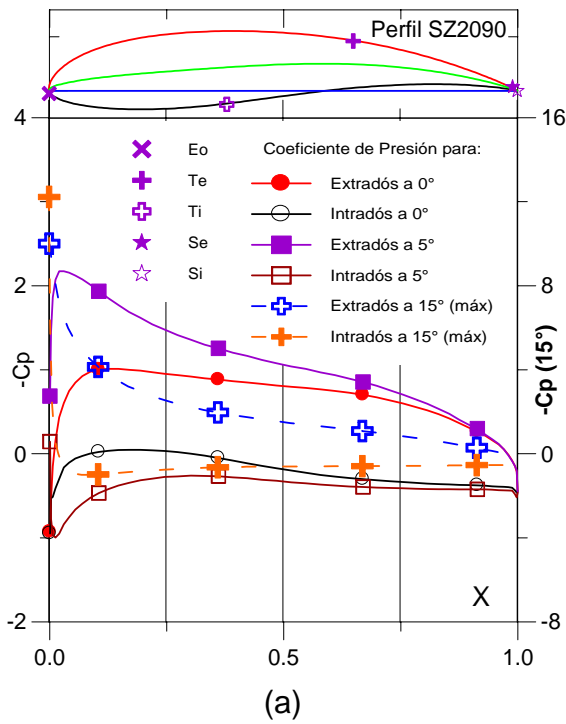


Fig. 5.1.181. (a) C_p (0° , 5° y Máx) vs. X para $Re = 1 E 6$ (leer $C_{p\text{máx}}$ a la derecha) y (b) Curvas Polares del Perfil SZ - 2090.

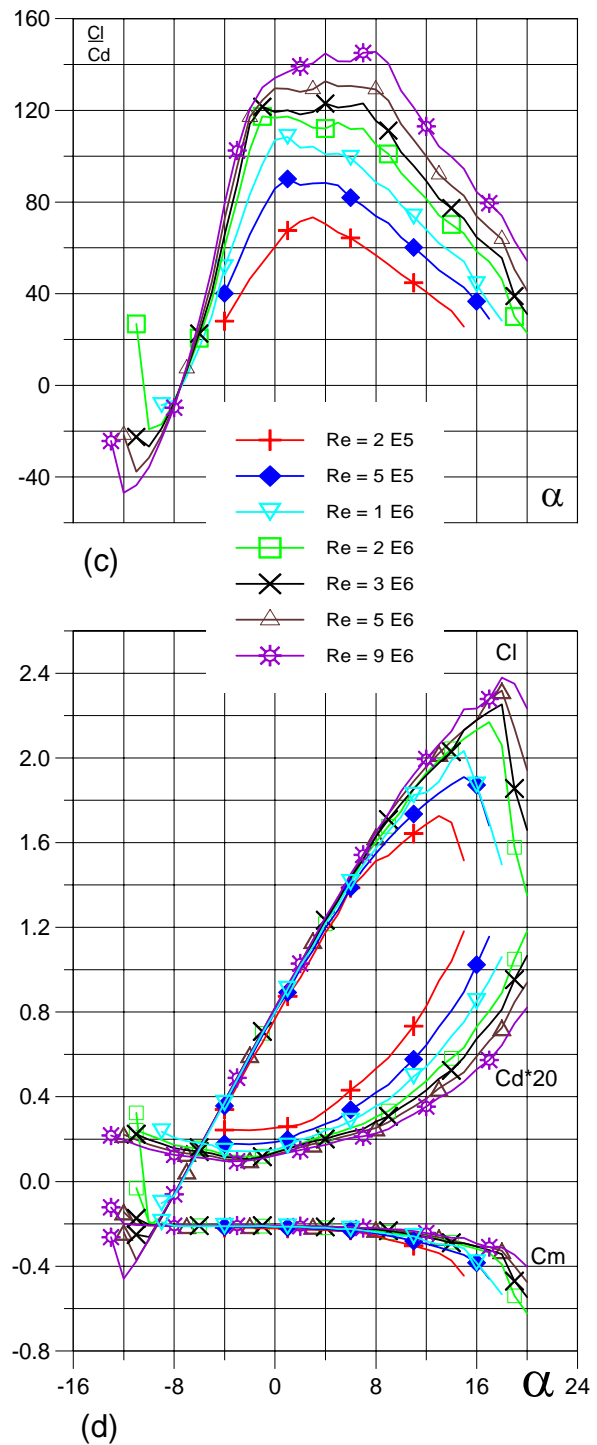


Fig. 5.1.182. (c) Curvas de Cl/C_d y (d) Cl , C_d , C_m vs. Ángulo de ataque del Perfil SZ - 2090.

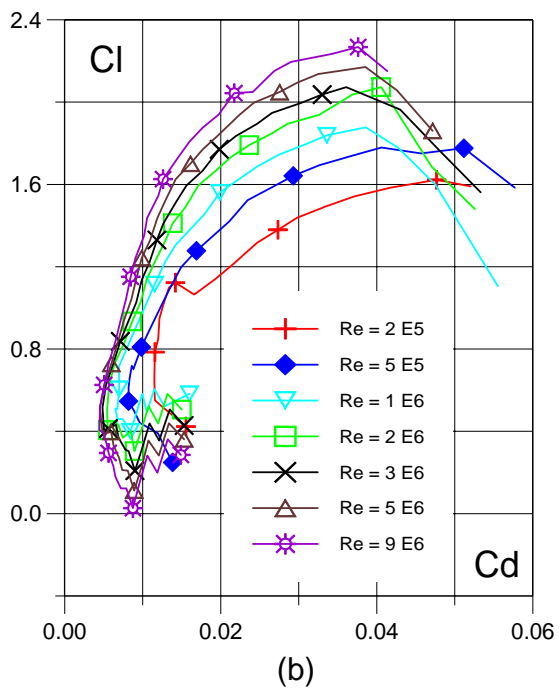
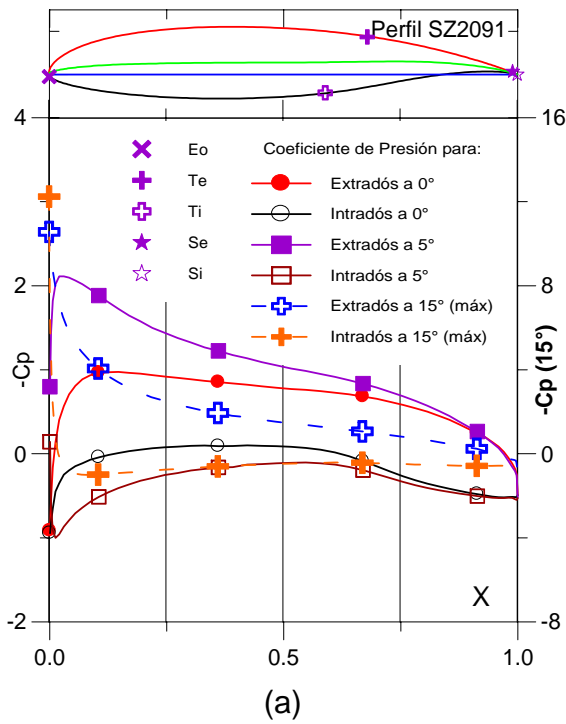


Fig. 5.1.183. (a) C_p (0° , 5° y Máx) vs. X para $Re = 1 E 6$ (leer $C_{p\text{máx}}$ a la derecha) y (b) Curvas Polares del Perfil SZ - 2091.

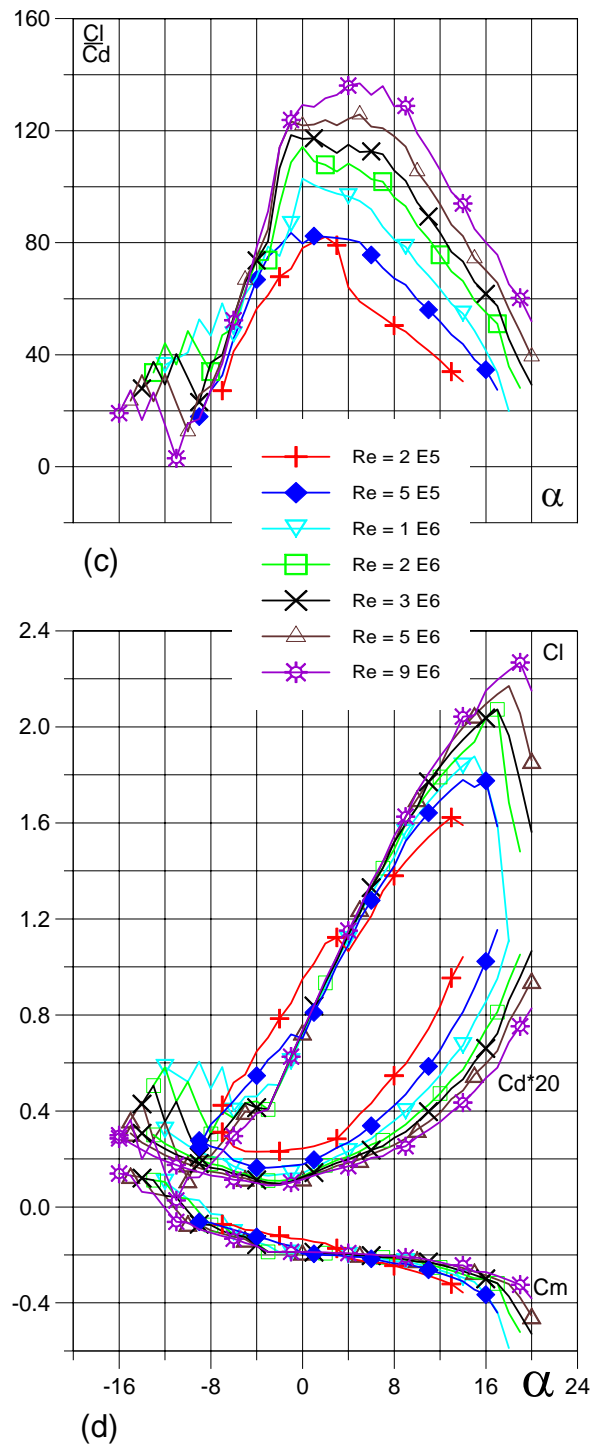


Fig. 5.1.184. (c) Curvas de Cl/Cd y (d) Cl , Cd , C_m vs. Ángulo de ataque del Perfil SZ - 2091.

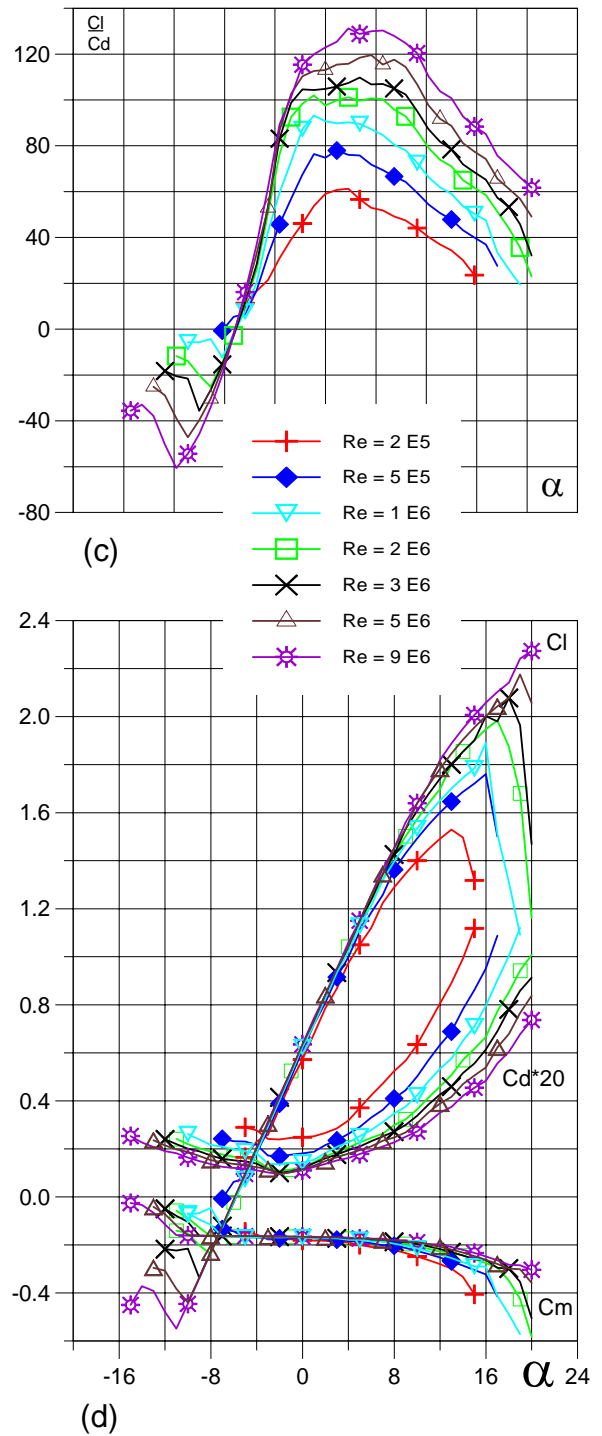
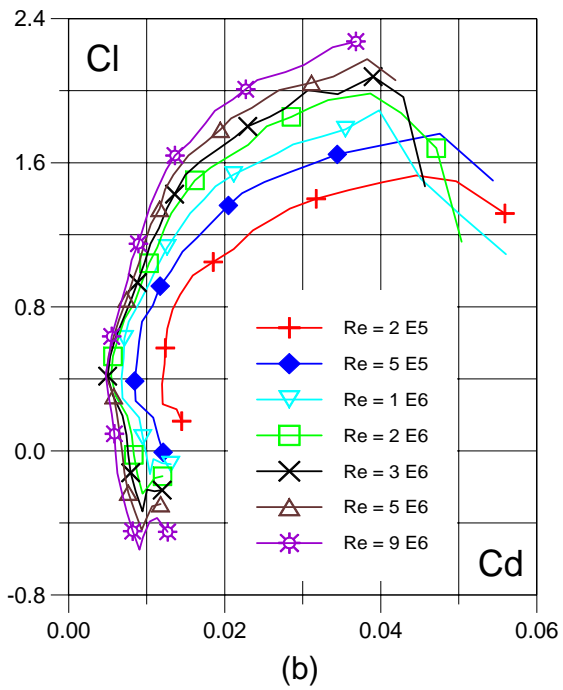
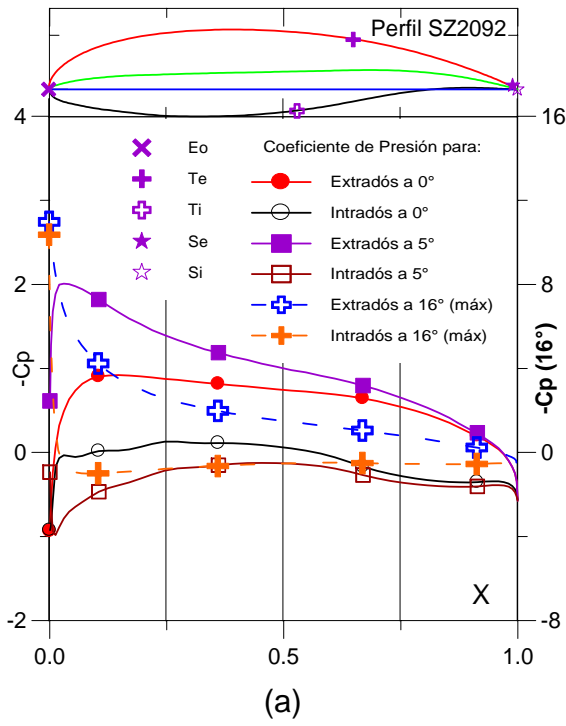


Fig. 5.1.185. (a) C_p (0° , 5° y Máx) vs. X para $Re = 1 E 6$ (leer $C_{p\text{máx}}$ a la derecha) y (b) Curvas Polares del Perfil SZ - 2092.

Fig. 5.1.186. (c) Curvas de Cl/Cd y (d) Cl , Cd , C_m vs. Ángulo de ataque del Perfil SZ - 2092.

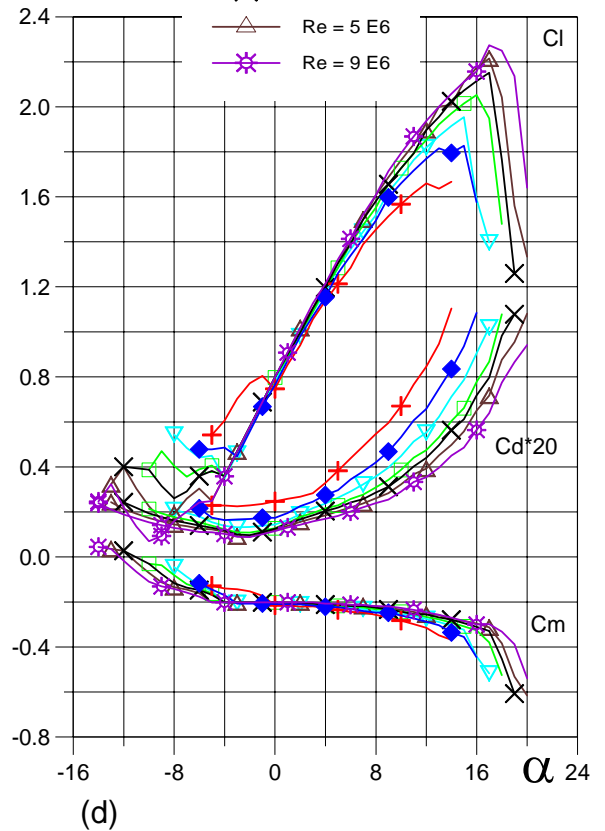
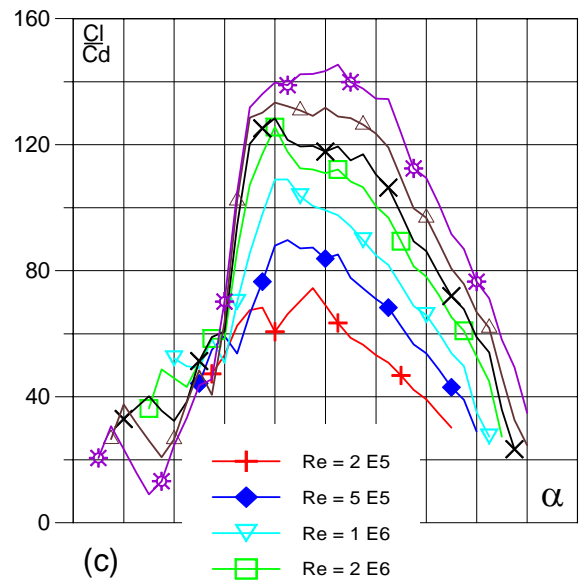
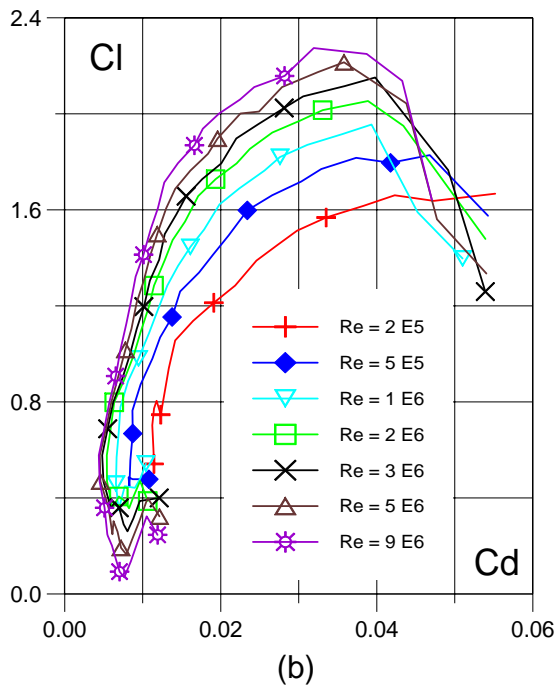
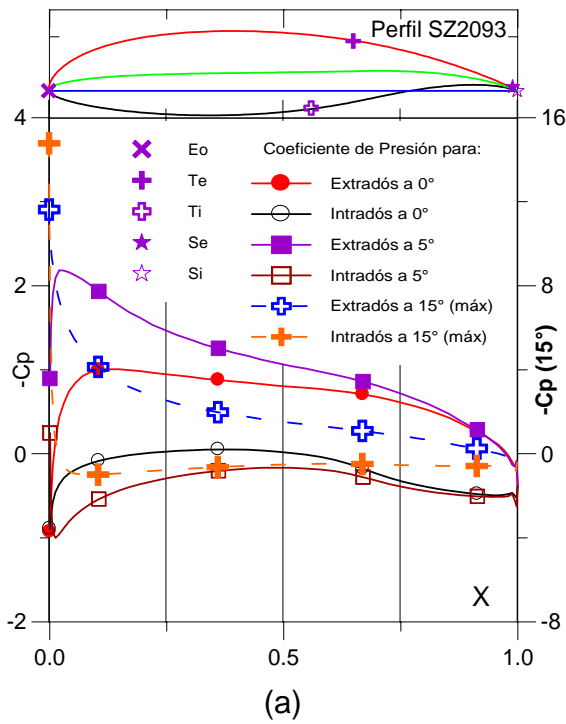
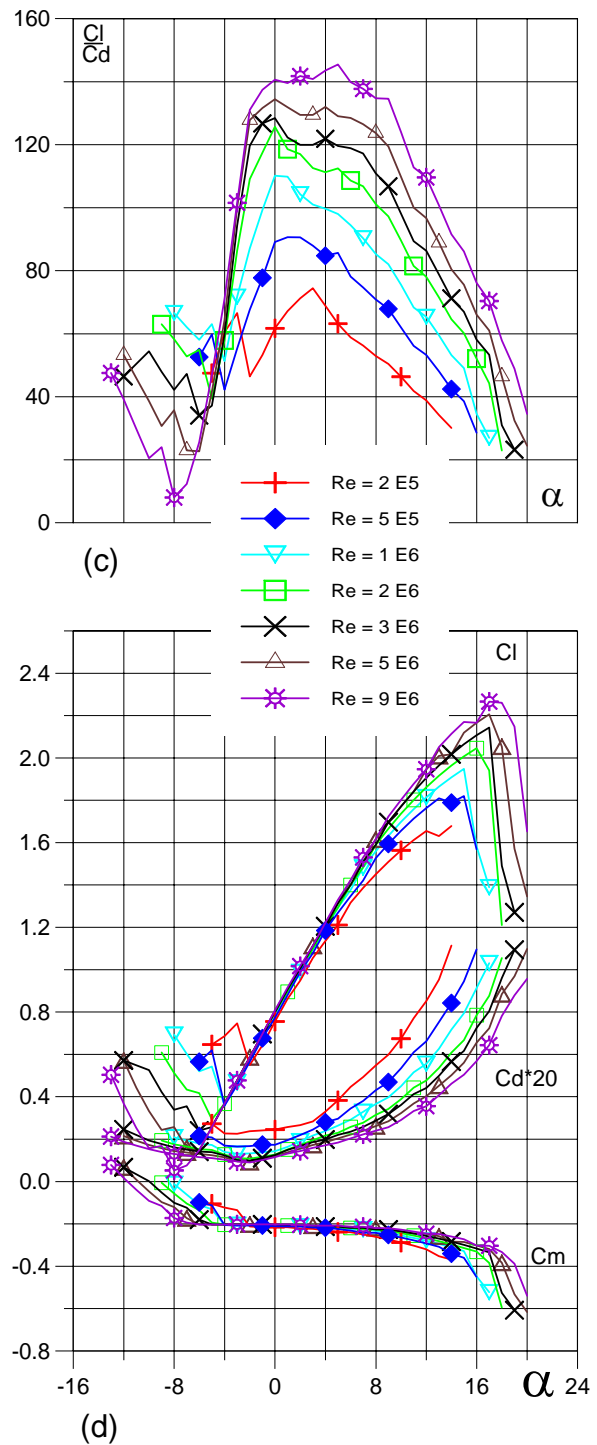
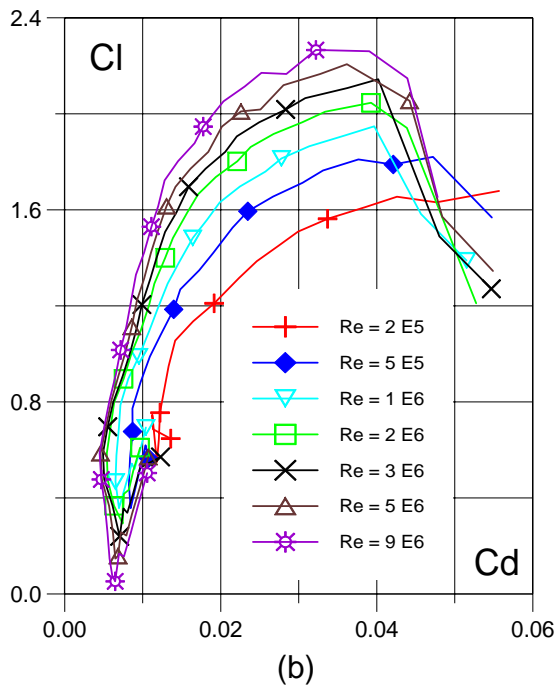
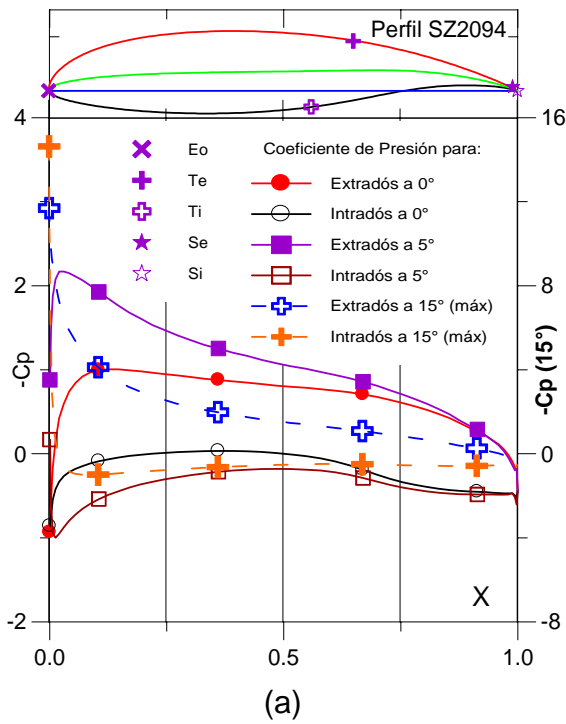


Fig. 5.1.187. (a) C_p (0° , 5° y Máx) vs. X para $Re = 1 E 6$ (leer $C_{p\text{máx}}$ a la derecha) y (b) Curvas Polares del Perfil SZ - 2093.

Fig. 5.1.188. (c) Curvas de Cl/Cd y (d) Cl , Cd , C_m vs. Ángulo de ataque del Perfil SZ - 2093.



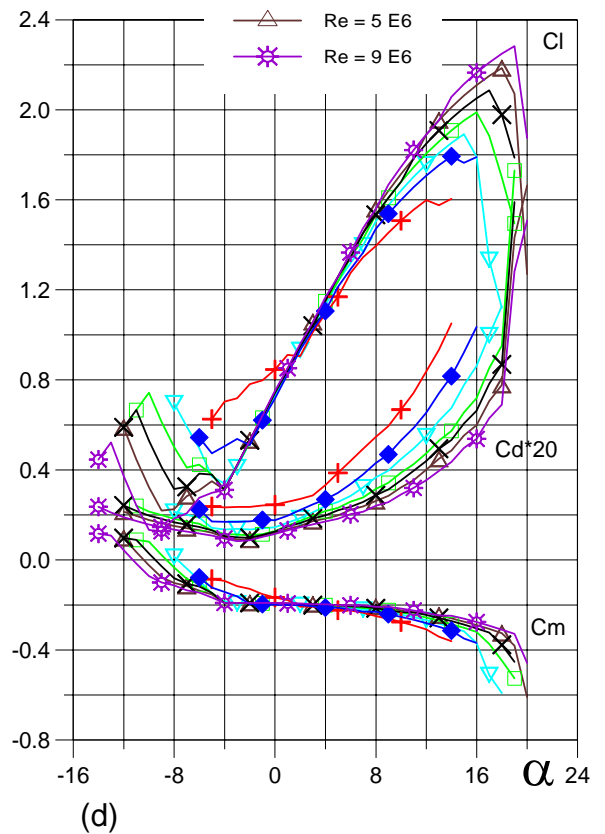
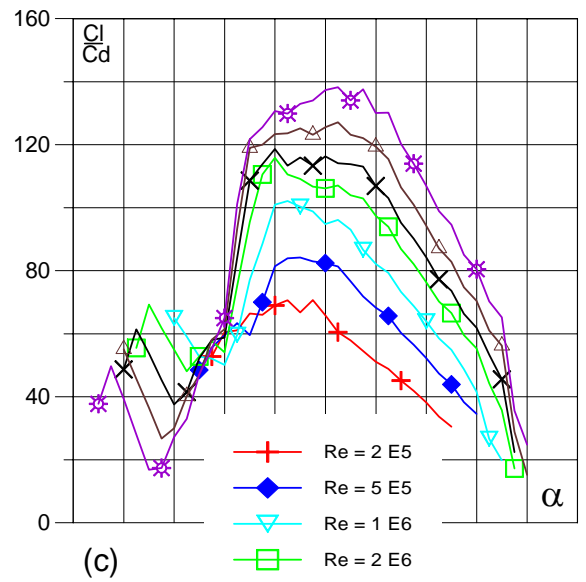
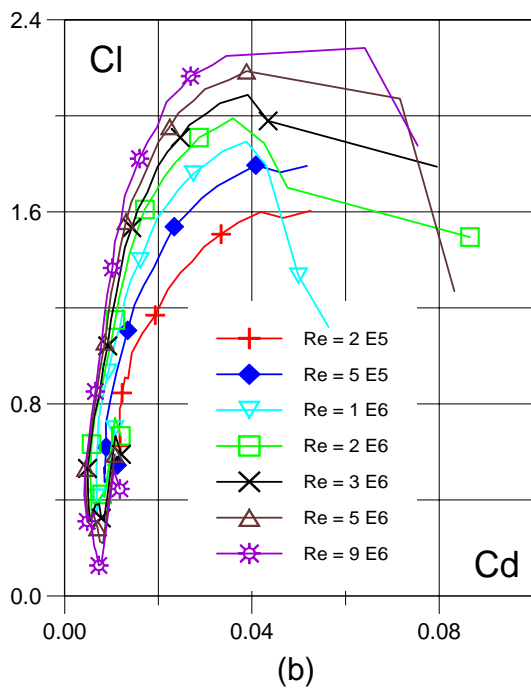
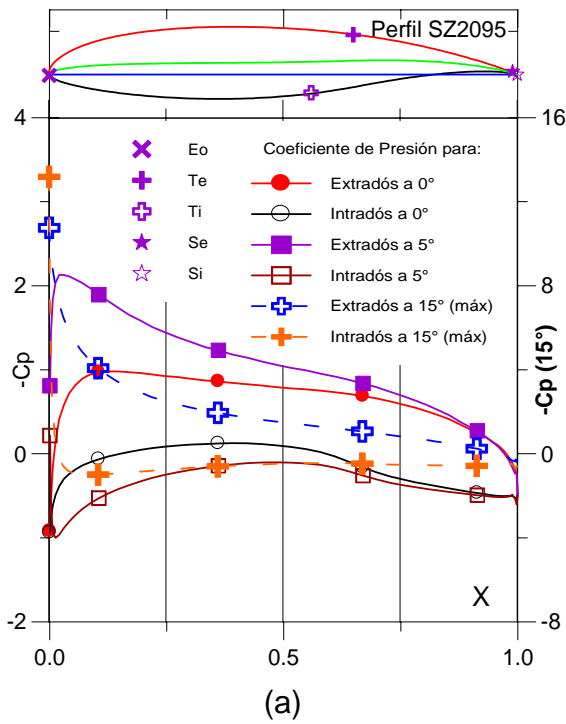


Fig. 5.1.191. (a) C_p (0° , 5° y Max) vs. X para $Re = 1 E 6$ (leer $C_{p\text{max}}$ a la derecha) y (b) Curvas Polares del Perfil SZ - 2095.

Fig. 5.1.192. (c) Curvas de Cl/Cd y (d) Cl , Cd , Cm vs. ngulo de ataque del Perfil SZ - 2095.

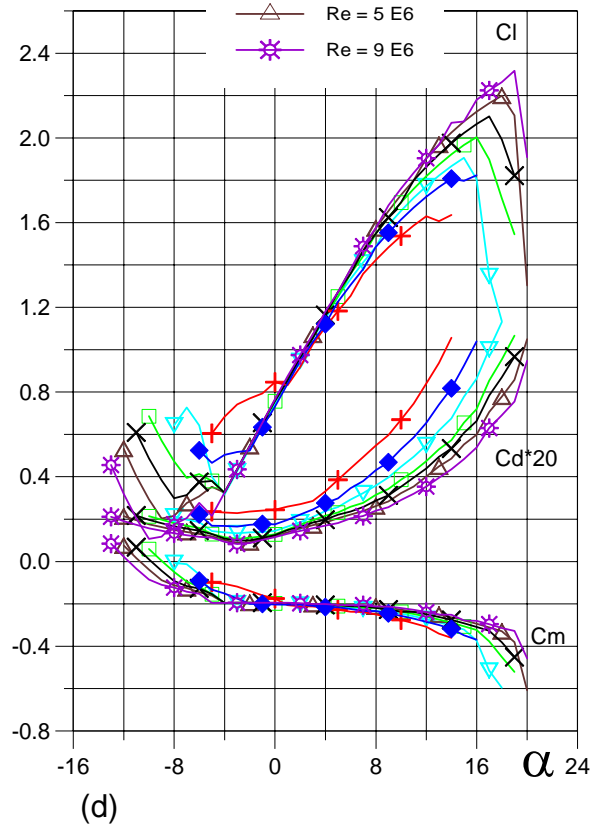
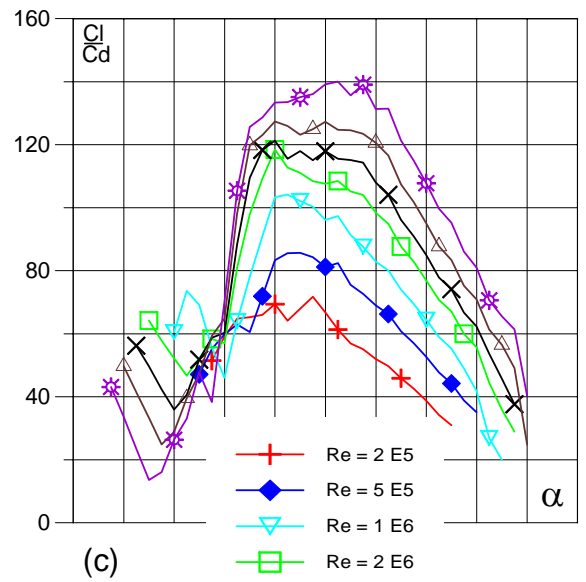
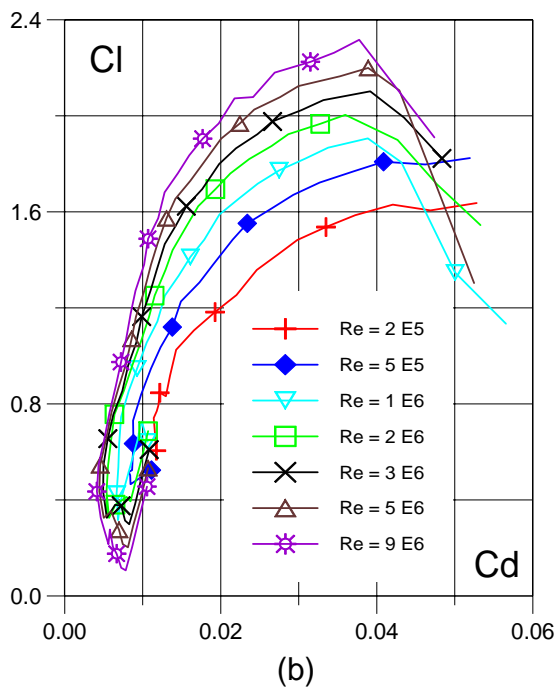
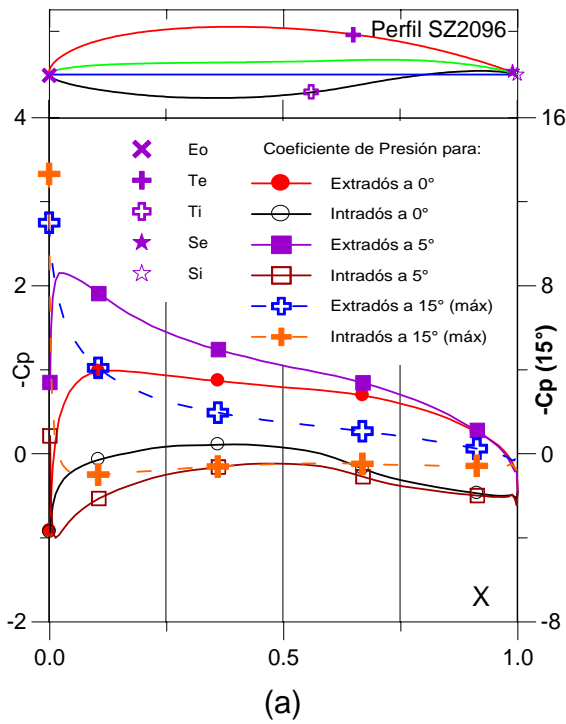


Fig. 5.1.193. (a) C_p (0° , 5° y Max) vs. X para $Re = 1 E 6$ (leer $C_{p\text{max}}$ a la derecha) y (b) Curvas Polares del Perfil SZ - 2096.

Fig. 5.1.194. (c) Curvas de C_l/C_d y (d) C_l , C_d , C_m vs. ngulo de ataque del Perfil SZ - 2096.

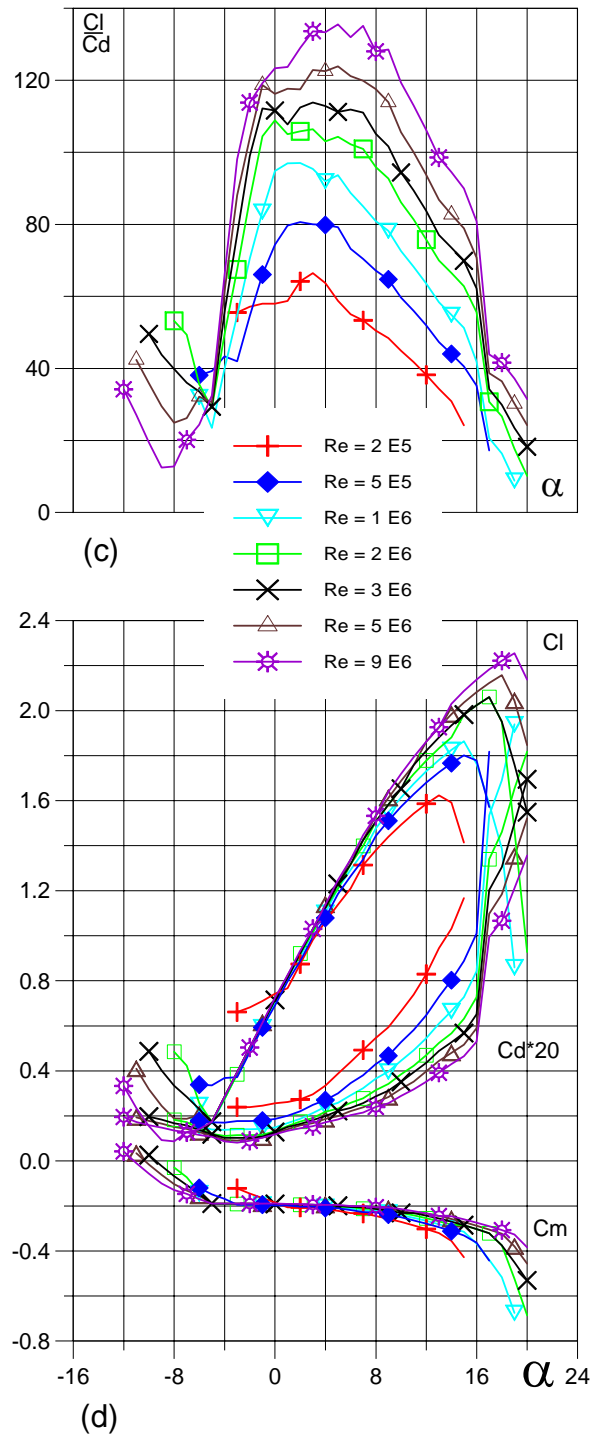
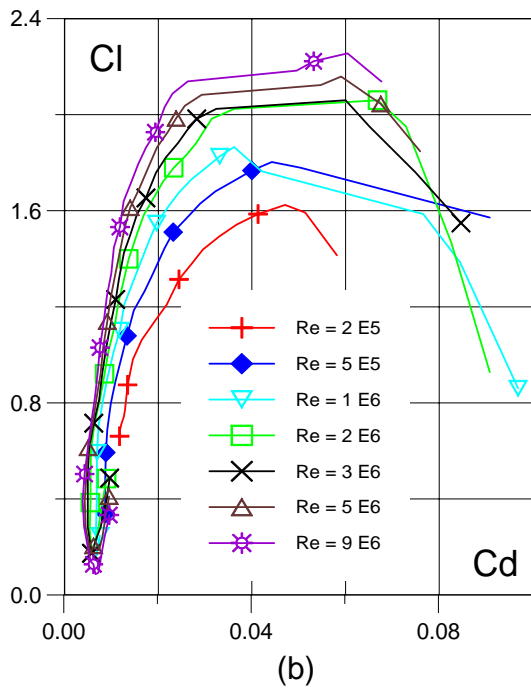
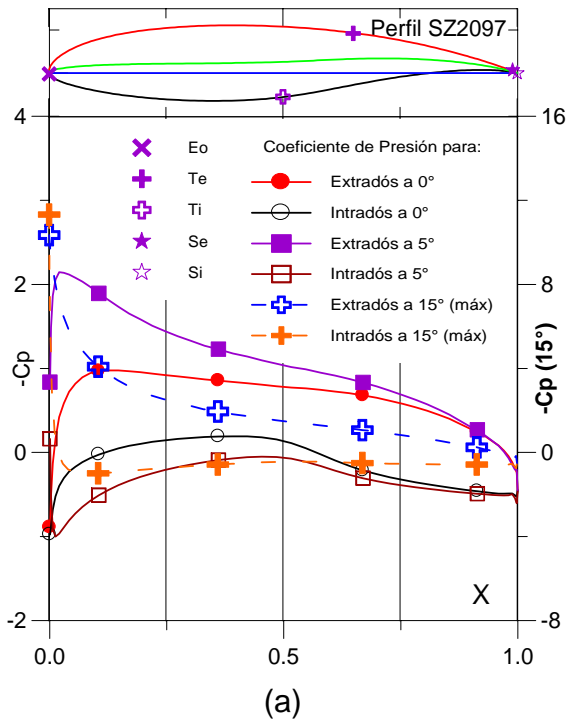


Fig. 5.1.195. (a) C_p (0° , 5° y Máx) vs. X para $Re = 1 E 6$ (leer $C_{p\text{máx}}$ a la derecha) y (b) Curvas Polares del Perfil SZ - 2097.

Fig. 5.1.196. (c) Curvas de Cl/Cd y (d) Cl , Cd , C_m vs. Ángulo de ataque del Perfil SZ - 2097.

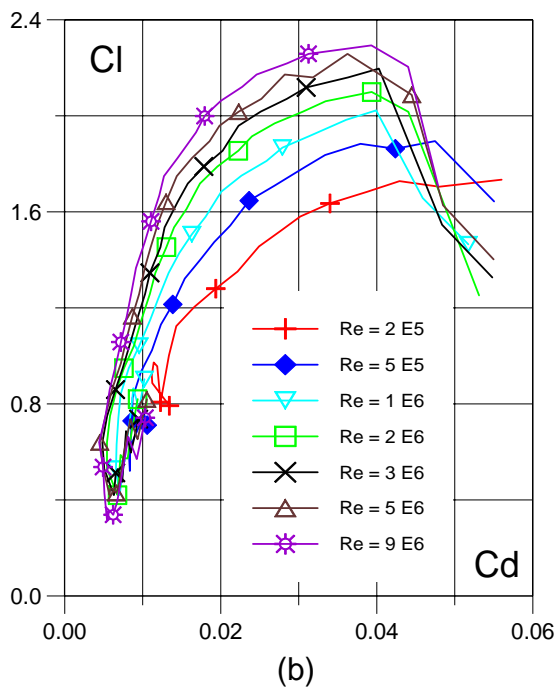
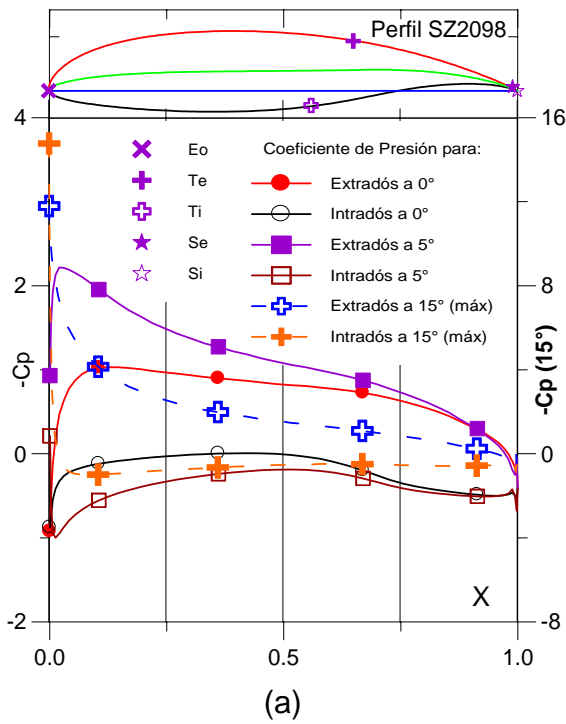


Fig. 5.1.197. (a) C_p (0° , 5° y Máx) vs. X para $Re = 1 E 6$ (leer $C_{p\text{máx}}$ a la derecha) y (b) Curvas Polares del Perfil SZ - 2098.

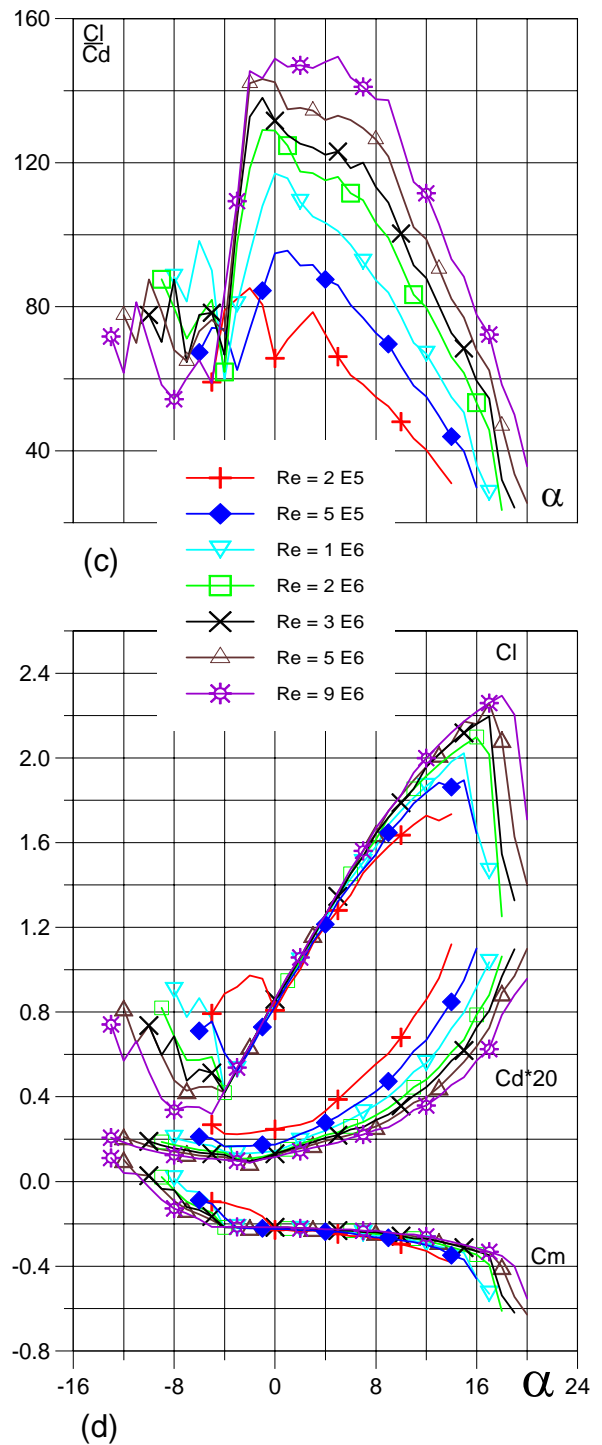


Fig. 5.1.198. (c) Curvas de Cl/Cd y (d) Cl , Cd , C_m vs. Ángulo de ataque del Perfil SZ - 2098.

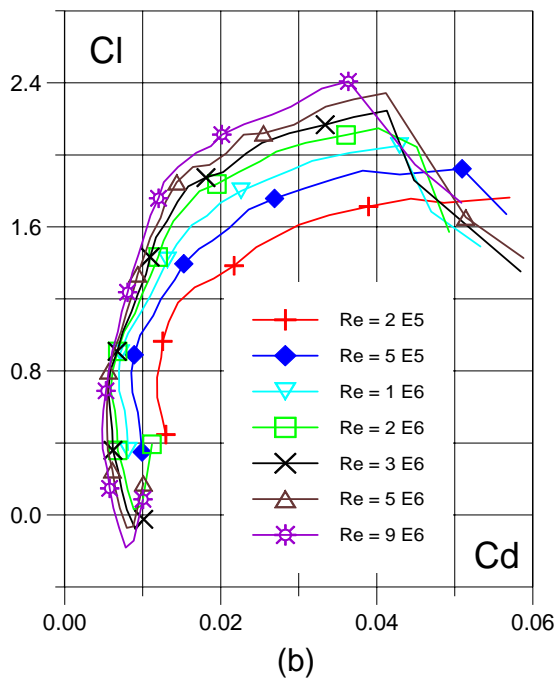
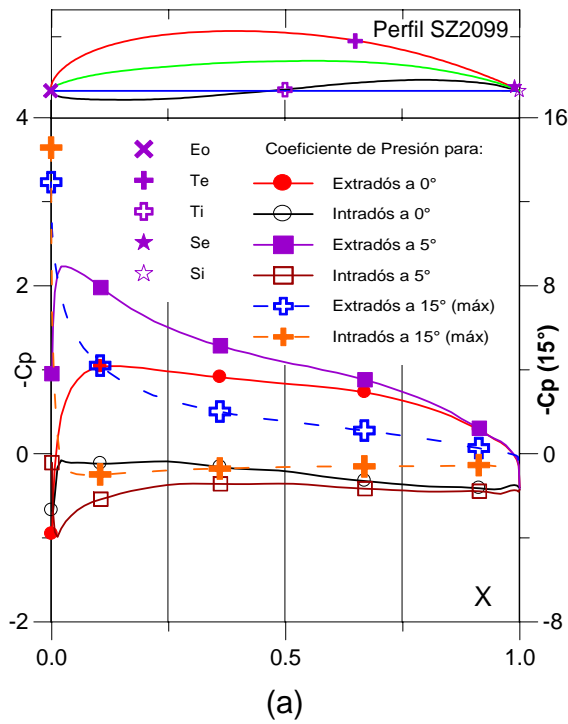


Fig. 5.1.199. (a) C_p (0° , 5° y Máx) vs. X para $Re = 1 E 6$ (leer $C_{p\text{máx}}$ a la derecha) y (b) Curvas Polares del Perfil SZ - 2099.

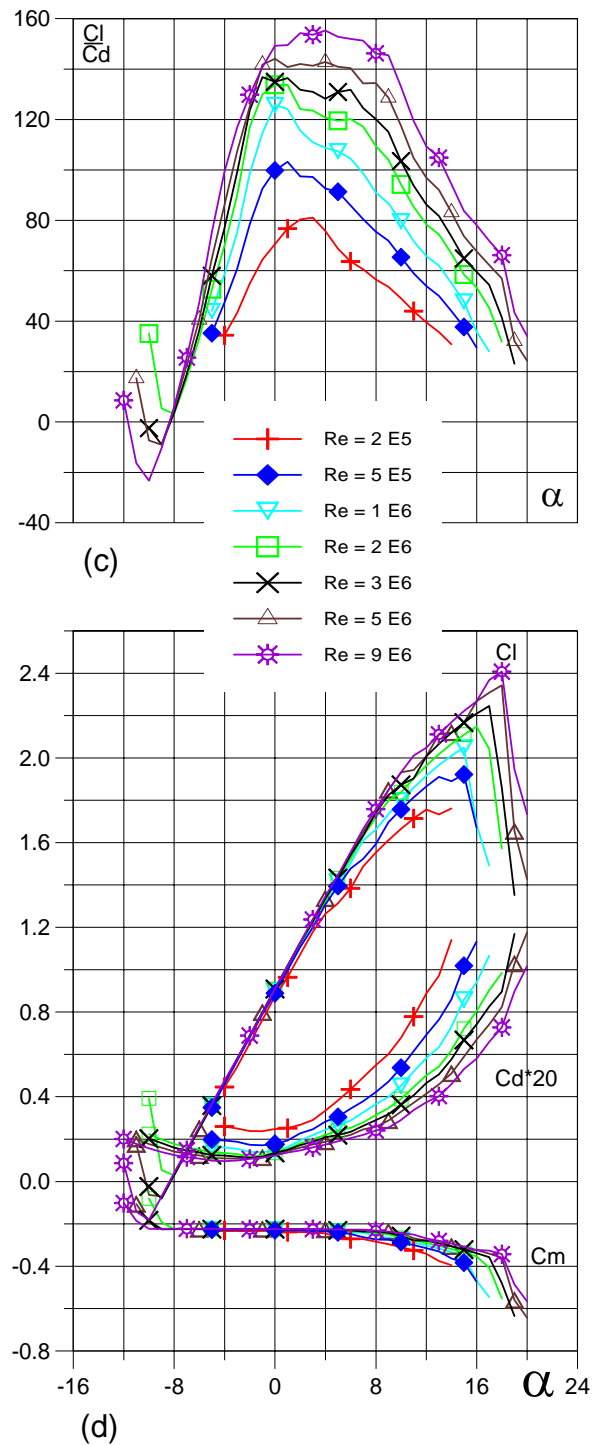


Fig. 5.1.200. (c) Curvas de Cl/Cd y (d) Cl , Cd , C_m vs. Ángulo de ataque del Perfil SZ - 2099.